

بِسْمِ اللّٰهِ الرَّحْمٰنِ الرَّحِيْمِ



دانشکده صنعتی شهرود

دانشکده شیمی

رساله دکتری شیمی آلی

## سنتر مشتقات هتروسیکلی جدید بر پایه دی‌آزین‌ها و کینولین با استفاده از کاتالیزگر پالادیم

نگارنده: شقایق سادات کاظمی

اساتید راهنما

دکتر علی کیوانلو

دکتر حسین نصر اصفهانی

استاد مشاور

دکتر عبدالحمید بامنیری

بهمن ۱۳۹۵

شماره ۱۱۰۹  
تاریخ ۹۰/۱۲/۷  
ویرایش ۱

با اسمه تعالیٰ



مدیریت تحصیلات تکمیلی

دانشکده: شیعی

گروه: آلبی

رساله دکتری خالق شفابق سادات گاظمی

تحت عنوان: سنت مثناه هنر و میکلتی جدید بر با به دی آرین ها و کیتوین با استفاده از کاتالیز کر بالادین

در تاریخ ۱۳۹۰/۵/۱۵ توسط کمیته تحصیلی زیر حیث اختد مرکز کارشناسی ارشد رساله دکتری ارزیابی گردید و سادره کاری مورث پذیرش قرار گرفت

امضاء	استادید عشاور	امضاء	استادید راهنمای
	دکتر عبدالحمید باهنری		دکتر علی کیوانلو
			دکتر حسن نژام‌زاده‌نایرانی

امضاء	نماینده تحصیلات تکمیلی	امضاء	استادید داور
	دکتر قدیملی بارگران دهقانی		دکتر محمد باقری

تقدیم به :

پدر و مادر دلسوز و مهربانم که در تک تک لحظات  
تحصیلم مشوق و یاری رسانم بوده اند،  
همسر عزیزم که با صبر و محبت بی دریغش همیشه  
باعث دلگرمی ام بوده است،  
و خواهرو و برادر دوست داشتنی ام

## تشکر و قدردانی

سپاس و ستایش خدایی را سزاست که آدمیان را اندیشیدن و تفکر آموخت تا به سر انگشت معرفت، اسرار هستی را یک به یک پرده بردارد، خداوندی که هر پرسش را به پاسخی ختم نمود و ذهن پویای بشر را مشتاق یافتن این پاسخها و این پاسخها را چراغ روشنی بخش راه رسیدن قرار داد.

شایسته است صمیمانه‌ترین مراتب تشکر خود را به استاد بزرگوارم، جناب آقای دکتر علی کیوانلو تقدیم کنم که در پاسخ پرسش‌هایم تمامی الطافشان را بی‌دریغ شامل حالم کردند و همواره از راهنمایی‌های ارزنده ایشان در کلیه مراحل تحقیق برخوردار بودم. دانش ایشان و صبرشان در انتقال این دانش همواره در این مدت چراغ راه من بود و آرزومند سعادت و سرافرازی برایشان هستم.

همچنین از استاد ارجمند، جناب آقای دکتر حسین نصراصفهانی که در طول انجام این پایان‌نامه نهایت راهنمایی و مساعدت را به اینجانب داشته‌اند نهایت تشکر و قدرانی را دارم. از اساتید عالی قدر جناب آقای دکتر بامنیری که زحمت مشاوره این پایان نامه را متحمل شدند و آقایان دکتر باخرد، دکتر عموزاده و دکتر پورعلی که زحمت داوری و بازخوانی پایان‌نامه این جانب را تقبل فرمودند صمیمانه تشکر می‌کنم.

سپاس آخر را به مهربانترین همراهان زندگیم، پدر، مادر و همسر عزیزم تقدیم می‌کنم که حضورشان در فضای زندگیم مصادق بی‌ریای سخاوت بوده‌است.

## تعهد نامه

اینجانب شقایق سادات کاظمی دانشجوی دوره دکتری رشته شیمی آلی دانشکده شیمی دانشگاه صنعتی شاهرود

نویسنده پایان نامه سنتز مشتقات هتروسیکلی جدید بر پایه دی‌آزین‌ها و کینولین با استفاده از کاتالیزگر پالادیم

تحت راهنمایی دکتر علی کیوانلو متعهد می‌شوم.

- تحقیقات در این پایان نامه توسط اینجانب انجام شده است و از صحت و اصالت برخوردار است.
- در استفاده از نتایج پژوهش‌های محققان دیگر به مرجع مورد استفاده استناد شده است.
- مطلوب مندرج در پایان نامه تاکنون توسط خود یا فرد دیگری برای دریافت هیچ نوع مدرک یا امتیازی در هیچ جا ارائه نشده است.
- کلیه حقوق معنوی این اثر متعلق به دانشگاه صنعتی شاهرود می‌باشد و مقالات مستخرج با نام «دانشگاه صنعتی شاهرود» و یا «Shahrood University of Technology» به چاپ خواهد رسید.
- حقوق معنوی تمام افرادی که در به دست آمدن نتایج اصلی پایان نامه تأثیرگذار بوده اند در مقالات مستخرج از پایان نامه رعایت می‌گردد.
- در کلیه مراحل انجام این پایان نامه، در مواردی که از موجود زنده (یا بافت‌های آنها) استفاده شده است ضوابط و اصول اخلاقی رعایت شده است.
- در کلیه مراحل انجام این پایان نامه، در مواردی که به حوزه اطلاعات شخصی افراد دسترسی یافته یا استفاده شده است اصل رازداری، ضوابط و اصول اخلاق انسانی رعایت شده است.

## تاریخ

امضای دانشجو

## مالکیت نتایج و حق نشر

- کلیه حقوق معنوی این اثر و محصولات آن (مقالات مستخرج، کتاب، برنامه‌های رایانه‌ای، نرم افزارها و تجهیزات ساخته شده است) متعلق به دانشگاه شاهرود می‌باشد. این مطلب باید به نحو مقتضی در تولیدات علمی مربوطه ذکر شود.
- استفاده از اطلاعات و نتایج موجود در پایان نامه بدون ذکر مرجع مجاز نمی‌باشد.

## چکیده

ترکیبات هتروسیکلی از بزرگ‌ترین و متنوع‌ترین خانواده ترکیبات آلی هستند. در این میان هتروسیکل‌های نیتروژنی جوش خورده به دلیل حضور در ساختار تعداد زیادی از ترکیبات طبیعی و کاربرد وسیع آن‌ها در صنایع دارویی و علم مواد همواره مورد توجه قرار داشته‌اند. در این تحقیق با استفاده از واکنش‌های جفت شدن کربن-کربن و کربن-نیتروژن در مجاورت کاتالیزگرهای پالادیم و مس، مشتقات جدیدی از هتروسیکل‌های نیتروژنی به شرح زیر سنتز شده است.

۱. سنتز تک ظرفی مشتقات جدید  $1,4\text{-دو استخلافی پیرولو}[a-2,1]\text{کینوکسالین}$  با استفاده از ۲-کلرو-۳-استخلافی کینوکسالین، پروپارژیل الکل، آمین نوع دوم در مجاورت باز پتابسیم کربنات در حلal آب از طریق واکنش سونوگاشیرا.
۲. سنتز تک ظرفی مشتقات جدید  $1\text{-آمینوپیرولو}[a-2,1]\text{کینولین}-4\text{-کربوکسیلات از آلكیل }2\text{-کلروکینولین}-3\text{-کربوکسیلات، پروپارژیل الکل، آمین نوع دوم در مجاورت باز تریاتیل آمین در حلal استونیتریل طریق واکنش سونوگاشیرا بدون مس.$
۳. سنتز تک ظرفی مشتقات جدید  $1,5\text{-دواستخلافی پیرولو}[a-2,1]\text{کینازولین از }1\text{-کلرو-}4\text{-استخلافی کینازولین، پروپارژیل الکل، آمین نوع دوم در مجاورت تریاتیل آمین در حلal استونیتریل طریق واکنش سونوگاشیرا.}$
۴. سنتز مشتقات جدید  $1,2,3\text{-تری آزول-}4\text{-ایل-کینازولین از }2\text{-کلرو-}4\text{-(پروپ-}2\text{-اینیل اکسی)کینازولین و }2\text{-کلرو-}N\text{-(پروپ-}2\text{-اینیل)کینازولین-}4\text{-آمین، آزیدهای آروماتیک بهوسیله‌ی واکنش کلیک در حلal آب/اتانول.}$

ساختار ترکیبات سنتز شده با استفاده از داده‌های طیف‌سنجدی تایید گردید و از لحاظ خواص دارویی و بیولوژیکی نظیر فعالیت‌های ضد اکسیدان و ضد باکتری مورد بررسی قرار گرفتند.

واژگان کلیدی: پالادیم، مس، سونوگاشیرا، پیرولو<sup>a-۲، ۱</sup> کینوکسالین، ۱-آمینوآلکیل پیرولو<sup>a-۲، ۱</sup> کینولین، پیرولو<sup>a-۲، ۱</sup> کینازولین، تریآزول، ضد اکسیدان و ضد باکتری.

## لیست مقالات مستخرج از رساله

ردیف	عنوان	نام مجله	شماره جلد	شماره صفحه
۱	Novel multi-component synthesis of 1,4-disubstituted pyrrolo[1,2-a]quinoxalines through palladium-catalyzed coupling reaction/hetero-annulation in water	Tetrahedron	۷۲	۶۵۳۶-۶۵۴۲
۲	Efficient one-pot synthesis of new 1-amino substituted pyrrolo[1,2-a]quinoline-4-carboxylate esters via copper-free Sonogashira coupling reaction	Molecular Diversity	۲۱	۲۹-۳۶
۳	Synthesis of novel 1,5-disubstituted pyrrolo[1,2-a]quinazolines and their evaluation for anti-bacterial and anti-oxidant activities	RSC Advances	۶	۹۲۶۶۳- ۹۲۶۶۹
۴	Synthesis of biologicaly active 1,4-disubstituted pyrrolo[1,2-a]quinoxalines through palladium-catalyzed coupling reaction/heteroannulation in water	۱ <sup>st</sup> Congress of Chemical biotechnology	۱۸-۱۶ اسفند ۹۴ تهران	
۵	Use click chemistry in synthesis of triazoles with biological properties based on quinazoline core	۱ <sup>st</sup> Congress of Chemical biotechnology	۱۸-۱۶ اسفند ۹۴ تهران	

## فهرست

۱	۱- فصل اول
۲	۱-۱- گفتاری بر واکنش‌های تشکیل پیوند کربن-کربن
۳	۱-۲- ترکیبات پالاداسیکل
۴	۱-۳- واکنش‌های جفت شدن متقاطع
۵	۱-۴- واکنش جفت شدن سونوگاشیرا
۸	۱-۵- شیمی پیرولو <sub>a</sub> ، <sub>1</sub> ، <sub>2</sub> ، <sub>1</sub> ، <sub>2</sub> ، <sub>a</sub> کینوکسالین‌ها
۱۸	۱-۵-۱- خواص بیولوژیکی و دارویی پیرولو <sub>a</sub> ، <sub>1</sub> ، <sub>2</sub> ، <sub>1</sub> ، <sub>2</sub> ، <sub>a</sub> کینوکسالین
۱۹	۱-۶- شیمی پیرولو <sub>a</sub> ، <sub>1</sub> ، <sub>2</sub> ، <sub>1</sub> ، <sub>2</sub> ، <sub>a</sub> کینولین‌ها
۲۹	۱-۶-۱- خواص بیولوژیکی و دارویی پیرولو <sub>a</sub> ، <sub>1</sub> ، <sub>2</sub> ، <sub>1</sub> ، <sub>2</sub> ، <sub>a</sub> کینولین‌ها
۳۰	۱-۷- شیمی پیرولو <sub>a</sub> ، <sub>1</sub> ، <sub>2</sub> ، <sub>1</sub> ، <sub>2</sub> ، <sub>a</sub> کینازولین‌ها
۴۱	۱-۷-۱- خواص بیولوژیکی و دارویی پیرولو <sub>a</sub> ، <sub>1</sub> ، <sub>2</sub> ، <sub>1</sub> ، <sub>2</sub> ، <sub>a</sub> کینازولین‌ها
۴۳	۱-۸- واکنش کلیک
۴۴	۱-۹- حلقه‌زایی <sub>1</sub> ، <sub>3</sub> ، <sub>2</sub> ، <sub>1</sub> دو قطبی
۴۵	۱-۱۰- شیمی <sub>۳</sub> ، <sub>۲</sub> ، <sub>۱</sub> تریآزول‌ها
۵۸	۱-۱۰-۱- خواص دارویی و بیولوژیکی <sub>۳</sub> ، <sub>۲</sub> ، <sub>۱</sub> تریآزول‌ها
۵۹	۲- فصل دوم

## ۲- بحث و بررسی نتایج

۶۰	..... ۲- سنتز پیرولو [a-۲، ۱] کینوکسالین‌ها
۶۰	..... ۲- بهینه کردن شرایط واکنش
۶۲	..... ۲- سنتز مشتقات ۱-۴ دو استخلافی پیرولو [a-۲، ۱] کینوکسالین
۶۵	..... ۲- مکانیسم واکنش
۶۸	..... ۲- شواهد طیفی مشتقات ۱-۴ دو استخلافی پیرولو [a-۲، ۱] کینوکسالین
۷۶	..... ۲- سنتز پیرولو [a-۲، ۱] کینولین‌ها
۷۸	..... ۲- بهینه کردن شرایط واکنش
۸۰	..... ۲- سنتز مشتقات آلکیل ۱-آمینوپیرولو [a-۲، ۱] کینولین-۴-کربوکسیلات
۸۱	..... ۲- مکانیسم واکنش
۸۳	..... ۲- شواهد طیفی مشتقات آلکیل ۲-کلروکینولین-۳-کربوکسیلات
۸۴	..... ۲- شواهد طیفی مشتقات آلکیل ۱-آمینوپیرولو [a-۲، ۱] کینولین-۴-کربوکسیلات
۹۲	..... ۲- سنتز پیرولو [a-۲، ۱] کینازولین‌ها
۹۴	..... ۲- بهینه کردن شرایط واکنش
۹۵	..... ۲- سنتز مشتقات ۱-۵ دو استخلافی پیرولو [a-۲، ۱] کینازولین
۹۷	..... ۲- مکانیسم واکنش
۹۸	..... ۲- شواهد طیفی مشتقات ۱-۵ دو استخلافی پیرولو [a-۲، ۱] کینازولین
۱۰۸	..... ۲- بررسی خاصیت ضد باکتری مشتقات ۱-۵ دو استخلافی پیرولو [a-۲، ۱] کینازولین
۱۰۹	..... ۲- بررسی خاصیت ضد اکسیدان مشتقات ۱-۵ دو استخلافی پیرولو [a-۲، ۱] کینازولین ...
۱۱۲	..... ۲- سنتز ۱، ۲، ۳-تری آزولهای متصل شده به کینازولین

۱۱۳	۲۰-۲- بهینه کردن شرایط واکنش.....
۱۱۶	۲۱-۲- سنتز مشتقات ۱،۲،۳- تری آزول متصل شده به کینازولین.....
۱۱۷	۲۲-۲- مکانیسم واکنش.....
۱۱۸	۲۳-۲- شواهد طیفی کینوزولین های پروپارژیله شده.....
۱۱۹	۲۴-۲- شواهد طیفی مشتقات ۱،۲،۳- تری آزول های متصل شده به کینازولین.....
۱۲۶	۲۵-۲- بررسی خاصیت ضد باکتری ۱،۲،۳- تری آزول های متصل شده به کینازولین.....
۱۲۹	<b>فصل سوم.....</b>
۱۲۹	بخش تجربی.....
۱۳۰	۳- بخش تجربی.....
۱۳۰	۳-۱- دستگاهها.....
۱۳۰	۳-۲- مواد اولیه.....
۱۳۱	۳-۳- تهیه پیرولو [a-۲،۱] کینوکسالین ها.....
۱۳۱	۱-۳-۳- سنتز ۲- کلرو-۳- آمینو کینوکسالین.....
۱۳۱	۲-۳-۳- سنتز ۲- کلرو-۳- آلكوكسی کینوکسالین.....
۱۳۱	۳-۳-۳- سنتز ۱،۴- دو استخلافی پیرولو [a-۲،۱] کینوکسالین.....
۱۳۵	۴-۳- تهیه پیرولو [a-۲،۱] کینولین ها.....
۱۳۵	۱-۴-۳- سنتز ۲- کلروکینولین-۳- کربآلدهید.....
۱۳۵	۲-۴-۳- سنتز آلکیل ۲- کلروکینولین-۳- کربوکسیلات.....
۱۳۵	۳-۴-۳- سنتز مشتقات آلکیل ۱- آمینو پیرولو [a-۲،۱] کینولین-۴- کربوکسیلات.....

۱۳۹	۵-۳- تهیه ۴- استخلافی- ۲- کلروکینازولین.....
۱۳۹	۱-۵-۳- سنتز ۴- آلكوكسی- ۲- کلروکینازولین.....
۱۳۹	۲-۵-۳- سنتز ۴- آمینو- ۲- کلروکینازولین.....
۱۳۹	۳-۵-۳- سنتز مشتقات ۱،۵،۱-دو استخلافی پیرولو [a-۲،۱] کینازولین.....
۱۴۴	۶-۳- سنتز کینازولین های پروپارژیله شده.....
۱۴۴	۱-۶-۳- سنتز ۲- کلرو- ۴- (پروپ- ۲- اینیل اکسی) کینازولین.....
۱۴۴	۲-۶-۳- سنتز ۲- کلرو- N-(پروپ- ۲- اینیل) کینازولین- ۴- آمین.....
۱۴۴	-۴- کلرو- ۴- ((۱- استخلافی)- ۱- H- ۲،۲،۱- تری آزول- ۴- مشتقات سنتز -۷-۳
۱۴۴	ایل) متوكسی) کینازولین.....
۱۴۵	۸-۳- سنتز مشتقات ۲- کلرو- N- ((۱- استخلافی- ۲،۱- H- ۱- تری آزول- ۴- ایل) متیل) کینازولین- ۴- آمین.....
۱۴۹	پیوستها.....
۲۳۳	منابع .....



# فصل اول

مقدمه

# ۱- مقدمه

## ۱-۱- گفتاری بر واکنش‌های تشکیل پیوند کربن-کربن

شیمی آلی گسترده‌ترین شاخه‌ی شیمی است که به ترکیبات کربنی می‌پردازد. واکنش جفت شدن<sup>۱</sup> در شاخه‌ای از شیمی آلی به نام شیمی آلی فلزی مورد بحث قرار می‌گیرد که به وسیله‌ی یک کاتالیزگر فلزی و لیگاندهای مناسب، دو ترکیب به هم متصل می‌شوند<sup>[۱]</sup>. در بحث‌های آزمایشگاهی، بهترین کاتالیزگر فلز پالادیم است اما در صنعت و ابعاد گسترده، کاتالیزگرهای فلزی ارزان‌تری مانند نیکل و مس نیز مورد استفاده قرار می‌گیرند. یکی از روش‌های جفت شدن، جفت شدن متقاطع<sup>۲</sup> نام دارد که واکنش بین دو جزء جدا از هم انجام می‌گیرد و می‌توان بر هر نیمه‌ی مولکول از محصول در فرآیند واکنش کنترل داشت. یکی از اجزای واکنش جفت شدن متقاطع معمولاً آریل، آلكنیل یا آلكیل هالید است<sup>[۲]</sup>.

از دیرباز تا کنون واکنش‌های تشکیل پیوند کربن-کربن نقش مهمی در شکل‌دهی سنتزهای شیمیایی داشته‌اند، واکنش‌های آلدول، گرینیارد، دیلر-آلدر و فرآیندهای پری سیکلی مربوطه، ویتیگ و واکنش‌های مربوط به آن از جمله چنین فرآیندهایی هستند که باعث سنتز دهها هزار ترکیب آلی شدند<sup>[۳]</sup>. در همین ارتباط شیمی آلی فلزی نقش کلیدی در این واکنش‌ها ایفا می‌کند و روش‌های جدید مهمی را برای تشکیل پیوند کربن-کربن و کربن-هترواتم به وجود آورده است<sup>[۴]</sup>. در حالی که عناصر گروه I و II جدول تناوبی مانند لیتیم و منیزیم اولین فلزاتی بودند که در سنتزهای آلی مورد استفاده قرار گرفتند اما تعدادی از فلزات واسطه نیز در این زمینه پرکاربرد هستند. بر خلاف واکنش‌هایی که با لیتیم و منیزیم انجام می‌شوند و ترکیبات آلی فلزی این عناصر در مقادیر استوکیومتری مورد استفاده قرار

<sup>1</sup> Coupling

<sup>2</sup> Cross-Coupling

می‌گیرد، بسیاری از واکنش‌هایی که با فلزات واسطه (که با تغییر در حالت اکسیداسیون اتم فلزی همراه است) انجام می‌شوند از مقدار کمی کاتالیزگر فلز استفاده می‌گردد. امروزه واکنش جفت شدن متقاطع بین یک ترکیب آلی فلزی و یک هالید یا تریفلات‌های آلی، کاتالیز شده با یک فلز واسطه معمول‌ترین روش برای تشکیل پیوند کربن-کربن می‌باشد [۵]. در میان گروه بزرگی از فلزات واسطه، کمپلکس‌های پالادیم با لیگاندهای فسفری مشهور‌ترین سیستم کاتالیزوری می‌باشد [۶].

## ۲-۱- ترکیبات پالاداسیکل<sup>۱</sup>

در نیم قرن گذشته در شیمی آلی فلزی هم به عنوان یک رشته‌ی علمی و هم به عنوان یک موضوع کاربردی در صنعت رشد عظیمی صورت گرفته است. ترکیبات آلی فلزی پالادیم، شیمی بسیار متنوعی دارند و در عین در دسترس بودن به راحتی مجموعه‌های شناخته شده‌ای از واکنش‌های آلی فلزی به کار گرفته می‌شوند. تبادل آسان اکسایش-کاهش بین دو حالت پایدار Pd(0)/Pd(II) دلیل عمدی برخورداری ترکیبات پالادیم از یک شیمی غنی و متنوع می‌باشد. بدون شک سازگاری آنها با گروه‌های عاملی، این دسته از ترکیبات را از دیگر کمپلکس‌های فلزات واسطه متمایز می‌کند [۷]. آن دسته از ترکیبات پالادیم که حداقل دارای یک پیوند کربن-فلز درون ملکولی پایدار به‌وسیله‌ی حداقل یک اتم الکترون دهنده می‌باشند، ترکیبات پالاداسیکل نامیده می‌شوند که معروف ترین گروه مشتقات آلی پالادیم به شمار می‌روند. این ترکیبات اولین بار به‌وسیله پالاداسیکل شدن مشتقات آزوبنزن در سال ۱۹۶۰ جداسازی و شناسایی شدند [۸].

از آن زمان بازنگری‌های متعددی بر روی جنبه‌های ساختاری، سنتز و کاربرد ترکیبات پالاداسیکل هم در سنترهای آلی به عنوان کاتالیست‌های آلی فلزی و هم ترکیبات جدید مولکولی انجام گرفته است [۹] علاوه بر این پالاداسیکل‌ها، به عنوان گونه‌های حد وسط در تعداد زیادی از واکنش‌های ارتقا یافته استفاده

---

<sup>۱</sup> Palladacycles

### ۱-۳- واکنش‌های جفت شدن متقاطع<sup>۱</sup>

واکنش‌های جفت شدن متقاطع گروهی از واکنش‌های شیمیایی هستند که در سنتز مواد شیمیایی کاربرد فراوانی دارند و به همین دلیل در سال‌های اخیر پیشرفت شگرفی در زمینه‌ی این واکنش‌ها صورت گرفته است. این واکنش‌ها ارزش تحقیقاتی بالایی دارند و در زمینه‌های متنوع سنتزی به کاربرد می‌روند. اولین واکنش جفت شدن متقاطع در سال ۱۹۰۱ توسط فریتز<sup>۲</sup> و المن<sup>۳</sup> انجام شد [۱۱].

واکنش‌های جفت شدن متقاطع باعث تشکیل پیوندهای کربن-کربن، کربن-نیتروژن، کربن-اکسیژن می‌شوند. این واکنش‌ها شامل واکنش هک<sup>۴</sup>، واکنش سوزوکی<sup>۵</sup>، واکنش نگیشی<sup>۶</sup>، واکنش سونوگاشیرا<sup>۷</sup>، واکنش استایل<sup>۸</sup>، واکنش کومادا<sup>۹</sup> و واکنش هیاما<sup>۱۰</sup> می‌باشند که در سال‌های اخیر پیشرفت‌های زیادی در حوزه این واکنش‌ها به وجود آمده است. یکی از دلایل سهولت در پیشرفت این واکنش‌ها، افزایش سطح اطلاعات در زمینه‌ی چگونگی روند مکانیسم آن‌ها و انجام واکنش‌های وابسته به آن‌ها بوده است. علاوه بر این، پیشرفت در استفاده از لیگاندهای جدید، باعث پیشرفت‌های اخیر در زمینه این واکنش‌ها شده است. واکنش‌های جفت شدن متقاطع قبل از پالادیم کاتالیز می‌شدند. البته امروزه از فلزات دیگری همانند مس، نیکل، آهن هم که قابلیت کاتالیز کردن این واکنش را دارند، استفاده می‌شود.

<sup>۱</sup> Cross-Coupling

<sup>۲</sup> Ullman

<sup>۳</sup> Fritz

<sup>۴</sup> Heck reaction

<sup>۵</sup> Suzuki reaction

<sup>۶</sup> Negishi reaction

<sup>۷</sup> Stille reaction

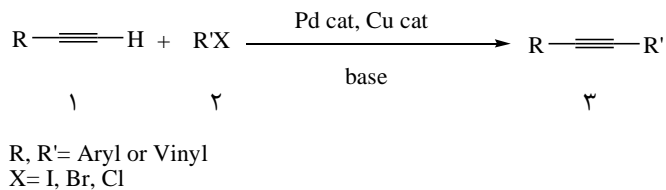
<sup>۸</sup> Sonogashira reaction

<sup>۹</sup> Kumada reaction

<sup>۱۰</sup> Hiyama reaction

## ۱-۴ - واکنش جفت شدن سونوگاشیرا

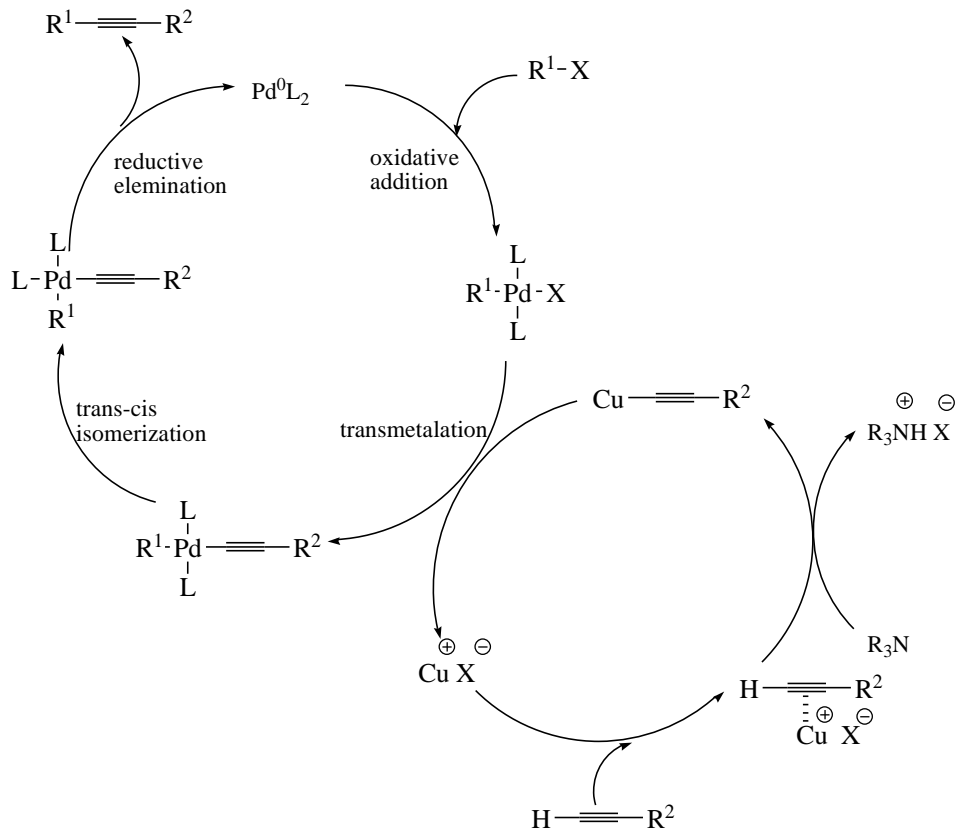
از میان واکنش‌های گوناگون جفت شدن به وسیله فلزات واسطه، واکنش جفت شدن سونوگاشیرا که واکنش آریل هالیدها با ترکیبات استیلن انتهایی می‌باشد، روش موثری برای تشکیل پیوند کربن-کربن است [۱۲]. این واکنش روش مفیدی برای تهیه آریل آلکین‌ها می‌باشد که کاربرد گسترده‌ای در سنتز ترکیبات هتروسیکل، ترکیبات طبیعی و مواد دارویی دارند. در کنار ترکیبات طبیعی، الیگومرها و پلیمرها هم می‌توانند به وسیله واکنش سونوگاشیرا تهیه شوند (طرح ۱-۱) [۱۳].



(طرح ۱-۱)

به طور معمول، سیستم کاتالیستی واکنش سونوگاشیرا شامل کمپلکس‌های فسفین پالادیم، مس(I)یدید و مقدار زیادی از یک آمین می‌باشد [۱۴].

در مکانیسم واکنش سونوگاشیرا، ابتدا در چرخه پالادیم، پالادیم کلرید به پالادیم صفر کاهش می‌یابد. سپس پالادیم صفر، پیوند کربن-هالوژن آریل‌هالید را شکافته و به درون این پیوند انتقال پیدا می‌کند که به این مرحله افزایش اکسایشی گفته می‌شود. در مرحله‌ی بعد پالادیم به استیلید مس حاصل از چرخه مس نزدیک شده و طی واکنش انتقال فلزی با آن ایجاد اتصال می‌کند و در انتها از طریق واکنش حذف کاهشی که بر روی کمپلکس پالادیم اتفاق می‌افتد، با خروج هیدروژن هالید، پالادیم با عدد اکسایش صفر مورد نیاز برای آغاز واکنش مجددًا تولید می‌شود.



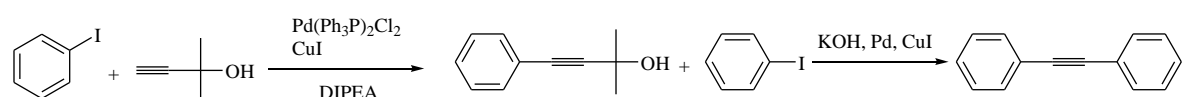
(۲-۱) طرح

در زیر به مواردی از کاربردهای واکنش سونوگاشیرا در سنتز ترکیبات آلی اشاره می‌شود.

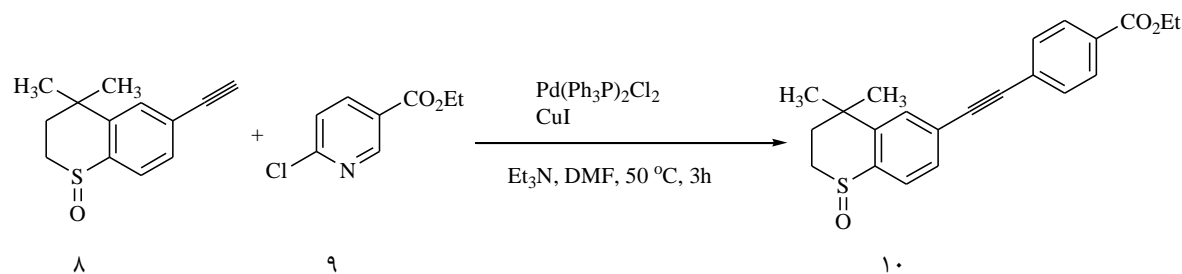
در سال ۲۰۰۴، روش جدیدی برای تهیه ترکیبات دی‌آریل‌آلکین‌ها (۷) از آریل یدیدها (۱) ارائه شد

[۱۵]. در این روش از دو واکنش متوالی سونوگاشیرا استفاده می‌شود. ابتدا یک آریل استیلن محافظت شده (۶) تولید می‌شود که پس از محافظت‌زدایی، دومین واکنش سونوگاشیرا منجر به سنتز

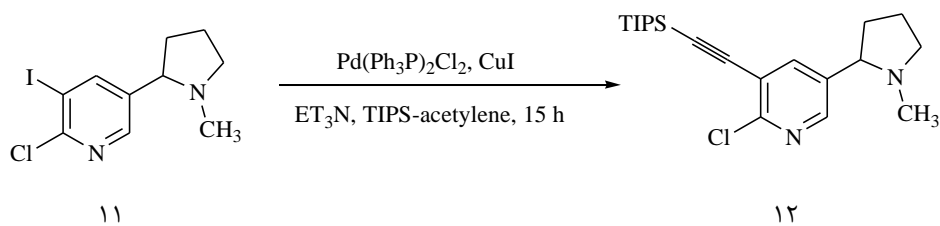
دی‌آریل‌آلکین‌ها می‌گردد.



در سال ۲۰۰۵ از واکنش سونوگاشیرا برای سنتز داروی تازاروتن<sup>۱</sup> (۱۰) استفاده شده است، این دارو برای درمان آکنه و کنترل چربی پوست به کار می‌رود [۱۶].



همچنین برای تهیه داروی آلتینیکلین<sup>۲</sup> (۱۲)، که در درمان بیماری پارکینسون استفاده می‌شود، نیز از واکنش سونوگاشیرا استفاده شده است [۱۷]. این دارو از مولکول نیکوتین طی چند مرحله سنتز می‌شود. یکی از مراحل شامل واکنش جفت شده سونوگاشیرا با دی‌هالونیکوتین (۱۱) و مشتقات تری‌ایزوپروپیل‌سایلیل استیلن می‌باشد.

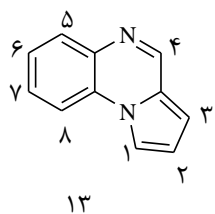


<sup>1</sup> Tazarotene

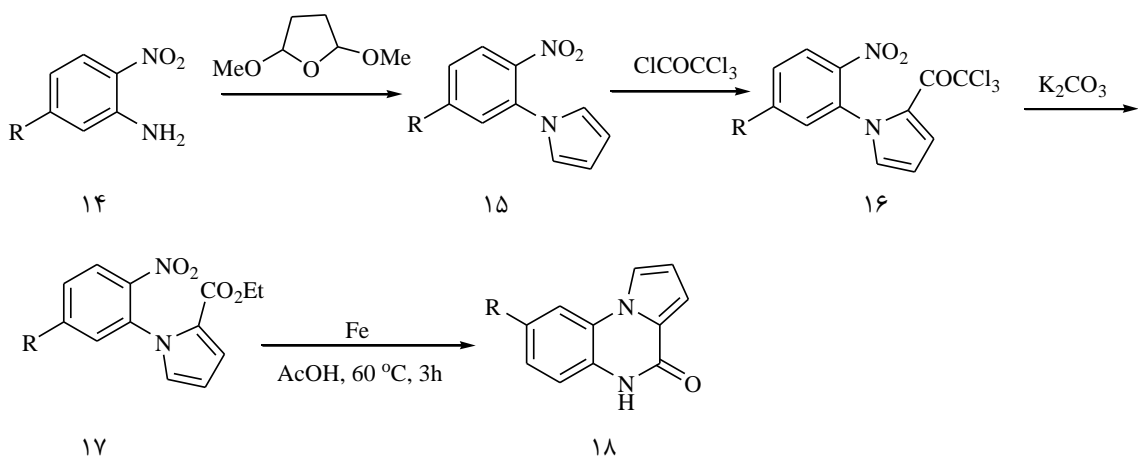
<sup>2</sup> Altinicline

## ۱-۵- شیمی پیرولو[۲،۱-*a*]کینوکسالین‌ها

پیرولو[۲،۱-*a*]کینوکسالین (۱۳)، یک سیستم سه حلقه‌ای جوش‌خورده می‌باشد که در آن حلقه‌ی پیرولی از طریق پل نیتروژنی به سیستم کینوکسالین متصل شده است. ساختار و ترتیب شماره‌گذاری پیرولو[۲،۱-*a*]کینوکسالین به صورت زیر می‌باشد:



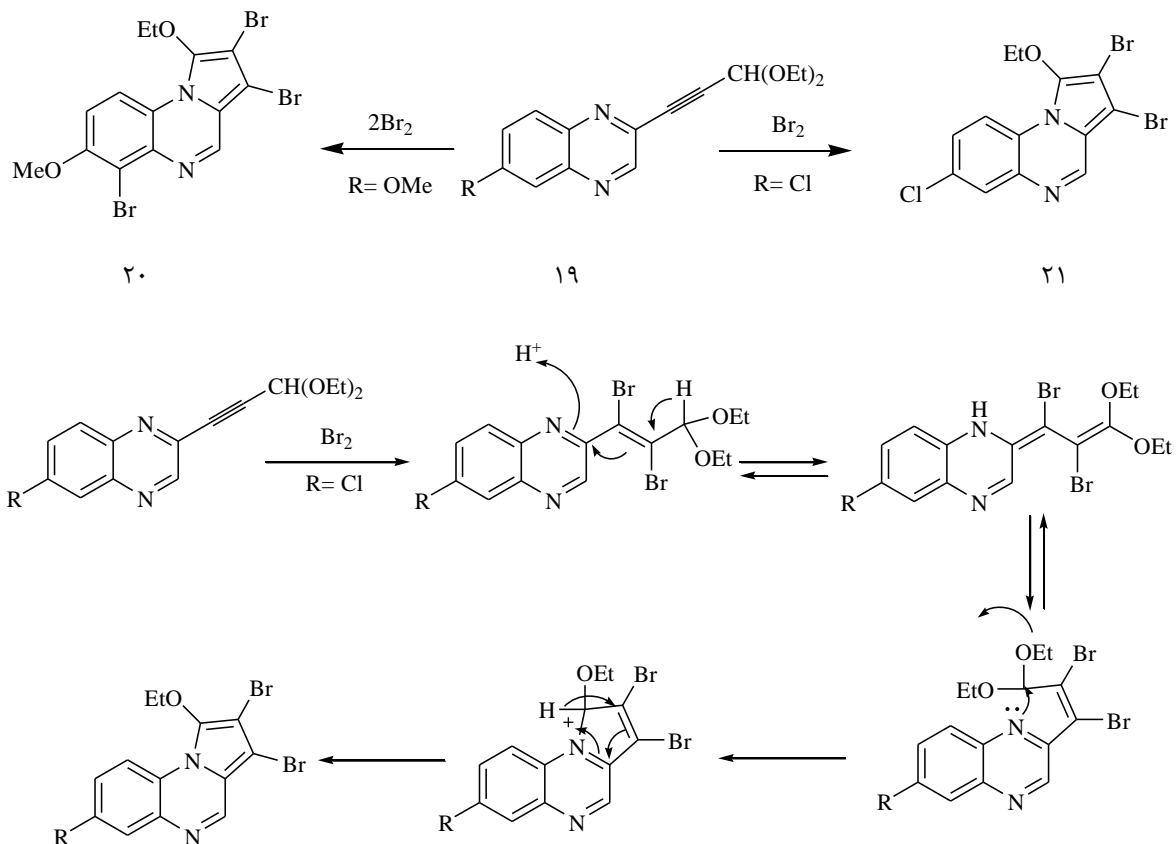
در سال ۲۰۰۰، با استفاده از مشتقات ۲-نیترو آنیلین (۱۴) طی سه مرحله، *N*-(۲-نیتروفنیل)پیرولیدین-۲-کربوکسیلات (۱۶) تهیه شد که در ادامه واکنش توسط پودر آهن در استیک اسید طی واکنش حلقوی شدن کاهشی مشتقاتی از پیرولو[۲،۱-*a*]کینوکسالین‌های استخلاف شده (۱۸) در موقعیت ۸ سنتز گردید [۱۸].



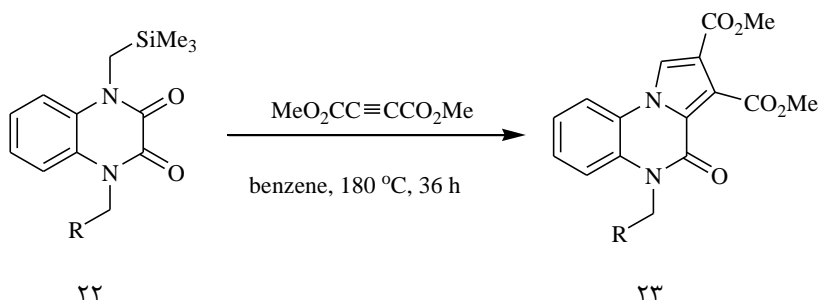
R=Cl, NO<sub>2</sub>, F, ...

در سال ۲۰۰۱، مشتقات جدیدی از پیرولو[۲،۱-*a*]کینوکسالین‌های پراستخلاف (۲۰ و ۲۱) با استفاده از واکنش ۲-۳،۳-دی اتوکسی پیروپین-۱-ایل)کینوکسالین‌ها (۱۹) و برم تهیه شد [۱۹].

مکانیسم واکنش در زیر نشان داده شده است.

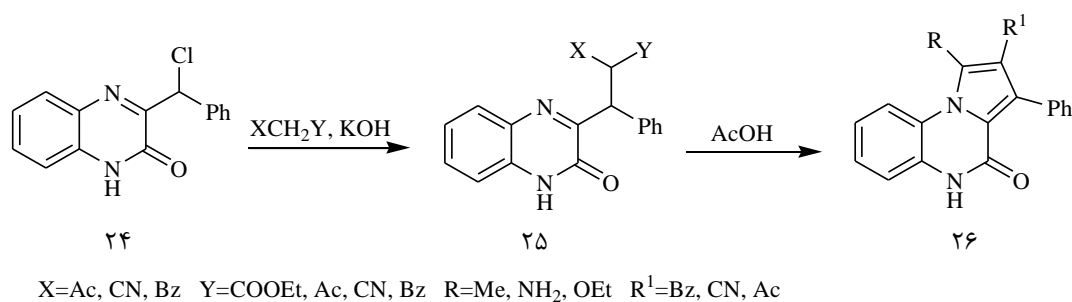


در سال ۲۰۰۳، با استفاده از ترکیب ۱-استخلافی-۴-(تری متیل سایلیل)کینوکسالین-۲،۳-اونها (۲۲) و استیلن‌دیکربوکسیلات در حلال بنزن مشتقاتی از پیرولو[۱,۴-*H*]کینوکسالین استخلاف شده سنتز گردیده است [۲۰].

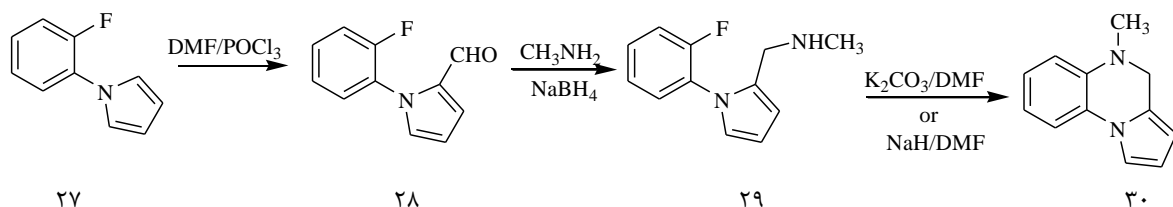


در پژوهشی دیگر در سال ۲۰۰۴، از واکنش میان ۳-α-کلروکربونیل)کینوکسالین-۲-ون (۲۴) و

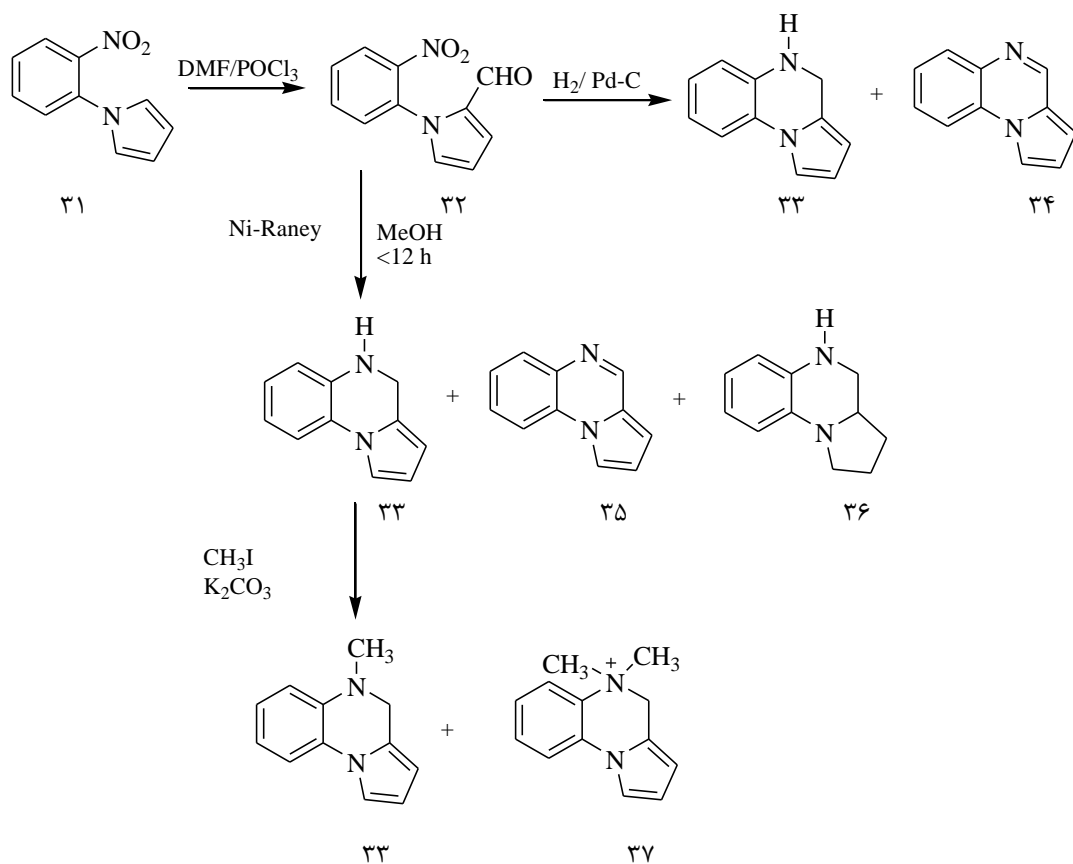
ترکیبات  $\beta$ -دی کربونیل و یا  $\beta$ -نیتریل کربونیل با استفاده از استیک اسید، مشتقاتی از پیرولو[۲،۱-*a*]کینوکسالین-۴-ون‌ها (۲۶) مطابق روش زیر تهیه شده است [۲۱].



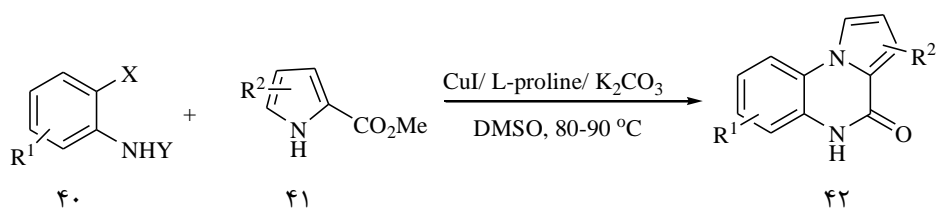
در سال ۲۰۰۷، وربر<sup>۱</sup> و همکارانش با استفاده از ۱-(۲-فلوئورو بنزن)پیرول (۲۷) و ۱-نیتروبنزن)پیرول (۳۱) مطابق دو روش زیر موفق به سنتز مشتقاتی از ۴,۵-دی هیدرو پیرولو[۲،۱-*a*]کینوکسالین شده‌اند. روش اول بهره بیشتری در مقایسه با روش دوم دارد [۲۲].



<sup>1</sup> Verber

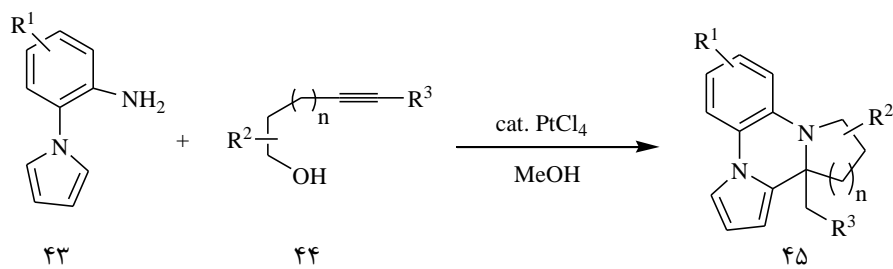


مواد اولیه ۱-(۲-فلوئورو بنز)پیرول (۲۷) و ۱-(۲-نیتروبنز)پیرول (۳۱) از واکنش ۲-نیترو آنیلين و ۲-فلوئورو آنیلين با ۵،۲-دی متوكسی تراهیدرو فوران در مجاورت استیک اسید گلاسیال سنتز شدند. در سال ۲۰۰۸، از واکنش میان اورتو آمینو یدو بنز و مشتقات آن (۴۰) با متوكسی کربونیل پیرولها (۴۱) در مجاورت کاتالیزگر مس(I)یدید، L-پرولین و پتاسیم کربنات، مشتقات جدیدی از پیرولو[۱،۲-ا]کینوکسالین (۴۲) سنتز گردیده است [۲۳].



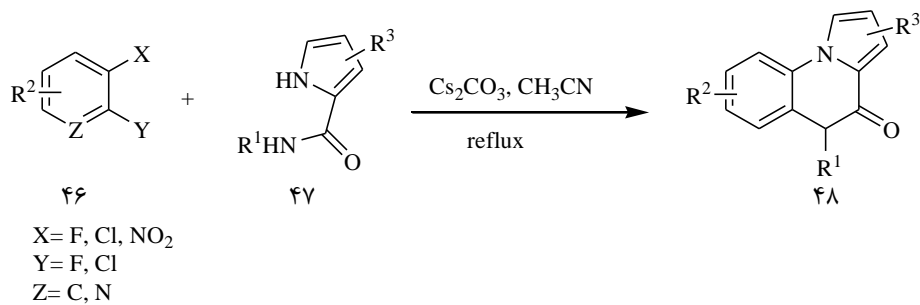
X= I, Br Y=H, COCF<sub>3</sub> R<sup>1</sup>= H, OMe, Me, Ac, CO<sub>2</sub>Me R<sup>2</sup>= H, Et, Cl, Ac, CO<sub>2</sub>Me

در سال ۲۰۱۰، تعدادی از مشتقات پیرولو[۱-۲] کینوکسالین (۴۵) مطابق روش زیر از ۱-۲ آمینوفنیل)پیرول ها (۴۳) و آلکین های دارای گروه هیدروکسی (۴۴) در مجاورت کاتالیزگر پلاتین تتراکلرید در حلال متابول سنتز شد [۲۴].



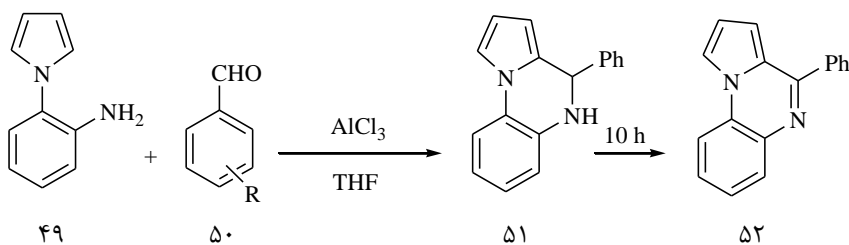
در این واکنش، نمک پلاتین، هیدروآمین دار کردن درون مولکولی بین آمین های آروماتیک و آلکینول ها را که منجر به تشکیل ایمین طی واکنش مانیخ می شود را کاتالیزگری می کند. در ادامه حذف آب منجر به تشکیل محصول حلقوی می شود.

در پژوهشی دیگر در سال ۲۰۱۱، در یک فرآیند جهت گزین از واکنش ۱-۲-دی هالو بنزن‌ها یا -۲-هالونیتروآرن‌ها (۴۶) و پیرولو-۲-کربوکسامیدها (۴۷) در حلال استونیتریل و حضور سزیم کربنات مشتقاتی از پیرولو[۱-۲-a]کینوکسالین سنتز گردیده است [۲۵].

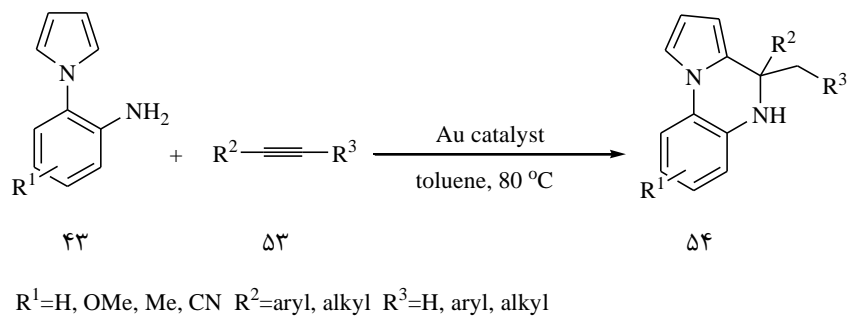


در این واکنش پیرولو-۲-کربوکسامیدهای با گروه الکترون کشند، بهره بالاتری نسبت به گروههای الکترون دهنده دارند.

همچنین ورما<sup>۱</sup> و همکارانش با استفاده از کاتالیزگر آلمینیوم کلرید در حلal تتراهیدرو فوران، از مواد اولیه ۱-(۲-آمینوفنیل)پیروول (۴۹) و آلدھیدهای آروماتیک (۵۰) موفق به سنتز دی هیدروپیرولو [۲،۱-*a*]کینوکسالین (۵۱) در دمای اتاق شدند. ادامه واکنش به مدت ده ساعت ادامه منجر به تشکیل پیرولو [۲،۱-*a*]کینوکسالین (۵۲) می‌گردد [۲۶].



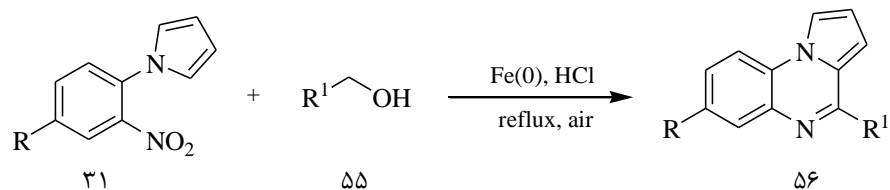
در مطالعه‌ای دیگر، لیو<sup>۲</sup> و همکارانش با استفاده از ترکیبات استیلینی (۵۳) و مشتقات ۱-(۲-آمینوفنیل)پیروول (۴۹) در حلal تولوئن و دمای ۸۰ °C و در حضور کاتالیزگر طلا موفق به سنتز مشتقات پیرولو [۲،۱-*a*]کینوکسالین (۵۴) شده‌اند [۲۷].



در سال ۲۰۱۲، مشتقاتی از ۴-دو استخلافی پیرولو [۲،۱-*a*]کینوکسالین (۵۶) طی مجموعه‌ای از واکنش‌ها شامل کاهش، تشکیل ایمین و حلقه زایی درون مولکولی با استفاده از مشتقات ۱-(۲-نیتروفنیل)پیروول (۳۱) و الکل‌های بنزیلی و یا آلیفاتیک (۵۵) در حضور کاتالیزگر پودر آهن و شرایط اسیدی سنتز شده است [۲۸].

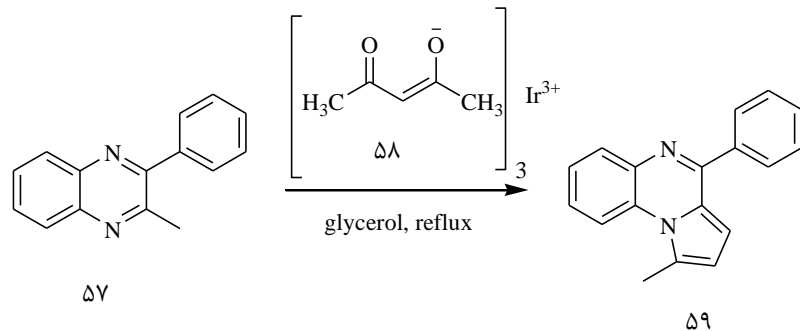
<sup>1</sup> Akhilesh K. Verma

<sup>2</sup> Huanhuan Liu



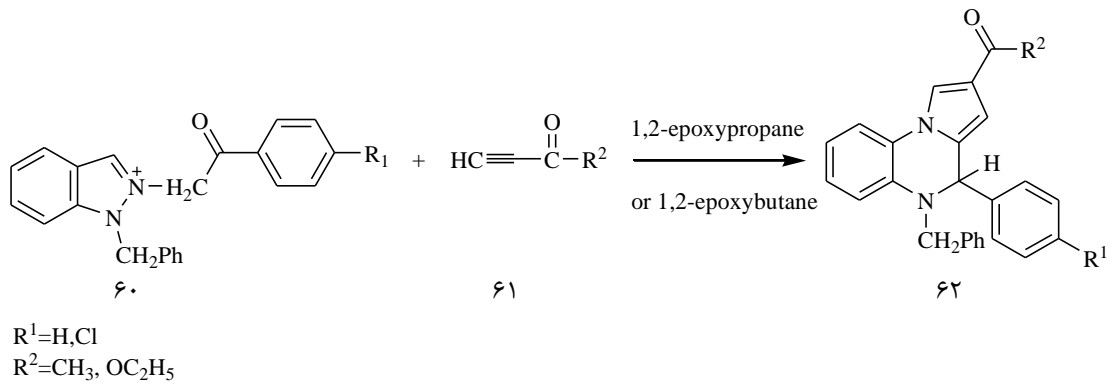
در شرایط اسیدی، آهن گروه نیترو را به آمین کاهش داده و خود به نمک‌های آهن تبدیل شود که می‌تواند الکل را به آلدهید اکسید نماید. تراکم آلدهید و آمین منجر به تشکیل یون ایمینیوم می‌شود که در نهایت حلقه زایی اتفاق افتاده و دی هیدرو کینوکسالین تشکیل می‌شود که پس از اکسایش محصول پیرولو[۲،۱-*a*]کینوکسالین تشکیل می‌گردد.

در پژوهشی دیگر، آمرمن<sup>۱</sup> و همکارانش با استفاده از ۲-متیل-۳-فنیلکینوکسالین (۵۷) و کاتالیزگر ایریدیوم استیلن (۵۸) در حلal گلیسیرین موفق به سنتز ۱-متیل-۴-فنیل پیرولو[۲،۱-*a*]کینوکسالین گردیده اند [۲۹].

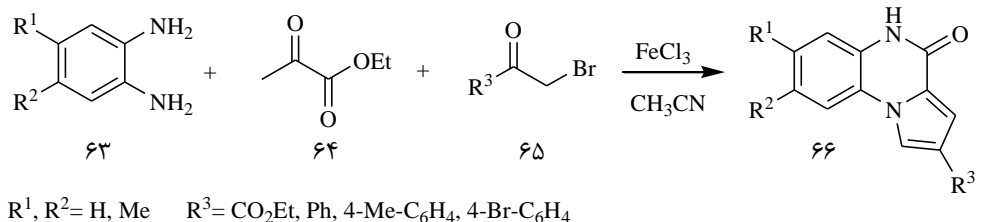


در سال ۲۰۱۳، از واکنش میان ۱-بنزیل-۳-فناسیل بنزیمیدازیوم ایلیدها (۶۰) و آلکین‌های با کمبود الکترون (۶۱) در حلal پروپیلن اکسید و در دمای اتاق مشتقاتی از ۴،۵-دی هیدرو پیرولو[۲،۱-*a*]کینوکسالین (۶۲) مطابق روش زیر سنتز شده است [۳۰].

<sup>۱</sup> Sven Ammermann

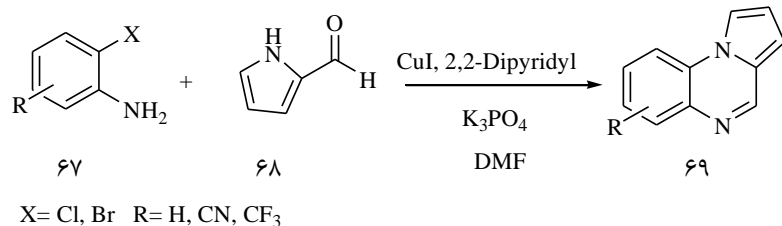


نکته جالب این واکنش این است که از همین مواد اولیه در حلal ۱-اپوکسی بوتان در دمای بالاتر از  $50^\circ\text{C}$  استفاده شود، پیرولو [۲،۱-ا]بنزیمیدازول با بهره بالا تشکیل می‌گردد. در پژوهشی دیگر در سال ۲۰۱۴، مشتقات جدیدی از پیرولو [۲،۱-ا]کینوکسالین (۶۶) از مواد اولیه ۱-دی‌آمین‌ها (۶۳)، اتیل پیرووات (۶۴) و  $\alpha$ -برموکتون‌ها (۶۵) طی یک واکنش سه جزیی با استفاده از کاتالیزگر آهن(III)کلرید در حلal استونیتریل تهیه شده است [۳۱].

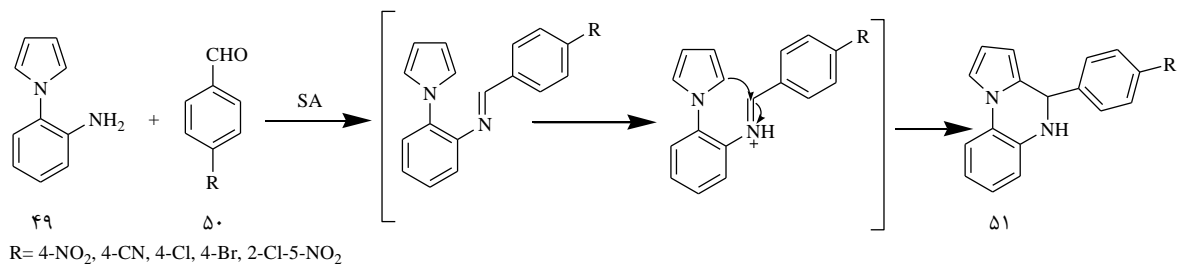


همچنین ژانگ<sup>۱</sup> و همکارانش با استفاده از کاتالیزگر مس(I)یدید در حلal DMF و باز پتابسیم فسفات و مواد اولیه اورتو‌آمینو‌آلدهید (۶۷) و ۱-پیرولو-۲-کربالدهید (۶۸) موفق به سنتز مشتقات گوناگونی از پیرولو [۲،۱-ا]کینوکسالین (۶۹) شده‌اند [۳۲].

<sup>1</sup> Jingjing Zhang

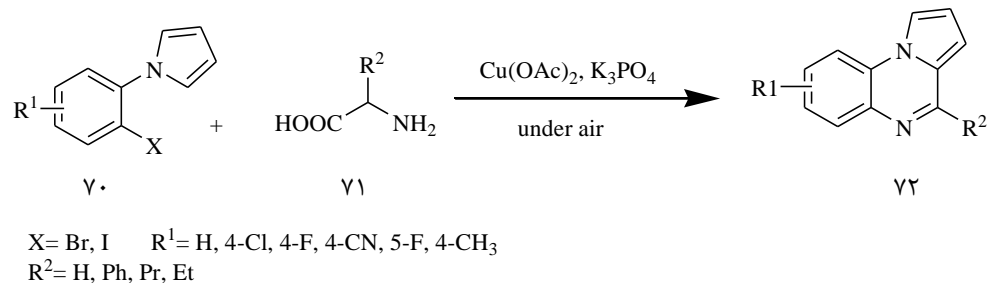


در سال ۲۰۱۵، مشتقاتی از ۴،۵-دی هیدرو پیرولو[۲،۱-*a*]کینوکسالین (۵۱) با استفاده از آمینوفنیلپیرول (۴۹) و آلدهیدهای آروماتیک (۵۰) در مجاورت کاتالیزگر سولفامیک اسید طبق مکانیسم زیر سنتز شده است [۳۳].



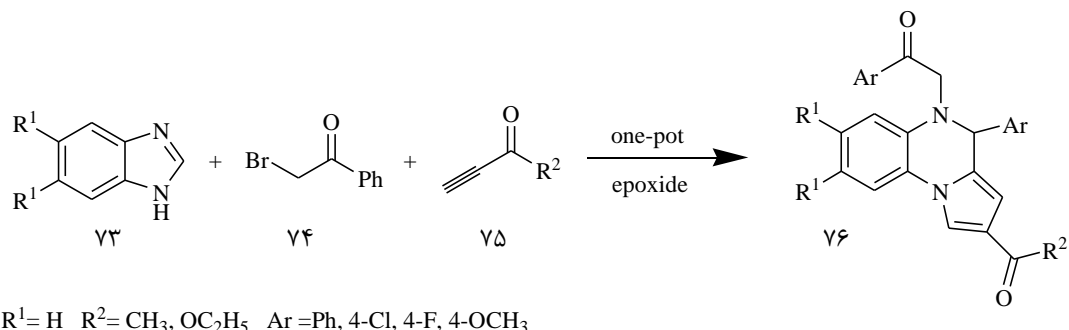
در این واکنش از سولفامیک اسید به عنوان یک کاتالیزگر سبز و قابل بازیافت در حلal آب استفاده شده است.

همچنین لیو<sup>1</sup> و همکارانش با استفاده از ۱-(۲-هالوفنیل)-*H1*-پیرولها (۷۰) و  $\alpha$ -آمینو اسیدها (۷۱) در حضور مس(II)استات و فسفات پتاسیم مطابق واکنش زیر موفق به سنتز مشتقاتی از پیرولو[۲،۱-*a*]کینوکسالین شده اند [۳۴].

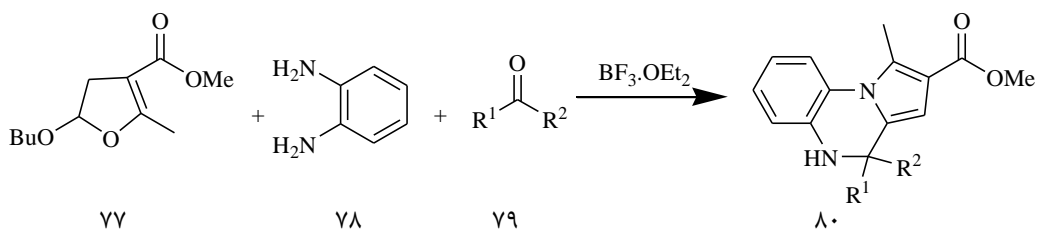


<sup>1</sup> Huanhuan Liu

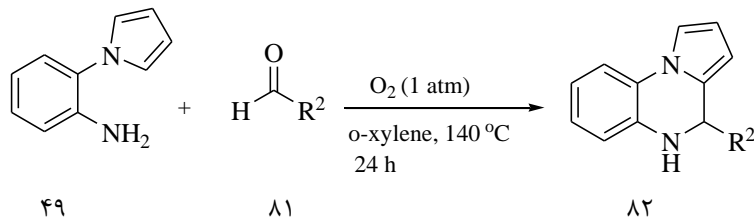
در پژوهشی دیگر در یک واکنش سه جزئی تک ظرفی با استفاده از ترکیبات هتروسیکلی نیتروژن‌دار، مشتقاتی از  $\alpha$ -برموکربونیل‌ها (۷۴) و آلکین‌های فعال (۷۵) و در حضور یک اپوکسید مشتقاتی از پیرولو[۲،۱-*a*]کینوکسالین (۷۶) سنتز شده است [۳۵].



در سال ۲۰۱۶، مشتقاتی از پیرولو[۲،۱-*a*]کینوکسالین (۸۰) از مواد اولیه ۲-آلکوکسی-۳،۲-دی‌هیدرو فوران (۷۷)، اورتو فنیل دی‌آمین (۷۸) و کتون (۷۹) مطابق روش زیر سنتز شده است [۳۶].



وانگ<sup>۱</sup> و همکارانش با استفاده از ۱-(۲-آمینوفنیل)پیروول (۴۹) و آلدهیدها (۸۱) در حضور اکسیژن و در حلal زایلن بدون استفاده از کاتالیزگر طی ۲۴ ساعت موفق به سنتز مشتقاتی از پیرولو[۲،۱-*a*]کینوکسالین (۸۲) شده است [۳۷].

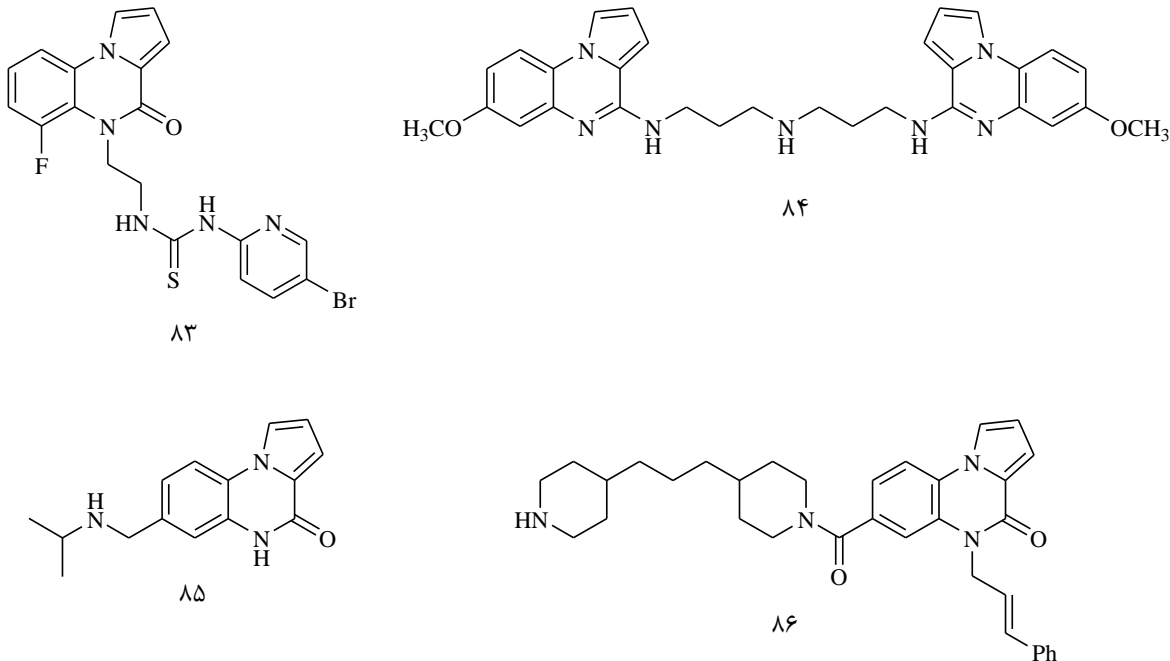


<sup>1</sup>Wang

## ۱-۵-۱- خواص بیولوژیکی و دارویی پیرولو[۱،۲-*a*]کینوکسالین

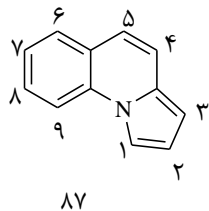
از میان طبقات مختلف ترکیبات هتروسیکلی، کینوکسالین‌ها یکی از مهم‌ترین ترکیبات هتروسیکلی دارای اتم نیتروژن می‌باشند که به دلیل دامنه گسترده فعالیت‌های بیولوژیکی خود نظیر اثرات ضد انگل [۳۸]، ضد سل [۳۹]، ضد دیابت [۴۰] و ضد سرطان [۴۱] به خوبی شناخته شده‌اند.

جوش‌خوردن سیستم کینوکسالین با سایر سیستم‌های هتروسیکلی می‌تواند ترکیبات هتروسیکلی جدیدی را ایجاد نمایند که از لحاظ خواص بیولوژیکی فعال‌تر باشند. در این میان ساختار پیرولو[۱،۲-*a*]کینوکسالین (۴۴) در شیمی دارویی اهمیت زیادی دارد. مشتقات پیرولو[۱،۲-*a*]کینوکسالین می‌توانند به عنوان عوامل ضد ایدز (۸۳) [۴۲]، ضد مalaria (۸۴) [۴۳]، ضد سرطان (۸۵) [۴۴] و بازدارنده PARP-1 [۴۵] (۸۶) عمل کنند.

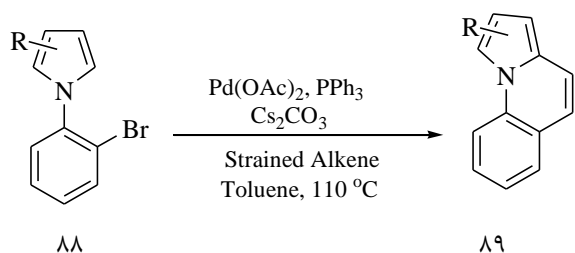


## ۱-۶- شیمی پیرولو[۲،۱-*a*]کینولین‌ها

پیرولو[۲،۱-*a*]کینولین (۸۷)، یک سیستم سه حلقه‌ای جوش‌خورده می‌باشد که در آن حلقه‌ی پیرولی از طریق پل نیتروژنی به سیستم کینولین متصل شده است. ساختار و ترتیب شماره‌گذاری پیرولو[۲،۱-*a*]کینولین به صورت زیر می‌باشد:

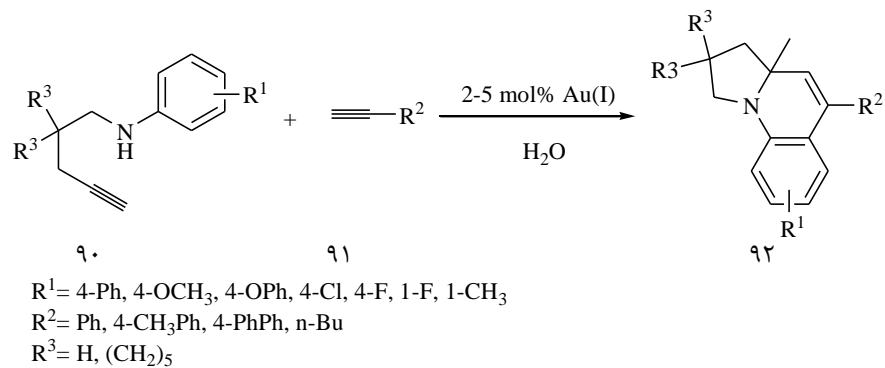


در سال ۲۰۰۷، با استفاده از کاتالیزگر پالادیوم استات در حلal تولوئن و دمای  $110^{\circ}\text{C}$  از ماده اولیه ۱-(برموفنیل)-H1-پیرول (۸۸) مشتقاتی از پیرولو[۲،۱-*a*]کینولین (۸۹) تهیه شده است. در این واکنش از نوربورن به عنوان لیگاند اصلی و تری‌فنیل‌فسفین به عنوان لیگاند کمکی استفاده شده است [۴۶].

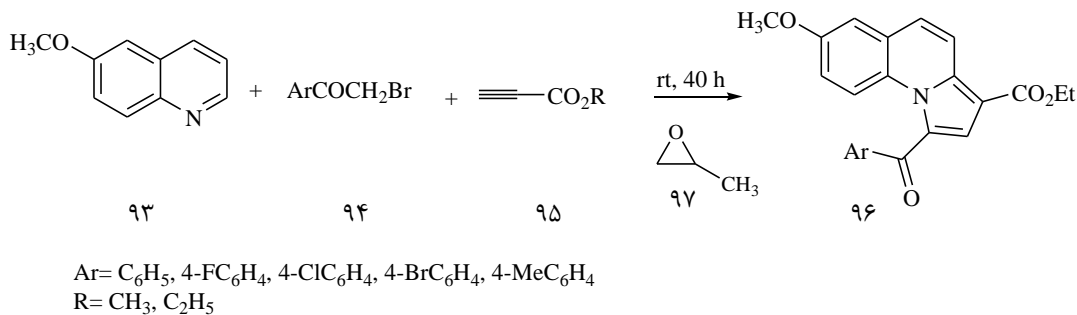


در سال ۲۰۰۸، لی‌یو<sup>۱</sup> و همکارانش با استفاده از ۴،۱-آمینوآلکین‌ها (۹۰) و آلکن‌ها (۹۱) در حلal آب و در مجاورت کاتالیزگر طلا مشتقاتی از پیرولو[۲،۱-*a*]کینولین‌ها (۹۲) را سنتز کرده‌اند. در این روش تشکیل دو پیوند کربن-کربن و یک پیوند کربن-نیتروژن منجر به سنتز دو حلقه جدید در یک واکنش تک طرفی شده است [۴۷].

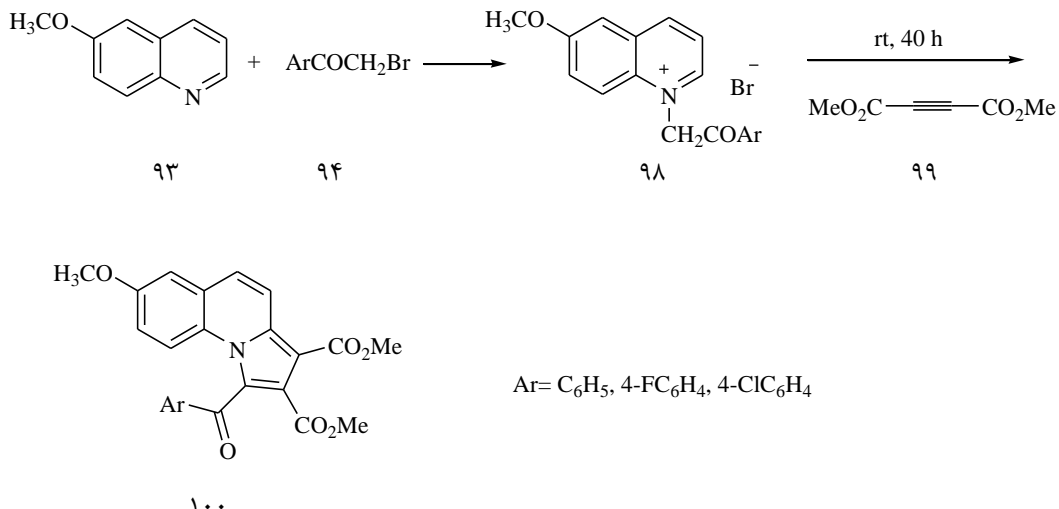
<sup>1</sup> Huanhuan Liu



در سال ۲۰۰۹، در پژوهشی از طریق حلقه‌زایی ۱-دو قطبی کینولینیوم  $N$ -ایلیدها در واکنش سه جزئی تک ظرفی در حلال پروپیلن اکسید مشتقاتی از ۱-دی استخلافی-۷-متوكسی پیرولو[۲،۱- $a$ ]کینولین (۹۶) سنتز گردیده است [۴۸].



در این واکنش اگر از دی‌متیل استیلن‌دی کربوکسیلات (DMAD) (۹۹)، به عنوان حلال استفاده شود، مشتقات ۳،۲-سه استخلافی-۷-متوكسی پیرولو[۲،۱- $a$ ]کینولین (۱۰۰) تشکیل می‌گردد.

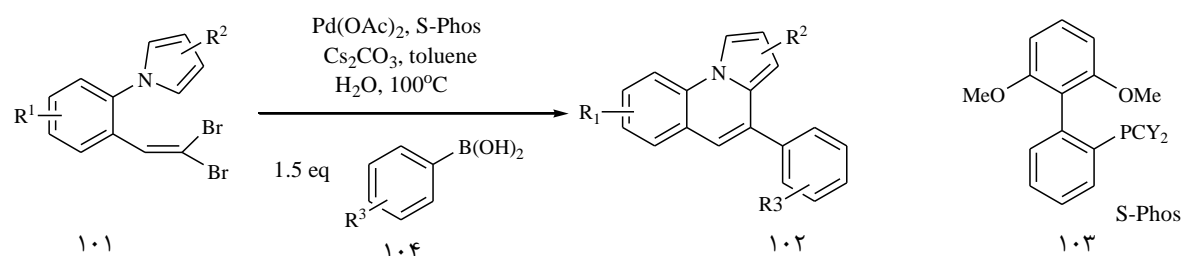


در پژوهشی دیگر، مشتقاتی از پیرولو[*a*-۲،۱]کینولین با استفاده از دیبرمووینیل‌های مجاور (۱۰۱)

طی واکنش‌های جفت شدن سوزوکی-میاورا<sup>۱</sup> و آریل‌دار شدن مستقیم با استفاده از لیگاند S-Phos

(۱۰۳) در حضور کاتالیزگر پالادیم استات و نمک سزیم کربنات در حلal تولوئن و دمای ۱۸۰ °C تهیه

. [۴۹]. شده است



در مطالعه‌ای دیگر، داوود<sup>۲</sup> و همکارانش از واکنش کینولین با ۳-برمواستیل-۱،۵-دیفنیل-*H*۱-

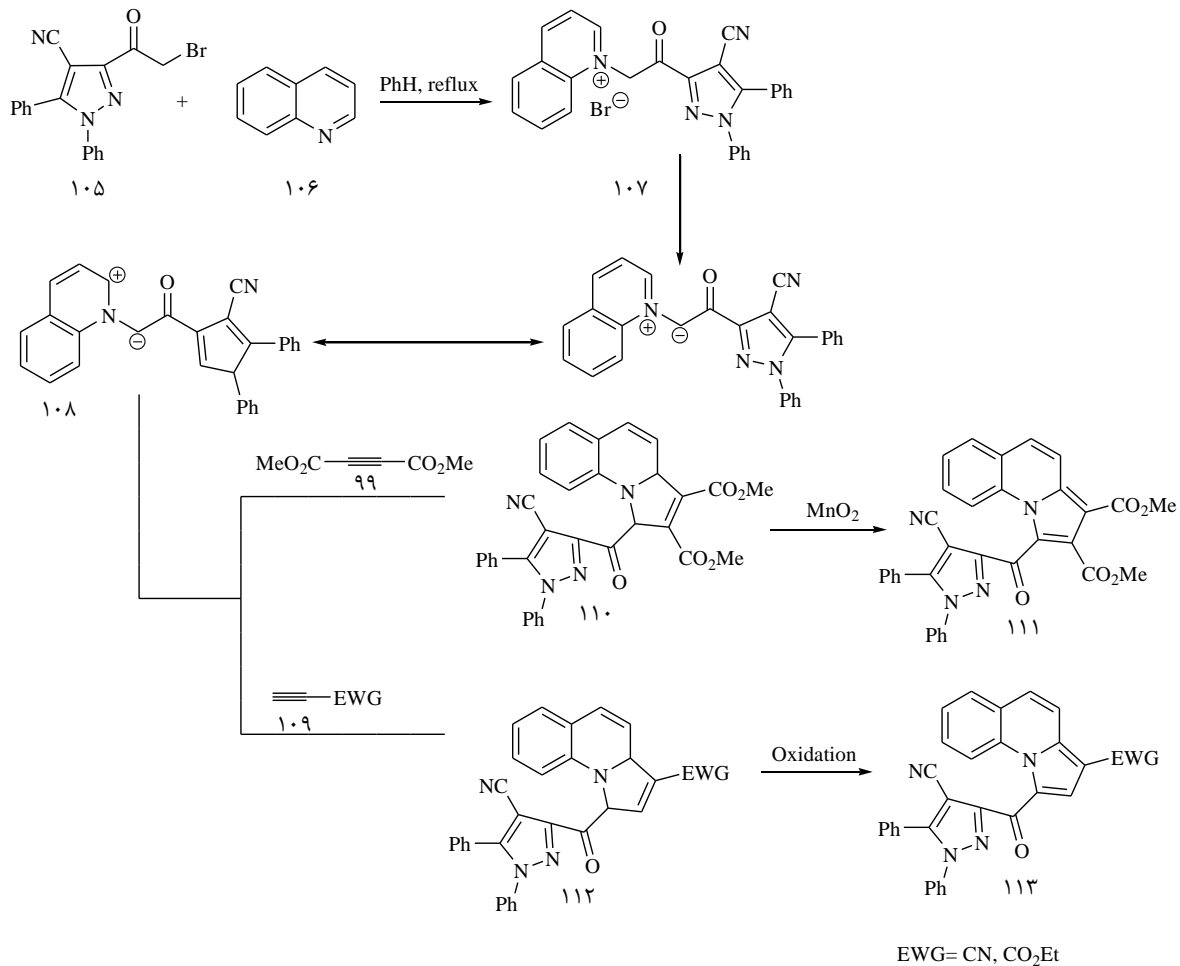
پیازول-۴-کربونیتریل (۱۰۵) در حلal بنزن خشک موفق به سنتز نمک‌های کینولین (۱۰۸) شدند.

سپس این نمک در واکنش حلقه‌زایی ۱-۳-دو قطبی با ترکیبات اتیلینی و یا استیلینی (۹۹) مشتقاتی از

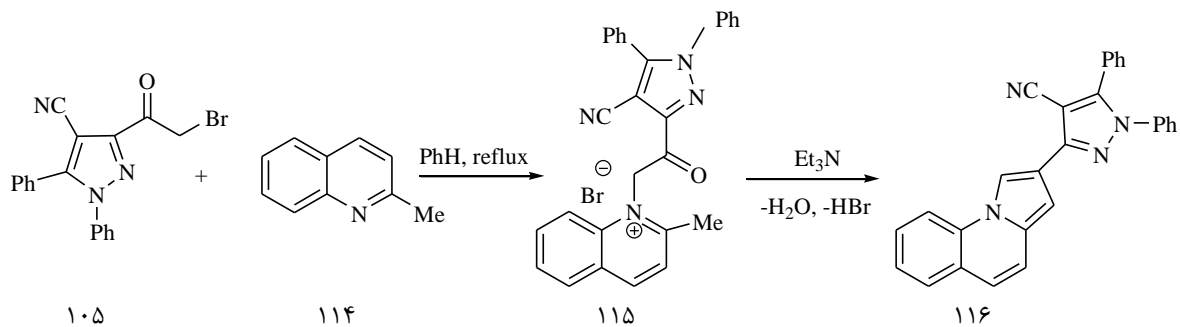
پیرولو[*a*-۲،۱]کینولین (۱۰۹) را ایجاد می‌کند [۵۰].

<sup>1</sup> Suzuki-Miyaura

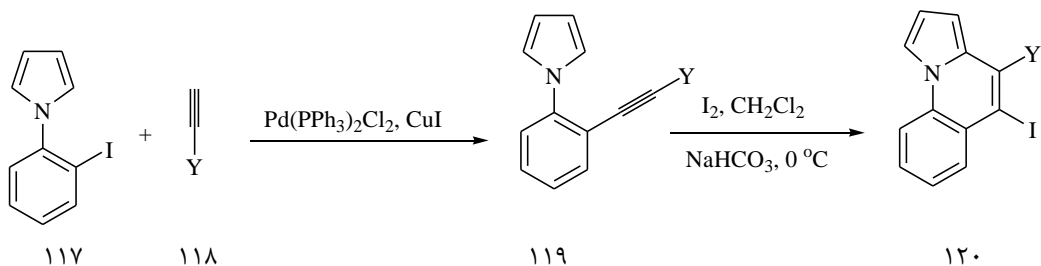
<sup>2</sup> Dawood



همچنین نمک‌های کینولین در حضور باز تری‌اتیل‌آمین مطابق زیر، می‌توانند مشتقات پیرولو[۱-۲]ا-کینولین (۱۱۶) را تولید کنند.

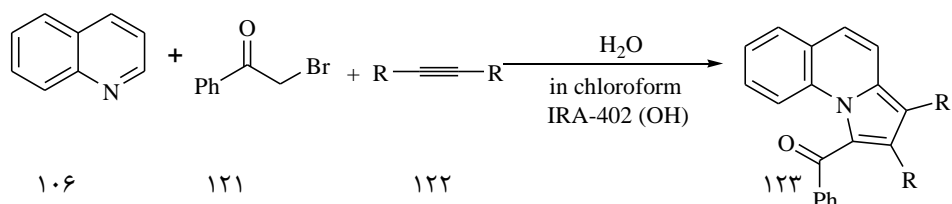


در سال ۲۰۱۱، ورما<sup>۱</sup> و همکارانش، با استفاده از مشتقات ۱-(۲-بیوفنیل)-H۱۷-پیرول (۱۱۷) طی یک واکنش دو مرحله‌ای که شامل واکنش‌های سونوگاشیرا و حلقه‌زایی درون مولکولی با استفاده از کاتالیزگر ید موفق به سنتز مشتقات ۵-یدوپیرولو[۴-۲،۱]کینولین (۱۲۰) شدند. در این روش از ید به عنوان الکتروفیل جهت فعال نمودن پیوند سه گانه استفاده شده است [۵۱].



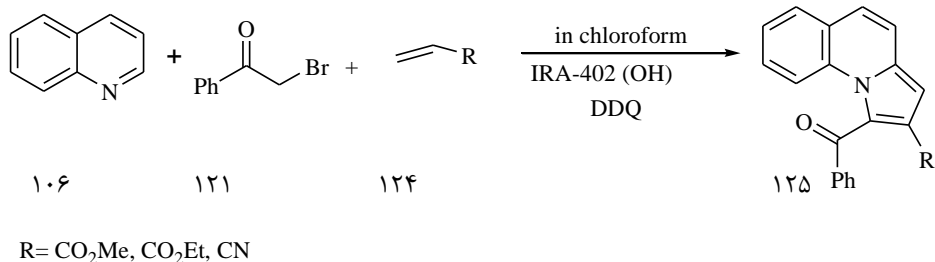
Y= Ph, 4-MePh, 4-EtPh, 4-OMePh, 3-MePh

در در پژوهشی دیگر، با استفاده از واکنش ۲-برمواستوفنون (۱۲۱)، کینولین (۱۲۲) و آلنها (۱۲۴) و یا آلکین‌ها (۱۲۲) با استفاده از کاتالیزگر آمبرلیت (Amberlite-IRA-402(OH)) که یک رزین تبادل یون می‌باشد و دارای خاصیت بازی می‌باشد، مشتقاتی از پیرولو[۴-۲،۱]کینولین تهیه شده است [۵۲].



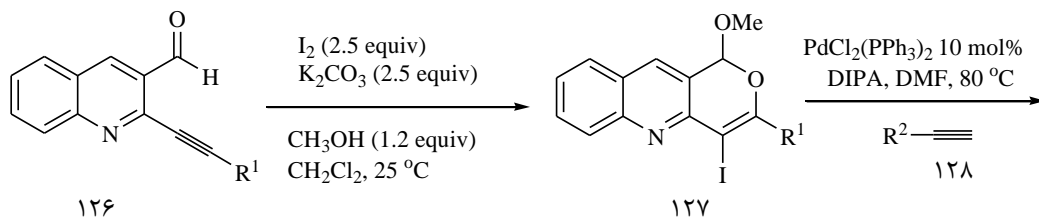
R= CO<sub>2</sub>Me, CO<sub>2</sub>Et

<sup>1</sup> Akhilesh Kumar Verma



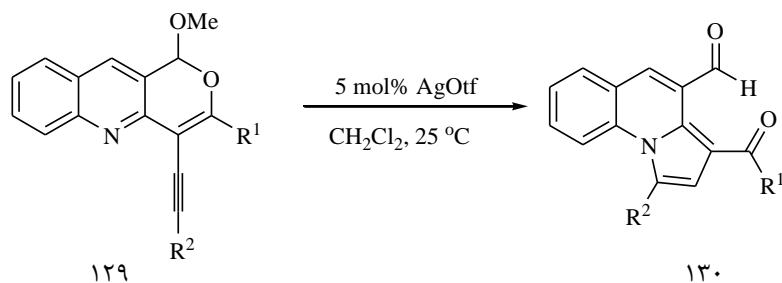
در سال ۲۰۱۲، مشتقاتی از پیرولو[۲،۱-*a*]کینولین با استفاده از ۴-آلکینیل-پیرانو[b-۴،۳]کینولینها (۱۲۹) طبق مکانیسم زیر تهیه شده است. در این روش ابتدا از ۴-یدوپیرانو[b-۴،۳]کینولین (۱۲۹) سنتز گردیده است [۵۳].

(۱۲۷)، ترکیب ۴-آلکینیل-پیرانو[b-۴،۳]کینولین (۱۲۹) سنتز گردیده است [۱۲۷].



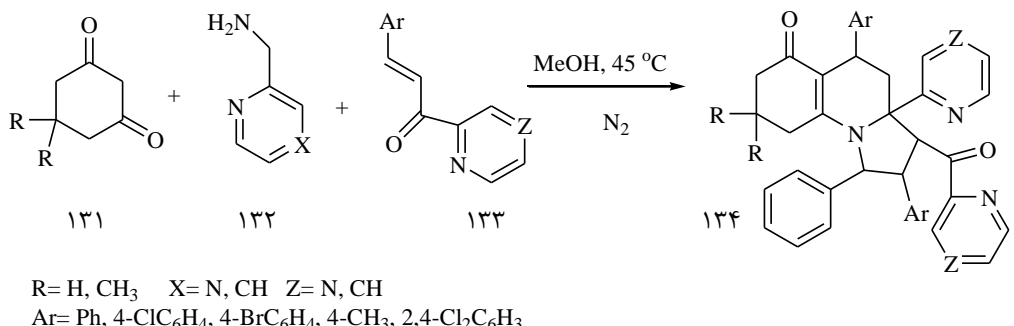
$R^1 = \text{alkyl, aryl}$

$R^2 = \text{substituted aryl, alkyl}$

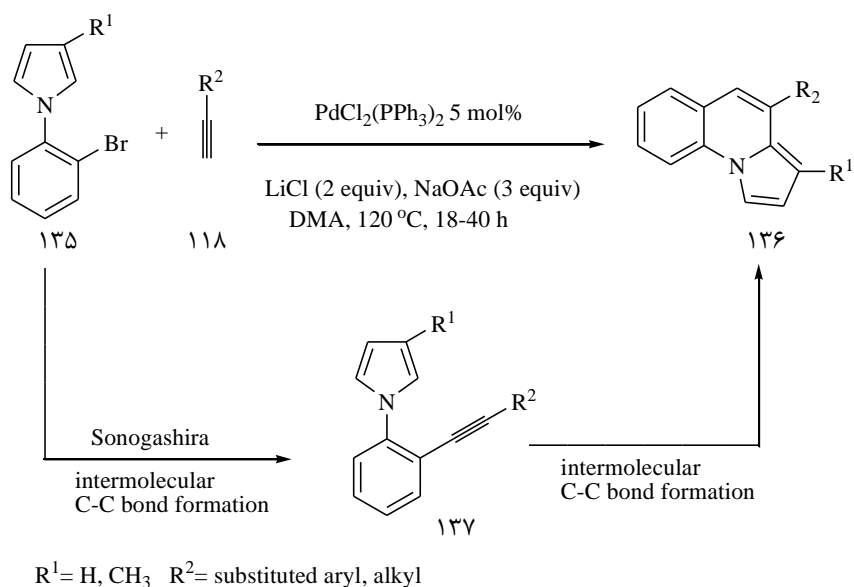


در پژوهشی دیگر، طی یک واکنش چند جزئی زیر جو نیتروژن طبق واکنش زیر در حل متانول،

مشتقاتی از پیرولو[۲،۱-*a*]کینولین (۱۳۴) سنتز شده است [۵۴].

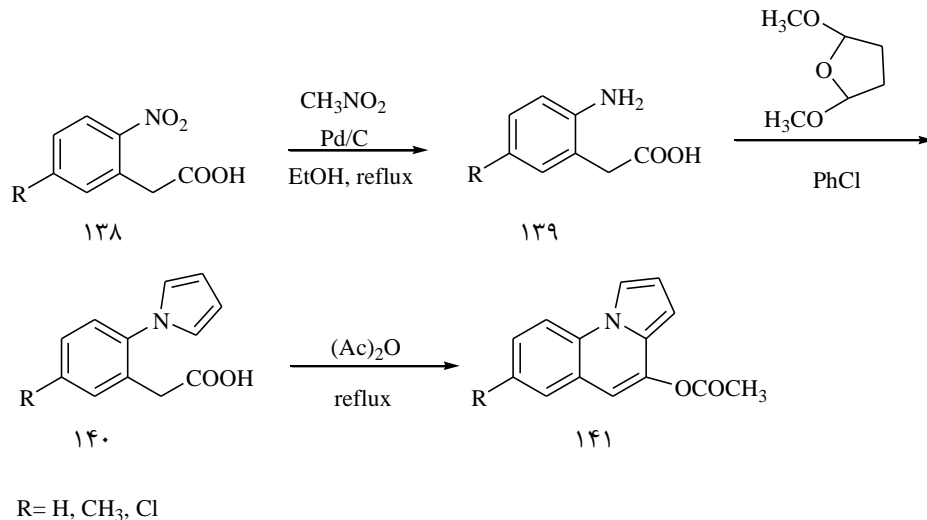


در مطالعه‌ای دیگر، شوکا<sup>۱</sup> و همکارانش با استفاده از ۱-(۲-برموفنیل)-H1-پیروول (۱۳۵) و ترکیبات استلینی (۱۱۸) طی یک واکنش سونوگاشیرا و تشکیل پیوند کربن-کربن درون مولکولی مشتقاتی از پیرولو[۲،۱-*a*]کینولین (۱۳۶) را مطابق زیر سنتز کردند [۵۵].



در سال ۲۰۱۳، مشتقاتی از پیرولو[۲،۱-*a*]کینولین-۴-ایل استات (۱۴۲) با استفاده از ماده اولیه ۲-نیتروفنیل اسید (۱۳۸) طی واکنش چند مرحله‌ای زیر سنتز شده است [۵۶].

<sup>1</sup> Satya Prakash Shukla

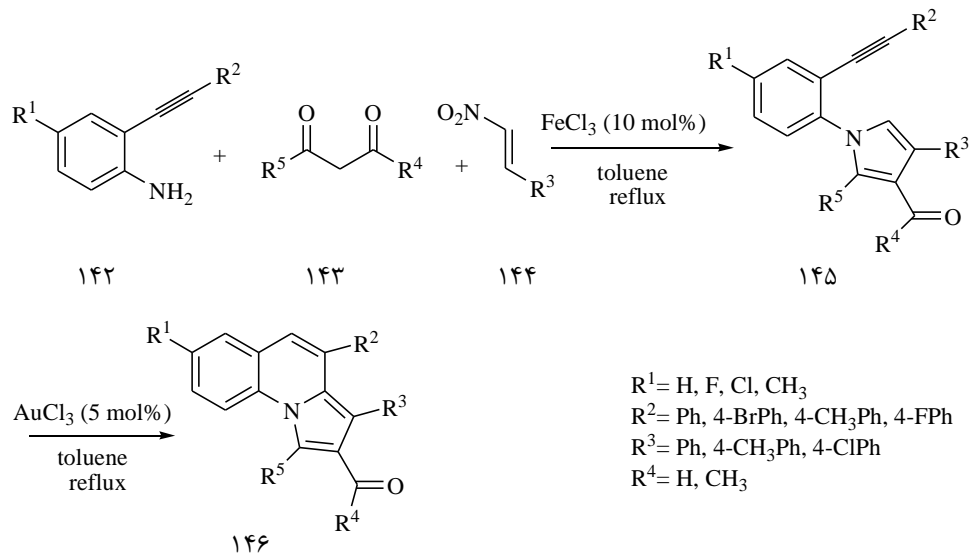


همچنین در پژوهشی دیگر، سارکار<sup>۱</sup> و همکارانش روشی آسان و موثر برای سنتز پیرولو[۱]۲-۳-

*a* آکینولین‌ها ارائه دادند که در آن ابتدا به وسیله‌ی کاتالیزگر آهن(III) طی یک واکنش تک ظرف سه

جزئی *N*-آلکینیل)پیرول‌ها (۱۴۲) سنتز گردید و در ادامه در یک واکنش حلقه‌زایی درون مولکولی در

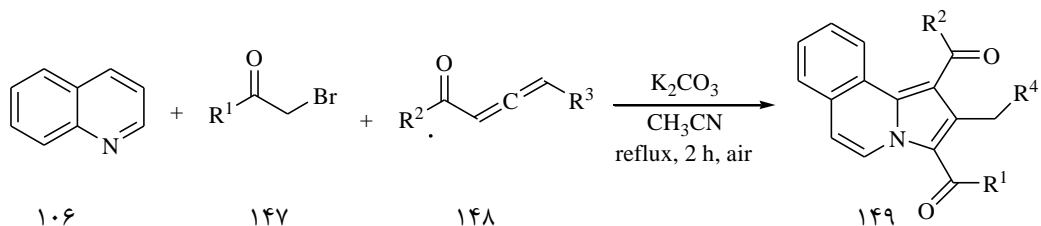
حضور کاتالیزگر طلا، پیرولوکینولین‌ها (۱۴۶) با بهره بالا سنتز شدند [۵۷].



در مطاله‌ای دیگر، با استفاده از مواد اولیه کینولین، α-برموکتون‌ها (۱۴۷) و آنیل کتون‌ها (۱۴۸) در

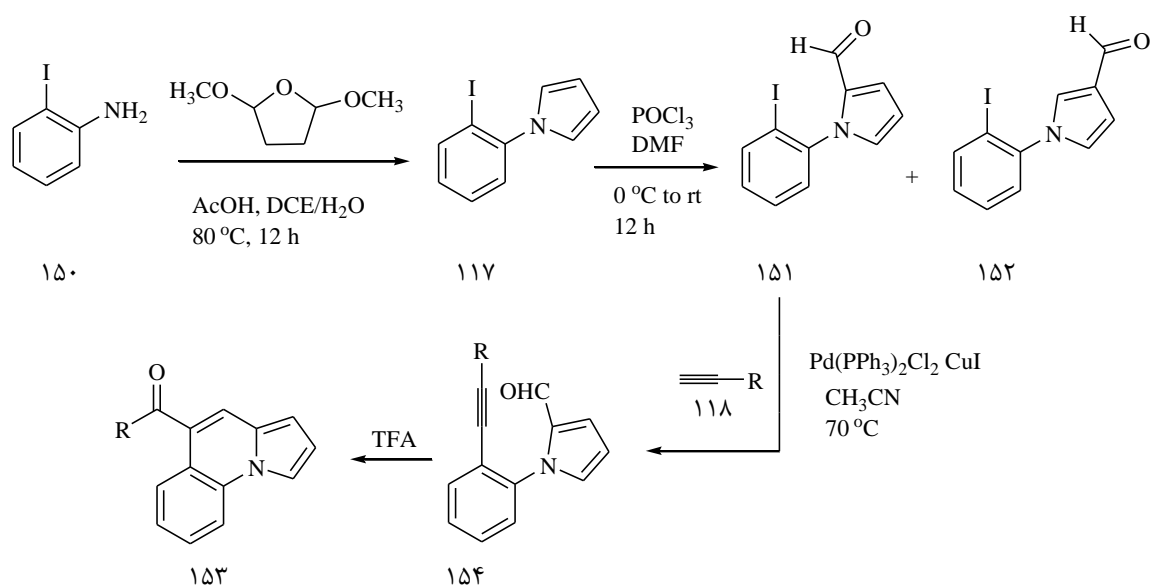
1 Souman Sarkar

حلال استونیتریل و در حضور کاتالیزگر پتاسیم کربنات مطابق روش زیر موفق به سنتز مشتقاتی از پیرولو[*a*-کینولین (۱۴۹) با خاصیت دارویی و بیولوژیکی شده‌اند [۵۸].



$R^1 = \text{Ph, 2-BrPh, 4-FPh, 4-OEtPh}$   
 $R^2 = \text{Ph, 4-FPh, 4-CNPh, 4-ClPh, PhCH}_2$   
 $R^3 = \text{H, Me}$

همچنین در سال ۲۰۱۵، طی یک واکنش جفت شدن سونوگاشیرا و حلقه‌زایی درون مولکولی مطابق مکانیسم زیر مشتقاتی پیرولو[*a*-کینولین (۱۵۳) با استخلاف در موقعیت ۵ سنتز شده است [۵۹].



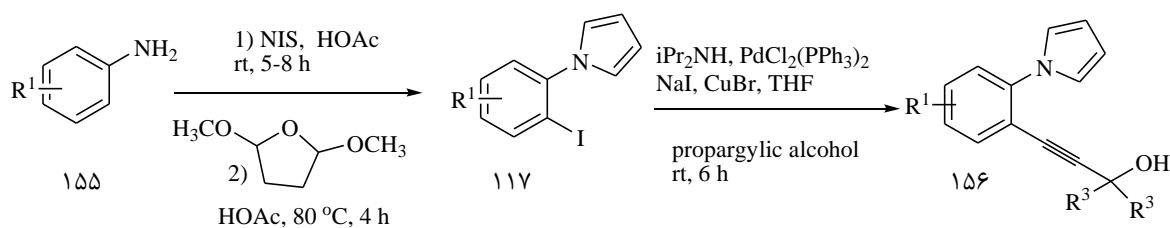
$R = \text{Ph, 4-F-Ph, 3-F-Ph, 3-Me-Ph, 3-MeO-Ph}$

همچنین در پژوهشی دیگر، بومان<sup>۱</sup> و همکارانش با استفاده از ۱-(۲-یدوفنیل)پیروولها (۱۱۷) و

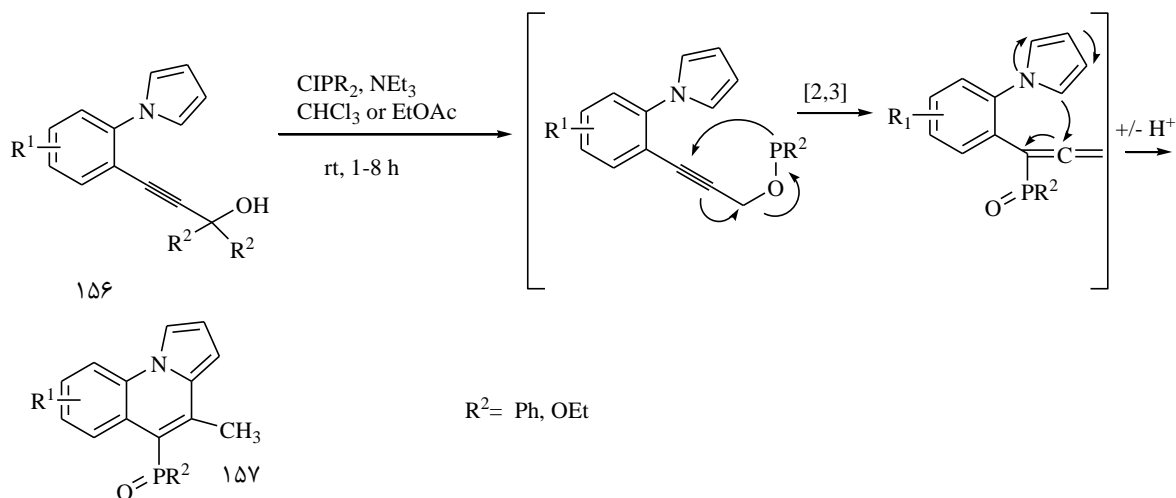
<sup>1</sup> Baumann

پروپارژیل الکل‌ها طی واکنش چند مرحله‌ای زیر مشتقاتی از پیروولو[*a*-کینولین (۱۵۷) که حاوی

گروه‌های فسفونات و یا فسفین اکسید می‌باشند را سنتز کرده‌اند [۶۰].



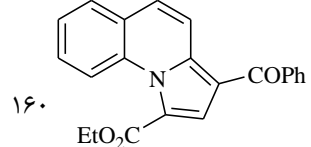
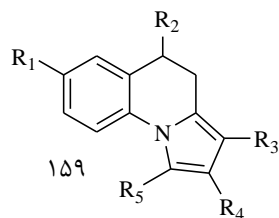
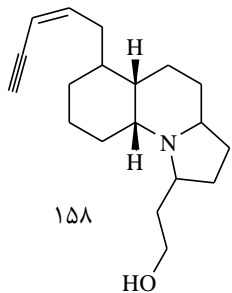
$R^1 = 4\text{-Cl}, 4\text{-Br}, 4\text{-CH}_3, 3\text{-Cl-4-F}, 2,4\text{-F}_2, \dots$   
 $R^3 = \text{H, CH}_3$



## ۱-۶-۱- خواص بیولوژیکی و دارویی پیرولو[۲،۱-*a*]کینولین‌ها

هتروسیکل‌های نیتروژنی جوش خورده به دلیل حضور در ساختار تعداد زیادی از ترکیبات طبیعی و کاربرد وسیع آن‌ها در صنعت دارویی و علم مواد اهمیت زیادی دارند. از میان ترکیبات هتروسیکلی نیتروژنی، پیرولو[۲،۱-*a*]کینولین‌های استخلاف شده و مشتقات اکسایش و یا کاهش یافته آن، محدوده وسیعی از ترکیبات طبیعی و بیولوژیکی را شامل می‌شوند.

ترکیبات پیرولو[۲،۱-*a*]کینولین در بسیاری از آلkalوئیدها نظیر جفیروتوكسین<sup>۱</sup> موجود است [۶۲]. این آلkalوئید که یک پلی هیدرو پیرولو[۲،۱-*a*]کینولین است، که در سنتز داروهای عصبی کاربرد دارد [۶۳]. علاوه بر این پیرولو[۲،۱-*a*]کینولین‌ها دارای خواص شناخته شده‌ای نظیر ضد تومور [۶۴]، ضد باکتری [۶۵]، ضد قارچی [۶۶] و ضد ویروسی [۶۷] می‌باشند.



دارو درمان‌کننده مشکلات

عصبي

داروی ضد قارچ

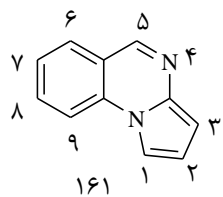
داروی ضد باکتری

---

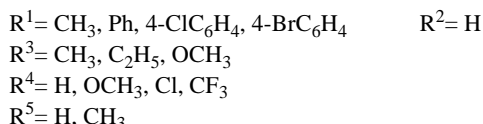
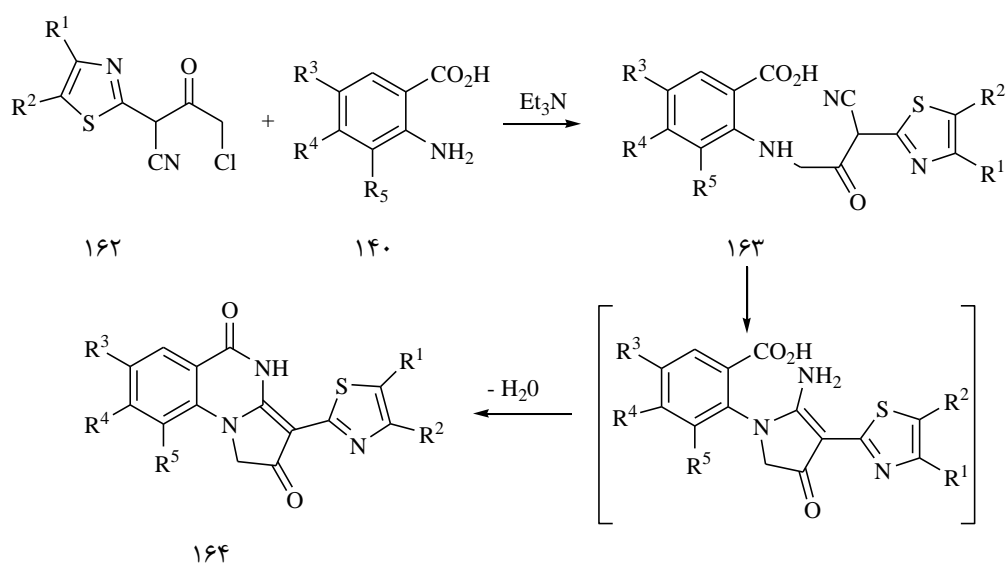
<sup>۱</sup> Gephyrotoxin

## ۱-۷-شیمی پیرولو[۲،۱-*a*]کینازولین‌ها

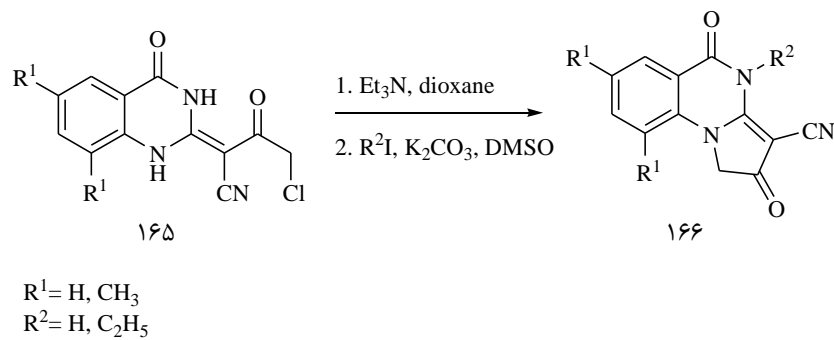
پیرولو[۲،۱-*a*]کینازولین (۱۶۱)، یک سیستم سه حلقه‌ای جوش‌خورده می‌باشد که در آن حلقه‌ی پیرولی از طریق پل نیتروژنی به سیستم کینازولین متصل شده است. ساختار و ترتیب شماره‌گذاری پیرولو[۲،۱-*a*]کینازولین به صورت زیر می‌باشد:



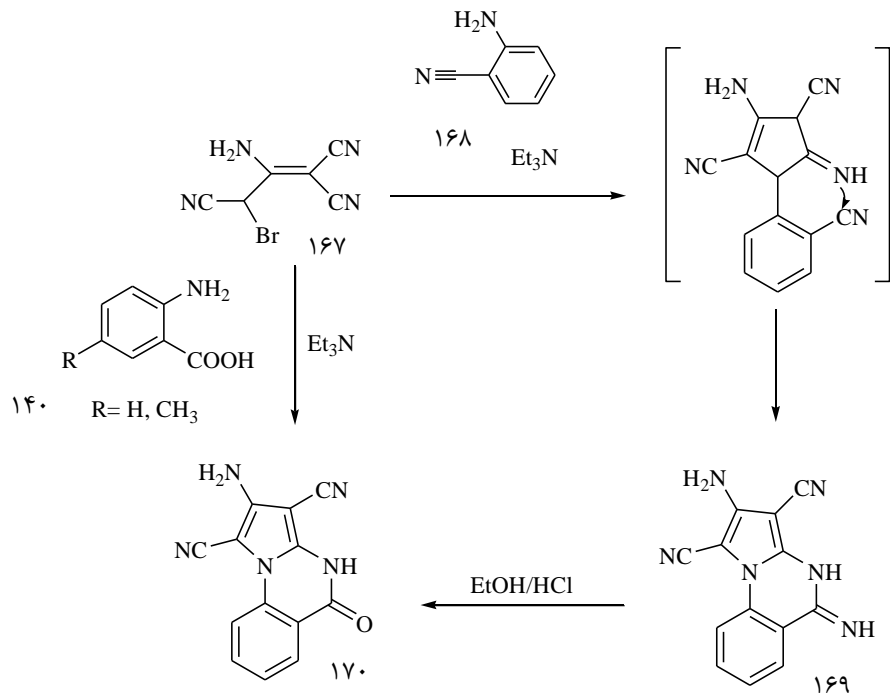
در سال ۲۰۰۲، از واکنش ۴-کلرو-۲-هتروآریل-۳-اکسوبوتیرونیتریل‌ها (۱۶۲) با آنترانیلیک‌اسیدهای استخلاف شده (۱۴۰) مشتقاتی از ۳-هتروآریل-۵،۴،۲،۱-تتراهیدرو پیرولو[۲،۱-*a*]کینازولین-۵،۲-دی‌ان‌ها (۱۶۴) با بهره‌ی بالا در حضور باز تری‌اتیل‌آمین در حلal دی‌اکسان سنتز شده است [۶۷].



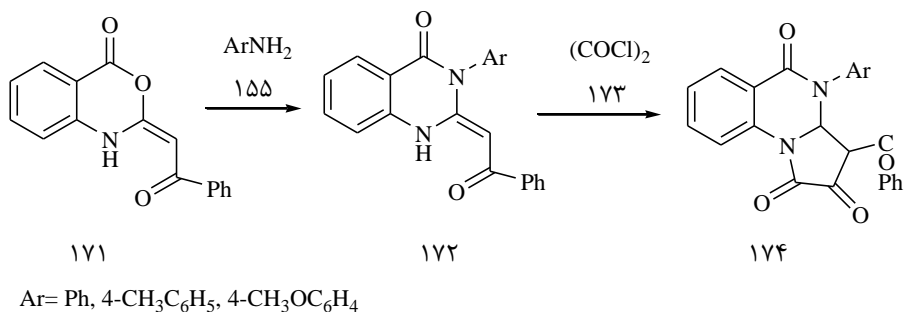
در مکانیسم این واکنش، در مرحله اول جایگزینی نوکلئوفیلی هالوژن توسط نیتروژن گروه آمینی رخ داده و سپس یک محصول آلکیلدار شده ایجاد می‌نماید. در ادامه در اثر افزایش درون مولکولی گروه آمینی به گروه نیتریل، ترکیب ۱-آریل-۲-آمینو-۳-هتروآریل-۴-اکسوپیرول (۱۶۳) ایجاد می‌شود که در انتهای از واکنش گروه اسیدی و گروه آمینی به همراه حذف آب محصول اصلی ایجاد می‌شود. در پژوهشی دیگر، از واکنش هترو حلقوی شدن چهت گزین ترکیب ۲-(۴-اکسو-۳-دی‌هیدرو-۲-کینازولینیل)استونیتریل‌ها (۱۶۵) و آلکیل یدیدها ترکیب ۲،۵-دی‌اکسو-۴،۵،۲۰،۲۱-تتراهیدرو پیرولو[۱،۲-ا]کینازولین-۳-کربونیتریل (۱۶۶) تهیه شده است [۶۸].



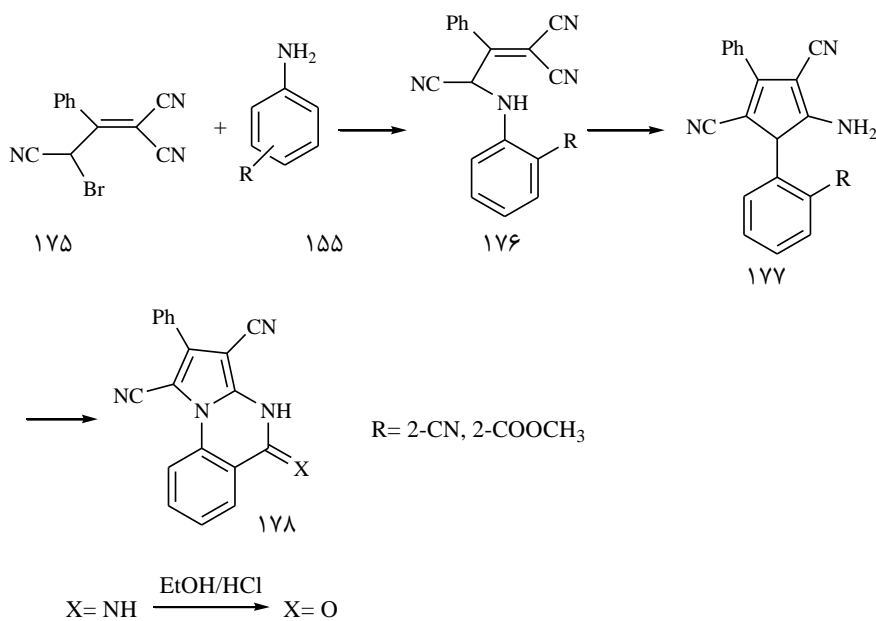
در سال ۲۰۰۳، از واکنش ۲-آمینو-۱،۱-تری‌سیانو-۳-برموپروپن با مشتقان آنترانیلیک اسید نظیر آنترانیلونیتریل، آنترانیک اسید و متیل‌آنترانیلات در حضور تری‌اتیل‌آمین، مشتقانی از ۲-آمینو-۳،۱-دی‌هیدرو پیرولو[۱،۲-ا]کینازولین-۵-ایمین (۱۶۹) و ۲-آمینو-۳،۱-دی‌سیانو-۴-دی‌هیدرو پیرولو[۱،۲-ا]کینازولین-۵-اون (۱۷۰) تهیه شده است [۶۹].



در سال ۲۰۰۴، از واکنش ۲-فناسیلیدن-۱،۲-دیهیدرو-۳،۱-H<sup>4</sup>-بنزواکسازین-۴-ان (۱۷۱) با آمین‌های آромاتیک (۱۵۵) و اگزالیل کلراید (۱۷۳) طی دو مرحله مطابق زیر مشتقاتی از پیرولو[۲،۱-a]کینازولین (۱۷۴) تهیه شده است [۷۰].



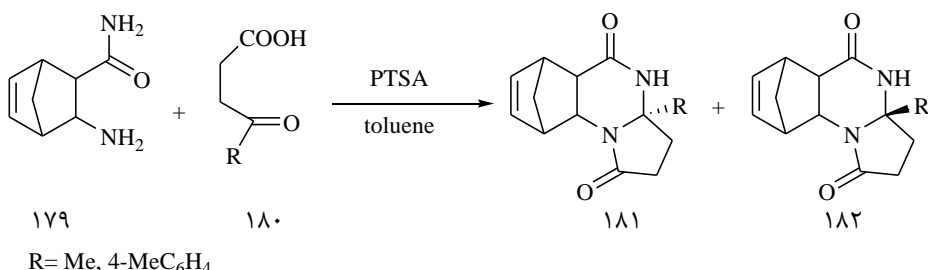
در سال ۲۰۰۶، از واکنش ۲-فنیل-۱،۳-تریسیانو-۳-برموپروپن (۱۷۵) با آمین‌های آромاتیک (۱۵۵)، پیرول‌های استخلافدار تهیه شده است که در ادامه با حلقوی‌شدن مشتقاتی از پیرولو[۲،۱-a]کینازولین (۱۷۸) سنتز شده است. در این واکنش ترکیباتی بالرزش بیولوژیکی از روش آزمایشگاهی تقریباً ساده و از مواد در دسترس تهیه گردیده است [۷۱].



همچنین در سال ۲۰۰۸، مشتقاتی از پیرولو[۱،۲-*a*]کینازولین (۱۸۲) از واکنش دیاگرو-۳-

آمینونوربورنان-۲-کربوکسامید (۱۷۹) با (۴-متیل-بنزوئیل)پروپیونیک اسید و یا ۴-اسوپنتانویک اسید

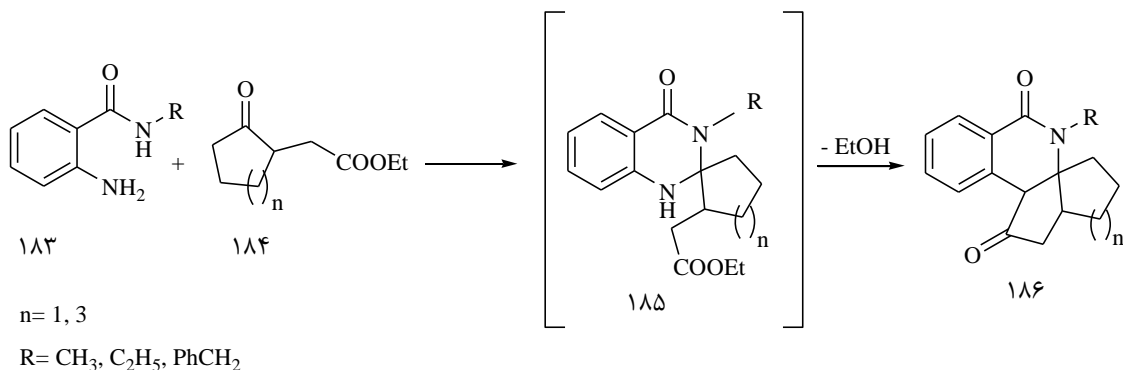
(۱۸۰) در حضور پاراتولوئن‌سولفونیک اسید (PTSA) مطابق زیر سنتز گردیده است [۷۲].



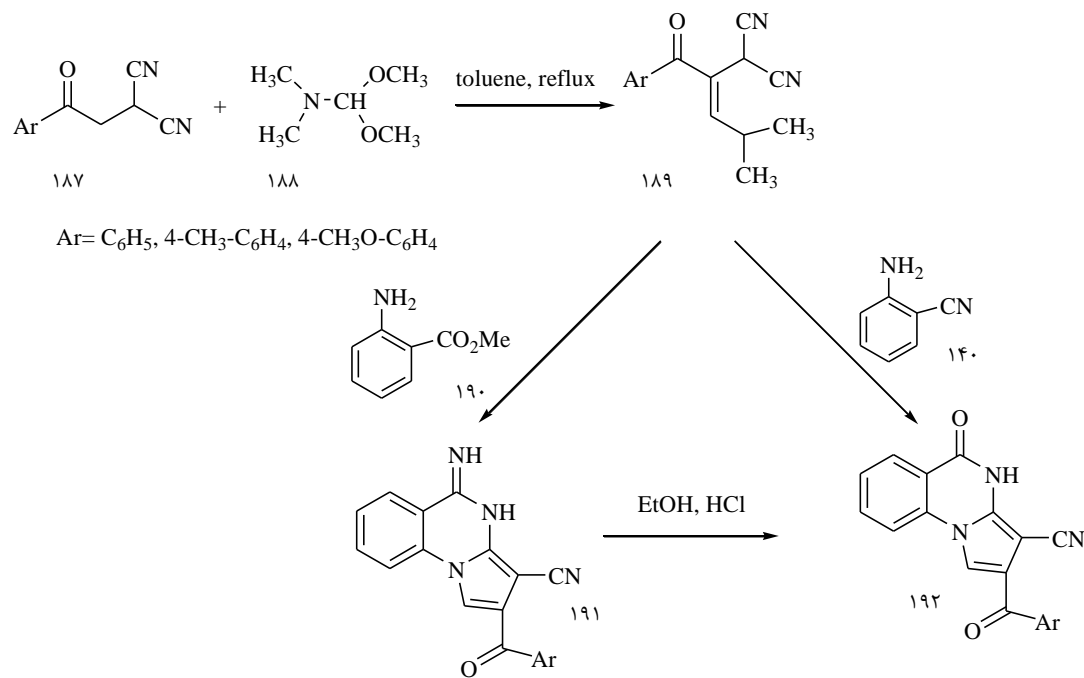
در سال ۲۰۰۹، مشتقاتی از پیرولو[۱،۲-*a*]کینازولین (۱۸۶) که دارای استخلاف حلقه سیکلوآلکان

-۲-۲-آمینوبنزآمیدها (۱۸۳) با ۲-(۲-اسوسيکلوپنتیل)استات و

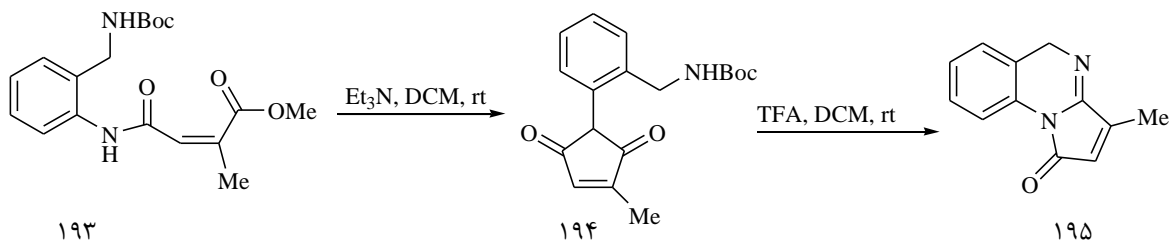
اسوسیکلوهپتین)استات (۱۸۴) در حلال استیک اسید به صورت جهت گزین تهیه شده است [۷۳].



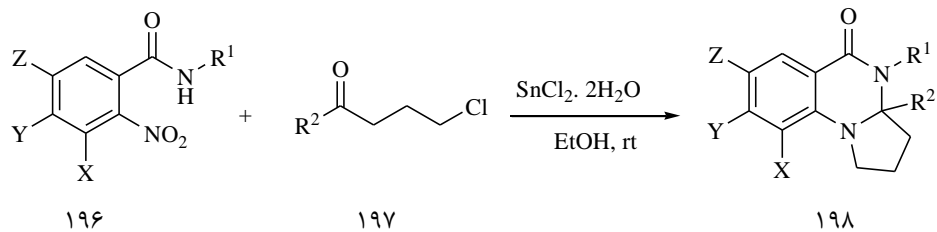
در مطالعه‌ای دیگر، از واکنش مشتقات فناسیل‌مالونونیتریل‌ها (۱۸۷) با دی‌متیل‌فرم‌آمید دی‌متیل‌استال (DMFDMA) (۱۸۸) در حلول تولوئن انانمینون‌های مربوطه سنتز گردید. سپس از واکنش انانمینون‌ها با ۲-آمینوبنزونیتریل (۱۴۰) و یا متیل-۲-آمینوبنزوات (۱۹۰) مشتقاتی از پیرولو[۲،۱-*a*]کینازولین (۱۹۱ و ۱۹۲) با بهره‌ی بالا به دست آمد [۷۴].



در پژوهشی دیگر، با استفاده از آنیلیک استرهای استخلاف شده طی مراحل زیر مشتقات جدیدی از پیرولو[۲،۱-*a*]کینازولین (۱۹۵) سنتز شده است [۷۵].

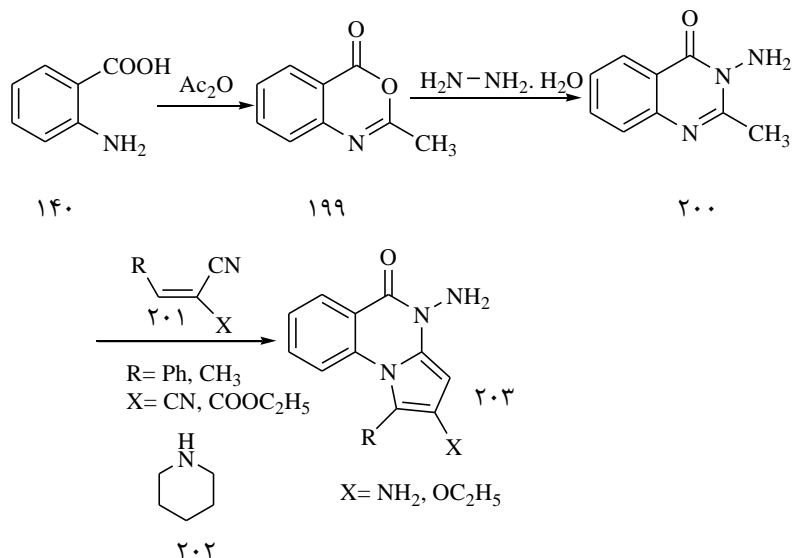


در سال ۲۰۱۰، نیز مشتقاتی از  $a$ -[۴،۳a،۲-تتراهیدروپیرولو[۱،۲-۵]کینازولین-۵-(H۱)-ان (۱۹۸) با بهره‌ی بالا از واکنش حلقوی شدن کاهشی ۲-نیتروبنزآمیدها (۱۹۶) با هالوکتون‌ها (۱۹۷) در حضور کاتالیزگر  $\text{SnCl}_2 \cdot 2\text{H}_2\text{O}$  مطابق زیر سنتز شده است [۷۶].

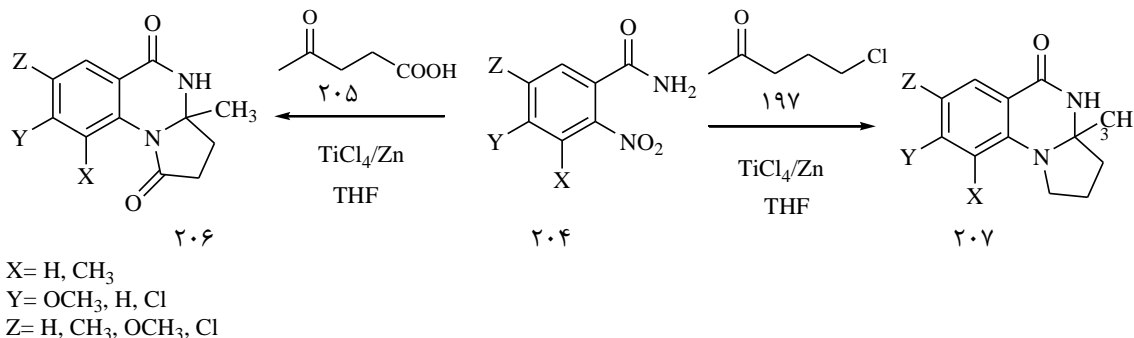


$\text{X} = \text{H, CH}_3$     $\text{Y} = \text{OCH}_3, \text{H, Cl}$     $\text{Z} = \text{H, CH}_3, \text{OCH}_3, \text{Cl}$   
 $\text{R}^1 = \text{H, CH}_3, \text{C}_6\text{H}_4\text{CH}_2, 4\text{-FC}_6\text{H}_4, 4\text{-CH}_3\text{C}_6\text{H}_4, 4\text{-ClC}_6\text{H}_4$   
 $\text{R}^2 = \text{CH}_3, 4\text{-BrC}_6\text{H}_4$

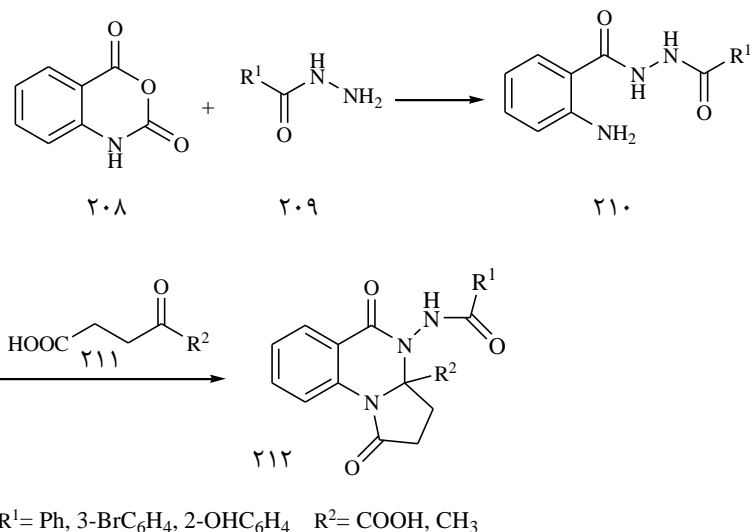
در سال ۲۰۱۱، مطابق مکانیسم زیر مشتقاتی از پیرولو[۱-۲،۴- $H^3$ ]کینازولین (۲۰۳) از واکنش آمینو-۲-متیلکینازولین-۴-ون (۲۰۰) و ایلیدن‌سینامونیتریل (۱) در حضور پای‌پیریدین (۲۰۲) به عنوان کاتالیزگر سنتز شده است [۷۷].



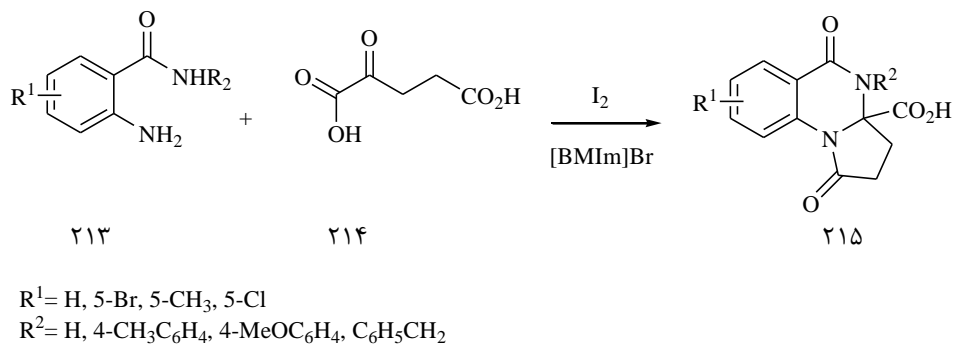
در پژوهشی دیگر، از واکنش ۲-نیتروبنزآمیدها (۲۰۴) با هالوکتون‌ها (۱۹۷) و یا ۴-اکسوبنتانویک اسید (۲۰۵) در حضور کاتالیزگر TiCl<sub>4</sub> طی واکنش حلقوی شدن کاهشی مشتقاتی از ۲-۴,۳a,۲-تتراهیدروبیرولو[۴,۳a,۳,۲-۴,۳a,۲-کینازولین-۵(H1)-اون (۲۰۷) و ۲-۴,۳a,۲-تتراهیدروبیرولو[۴,۳a,۳,۲-۴,۳a,۲-کینازولین-۵(a-۲,۱-تتراهیدروبیرولو[۴,۳a,۳,۲-کینازولین-۵(H1)-اون (۲۰۶) با بهره‌ی بالا سنتز شده است [۷۸].



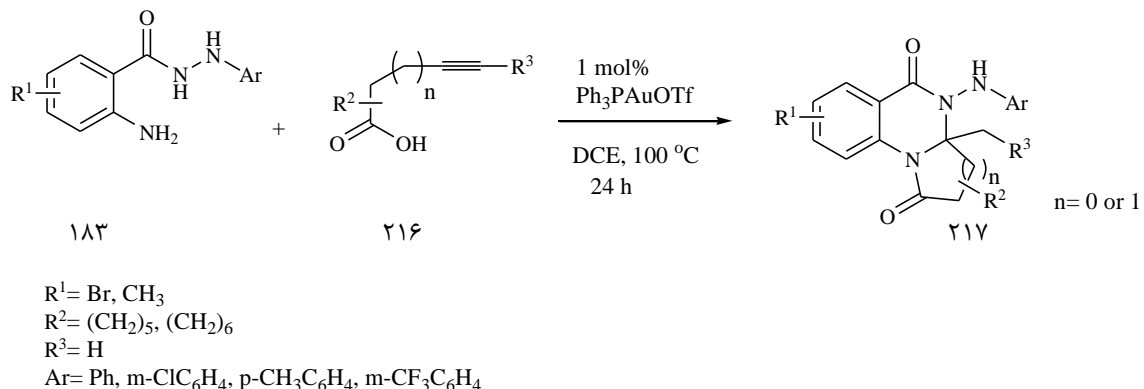
همچنین در سال ۲۰۱۲، از واکنش میان H1-بنزو[b][3,1][۳,۱-اکسازین-۲،۴-دیون (۲۰۸)، بنزوهیدریدها (۲۰۹) و ۴-اکسوبنتانویک اسید و یا ۲-اکسوبنتاندیویک اسید (۲۱۱) طی یک واکنش تک ظرفی سه جزئی مشتقاتی از پیرولو[۴,۳a,۳,۲-کینازولین (۲۱۲) تهیه شده است [۷۹].



در مطالعه‌ای دیگر، مشتقاتی از ۱-۵-دیاکسو-۲،۴،۳a،۲،۱-هگزاہیدروپیرولو[۱a-۲،۱]کینازولین-۳-کربوکسیلیک اسید (۲۱۵) با بهره بالا از واکنش ۲-اکسوبنتاندیویک اسید (۲۱۴) و ۲-آمینوبنزاًمید (۲۱۳) با استفاده از کاتالیزگر ید در حلal مایع یونی و دمای  $80^\circ\text{C}$  تهیه شده است [۸۰].

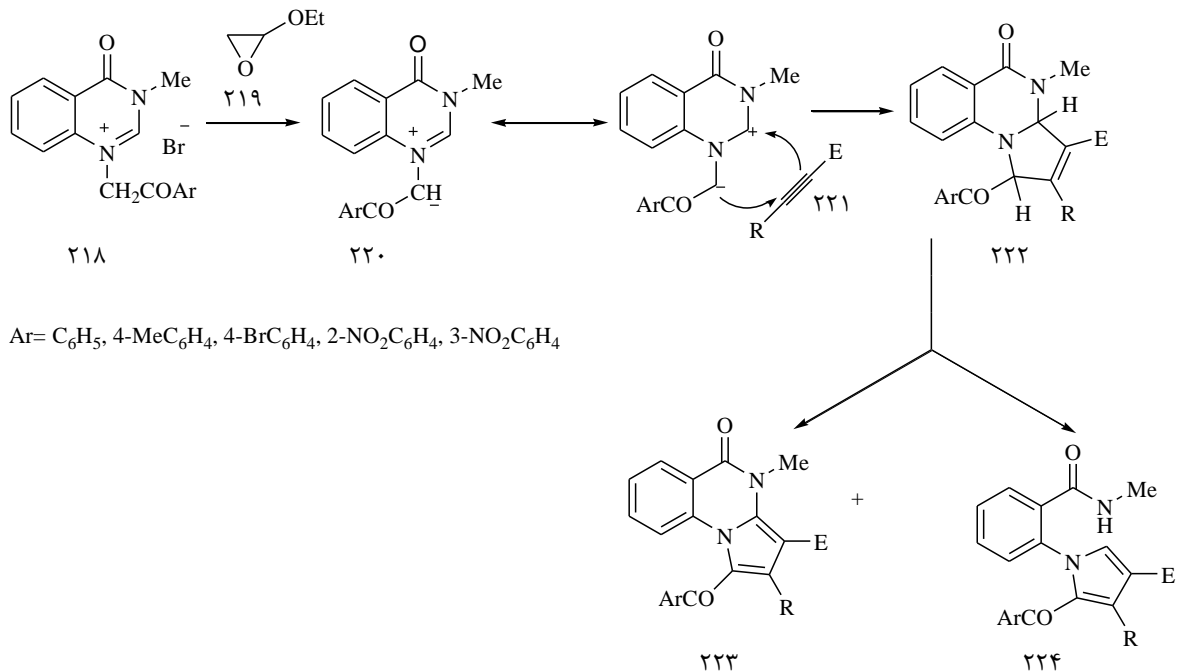


در پژوهشی دیگر، با استفاده از کاتالیزگر  $\text{Ph}_3\text{PAuCl}/\text{AgOTf}$  در حلal دیکلرو اتان از واکنش آمینو- $N'$ -آریلبنزوھیدرازید (۱۸۳) با آلکینویک اسیدها (۲۱۶) زیر جو نیتروژن مشتقاتی از پیرولو[۱a-۲،۱]کینازولین سنتز شده است [۷۸]. ترکیبات سنتز شده از جهت بازدارندگی پیشرفت سلول‌های سرطانی مورد بررسی قرار گرفته و مشخص شده است که همگی با درصد بالایی پیشرفت سلول‌های سرطانی را کند می‌کنند.

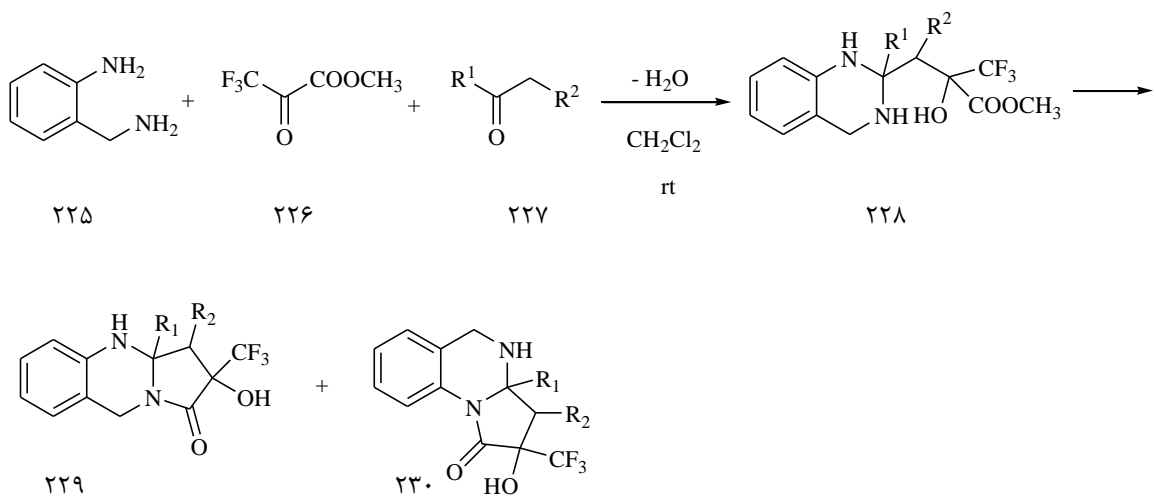


در سال ۱۳۰۲، از واکنش حلقوی شدن ۱،۳-دوقطبی نمک‌های *N*-ایلیدهای کینوزولیوم (۲۱۸) با ترکیب‌های استیلنی دو قطبی (۲۲۱) در حلال ۲،۱-اپوكسی بوتان مطابق مکانیسم زیر مشتقاتی از پیرولو[۲،۱-*a*]کینازولین (۲۲۳ و ۲۲۴) سنتز شده است [۸۲].

در مکانیسم این واکنش، ابتدا حلقه اکسیران توسط حمله یون برمید باز شده و در ادامه اکسیژن با بار منفی یک هیدروژن از گروه متیلن جدا می‌کند. سپس واکنش حلقوی شدن ترکیب استیلنی با نمک‌های *N*-ایلید کینوزولیوم (۲۲۰) اتفاق افتاده و حد واسط حلقوی دی‌هیدرو ایجاد می‌گردد (۲۲۲) که در این حالت دو امکان برای رسیدن به محصول پایدار دارد: تشکیل ترکیب *N*-آریل پیروول (۲۲۴) و اکسایش به پیرولو[۲،۱-*a*]کینازولین (۲۲۳).



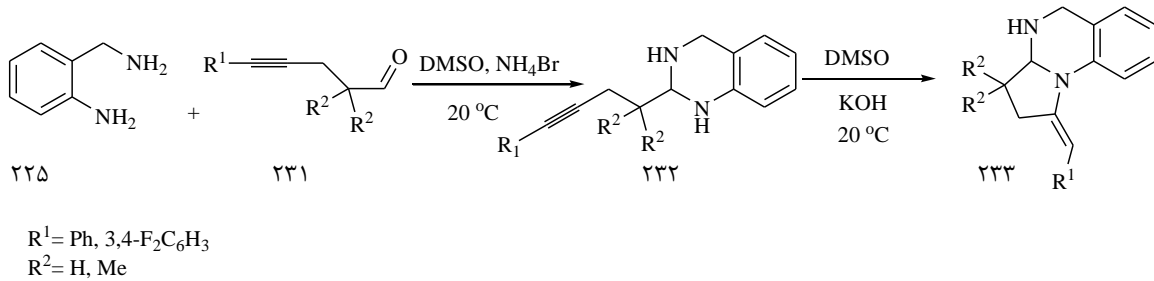
در پژوهشی دیگر، با استفاده از یک واکنش حلقوی شدن سه جزئی از واکنش میان ۲-آمینومتیل)آنیلین (۲۲۵) با دو ترکیب دارای گروه اکسو، که یکی از ترکیبات دارای گروه اکسو فعال (۲۲۶) و دیگری دارای گروه اکسو معمولی (۲۲۷) می‌باشد، طی سه مرحله زیر مشتقات پیرولو[۱،۲-ا]کینازولین (۲۳۰) سنتز شده است [۸۳].



$R^1 = Ph, 4\text{-MeOPh}, 4\text{-NO}_2Ph$   
 $R^2 = H$

در مرحله اول، یک واکنش سریع میان ترکیب اکسو فعال با گروه آمین بنزیلی برای تشکیل یک همی آمینال (نه یک ایمین) اتفاق می‌افتد. در مرحله بعد واکنش میان گروه آمین آروماتیک و گروه اکسو معمولی برای تشکیل ایمین که با فرم انامینی خود در تعادل است رخ می‌دهد. در مرحله سوم حمله‌ی درون مولکولی کربن همی آمینال به کربن انامین صورت گرفته که در ادامه یک نوآرایی نوکلئوفیلی رخ داده و حلقه‌ی پیرولوکینازولین سنتز می‌گردد. همان‌طور که مشاهده می‌شود این روش دارای جهت‌گزینی نبوده و هر دو نوع ساختار پیرولوکینازولین تشکیل می‌شود.

در سال ۱۹۱۵، با استفاده از واکنش اورتو‌آمینوبنزیل آمین‌ها (۲۲۵) و ۵-آریل‌پنت-۴-این‌آل (۲۳۱) در حلal دی‌متیل‌سولفوکسید و در حضور آمونیوم‌برمايد و پتابسیم هیدروکسید مشتقاتی از آریل‌متیلیدن-۱،۲،۳،۴،۳a،۵-هگزا‌هیدرو‌پیرولو[۱-a-۲،۳،۴،۳a،۵]کینازولین (۲۳۳) سنتز شده است [۸۴].

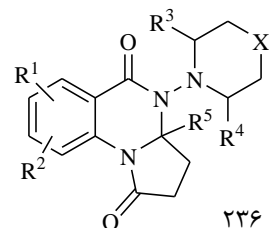
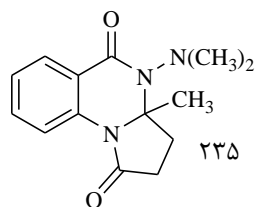
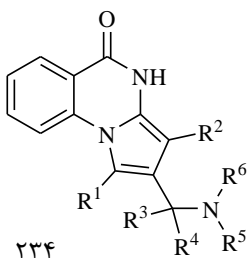


### ۱-۷-۱- خواص بیولوژیکی و دارویی پیرولو[۲،۱-ا]کینازولین‌ها

کینازولین یکی از ترکیبات هتروسیکلی نیتروژن‌دار هستند که به دلیل دامنه‌ی وسیع فعالیت‌های بیولوژیکی به طور وسیع در شیمی دارویی استفاده می‌شوند. ساختار کینازولین در ترکیبات طبیعی نظیر پورین<sup>۱</sup> [۸۵]، آلالکالوئیدها و بسیاری از ترکیبات فعال بیولوژیکی مشاهده می‌شود. این ترکیبات دارای فعالیت‌های دارویی نظیر ضد باکتری [۸۶]، ضد قارچ [۸۷]، ضد ایدز [۸۸]، ضد انگل [۸۹]، ضد افسردگی [۹۰]، می‌باشند. همچنین ترکیبات پیرولی نیز دارای خواص بیولوژیکی فراوانی بوده و در سنتز داروهای زیادی به کار رفته‌اند [۹۱]، از این رو تلاش زیادی برای اتصال این دو حلقه‌ی هتروسیکل به یکدیگر صورت گرفته است. پیرولوکینازولین‌ها یکی از هسته‌های ساختاری مهم بوده که در ترکیبات طبیعی گوناگونی مشاهده می‌شود و فعالیت‌های دارویی زیادی نظیر ضد تومور [۹۲]، تعديل کننده فعالیت مولکول‌های سیگنال‌ساز چموکین<sup>۲</sup> (این مولکول‌ها موجب انتقال سرطان از یک نقطه به نقطه دیگر بدن می‌شوند) [۹۳] و ضد التهاب [۹۴] را دارا می‌باشند.

<sup>1</sup> Purine

<sup>2</sup> Chemokine



$R = X, CN, NO_2, OH, RO, \text{alkyl};$

$R^1, R^2 = H, X, \text{alkyl};$

$R^3, R^4 = H, D, C=O, \text{alkyl};$

$R^5 \text{ and } R^6 \text{ i.e cycloalkyl, piperazine, etc}$

$R^1 = H, X, NH_2, NO_2$

$R^2 = H, X, NH_2, NO_2$

$R^3, R^4 = H, \text{alkyl}$

$R^5 = \text{alkyl}$

$X = O, (CH_2)_m (m = 0,1,2)$

ترکیب شماره ۲۳۴ خواص درمانی نظیر ضد سرطان و بازدارنده‌گی PARP (پلی آدنوزین‌دی‌فسفات

ریبوز پلی‌مراز)<sup>۱</sup> را داراست [۷۵]، ترکیب شماره ۲۳۵ دارای خواص دارویی آرام‌بخش، ضد تشنج، تعدیل

کننده بی‌خوابی و درمان کننده اختلالات روانی بوده [۷۵] و ترکیب شماره ۲۳۶ نیز دارای خاصیت ضد

ورم و ضد التهاب می‌باشد [۹۵].

---

<sup>۱</sup> Poly Adenosine diphosphate ribose polymerase

## ۸-۱ - واکنش کلیک

مولکول‌هایی که به وسیله سیستم‌های زنده در طبیعت تولید می‌شوند، همیشه برای دانشمندان شیمی آلی جذاب و الهام بخش بوده‌اند. این مولکول‌های طبیعی دارای تعداد زیادی پیوندهای کربن-کربن و کربن-هترواتم در ساختار خود هستند. آزمایش‌های انجام شده بر روی مولکول‌های طبیعی، برتری خاصی را برای تشکیل پیوندهای کربن-کربن نشان می‌دهد.

امروزه گسترش سریع شیمی ترکیبی، به تولید سریع ترکیب‌ها در پژوهش‌های بیولوژیکی کمک کرده است. بنابراین با توجه به این هدف، یک مجموعه از واکنش‌های معتبر و شناخته شده با مقایسه معین با عنوان واکنش‌های کلیک به وسیله شارپلس و تیم تحقیقاتی وی، با هدف تسريع در سنتر مولکول‌های شبه دارویی معرفی شدند [۹۶]. شرایط یک واکنش کلیک به صورت زیر بیان شده است:

- ۱- واکنشی که بسیار هدفمند باشد و بازده بالایی از محصول تولید کند.
- ۲- در طی انجام واکنش، محصول‌های جانبی تولید نشود، و اگر محصول جانبی در واکنش حاصل می‌شود، بتوان آن را به وسیله روش‌های غیرکروماتوگرافی از واکنش حذف کرد.
- ۳- واکنش باید فضا ویژه<sup>۱</sup> باشد.
- ۴- شرایط انجام واکنش، باید کاملاً ساده باشد. به عبارتی شرایط ایده‌آل و مراحل انجام واکنش باید غیر حساس به اکسیژن و آب باشد.
- ۵- مواد اولیه و معرف‌ها باید در دسترس باشند.
- ۶- برای انجام واکنش از هیچ حلالی استفاده نشود و اگر وجود حلال الزامی است، از یک حلال بی‌خطر و سبز (همانند آب و اتانول) استفاده شده، که به آسانی از واکنش حذف شود.
- ۷- جداسازی محصول‌ها ساده و آسان باشد و اگر خالص‌سازی نیاز است، باید از روش‌های غیر

---

<sup>۱</sup> Regioselective

کروماتوگرافی مانند، نوبلور کردن و یا تقطیر استفاده شود و محصول‌های به دست آمده باید پایدار باشند.

۸- مراحل انجام واکنش باید بصورت سریع، به سوی کامل شدن پیش رود، به طوری که واکنش دارای

گزینش‌پذیری<sup>۱</sup> برای تولید یک محصول واحد باشد [۹۷].

## ۹-۱- حلقه‌زایی ۳،۱-دو قطبی

واکنش حلقه‌زایی ۳،۱-دو قطبی که به حلقه‌زایی هویزگن<sup>۲</sup> نیز شهرت دارد [۹۸]، از واکنش‌های مهم شیمی آلی به شمار می‌آید و از مهم‌ترین مباحث سنتز نوین در شیمی آلی می‌باشد. این واکنش شامل برهم‌کنش‌های یک دوقطبی دوست با یک ترکیب ۳،۱-دو قطبی است و منجر به تشکیل حلقه‌ی پنج عضوی می‌شود. سهولت تشکیل دوقطبی‌ها، تنوع و گوناگونی دوقطبی‌دوست‌ها و سهولت انجام واکنش‌های حلقه‌زایی ۳،۱-دو قطبی‌ها از جمله دلایل اهمیت این واکنش می‌باشد.

هر ترکیب ۳،۱-دو قطبی شامل یک سیستم الکترونی با چهار الکترون  $\pi$  است که روی سه اتم بطور غیر مستقر قرار گرفته است و می‌توان آن را به صورت ساختار  $a-b-c$ -نشان داد. طی واکنش حلقه‌زایی، این سیستم به یک پیوند دوگانه یا سه گانه با دو الکترون  $\pi$  (دو قطبی‌دوست) افزوده می‌شود و یک حلقه پنج عضوی را به وجود می‌آورد.



<sup>1</sup> Selectivity

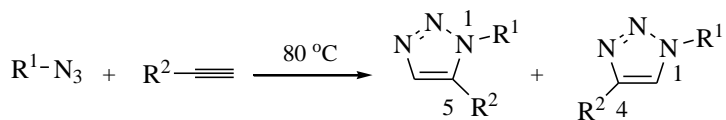
<sup>2</sup> Huisgen Cycloaddition

## ۱۰-۱-شیمی ۳،۲،۱-تریآزول‌ها

۳،۲،۱-تریآزول‌ها هتروسیکل‌های مهم پنج عضوی می‌باشند که طیف گستره‌های از کاربردهای صنعتی مانند مانع در برابر خوردگی، رنگ، درخشان کننده نوری و خواص جالب بیولوژیکی را شامل می‌شوند [۹۹].

نام تریآزول برای اولین بار توسط بلادین<sup>۱</sup> برای ساختار حلقوی با فرمول  $C_2N_3H_3$  به کار گرفته شد [۱۰۰]. وی اولین بار در سال ۱۸۸۵ اولین مشتقات تریآزول را از واکنش سیانوژن و فنیل هیدرازین و متعاقب آن حلقوی کردن ترکیب حاصل در حضور استیک اسید به دست آورد. این حلقه‌ی هتروسیکل به علت داشتن سه اتم الکترونگاتیو نیتروژن دارای کمبود الکترون است. واکنش‌های جانشینی الکترون دوستی در این سیستم‌های حلقوی تقریباً غیر معمول است، زیرا تعداد اتم‌های کربن کمتر است و الکترون دوست‌ها ترجیحاً به نیتروژن حمله می‌کنند.

در سال ۱۹۶۳ واکنش حلقه‌زایی ۳،۲،۱-دوقطبی آزید و آلكین، توسط رolf هویزگن کشف شد. این واکنش مخلوطی از دو ایزومر ۳،۲،۱-تریآزول‌های استخلاف شده در موقعیت‌های ۱،۴ و ۱،۵ ایجاد می‌کند.

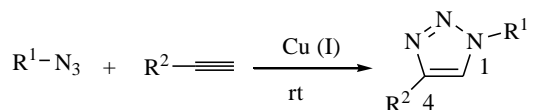


این حلقه‌زایی در سال ۲۰۰۲، توسط ملدال<sup>۲</sup> و شارپلس<sup>۳</sup> از طریق استفاده از کاتالیزگر مس بهبود داده شد که در اثر آن، ایزومر استخلاف شده در موقعیت‌های ۱،۴ به طور گزینش‌پذیر تشکیل می‌شود [۹۶].

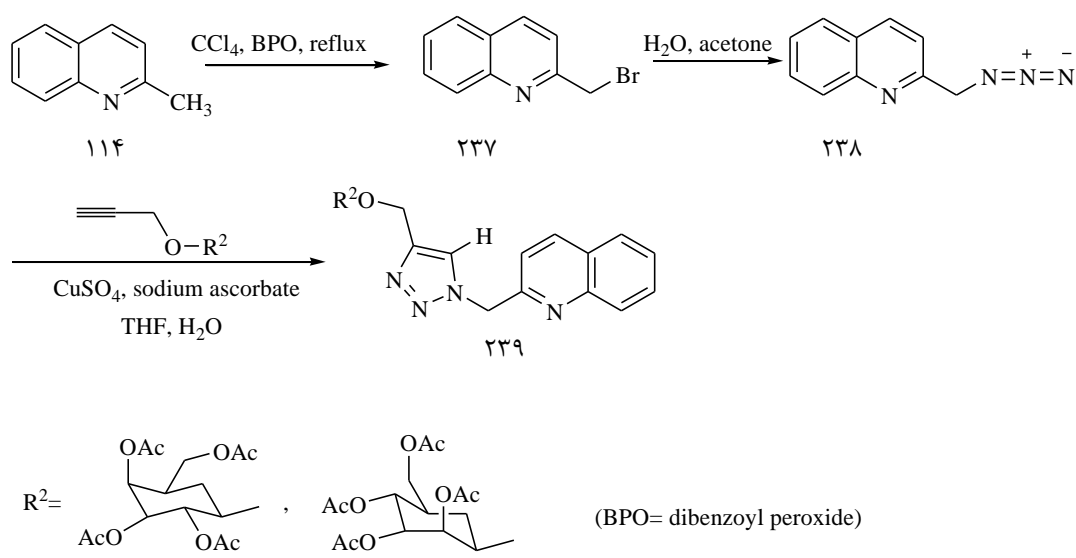
<sup>1</sup> Bladin

<sup>2</sup> Meldal

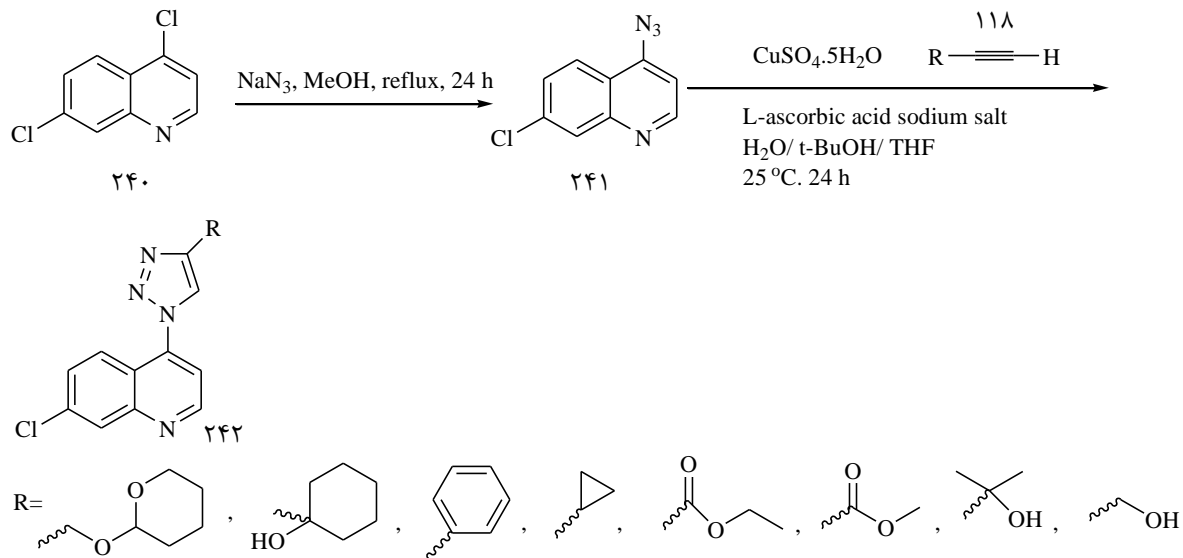
<sup>3</sup> Sharpless



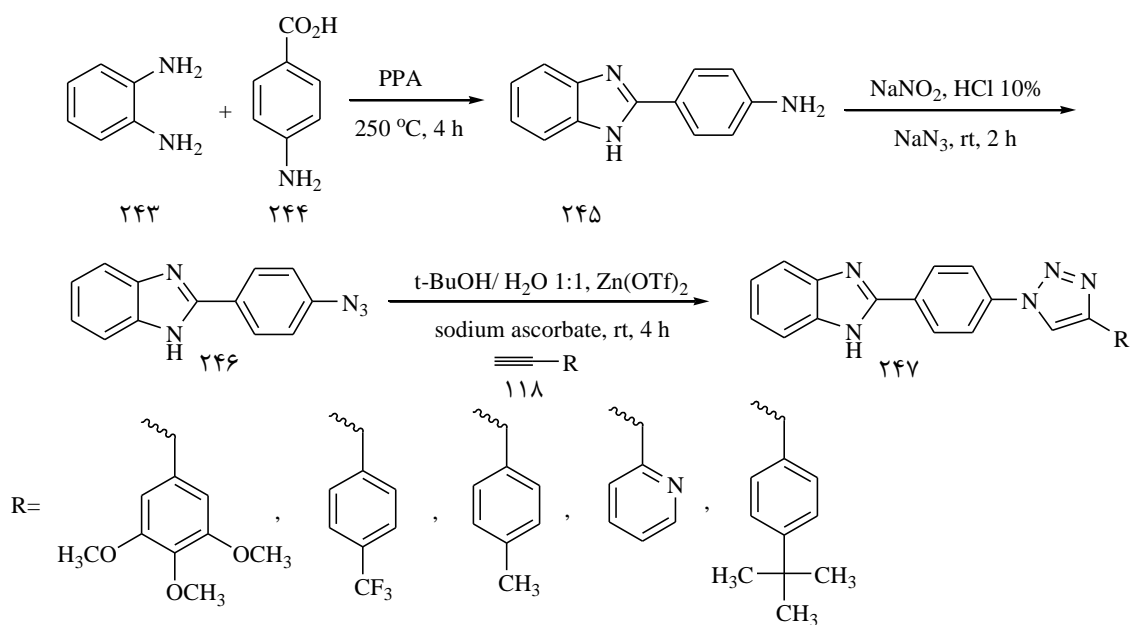
در سال ۲۰۱۱، مشتقات جدیدی از کینولین متصل شده به حلقه ۳،۲،۱-تریآزول (۲۳۹) به وسیلهٔ واکنش کلیک از آزید متیل کینولین (۱۱۴) و آلکین‌های گوناگون طبق واکنش زیر سنتز شده است. ترکیبات سنتز شده دارای خواص بیولوژیکی ضد باکتری و ضد سل می‌باشند [۱۰۱].



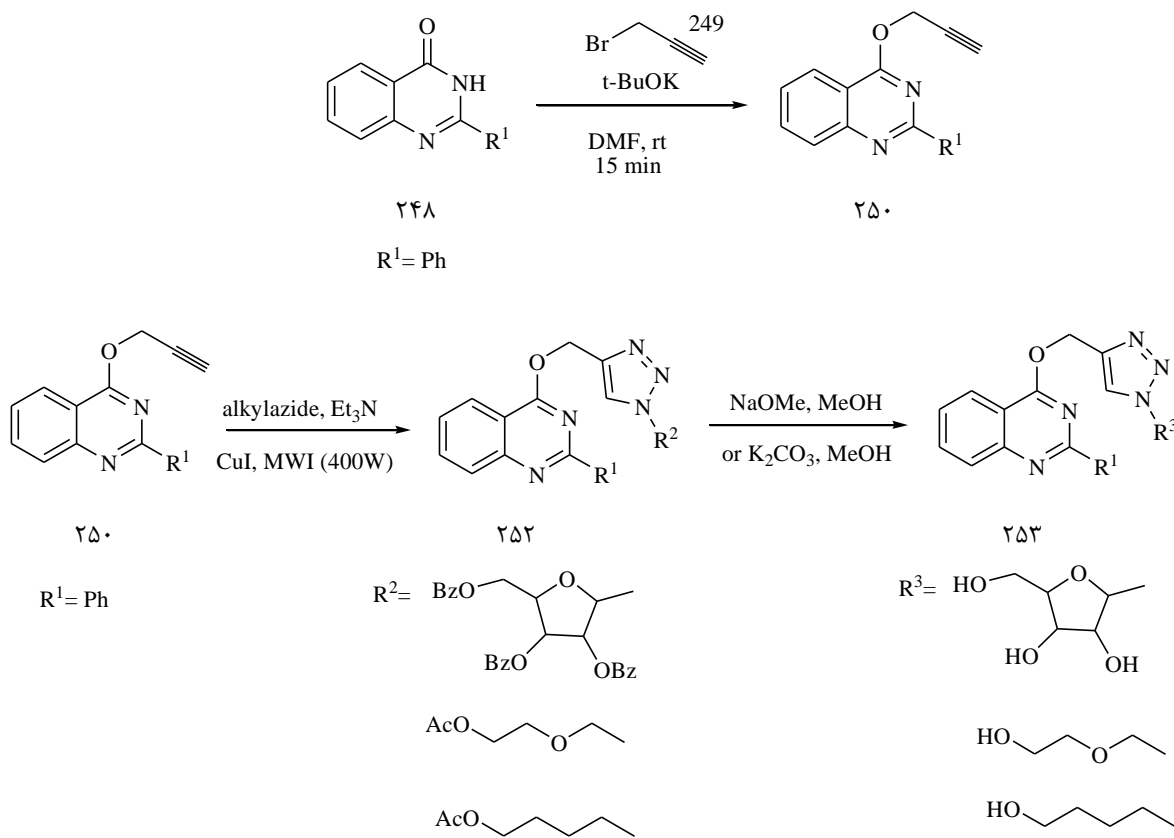
در پژوهشی دیگر، مشتقات جدیدی از کینولین-۳،۲،۱-H1-تریآزول (۲۴۲) با استخلاف‌های گوناگون در موقعیت ۴ حلقه تریآزول مطابق روش زیر سنتز شده است. ترکیبات سنتز شده دارای خاصیت ضد مalaria می‌باشند [۱۰۲].



در سال ۲۰۱۵، از واکنش ۲-(۴-آزیدوفنیل)-۱-بنزو[d]ایمیدازول (۲۴۶) با آلكین‌های انتهایی (۱۱۸) در حل t-BuOH/H<sub>2</sub>O و با استفاده از کاتالیزگر Zn(OTf)<sub>2</sub> مشتقات جدیدی از بنزايميدازول‌های متصل شده به ۳،۲،۱-تریآزول (۲۴۷) با بهره‌ی بالا سنتز شده است. ترکیبات تهیه شده دارای خاصیت از بین برندگی سلول‌های سرطان ریه می‌باشند [۱۰۳].



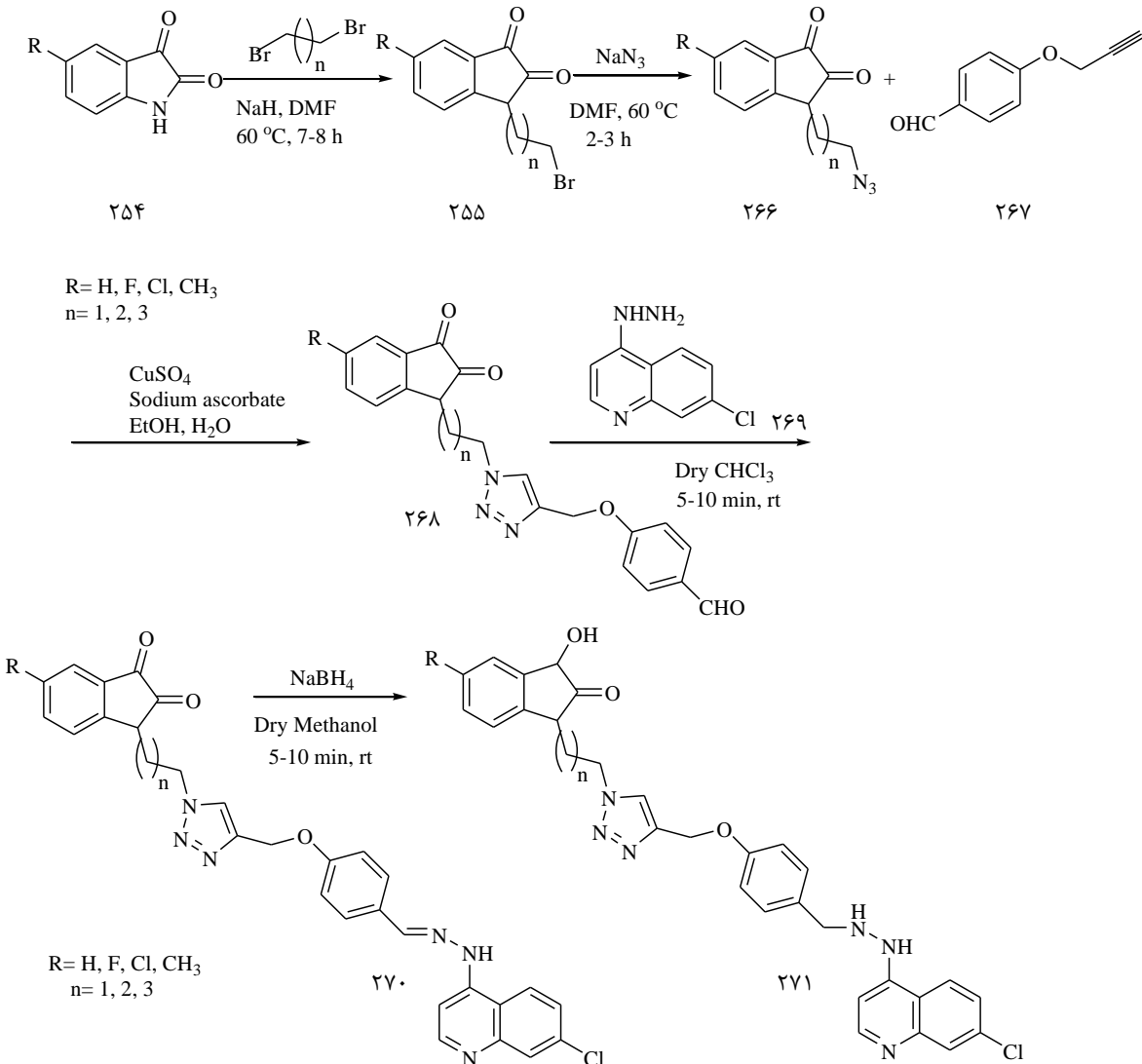
در پژوهشی دیگر، از واکنش حلقوی شدن ۱-۳-دو قطبی میان کینازولین‌های پروپارژیله شده (۲۵۰) با آلکیل آزیدها (حاوی گروه‌های فنید یا شبه قند) به وسیله امواج ماکروویو مشتقات جدیدی از ۱-۴، با استخلافی ۱-۲، ۳-تری‌آزولوکینازولین ریبونوکلئوزید یا سیکلونوکلئوزید (۲۵۲ و ۲۵۳) سنتز شده است [۱۰۴].



مشتقاتی از H<sub>1</sub>-۳،۱-تریآزول (۲۷۱) که به ایزاتین-۷-کلروکینولین و ۳-هیدروکسی-ایندول-۷-کلروکینولین متصل شده است، طی واکنش چند مرحله‌ای مطابق زیر تهیه شده است. ترکیبات سنتز شده از جهت خواص ضد مالاریا مورد بررسی قرار گرفته‌اند و نتایج حاصل نشان داده است که این مشتقات قابلیت رقابت با داروهای ضد مالاریا موجود در بازار نظیر کلروکیوین<sup>۱</sup> و آرتهمیسینین<sup>۲</sup> را دارا می‌باشند.

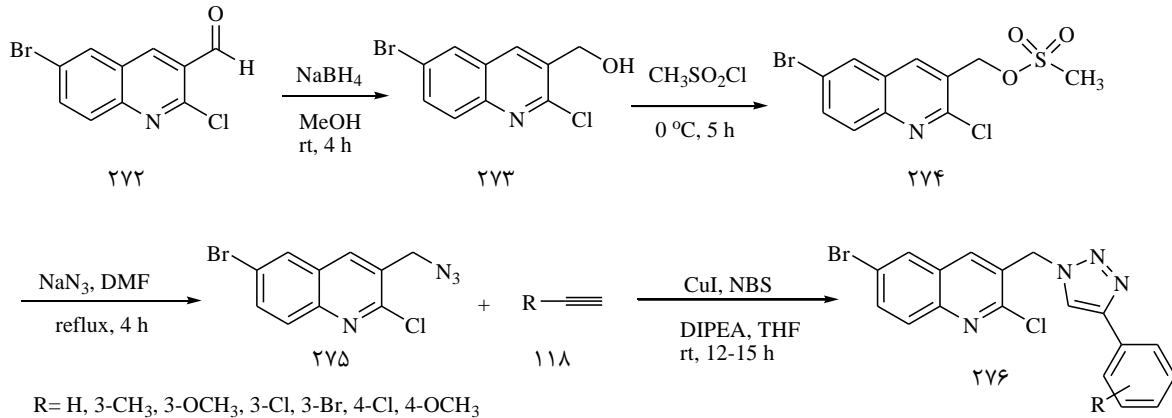
1 Chloroquine

## <sup>2</sup> Artemisinin

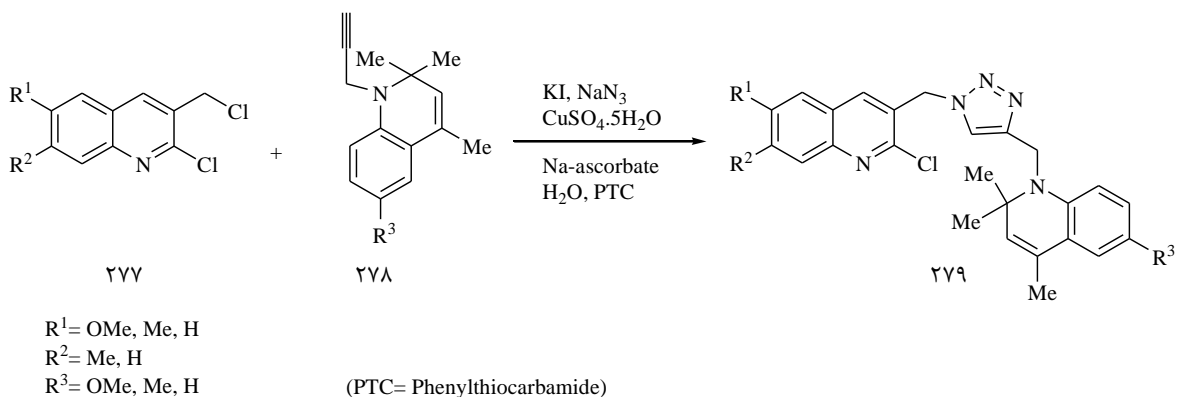


در سال ۲۰۱۵، مشتقات ۶-برمو-۲-کلرو-۳-(۴-استخلافی-۳،۲،۱-[تریآزول-۴-ایل متیل]-کینازولین در مطابق مراحل زیر سنتز شده است. در این روش ابتدا از واکنش (۶-برمو-۲-کلروکینولین-۳-ایل) متانول (۲۷۳) با متان سولفونیک اسید، ترکیب (۶-برمو-۲-کلروکینولین-۳-ایل) متیل متان سولفونات تهیه شده (۲۷۴)، در ادامه واکنش، از اثر سدیم آزید بر این ترکیب، مشتق آزیددار این ترکیب (۲۷۵) به دست آمده که در اثر واکنش با ترکیبات استیلنی در حضور مس و N-برموسوکسین ایمید، مشتقات

کینولین متصل به حلقه تریآزول (۲۷۵) تهیه شده است [۱۰۶].



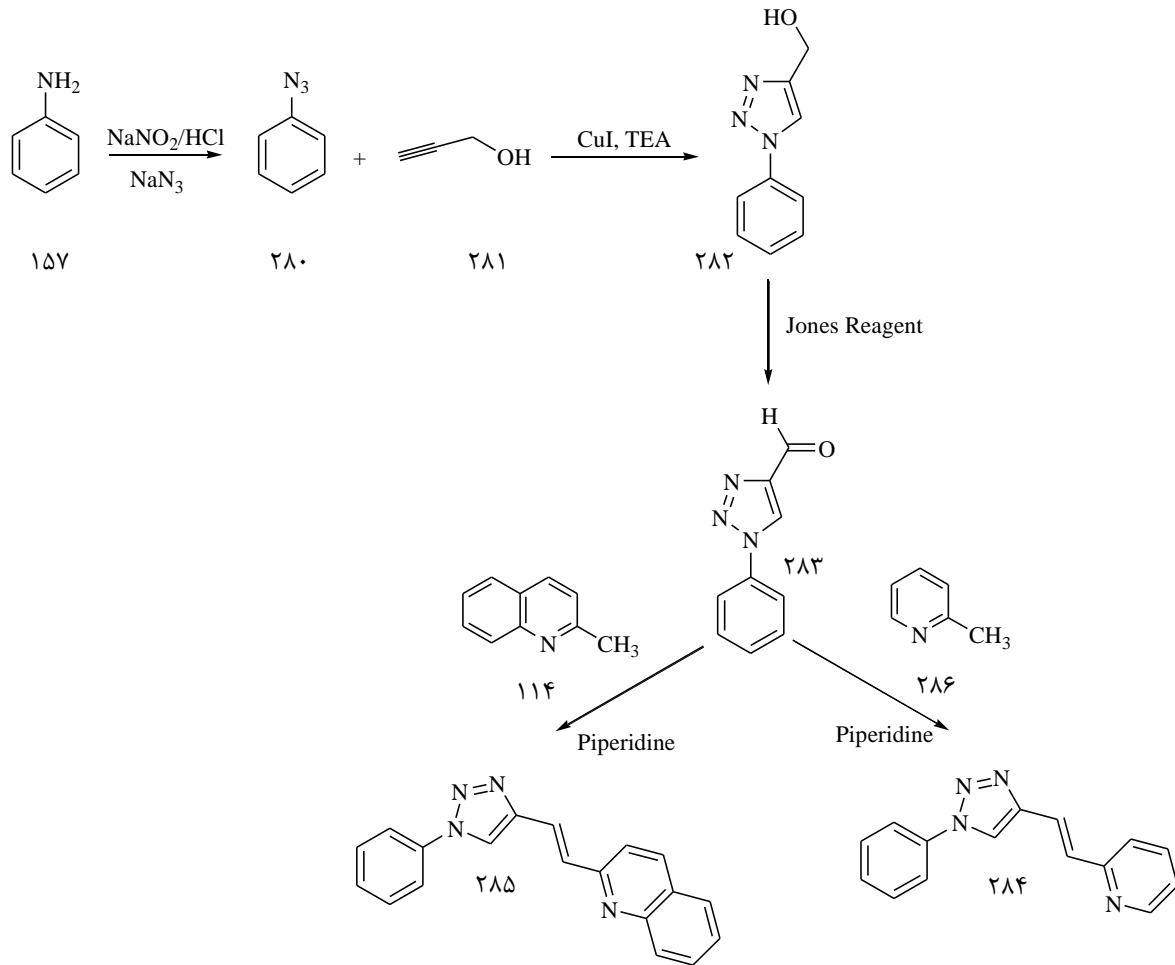
در سال ۲۰۱۴، از جوش خوردن سیستم‌های کینولین، تریآزول و دی‌هیدروکینولین به یکدیگر ترکیبات پلی‌آزا هتروسیکلی‌ای سنتز شده است که دارای خواص بیولوژیکی از بین برنده‌ی سلول‌های سرطان ریه و بازدارندگی<sup>۱</sup> PDE4 (بیماری مزمن انسدادی ریه) می‌باشند. در این روش مشتقات ۱-۴-دو استخلافی-۳،۲،۱-تریآزول که دارای گروه‌های کینولینی (۲۷۸) در موقعیت ۱ و ۴ می‌باشند از طریق واکنش کلیک در حلال آب تهیه شدند. [۱۰۷].



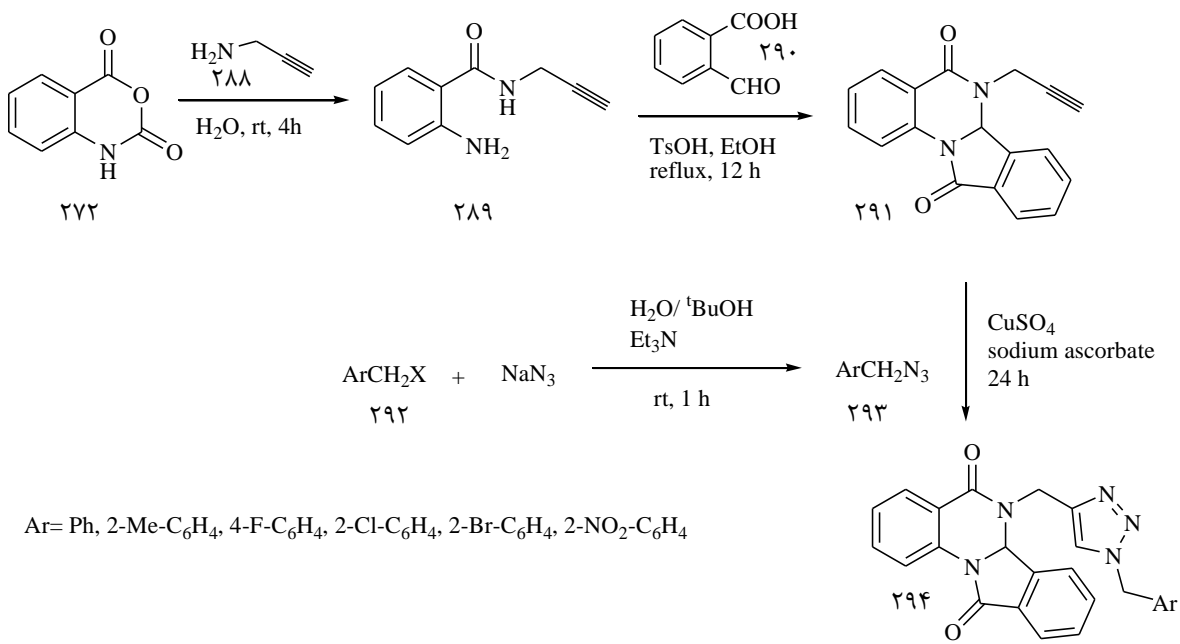
در مطالعه‌ای دیگر، از واکنش میان (۱-فنیل-H-۳،۲،۱-تریآزول)-۴-کربالدهید (۲۸۳) با -α-پیکولین (۲۸۶) و یا ۲-متیل کینولین (۱۱۴) مطابق واکنش زیر مشتقاتی از تریآزول‌های متصل به

<sup>۱</sup> Pharmacological inhabitation of phosphodienesterase type 4

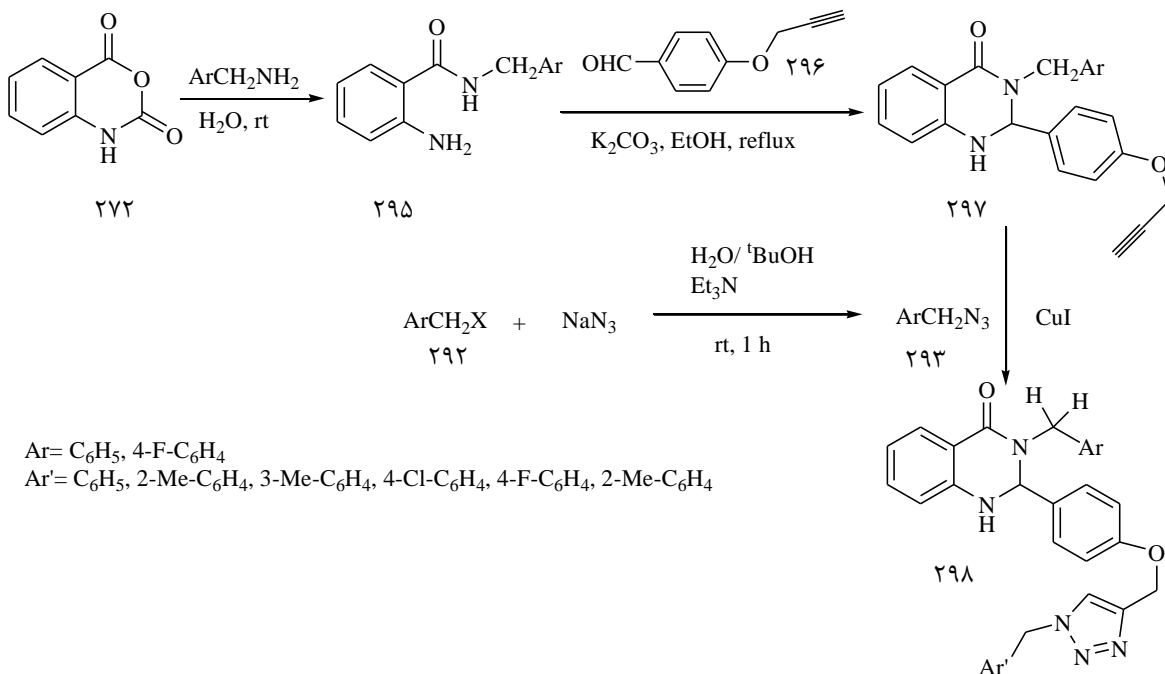
پیریدین و یا کینولین که دارای خواصی مشابه رنگینه‌های سیانین (در برچسب‌های فلورستنت کاربرد دارند) می‌باشند، سنتز شده است [۱۰۸].



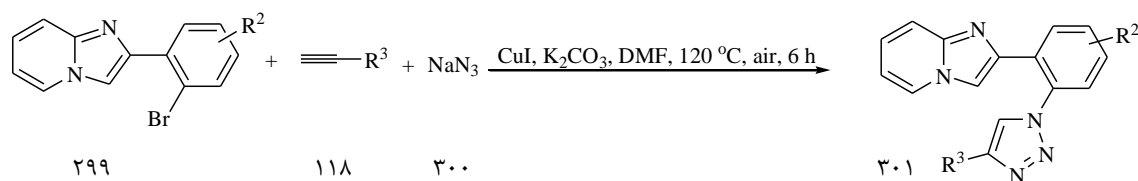
در سال ۲۰۱۶، مردانی و همکارانش از واکنش ایزاتونیک اسید (۲۷۲)، پروپارژیل آمین (۲۸۸) و ۲-فرمیل بنزوئیک اسید (۲۹۰)، ترکیب ایزوایندلو [a-۱،۲-کینازولین-۱۱،۵-دیون (۲۹۱) را سنتز کردند. از واکنش پیوند سه‌گانه کربن-کربن این ترکیب با آزیدهای آروماتیک طی واکنش کلیک، مشتقاتی از ایزایندلو [a-۱،۲-کینازولین-دیون (۲۹۴) که حاوی سیستم حلقه‌ی ۳،۲،۱-تریآزول می‌باشند تهیه شده است [۱۰۹].



در پژوهشی دیگر، روش جدیدی برای سنتز مشتقات ۳،۲،۱-تریآزول متصل به ۳،۲-دی هیدروکینازولین-۴-(H1)-ون از ماده اولیه ایزاتونیک انیدرید طی واکنش سه مرحله‌ای ارائه شده است. در این روش ابتدا از واکنش ایزاتونیک انیدرید (۲۷۲) با بنزیل آمین‌ها ترکیبات ۲-آمینو-N-استخلافی بنزآمیدها (۲۹۵) به دست آمده است که در مرحله بعد از واکنش این ترکیب با ۴-(پروپ-۲-این-۱-اکسی)بنزآلدهید (۲۹۶) مشتقاتی از ۳-استخلافی-۲-[۴-(پروپ-۲-این-۱-اکسی)فنیل]-۳،۲-اکسی) بنزآلدهید (۲۹۸)-ون (H1) سنتز شده است. در انتهای واکنش کلیک این مشتقات با آزیدهای آلی، ترکیبات ۳،۲،۱-تریآزول متصل به ۳،۲-دی هیدرو کینازولین-۴-(H1)-ون (۲۹۸) با پیره‌های بالا سنتز شده است [۱۱۰].



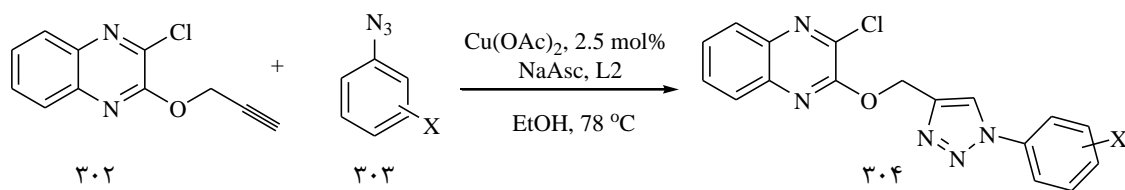
در مطالعه‌ای دیگر، توسط کاتالیزگر مس، مشتقات جدیدی ۲-(۴-فنیل-۲،۱-هیڈرو-۳-تریآزول-۱-اکسی)ایمیدازولو[a-۲،۱-پیریدین] (۳۰۱) از مواد اولیه ۲-(۲-بروموفنیل)ایمیدازولو[a-۲،۱-پیریدین] (۲۹۹)، فنیل استیلن‌های استخلافدار (۱۱۸) و سدیم آزید (۳۰۰) در حلال DMF و در حضور باز پتاسیم کربنات سنتز شده است [۱۱۱].



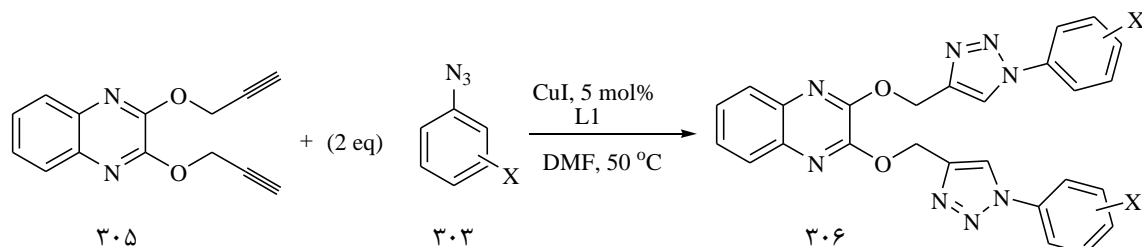
مشتقات جدیدی از سیستم کینوکسالین متصل شده به ۲-(۳،۲،۱-تریآزول از واکنش ۲-کلرو-۳-پروپ-۲-اینیل اکسی)کینوکسالین (۳۰۲) و یا ۲-۳،۲-بیس(پروپ-۲-اینیل اکسی)کینوکسالین (۳۰۵) با آزیدهای آромاتیک توسط کاتالیزگر مس و در حضور شیف بازها تهیه شده است. از مزایا این روش می‌توان

به زمان کوتاه واکنش و بهره بالا محصولات اشاره کرد. ترکیبات سنتز شده دارای خواص ضد باکتریایی

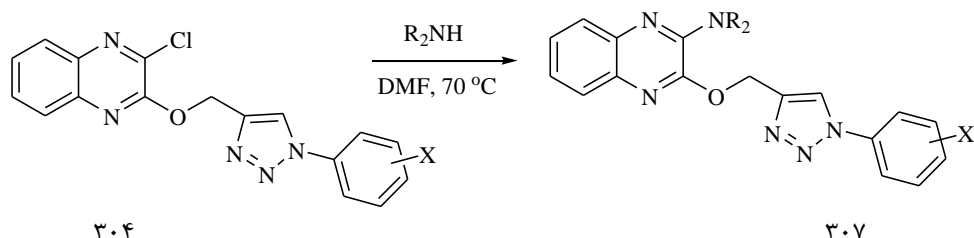
می‌باشند [۱۱۲].



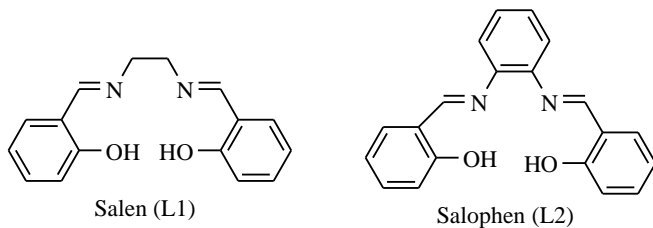
X= 4-NO<sub>2</sub>, 3-NO<sub>2</sub>, 3-Cl, 3-NO<sub>2</sub>-4-Cl



X= 4-NO<sub>2</sub>, 3-NO<sub>2</sub>, 3-Cl, 3-NO<sub>2</sub>-4-Cl



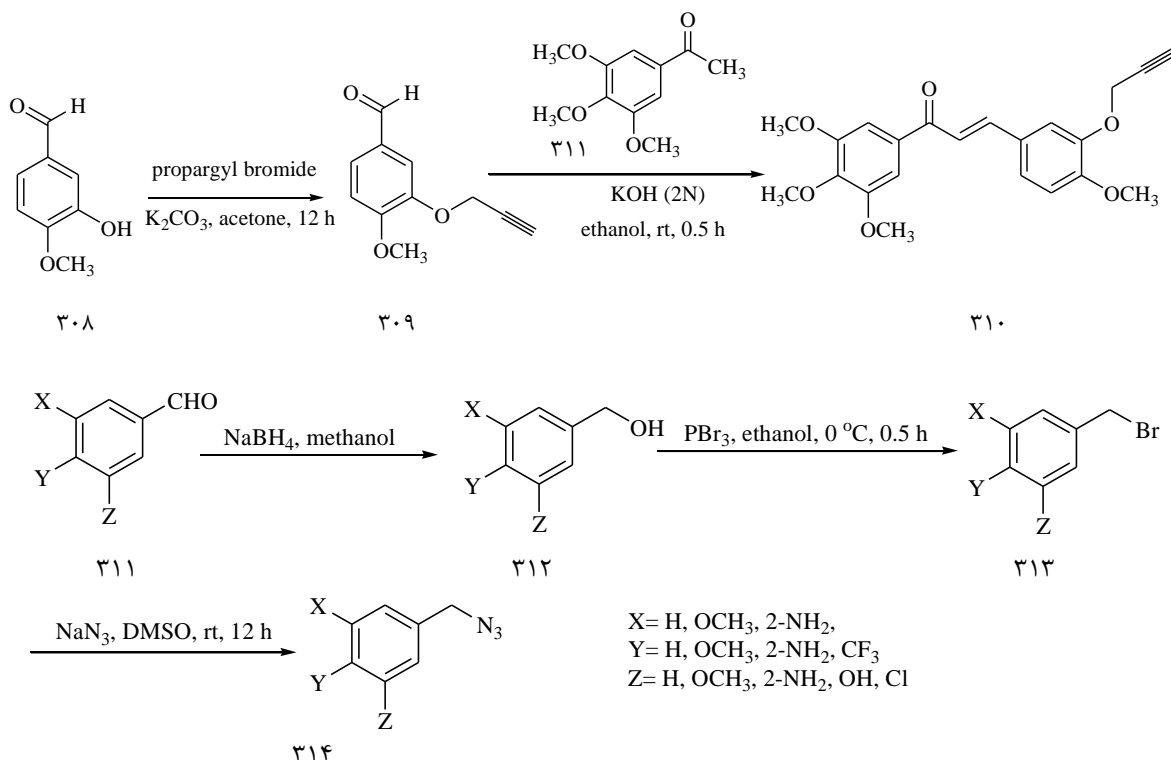
R<sub>2</sub>NH= Morpholine, Dimethylamine, Pipiridine

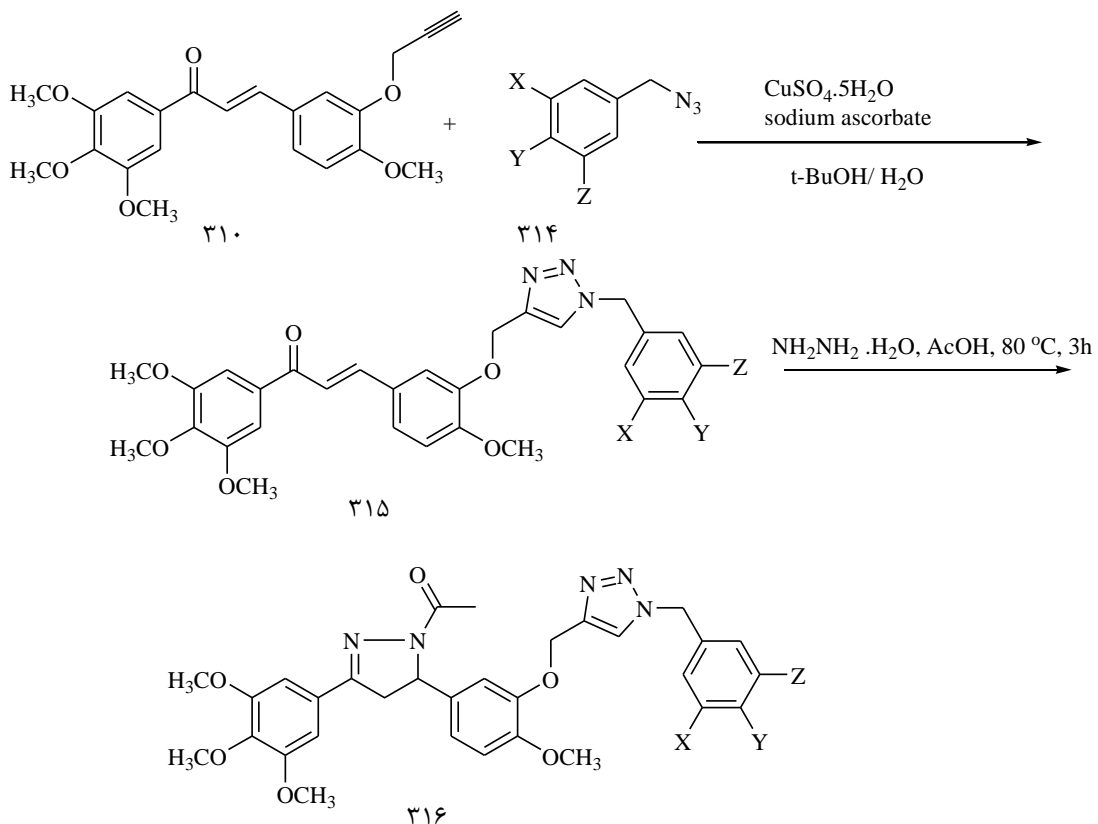


در پژوهشی دیگر، مشتقات تریآزول متصل شده به ۱-استیل-۳،۵-دیآریل-۴،۵-دیهیدروپیرازول

(۳۱۶) طی واکنش چند مرحله‌ای زیر سنتز شده است. طی این واکنش ایزووانیلین (۳۰۸) و پروپارژیل برミد واکنش داده و آلدھید پروپارژیل شده (۳۰۹) را ایجاد می‌نماید. سپس این ترکیب با ۳،۵-

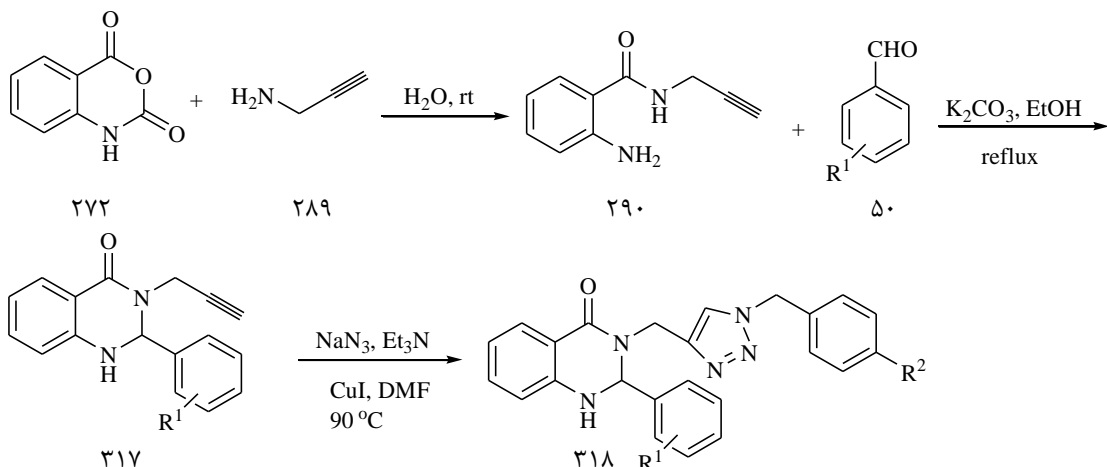
تری متوكسی استوفنون (۳۱۱) واکنش داده و مشتقات چالکون دارای گروه استیلینی سنتز می شوند (۳۱۰). همچنین مشتقات آزید (۳۱۲) از ترکیب بنزاکدهید (۳۱۱) طی مراحل زیر ایجاد می شود، که در مرحله‌ی بعد از واکنش آریل آزیدها (۳۱۴) و چالکون‌های آلکین‌دار (۳۱۰)، تری‌آزول-چالکون‌های به هم جوش خورده (۳۱۵) سنتز می شود [۱۱۳].





در روشی دیگر مشتقاتی از کینازولین‌های حاوی حلقه تری‌آزول که دارای خواص بیولوژیکی می‌باشند از واکنش پروپارژیل آمین (۲۸۹)، ایزووتیک انیدرید (۲۷۲)، آلدهیدهای آромاتیک (۵۰) و سدیم آزید طی مراحل زیر تهیه شده است. ترکیبات سنتز شده دارای خاصیت بازدارندگی آنزیم لیپوکسیژنаз<sup>۱</sup> (آنزیم تولیدکننده هایپر اکسید اسید چرب) می‌باشند [۱۱۴].

<sup>1</sup> Lipoxygenases



$\text{R}^1 = \text{H, 4-Me, 4-OMe, 4-Cl, 3,4-di OMe, 3,4,5-tri OMe}$

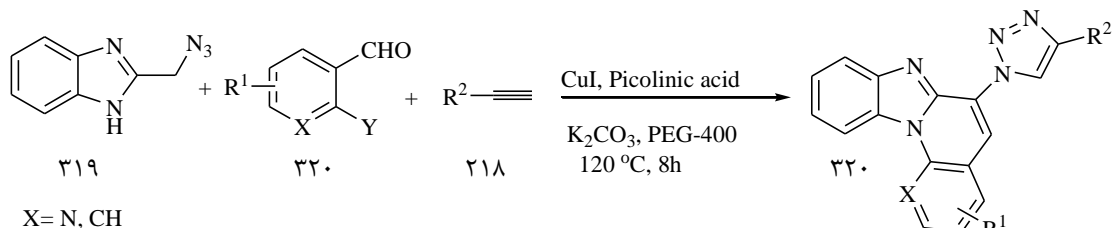
$\text{R}^2 = \text{H, Cl, Br, F}$

در مطالعه‌ای دیگر، طی واکنش چند جزئی همراه با واکنش کلیک، مشتقات ۱،۲،۳-تری‌آزول

متصل شده به بنزاکسیدازو [a-۲،۱]کینولین (۳۲۰) تهیه شده است. در این واکنش یک پیوند کربن-کربن

و سه پیوند کربن-نیتروژن ایجاد می‌گردد. ترکیبات سنتز شده به ترتیب طی انجام واکنش‌های کلیک،

المن و تراکم نووناگل ایجاد می‌شوند [۱۱۵].



$\text{X} = \text{N, CH}$

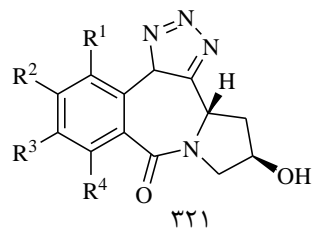
$\text{Y} = \text{Br, Cl}$

$\text{R}^1 = 5\text{-OMe, 5-Cl, 5-F}$

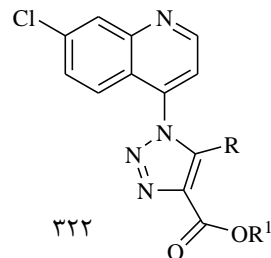
$\text{R}^2 = \text{Ph, 4-MePh, 4-OMePh, 4-ClPh, 4-FPh, CH}_2\text{OH}$

## ۱۰-۱- خواص دارویی و بیولوژیکی ۱،۲،۳- تری آزول ها

۱،۲،۳- تری آزول ها ترکیبات مهم هتروسیکلی ۵ عضوی نیتروژن دار می باشند که به عنوان دارو، حد واسطه های سنتزی در مواد شیمیایی کشاورزی، براق کننده های نوری و یا به عنوان بازدارنده های خودگی کاربرد گسترده ای پیدا کرده اند [۱۱۶]. بر اساس مطالعات انجام شده، متصل کردن ساختارهای گوناگون هتروسیکلی به یکدیگر باعث بالا رفتن پتانسیل درمانی و دارویی ترکیب حاصله شده است. بنابراین اتصال گروه ۱،۲،۳- تری آزول به یک ساختار هتروسیکلی یک راهکار مهم در طراحی دارو است. [۱۱۷]



داروی ضد HIV



ضد اکسیدان

**فصل دوم**

**بحث و بررسی**

**نتایج**

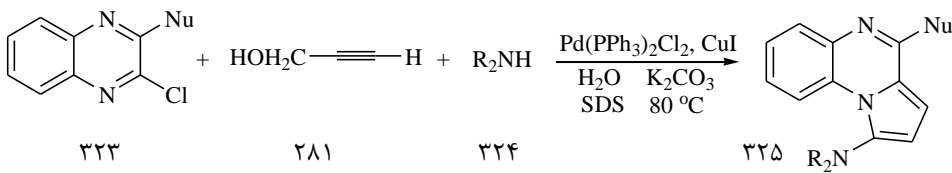
## ۲- بحث و بررسی نتایج

### ۱-۲- سنتز پیرولو [a-1,2]-کینوکسالین‌ها

ترکیبات هتروسیکل از بزرگترین و متنوع‌ترین خانواده ترکیبات آلی هستند. کینوکسالین‌ها از مهمترین ترکیبات هتروسیکلی نیتروژن‌دار می‌باشند که به علت داشتن خواص بیولوژیکی فراوان در صنایع داروسازی کاربردهای وسیعی دارند. همچنین پیرولو [a-1,2]-کینوکسالین‌ها کاربردهای فراوانی به عنوان داروهای بازدارنده‌ی پیشرفته تومورهای سرطانی، ضد ایدز، ضد باکتری دارا می‌باشند. بنابراین با توجه به ویژگی‌های ذکر شده، در این پژوهش مشتقات جدیدی از ۱-دو استخلافی پیرولو [a-1,2]-کینوکسالین در مجاورت کاتالیزگر پالادیم در حلال آب سنتز شد.

حلال‌های آلی مورد استفاده در سنتز، تهدید بزرگی برای محیط زیست هستند. اغلب حلال‌های پرکاربرد در واکنش‌های شیمیایی، حلال‌های آلی هستند که بالقوه، موادی آلاینده و سمی هستند. این حلال‌ها از طریق فرآیند تبخیر وارد محیط زیست می‌شوند. به دلیل استفاده از مقادیر زیاد حلال در سنتز، میزان آلوده کنندگی آن‌ها چشمگیر است. این در حالی است که این مواد آلاینده و سمی، محیط معمول برای سنتز صنعتی مواد آلی (مواد پتروشیمی و دارویی) نیز می‌باشند. در این پژوهش به منظور کاهش آلاینده‌ی، از آب به عنوان حلال واکنش استفاده شده است.

در این تحقیق مشتقات جدید ۱-دو استخلافی پیرولو [a-2,1]-کینوکسالین (۳۲۵) به صورت تک طرفی از واکنش ۲-کلرو-۳-استخلافی کینوکسالین (۳۲۳) با پروپارژیل الکل (۲۸۱)، آمین نوع دوم (۳۲۴) در حضور باز پتاسیم کربنات و با استفاده از کاتالیزگر بیس‌تری‌فنیل‌فسفین‌پالادیم (II) کلرید و کمک کاتالیزگر مس (I) یدید در حلال آب تهیه شد.

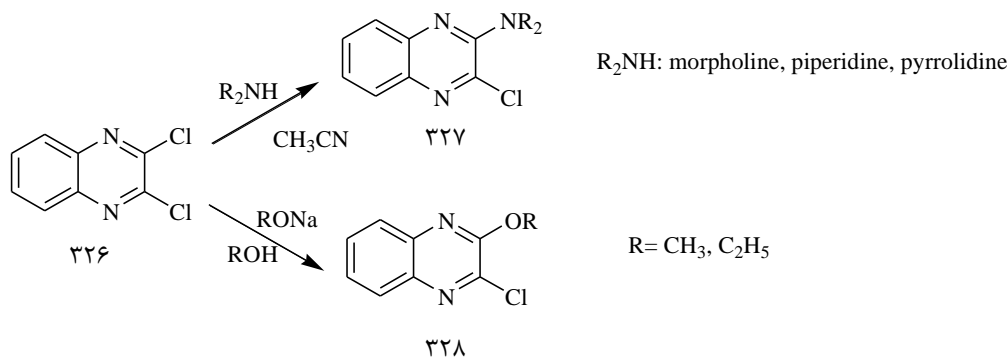


NuH: morpholine, pyrrolidine, piperidine, methanol, ethanol

R<sub>2</sub>NH: morpholine, piperidine, pyrrolidine

### (طرح ۱-۲)

ابتدا از واکنش ۳،۲-دی-کلرو کینوکسالین (۳۲۶) با آمین‌های نوع دوم در استونیتریل در دمای ۸۰ °C و یا با سدیم آلكوکسید در الکل و در دمای اتاق، مشتقات ۲-کلرو-۳-استخلافی کینوکسالین (۳۲۳) با بهره‌ی بالا سنتز شد که نتایج در جدول شماره ۱-۲ مشاهده می‌شود.



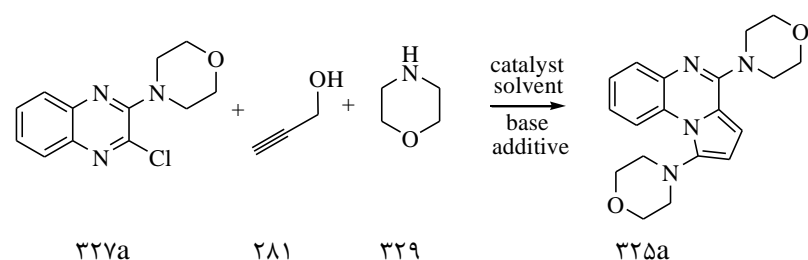
### (طرح ۲-۲)

جدول ۲-۱: بهره‌ی واکنش و نقطه‌ی ذوب ۲-کلرو-۴-استخلافی کینوکسالین (۳۲۷ و ۳۲۸)

ترکیب	آمین/آلکوکسید	نقطه‌ی ذوب (°C)	بهره‌ی واکنش (%)
۳۲۷a	مورفولین	۷۷-۷۹	۹۰
۳۲۷b	پای پیریدین	۶۴-۶۶	۸۵
۳۲۷c	پیرولیدین	۷۱-۷۳	۷۵
۳۲۸a	متوكسید	۶۵-۶۷	۸۵
۳۲۸b	اتوكسید	۵۲-۵۴	۷۰

## ۲-۲- بهینه کردن شرایط واکنش

برای بهینه‌سازی، واکنش ۲-کلرو-۳-مورفولینوکینوکسالین (۳۲۷a)، پروپارژیل الکل (۲۸۱) و مورفولین (۳۲۹) به عنوان واکنش مبنا استفاده شد (طرح ۳-۲) برای خالص‌سازی محصول از ستون کروماتوگرافی با حلal شویش کلروفرم-متانول (۱:۹۹) استفاده شد. پس از حذف حلal با توزین رسوب به دست آمده میزان بهره‌ی واکنش تعیین گردید.



(طرح ۳-۲)

هنگامی که ۲-کلرو-۳-مورفولینوکینوکسالین (۳۲۹) با پروپارژیلالکل (۲۸۱) و مورفولین (۳۲۹) در مجاورت (۰/۱ mmol) CuI و تریاتیلآمین در دمای ۸۰ درجه سانتیگراد و در حلal دی متیل فرمامید واکنش می‌دهد، ۱-دی(مورفولین-۴-ایل)پیرولو[۱،۴-ا]کینوکسالین (۳۲۵a) با بازده ۶۰٪ به دست می‌آید. اثرات حلal، کاتالیزگر و نوع باز مورد بررسی قرار گرفت که نتایج آن در جدول ۲-۲ نشان داده شده است.

حلال‌های DMF، H<sub>2</sub>O و CH<sub>3</sub>CN در حضور بازهای آلی و غیر آلی مانند تری اتیل آمین، مورفولین، دی ایزوپروپیل اتیل آمین و پتاسیم کربنات مورد بررسی قرار گرفت. نتایج نشان می‌دهد آب در مجاورت سورفکتانت سدیم‌دودسیل‌سولفونات (SDS) بهترین عملکرد را به عنوان حلal واکنش دارا می‌باشد. و پتاسیم کربنات به عنوان مناسب‌ترین باز که محصول با بهره بالاتری ایجاد می‌کند، شناسایی شد. در میان کاتالیزگرهای مورد بررسی قرار گرفته، Pd(Ph<sub>3</sub>P)<sub>2</sub>Cl<sub>2</sub>، به عنوان بهترین کاتالیزگر شناخته شد. استفاده از مس(I) یدید برای پیشرفت واکنش ضروری می‌باشد به طوری که انجام واکنش در غیاب آن محصول با بهره‌ی ۲۰٪ را ایجاد کرد.

جدول ۲-۲: بهینه کردن شرایط واکنش در سنتز ترکیبات  $a$ -دو استخلافی پیرولو[۴،۱]کینوکسالین (۳۲۵a)

ردیف	حلال	باز	کاتالیزگر		SDS	بهره (%)
			کاتالیزگر	کاتالیزگر		
۱	DMF	Et <sub>3</sub> N	Pd(Ph <sub>3</sub> P) <sub>2</sub> Cl <sub>2</sub>	CuI	-	۶۰
۲	DMF	Morpholine	Pd(Ph <sub>3</sub> P) <sub>2</sub> Cl <sub>2</sub>	CuI	-	۷۵
۳	DMF	K <sub>2</sub> CO <sub>3</sub>	Pd(Ph <sub>3</sub> P) <sub>2</sub> Cl <sub>2</sub>	CuI	-	۴۵
۴	CH <sub>3</sub> CN	Et <sub>3</sub> N	Pd(Ph <sub>3</sub> P) <sub>2</sub> Cl <sub>2</sub>	CuI	-	۶۰
۵	CH <sub>3</sub> CN	Morpholine	Pd(Ph <sub>3</sub> P) <sub>2</sub> Cl <sub>2</sub>	CuI	-	۷۵
۶	CH <sub>3</sub> CN	DIPEA	Pd(Ph <sub>3</sub> P) <sub>2</sub> Cl <sub>2</sub>	CuI	-	۵۵
۷	CH <sub>3</sub> CN	Et <sub>3</sub> N	Pd/(10 mol%)	CuI	-	۳۰
۸	H <sub>2</sub> O	K <sub>2</sub> CO <sub>3</sub>	Pd(Ph <sub>3</sub> P) <sub>2</sub> Cl <sub>2</sub>	CuI	۵ mol%	۶۶
۹	H <sub>2</sub> O	K <sub>2</sub> CO <sub>3</sub>	Pd(Ph <sub>3</sub> P) <sub>2</sub> Cl <sub>2</sub>	CuI	۱۰ mol%	۸۷
۱۰	H <sub>2</sub> O	K <sub>2</sub> CO <sub>3</sub>	Pd/(10 mol%)	CuI	۱۰ mol%	۱۰
۱۱	H <sub>2</sub> O	K <sub>2</sub> CO <sub>3</sub>	Pd(Ph <sub>3</sub> P) <sub>2</sub> Cl <sub>2</sub>	-	۱۰ mol%	۲۰
۱۲	H <sub>2</sub> O	K <sub>2</sub> CO <sub>3</sub>	Pd(Ph <sub>3</sub> P) <sub>2</sub> Cl <sub>2</sub>	CuI	-	۲۵
۱۳	H <sub>2</sub> O	Na <sub>2</sub> CO <sub>3</sub>	Pd(Ph <sub>3</sub> P) <sub>2</sub> Cl <sub>2</sub>	CuI	۱۰ mol%	۴۰

## ۳-۲- سنتز مشتقات ۴،۱-دو استخلافی پیرولو[۱،۲-a]کینوکسالین

مشتقات ۲-کلرو-۳-آمینوکینوکسالین (۳۲۷) و ۲-کلرو-۳-آلکوکسیکینوکسالین (۳۲۵) که ابتدا تهیه گردید در واکنش با پروپارژیل الكل در حضور باز پتابسیم کربنات در شرایط بهینه واکنش داده و مشتقات ۴،۱-دو استخلافی پیرولو[۱،۲-a]کینوکسالین (۳۲۵) را با بهره خوب تا عالی تولید کردند که نتایج در جدول ۳-۲ نشان داده شده است.

جدول ۳-۲: بهره‌ی واکنش و نقطه‌ی ذوب مشتقات ۴،۱-دو استخلافی پیرولو[۱،۲-a]کینوکسالین (۳۲۵a-h)

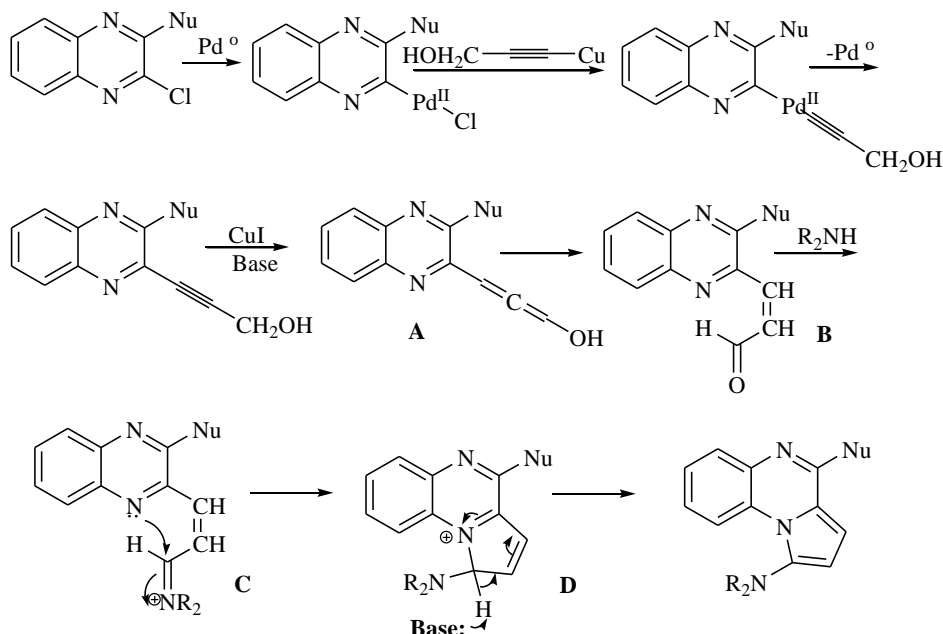
ردیف	ماده اولیه	محصول	نقطه‌ی ذوب (°C)	باهره‌ی واکنش (%)
۱			133-135	87
۲			116-117	65
۳			119-120	71

¶	<p>327a</p>	<p>328d</p>	122-123	68
§	<p>327c</p>	<p>328e</p>	121-122	70
¤	<p>328a</p>	<p>328f</p>	116-118	70
¥	<p>328b</p>	<p>328g</p>	123-125	70
₩	<p>327a</p>	<p>328h</p>	119-121	70

## ۴-۲- مکانیسم واکنش

برای واکنش تهیه ترکیبات  $a$ -دو استخلافی پیرولو[۱،۲-*a*]کینوکسالین (۳۲۵) مکانیسم چند مرحله‌ای زیر پیشنهاد می‌گردد (طرح ۴-۲).

در مرحله اول یک واکنش جفت شدن سونوگاشیرا به وسیله کاتالیزگر بیس‌تری‌فنیل‌فسفین(II) کلرید و مس(I) یدید اتفاق می‌افتد، در ادامه ایزومری شدن به آلن (A) صورت می‌گیرد. سپس به ترتیب یک انون آلدئید (B) و یون ایمینیوم (C) تشکیل می‌شود که در نهایت حلقه زایی درون مولکولی منجر به تشکیل حلقه پیرولی (D) می‌شود که توسط باز موجود در محیط ترکیب آروماتیک می‌گردد و مشتقات پیرولو[۱،۲-*a*]کینوکسالین تشکیل می‌شود.



## ۲-۵- شواهد طیفی مشتقات ۴،۱-دو استخلافی پیرولو[۱،۲]ا

[*a*] کینوکسالین:

(۳۲۵a) [۱،۲] پیرولو(۴-ایل) مورفولین-۴-دی(کینوکسالین)

در طیف  $^1\text{HNMR}$  این ترکیب (طیف شماره ۱) که در حلal کلروفرم دوتره گرفته شده است، پروتون‌های دو گروه متیلن متصل به نیتروژن حلقه‌ی مورفولین موقعیت ۴، به صورت چندتایی با سطح زیر پیک چهار پروتون در ۰/۹۲-۳/۰۵ ppm، پروتون‌های دو گروه متیلن متصل به اکسیژن مورفولین موقعیت ۴ و پروتون‌های چهار گروه متیلن حلقه مورفولین موقعیت ۱ که با یکدیگر همپوشانی کرده‌اند به صورت چندتایی با سطح زیر پیک دوازده پروتون در ۳/۶۷-۴/۰۳ ppm قابل مشاهده است. پروتون‌های مربوط به حلقه پیروول به صورت دوتایی و با ثابت جفت‌شدن  $\text{Hz}$  ۴/۴ به ترتیب در ۶/۳۸ و ۶/۷۱ ppm هر یک با سطح زیر پیک یک پروتون ظاهر شده است. پروتون‌های حلقه آروماتیک کینوکسالین به صورت سه دسته، یکی به صورت چندتایی در محدوده ۷/۴۶-۷/۲۵ ppm با سطح زیر پیک دو پروتون، دیگری در ۷/۶۷-۷/۷۴ ppm به صورت چندتایی با سطح زیر پیک یک پروتون و دسته آخر به صورت دو تا دوتایی با ثابت جفت‌شدن  $\text{Hz}$  ۹/۰۵ در ۷/۶ ppm دیده می‌شود.

در طیف  $^{13}\text{CNMR}$  این ترکیب (طیف شماره ۲) که در حلal کلروفرم دوتره گرفته شده است، پیک‌های مربوط به کربن‌های آلیفاتیک به ترتیب در ۴/۹، ۵/۲، ۵/۸، ۶/۶ و ۶/۷ ppm ظاهر شده است و پیک مربوط به کربن‌های آروماتیک به ترتیب در ۱/۱، ۵/۰، ۹/۱، ۹/۶، ۹/۱۱، ۹/۱۱، ۶/۱۲، ۶/۱۲، ۳/۱۲، ۶/۱۲، ۹/۱۳ و ۵/۱۵ ppm قابل مشاهده است. مجموعاً ۱۴ پیک وجود دارد که با تعداد کربن‌ها مطابقت دارد.

طیف IR این ترکیب (طیف شماره ۳) که به صورت قرص (KBr) گرفته شده است، جذب کششی

مربوط به پیوندهای C-H در  $\text{cm}^{-1}$  ۲۹۵۰ و ۲۸۴۰، جذب کششی پیوند C=C آروماتیک را در ۱۴۱۰ و  $\text{cm}^{-1}$  ۱۶۱۰ و جذب کششی C-O در  $\text{cm}^{-1}$  ۱۱۲۰ نشان می‌دهد.

### ۱-(مورفولین-۴-ایل)-۴-(پای‌پیریدین-۱-ایل)پیرولو[۲،۱-*a*]کینوکسالین (۳۲۵b)

در طیف  $^1\text{HNMR}$  این ترکیب (طیف شماره ۴) که در حلال کلروفرم دوتره گرفته شده است، پروتون‌های سه گروه متیلن حلقه پای‌پیریدین (غیر متصل به نیتروژن) به صورت چندتایی با سطح زیر پیک شش پروتون در ppm ۱/۶۳-۲/۰۵ با سطح زیر پیک دو گروه متیلن (متصل به نیتروژن) حلقه مورفولین در دو دسته چندتایی هر یک با سطح زیر پیک دو پروتون به ترتیب در ۲/۹۴-۳/۰۰ و ۳/۱۶-۳/۱۹ ppm ظاهر شده است. سایر پروتون‌های متیلن حلقه پای‌پیریدین در ppm ۳/۶۱-۳/۷۹ با سطح زیر پیک چهار پروتون و پروتون‌های متیلن (متصل به اکسیژن) حلقه مورفولین در ۳/۹۰-۴/۰۱ ppm ظاهر شده اند. پروتون‌های مربوط به حلقه پیروول به صورت دوتایی و با ثابت جفت‌شدن Hz ۴ در ۶/۳۵ و ۶/۷۲ ظاهر شده است. پروتون‌های حلقه آروماتیک کینوکسالین به صورت سه دسته، یکی به صورت چندتایی در ppm ۷/۲۰-۷/۳۱ با سطح زیر پیک دو پروتون، دیگری در محدوده ۷/۶۴-۷/۷۳ به صورت چندتایی با سطح زیر پیک یک پروتون و دسته آخر به صورت دوتایی با ثابت جفت‌شدن Hz ۷/۶ در ۹/۰۳ ppm دیده می‌شوند.

در طیف  $^{13}\text{CNMR}$  این ترکیب (طیف شماره ۵) که در حلال کلروفرم دوتره گرفته شده است، پیک‌های مربوط به کربن‌های آلیفاتیک به ترتیب در ۲۵/۱، ۲۶/۱، ۴۹/۸، ۵۲/۸ و ۶۶/۸ ppm ظاهر شده است و پیک مربوط به کربن‌های آروماتیک به ترتیب در ۱۰۰/۸، ۱۰۵/۶، ۱۱۵/۹، ۱۱۷/۳، ۱۲۲/۹، ۱۲۶/۹، ۱۲۴/۷، ۱۳۷/۲، ۱۴۲/۷ و ۱۵۴/۱ ppm قابل مشاهده است. مجموعاً ۱۶ پیک وجود دارد که با تعداد انواع کربن‌ها مطابقت دارد.

طیف IR این ترکیب (طیف شماره ۶) که به صورت قرص (KBr) گرفته شده است، جذب کششی

مربوط به پیوندهای C-H را در  $\text{cm}^{-1}$  ۲۹۴۰ و ۲۸۵۰، جذب کششی پیوندهای C=C آромاتیک را در  $\text{cm}^{-1}$  ۱۴۰۰ و ۱۶۰۰ و جذب کششی C-O در  $\text{cm}^{-1}$  ۱۱۰۰ نشان می‌دهد.

### (۳۲۵c) [a-کینوکسالین-۱،۲-پیرولو-۱ا] پیریدین

در طیف  $^1\text{HNMR}$  این ترکیب (طیف شماره ۸) که در حلحل کلروفرم دوتره گرفته شده است، پروتون‌های گروه‌های متیلن حلقه‌های پای‌پیریدین (غیر متصل به نیتروژن) به صورت چند تایی با سطح زیر پیک دوازده پروتون در ۱/۹۵-۲/۱۰ ppm، پروتون‌های متیلن متصل به نیتروژن حلقه پای‌پیریدین موقعیت ۱ در دو دسته چندتایی هر یک با سطح زیر پیک دو پروتون به ترتیب در ۲/۹۱-۲/۹۷ و ۳/۱۶-۳/۱۹ ppm و متیلن‌های متصل به نیتروژن حلقه پای‌پیریدین موقعیت ۴ با سطح زیر پیک چهار پروتون در ۳/۹۳-۳/۹۹ ppm ظاهر شده است. پروتون‌های مرتبه به حلقه پیروول به صورت دو تا دوتایی و با سطح زیر پیک یک پروتون به ترتیب در ۶/۳۳ ppm با ثابت جفت‌شدن ۴ Hz و ۶/۷۹ ppm با ثابت جفت‌شدن ۴/۴ Hz مشاهده شده است. پروتون‌های حلقه آромاتیک کینوکسالین به صورت سه دسته، یکی به صورت چندتایی در ۷/۱۱-۷/۰۷ ppm با سطح زیر پیک دو پروتون، دیگری در ۷/۳۰-۷/۲۲ ppm به صورت چندتایی با سطح زیر پیک یک پروتون و دسته آخر به صورت دوتایی با ثابت جفت‌شدن ۱/۰۹ ppm در ۸/۴ دیده می‌شود.

در طیف  $^{13}\text{CNMR}$  این ترکیب (طیف شماره ۹) که در حلحل کلروفرم دوتره گرفته شده است، پیک‌های مرتبه به کربن‌های آلیفاتیک به ترتیب در ۴/۱۱، ۴/۰۰، ۲/۶۲، ۲/۵۱، ۲/۴۰، ۲/۴۹ و ۸/۵۳ ppm مشاهده شده است و پیک مرتبه به کربن‌های آروماتیک به ترتیب در ۸/۱۱، ۸/۱۱، ۸/۱۰، ۸/۱۰، ۸/۱۰، ۸/۱۱، ۸/۱۱، ۸/۱۲، ۸/۱۲، ۸/۱۳، ۸/۱۴ و ۸/۱۵ ppm قابل مشاهده است. مجموعاً ۱۷ پیک وجود دارد که با تعداد انواع کربن‌ها مطابقت دارد.

طیف IR این ترکیب (طیف شماره ۱۰) که به صورت قرص (KBr) گرفته شده است، جذب کششی

مربوط به پیوندهای C-H را در  $\text{cm}^{-1}$  ۲۹۳۰ و ۲۸۵۰ و جذب کششی پیوند C=C آромاتیک را در ۱۴۰۰ و  $1605\text{ cm}^{-1}$  نشان می‌دهد.

#### ۴-(مورفولین-۴-ایل)-۱-(پای‌پیریدین-۱-ایل)پیرولو[۱،۲-a]کینوکسالین (۳۲۵d)

در طیف  $^1\text{HNMR}$  این ترکیب (طیف شماره ۱۱) که در حلحل کلروفرم دوتره گرفته شده است، پروتون‌های سه پروه متیلن حلقه پای‌پیریدین (غیر متصل به نیتروژن) با سطح زیر پیک شش پروتون در  $1/95-1/82\text{ ppm}$  و سایر پروتون‌های حلقه پای‌پیریدین در دو دسته چندتایی هر یک با سطح زیر پیک دو پروتون به ترتیب در  $2/70-2/62\text{ ppm}$  مشاهده شده است. پروتون‌های دو گروه متیلن حلقه مورفولین (متصل به نیتروژن) با سطح زیر پیک چهار پروتون به صورت چندتایی در  $3/72-3/71\text{ ppm}$  و سایر پروتون‌های متیلن حلقه مورفولین نیز در  $3/92-3/91\text{ ppm}$  به صورت چندتایی و سطح زیر پیک چهار پروتون دیده شده است. پروتون‌های مربوط به حلقه پیروول به صورت دوتایی و هر یک با سطح زیر پیک یک پروتون به ترتیب در  $6/33\text{ ppm}$  با ثابت جفت‌شدن  $3/6\text{ Hz}$  و  $6/71\text{ ppm}$  با ثابت جفت‌شدن  $3/9\text{ Hz}$  مشاهده شده است. پروتون‌های حلقه آروماتیک کینوکسالین به صورت سه دسته، یکی به صورت چندتایی در  $7/34-7/26\text{ ppm}$  با سطح زیر پیک دو پروتون، دیگری در  $7/68-7/66\text{ ppm}$  به صورت چندتایی با سطح زیر پیک یک پروتون و دسته آخر به صورت دوتایی با ثابت جفت‌شدن  $Hz$   $7/8-9/06\text{ ppm}$  در دیده می‌شود.

در طیف  $^{13}\text{CNMR}$  این ترکیب (طیف شماره ۱۲) که در حلحل کلروفرم دوتره گرفته شده است، پیک‌های مربوط به کربن‌های آلیاتیک به ترتیب در  $24/0$ ،  $25/7$ ،  $49/2$ ،  $53/8$  و  $67/0\text{ ppm}$  ظاهر شده است و پیک مربوط به کربن‌های آروماتیک به ترتیب در  $100/5$ ،  $105/4$ ،  $116/2$ ،  $116/4$ ،  $123/4$ ،  $124/5$ ،  $127/0$ ،  $127/9$ ،  $136/8$ ،  $144/7$  و  $153/6\text{ ppm}$  قابل مشاهده است. مجموعاً ۱۶ پیک وجود دارد که با تعداد انواع کربن‌ها مطابقت دارد.

طیف IR این ترکیب (طیف شماره ۱۳) که به صورت قرص (KBr) گرفته شده است، جذب کششی مربوط به پیوندهای C-H را در  $1405\text{ cm}^{-1}$  و  $2850\text{ cm}^{-1}$ ، جذب کششی پیوند C=C آромاتیک را در  $1615\text{ cm}^{-1}$  و جذب کششی C-O در  $1105\text{ cm}^{-1}$  نشان می‌دهد.

### ۱-(پای‌پیریدین-۱-ایل)-۴-(پیرولیدین-۱-ایل)پیرولو[۲،۱-*a*]کینوکسالین (۳۲۵e)

در طیف  $^1\text{H-NMR}$  این ترکیب (طیف شماره ۱۴) که در حلal کلروفرم دوترا گرفته شده است، پروتون‌های پنج گروه متیلن حلقه‌های پیرولیدین و پای‌پیریدین (غیر متصل به نیتروژن) که با یکدیگر همپوشانی کرده‌اند، به صورت چندتایی با سطح زیر پیک ده پروتون در  $1/94-1/90\text{ ppm}$ ، پروتون‌های دو گروه متیلن حلقه پای‌پیریدین (متصل به نیتروژن) در دو دسته چندتایی هر یک با سطح زیر پیک دو پروتون به ترتیب در  $2/95-2/78\text{ ppm}$  و  $3/10-3/06\text{ ppm}$  و سایر پروتون‌های حلقه پیرولیدین نیز به صورت چندتایی در  $3/87-3/81\text{ ppm}$  با سطح زیر پیک چهار پروتون ظاهر شده است. پروتون‌های مربوط به حلقه پیروول به صورت دوتایی و با سطح زیر پیک یک پروتون به ترتیب در  $6/23\text{ ppm}$  با ثابت جفت‌شدن  $4/5\text{ Hz}$  و  $6/81\text{ ppm}$  با ثابت جفت‌شدن  $4/6\text{ Hz}$  مشاهده شده است. پروتون‌های حلقه آромاتیک کینوکسالین به صورت چهار دسته، یکی به صورت چندتایی در  $6/97-7/03\text{ ppm}$  با سطح زیر پیک یک پروتون، دیگری در  $7/12-7/20\text{ ppm}$  به صورت چندتایی با سطح زیر پیک یک پروتون، در  $7/47\text{ ppm}$  به صورت چندتایی و سطح زیر پیک یک پروتون و دسته آخر به صورت دوتایی با ثابت جفت‌شدن  $7/5\text{ Hz}$  در  $8/92\text{ ppm}$  دیده می‌شود.

در طیف  $^{13}\text{C-NMR}$  این ترکیب (طیف شماره ۱۵) که در حلal کلروفرم دوترا گرفته شده است، پیک‌های مربوط به کربن‌های آلیفاتیک به ترتیب در  $40/6$ ،  $45/8$ ،  $49/1$  و  $52/6\text{ ppm}$  ظاهر شده است و پیک مربوط به کربن‌های آروماتیک به ترتیب در  $100/5$ ،  $106/8$ ،  $115/9$ ،  $116/8$ ،  $121/0$ ،  $124/8$ ،  $125/5$ ،  $126/3$ ،  $138/1$ ،  $143/0$  و  $150/0\text{ ppm}$  قابل مشاهده است. مجموعاً ۱۶ پیک وجود دارد

که با تعداد انواع کربن‌ها مطابقت دارد.

#### ۴-متوكسی-۱-(مورفولین-۴-ایل)پیرولو[۲،۱-*a*]کینوکسالین (۳۲۵f)

در طیف  $^1\text{HNMR}$  این ترکیب (طیف شماره ۱۶) که در حلال کلروفرم دوتره گرفته شده است، پروتون‌های دو گروه متیلن حلقه مورفولین (متصل به نیتروژن) در دو دسته چندتایی هر یک با سطح زیر پیک دو پروتون به ترتیب در ۲/۹۲-۲/۸۵ ppm و ۳/۱۰-۳/۰۶ ppm، دیگر پروتون‌های متیلن حلقه مورفولین به صورت چندتایی در ۳/۸۱-۳/۶۰ ppm با سطح زیر پیک چهار پروتون و پروتون‌های متیل به صورت یکتایی با سطح زیر پیک سه پروتون در ۳/۸۸ ppm ۳/۸۸ دیده می‌شود. پروتون‌های مربوط به حلقه پیرول به صورت دوتایی و با سطح زیر پیک یک پروتون به ترتیب در ۶/۲۸ ppm با ثابت جفت‌شدن ۳/۶ Hz و ۶/۶۱ ppm با ثابت جفت‌شدن ۳/۹ Hz مشاهده شده است. پروتون‌های حلقه آромاتیک کینوکسالین به صورت سه دسته، یکی به صورت چندتایی در ۷/۲۵-۷/۱۵ ppm با سطح زیر پیک دو پروتون، دیگری در ۷/۵۶-۷/۵۹ ppm به صورت چندتایی با سطح زیر پیک یک پروتون و دسته آخر به صورت دوتایی با ثابت جفت‌شدن ۷/۸ Hz در ۸/۹۶ ppm دیده می‌شود.

در طیف  $^{13}\text{CNMR}$  این ترکیب (طیف شماره ۱۷) که در حلال کلروفرم دوتره گرفته شده است، پیک‌های مربوط به کربن‌های آلیفاتیک به ترتیب در ۵۲/۸، ۵۲/۸، ۵۵/۲ و ۶۶/۶ ppm ظاهر شده است و پیک مربوط به کربن‌های آромاتیک به ترتیب در ۱۰۱/۳، ۱۱۵/۷، ۱۰۵/۶، ۱۱۶/۹، ۱۲۳/۵، ۱۲۴/۹، ۱۲۷/۳، ۱۲۷/۶، ۱۳۶/۸، ۱۴۳/۰ و ۱۵۳/۵ ppm قابل مشاهده است. مجموعاً ۱۴ پیک وجود دارد که با تعداد انواع کربن‌ها مطابقت دارد.

#### ۴-اتوكسی-۱-(مورفولین-۴-ایل)پیرولو[۲،۱-*a*]کینوکسالین (۳۲۵g)

در طیف  $^1\text{HNMR}$  این ترکیب (طیف شماره ۱۸) که در حلال کلروفرم دوتره گرفته شده است، پروتون‌های متیل به صورت چندتایی با سطح زیر پیک سه پروتون در ۱/۲۶-۱/۱۷ ppm، پروتون‌های دو

گروه متیلن حلقه مورفولین (متصل به نیتروژن) در دو دسته هر یک با سطح زیر پیک دو پروتون به صورت چندتایی به ترتیب در ۲/۸۸-۳/۱۰ ppm و ۳/۰۶-۳/۱۰ ppm و دیگر پروتون‌های متیلن حلقه مورفولین و پروتون‌های متیلن گروه اتیل به صورت چند تایی با سطح زیر پیک شش پروتون در ۳/۹۱ ppm ۳/۵۵-۳/۹۱ ppm مشاهده شده است. پروتون‌های مربوط به حلقه پیرون به صورت دوتایی و با ثابت جفت‌شدن Hz ۴/۲ در ۶/۲۸ و ۶/۶۲ ppm ظاهر شده است. پروتون‌های حلقه آромاتیک کینوکسالین به صورت چهار دسته، یکی به صورت چندتایی در ۷/۲۴-۷/۱۶ ppm با سطح زیر پیک یک پروتون، دیگری در ۷/۴۴-۷/۶۴ ppm به صورت چندتایی با سطح زیر پیک یک پروتون، در ۷/۴۰-۷/۳۰ ppm به صورت چندتایی با سطح زیر پیک یک پروتون و دسته آخر به صورت دوتایی با ثابت جفت‌شدن Hz ۸/۹۵ ppm در ۸/۲ دیده می‌شود.

در طیف  $^{13}\text{CNMR}$  این ترکیب (طیف شماره ۱۹) که در حلال کلروفرم دوتره گرفته شده است، پیک‌های مربوط به کربن‌های آلیفاتیک به ترتیب در ۱۴/۸، ۱۴/۸، ۱۲۴/۸، ۱۱۶/۹، ۱۱۵/۹، ۱۰۵/۸، ۱۰۱/۱، ۱۲۳/۶، ۱۲۷/۲، ۱۲۷/۵، ۱۳۶/۶، ۱۴۳/۱ و ۱۵۳/۱ ppm قابل مشاهده است. مجموعاً ۱۵ پیک وجود دارد که با تعداد انواع کربن‌ها مطابقت دارد.

#### ۴-(مورفولین-۴-ایل)-۱-(پیرونیدین-۱-ایل)پیرونولو[۱،۲-ا]کینوکسالین (۳۲۵h)

در طیف  $^1\text{HNMR}$  این ترکیب (طیف شماره ۲۰) که در حلال کلروفرم دوتره گرفته شده است، پروتون‌های سه گروه متیلن حلقه پیرونیدین (غیر متصل به نیتروژن) به صورت چندتایی با سطح زیر پیک چهار پروتون در ۱/۹۴-۱/۸۹ ppm، سایر پروتون‌های متیلن حلقه پیرونیدین در دو دسته چندتایی هر یک با سطح زیر پیک دو پروتون به ترتیب در ۳/۱۰-۲/۸۰ ppm و ۳/۰۶-۳/۱۰ ppm و پروتون‌های متیلن‌های حلقه مورفولین به صورت چندتایی با سطح زیر پیک هشت پروتون در ۳/۸۷-۳/۸۰ ppm ظاهر شده است.

پروتون‌های مربوط به حلقه پیروول به صورت دوتایی و با ثابت جفتشدن  $4/2$  Hz در  $6/23$  ppm و  $6/80$  ظاهر شده است. پروتون‌های حلقه آروماتیک کینوکسالین به صورت چهار دسته، یکی به صورت چندتایی در  $6/97-7/03$  ppm با سطح زیر پیک یک پروتون، دیگری در  $7/12-7/18$  ppm به صورت چندتایی با سطح زیر پیک یک پروتون و دسته آخر به صورت دوتایی با ثابت جفتشدن  $7/8$  Hz در  $8/91$  ppm دیده می‌شود.

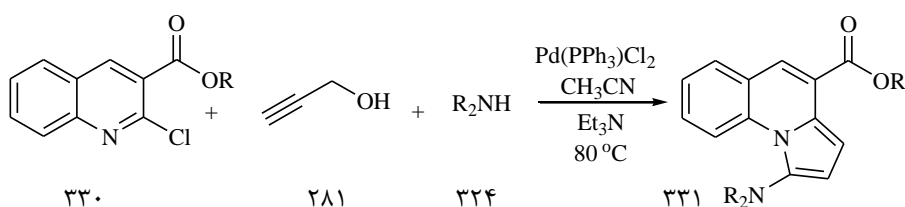
در طیف  $^{13}\text{CNMR}$  این ترکیب (طیف شماره ۲۱) که در حلal کلروفرم دوترا گرفته شده است، پیک‌های مربوط به کربن‌های آلیاتیک به ترتیب در  $49/1$ ،  $25/6$ ،  $49/1$ ،  $52/6$  و  $66/81$  ppm ظاهر شده است و پیک مربوط به کربن‌های آروماتیک به ترتیب در  $100/4$ ،  $106/6$ ،  $115/9$ ،  $116/9$ ،  $121/0$ ،  $124/8$ ،  $125/6$ ،  $126/4$ ،  $138/3$  و  $142/9$  ppm قابل مشاهده است. مجموعاً ۱۵ پیک وجود دارد که با تعداد انواع کربن‌ها مطابقت دارد.

## ۲-۶- سنتز پیرولو[۱-a]کینولین‌ها

ترکیب کینولین با توجه به حضور در ساختار تعداد زیادی از ترکیبات دارویی و خواص دارویی جالب آن، بخش مهمی از هتروسیکل‌های نیتروژن‌دار را تشکیل داده است. همچنین این ترکیب دارای خواص بیولوژیکی نظیر ضد تومور، ضد باکتری، ضد قارچ و ضد آرژی می‌باشد. علاوه بر این، هتروسیکل‌های جوش خورده به کینولین نظیر پیرولو[۱-a]کینولین، ترکیبات مهمی می‌باشند که دارای خواصی نظیر درمان‌کننده مشکلات عصبی و ضد تومور هستند. بنابراین با توجه به این خواص بیولوژیکی مهم، تلاش‌های زیادی به منظور گسترش روش‌های نوین سنتز برای پیرولو[۱-a]کینولین‌ها صورت گرفته است. در این میان، مطالعات کمی برای سنتز این ترکیبات بر اساس تشکیل پیوند کربن-کربن توسط فلزات واسطه طی واکنش‌های جفت شدن صورت گرفته است. معمولاً سیستم کاتالیزگری برای واکنش جفت شدن سونوگاشیرا، کمپلکس‌های فسفین-پالادیم و کمک کاتالیزگر مس‌یدید و مقدار زیادی آمین می‌باشد. با توجه به اهمیت زیاد واکنش سونوگاشیرا در سنتزهای آلی، همواره تلاش برای بهبود شرایط این واکنش وجود داشته است. از طرفی واکنش جفت شدن هوموآلکین‌ها که به واکنش گلاسر<sup>۱</sup> معروف است، همواره در واکنش سونوگاشیرا به عنوان واکنش جانبی با واکنش اصلی رقابت می‌کند [۱۱۸]. جلوگیری از تشکیل محصول واکنش گلاسر در واکنش سونوگاشیرا یک موضوع مهم است. نمک‌های مس(I) یدید که به عنوان کمک کاتالیزور در واکنش سونوگاشیرا استفاده می‌شوند، می‌توانند موجب جفت شدن آلکین‌ها شده و دی‌این‌های متقارن را ایجاد کنند که در نتیجه بهره‌ی محصول واکنش سونوگاشیرا کاهش یافته و جداسازی آن دشوار خواهد بود. در سال‌های اخیر نتایج متفاوتی از واکنش سونوگاشیرا به دست آمده که ناشی از به کار بردن شرایط متفاوت در این واکنش می‌باشد. هدف بیشتر این روش‌ها افزایش بهره‌ی واکنش جفت شدن با حذف کاتالیزور کمکی مس(I) یدید از محیط واکنش می‌باشد.

<sup>1</sup> Glaser Reaction

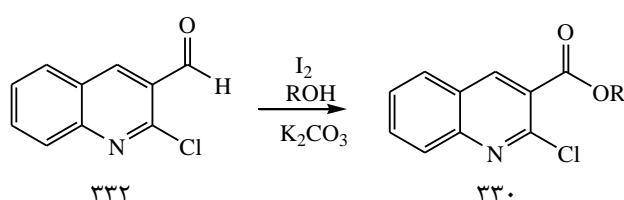
هر چند واکنش‌های سونوگاشیرا بدون استفاده از مس گسترش یافته است، اما گزارش‌های اندکی از واکنش آریل کلریدها یا هتروآریل کلریدیل کلرید و ۲-کلروکینولین با آلکین‌های انتهایی موجود است. در این پژوهش مشتقات جدیدی از آلکیل‌پیروولو[۴-کینولین-۴-کربوکسیلات که دارای استخلاف آمین در موقعیت ۱ هستند توسط واکنش سونوگاشیرا در غیاب مس سنتز شد. در این روش مشتقات آلکیل ۱-آمینوپیروولو[۴-کینولین-۴-کربوکسیلات (۳۳۱) به صورت تک ظرفی از واکنش ۲-کلروکینولین-۳-کربوکسیلات (۳۳۰) با پروپارژیل الکل (۲۸۱) و آمین نوع دوم (۳۲۴) در حضور باز تری‌اتیل‌آمین و با استفاده از کاتالیزگر  $Pd(Ph_3P)_2Cl_2$  در حلal استونیتریل سنتز شد.



R: Methyl, Ethyl, Propyl  
 $R_2NH$ : morpholine, piperidine, pyrrolidine

(طرح ۵-۲)

ابتدا از اکسایش ۲-کلروکینولین-۳-کربآلدهید (۳۲۲) در حلal الکل توسط ید در حضور پتابسیم کربنات در دمای اتاق، مشتقات آلکیل ۲-کلروکینولین-۳-کربوکسیلات (۳۳۰) تهیه شد. نتایج در جدول ۴-۲ نشان داده شده است (طرح ۶-۲).



R=  $CH_3, C_2H_5, C_3H_7$

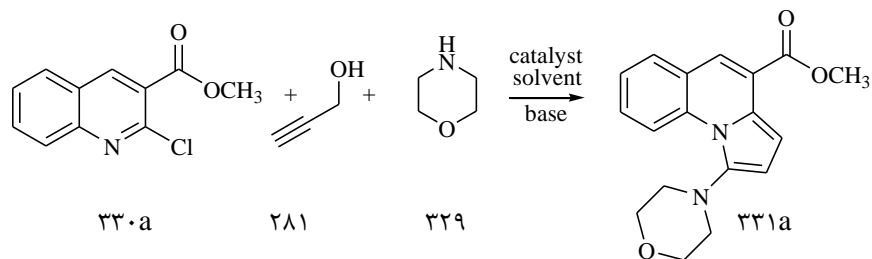
(طرح ۶-۲)

جدول ۲-۴: بهره‌هی واکنش و نقطه‌ی ذوب آلکیل ۲-کلروکینولین-۳-کربوکسیلات (۳۳۰ a-c)

ترکیب	الکل	نقطه‌ی ذوب (°C)	بهره‌هی واکنش (%)
۳۳۰ a	متانول	۹۶	۹۰
۳۳۰ b	اتانول	۱۰۶	۸۰
۳۳۰ c	پروپانول	۱۱۲	۸۰

## ۷-۲- بهینه کردن شرایط واکنش

برای بهینه‌سازی، واکنش متیل ۲-کلروکینولین-۳-کربوکسیلات (۳۳۰ a)، پروپارژیل الکل (۲۸۱) و مورفولین (۳۲۹) به عنوان واکنش مبنا استفاده شد (طرح ۷-۲). برای خالص‌سازی محصول از ستون کروماتوگرافی با حلal شویش کلروفرم استفاده شد. بعد از حذف حلal با توزین رسوب به دست آمده میزان بهره‌ی واکنش تعیین گردید.



(طرح ۷-۲)

برای سنتز متیل ۱-مورفولینوپیرولو[۴-کینولین-۲،۱-a]کربوکسیلات (۳۳۱a) حلal، باز و کاتالیزگر بررسی گردید. نتایج در جدول ۵-۲ نشان داده شده است. هنگامی که واکنش در حلal DMF و باز تری اتیل آمین انجام گرفت، محصول با بهره ۶۰٪ ایجاد گردید. در حلal استونیتریل و در شرایط یکسان، محصول با بهره ۷۷٪ تولید شد. در شرایط بدون حلal نیز محصول واکنش با بهره ۴۰٪ تشکیل شد، انجام

واکنش در دمای محیط هیچ محصولی تولید نکرد. همچنین بازهای معدنی نظری پیاسیم کربنات و سدیم کربنات در مقایسه با بازهای آلی همانند تری اتیل آمین و دی ایزوپروپیل اتیل آمین محصول با بهره‌ی کمتری ایجاد کردند. با توجه به نتایج به دست آمده از جدول، استفاده از حلal استونیتریل، تری اتیل آمین و کاتالیزگر  $Pd(Ph_3P)_2Cl_2$  به عنوان شرایط بهینه در نظر گرفته شد.

جدول ۲-۵: بهینه کردن شرایط واکنش در سنتز ترکیبات متیل ۱-مورفولینو پیرولو [۱-a-۲،۱-کینولین-۴-کربوکسیلات

(۳۳۱a)

ردیف	حلال	باز	کاتالیزگر	بهره‌ی واکنش (%)
۱	CH <sub>3</sub> CN	K <sub>2</sub> CO <sub>3</sub>	Pd(Ph <sub>3</sub> P) <sub>2</sub> Cl <sub>2</sub>	۳۵
۲	CH <sub>3</sub> CN	DIPEA	Pd(Ph <sub>3</sub> P) <sub>2</sub> Cl <sub>2</sub>	۴۴
۳	CH <sub>3</sub> CN	Et <sub>3</sub> N	Pd(Ph <sub>3</sub> P) <sub>2</sub> Cl <sub>2</sub>	۷۷
۴	DMF	K <sub>2</sub> CO <sub>3</sub>	Pd(Ph <sub>3</sub> P) <sub>2</sub> Cl <sub>2</sub>	۳۵
۵	DMF	Na <sub>2</sub> CO <sub>3</sub>	Pd(Ph <sub>3</sub> P) <sub>2</sub> Cl <sub>2</sub>	۳۰
۶	DMF	Et <sub>3</sub> N	Pd(Ph <sub>3</sub> P) <sub>2</sub> Cl <sub>2</sub>	۶۰
۷	CH <sub>3</sub> CN	Et <sub>3</sub> N	Pd/C	۲۰
۸	CH <sub>3</sub> CN	DIPEA	Pd/C	۱۷
۹	DMF	K <sub>2</sub> CO <sub>3</sub>	Pd/C	-
۱۰	H <sub>2</sub> O	K <sub>2</sub> CO <sub>3</sub>	Pd(Ph <sub>3</sub> P) <sub>2</sub> Cl <sub>2</sub>	-
۱۱	H <sub>2</sub> O	Et <sub>3</sub> N	Pd(Ph <sub>3</sub> P) <sub>2</sub> Cl <sub>2</sub>	۲۵
۱۲	CH <sub>3</sub> CN	Et <sub>3</sub> N	-	-
۱۳	-	Et <sub>3</sub> N	Pd(Ph <sub>3</sub> P) <sub>2</sub> Cl <sub>2</sub>	۴۰ <sup>a</sup>

١٤

CH<sub>3</sub>CNEt<sub>3</sub>NPd(Ph<sub>3</sub>P)<sub>2</sub>Cl<sub>2</sub>•<sup>b</sup><sup>a</sup> Et<sub>3</sub>N (6 mmol)<sup>b</sup> rt

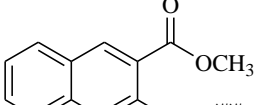
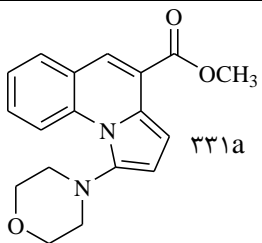
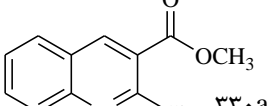
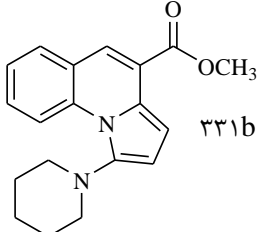
## ۲-۸- سنتز مشتقات آلکیل ۱-آمینوپیرولو[۱،۲-ا]کینولین-۴-

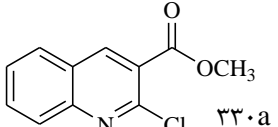
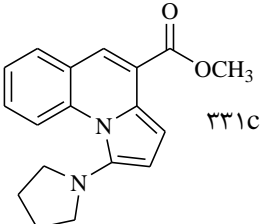
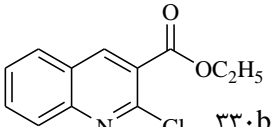
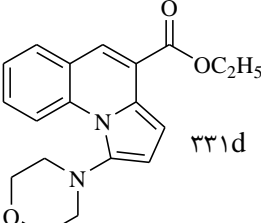
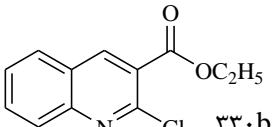
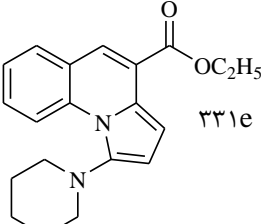
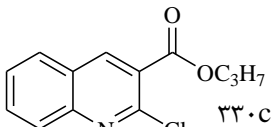
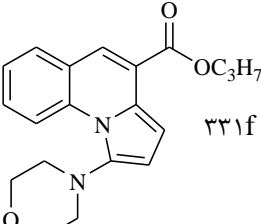
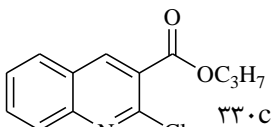
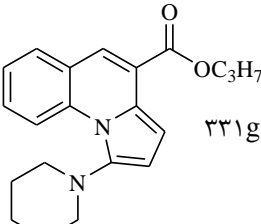
### کربوکسیلات

مشتقات آلکیل ۲-کلروکینولین-۳-کربوکسیلات (۳۳۰) در واکنش با پروپارژیل الکل در حضور باز تریاتیل‌آمین در شرایط بهینه واکنش داده و مشتقات آلکیل ۱-آمینوپیرولو[۱،۲-ا]کینولین-۴-کربوکسیلات (۳۳۱) را با بهره بالا تولید کردند که نتایج در جدول ۲-۶ نشان داده شده است.

جدول ۲-۶: بهره‌ی واکنش و نقطه‌ی ذوب مشتقات آلکیل ۱-آمینوپیرولو[۱،۲-ا]کینولین-۴-کربوکسیلات

(۳۳۱ a-g)

ردیف	ماده اولیه	محصول	نقطه‌ی ذوب (°C)	بهره‌ی واکنش (%)
۱			۱۰۱-۱۰۲	۷۷
۲			۷۷-۸۰	۷۵

۳	 ۳۳۰-۳	 ۳۳۱-۳	۸۵-۸۷	۷۰
۴	 ۳۳۰-۴	 ۳۳۱-۴	۸۸-۹۰	۸۰
۵	 ۳۳۰-۵	 ۳۳۱-۵	۷۹-۸۱	۷۹
۶	 ۳۳۰-۶	 ۳۳۱-۶	۹۲-۹۴	۷۵
۷	 ۳۳۰-۷	 ۳۳۱-۷	۸۹-۹۱	۸۰

---

## ۹-۲ - مکانیسم واکنش

مرحله اساسی واکنش سونوگاشیرا، تشکیل پیوند کربن-کربن یا جفت شدن به وسیله کاتالیزگر

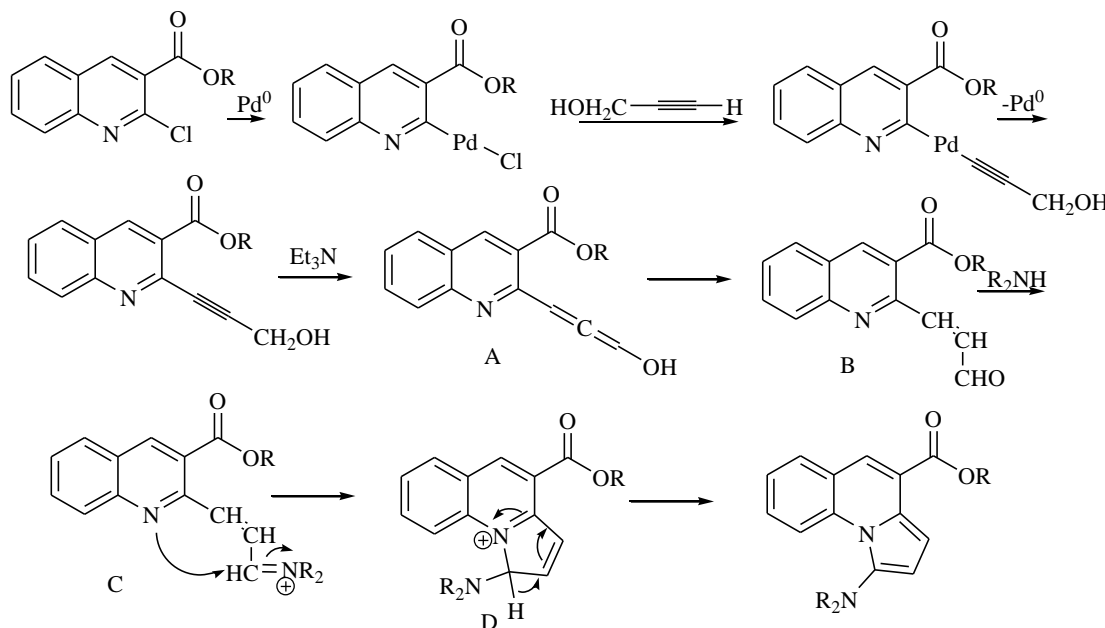
پالادیم و مس می‌باشد. مس(I) یدید با ترکیب استیلینی انتهایی واکنش داده و استیلید مس(I) را ایجاد

می‌کند که یک ترکیب آلی فلزی فعال در مرحله ترانس فلزدار کردن است. در واکنش‌های سونوگاشیرا بدون مس، بعد از فرآیند افزایش اکسایشی پالادیم در پیوند کربن-هالوژن، کثوردینه شدن آلکین با فلز اتفاق می‌افتد و در ادامه با پروتون‌زدایی و حذف کاهشی واکنش تکمیل می‌شود.

در واکنش سنتز مشتقات آلکیل ۱-آمینوپیرولو[۱،۲-*a*]کینولین-۴-کربوکسیلات (۳۳۱) مکانیسم

چند مرحله‌ای زیر پیشنهاد می‌گردد (طرح ۸-۲).

در مرحله اول یک واکنش جفت شدن سونوگاشیرا بدون مس توسط کاتالیزگر بیس‌تری‌فنیل‌فسفین(II)‌کلرید اتفاق می‌افتد، در ادامه حد واسط آلن (A) توسط ایزومری شدن ایجاد می‌گردد. سپس به ترتیب یک آنون‌آلدئید (B) و یون ایمینیوم (C) تشکیل می‌شود که در نهایت حلقه زایی درون مولکولی منجر به تشکیل حلقه پیرولی (D) می‌شود که توسط باز موجود در محیط ترکیب آروماتیک می‌گردد و مشتقات آلکیل ۱-آمینوپیرولو[۱،۲-*a*]کینولین-۴-کربوکسیلات تشکیل می‌شود.



(طرح ۸-۲)

## ۱۰- شواهد طیفی مشتقات آلکیل ۲-کلروکینولین-۳-

### کربوکسیلات

#### متیل ۲-کلروکینولین-۳-کربوکسیلات (۳۳۰a)

در طیف  $^1\text{H}$ NMR این ترکیب (طیف شماره ۲۲) که در حلال دی‌متیل‌سولفوکسید دوتره گرفته شده است، پروتون‌های گروه متیل به صورت یکتایی در  $3/9$  ppm با سطح زیر پیک سه پروتون، ppm پروتون‌های حلقه بنزنی سیستم کینولین به صورت چندتایی با سطح زیر پیک چهار پروتون در  $8/9$  ppm و پروتون موقعیت ۴ این سیستم به صورت یکتایی با سطح زیر پیک یک پروتون در  $7/2$ - $7/9$  مشاهده می‌شود.

#### اتیل ۲-کلروکینولین-۳-کربوکسیلات (۳۳۰b)

در طیف  $^1\text{H}$ NMR این ترکیب (طیف شماره ۲۳) که در حلال دی‌متیل‌سولفوکسید دوتره گرفته شده است، پروتون‌های گروه متیل به صورت سه‌تایی با سطح زیر پیک سه پروتون و ثابت جفت‌شدن Hz در  $1/3$  ppm، پروتون‌های متیلن مربوط به گروه اتیل به صورت چهارتایی با سطح زیر پیک دو پروتون و ثابت جفت‌شدن Hz در  $4/4$  ppm در  $7/0$  ppm و پروتون‌های حلقه‌ی بنزنی سیستم کینولین به صورت چندتایی و سطح زیر پیک چهار پروتون در  $7/3$ - $7/7$  ppm و پروتون موقعیت ۴ این سیستم به صورت یکتایی در  $8/9$  ppm با سطح زیر پیک یک پروتون ظاهر شده است.

#### پروپیل ۲-کلروکینولین-۳-کربوکسیلات (۳۳۰c)

در طیف  $^1\text{H}$ NMR این ترکیب (طیف شماره ۲۴) که در حلال دی‌متیل‌سولفوکسید دوتره گرفته شده است، پروتون‌های گروه متیل به صورت سه‌تایی با سطح زیر پیک سه پروتون و ثابت جفت‌شدن Hz در  $1/8$  ppm، پروتون‌های گروه متیلن به صورت چندتایی با سطح زیر پیک دو پروتون در  $7/3$ - $7/10$  ppm و پروتون‌های حلقه‌ی بنزنی سیستم کینولین به صورت چندتایی و سطح زیر پیک چهار پروتون در  $8/3$  ppm با سطح زیر پیک یک پروتون ظاهر شده است.

۱/۶ و دیگر پروتون‌های متیلن (متصل به اکسیژن) به صورت سهتایی و ثابت جفت‌شدن  $\text{Hz}$   $6/8$  با سطح زیر پیک دو پروتون در  $\text{ppm}$   $4/32$  مشاهده شده است. پروتون‌های حلقه بنزنی سیستم کینولین به صورت چندتایی در  $\text{ppm}$   $7/2-7/6$  با سطح زیر پیک چهار پروتون و پروتون موقعیت  $4$  این سیستم به صورت یکتایی و سطح زیر پیک یک گروتون در  $\text{ppm}$   $8/9$  ظاهر شده است.

## ۱۱-۲- شواهد طیفی مشتقات آlkيل ۱-آمینوپیرولو[۲،۱-a]کینولین-

### ۴- کربوکسیلات

#### متیل ۱-مورفولینوپیرولو[۲،۱-a]کینولین-۴-کربوکسیلات (۳۳۱a)

در طیف  $^1\text{HNMR}$  این ترکیب (طیف شماره ۲۵) که در حلحل کلروفرم دوتره گرفته شده است، پروتون‌های دو گروه متیلن حلقه مورفولین (متصل به نیتروژن) در دو دسته هر یک به صورت چندتایی و سطح زیر پیک دو پروتون به ترتیب در  $\text{ppm}$   $2/96-3/05$  و  $3/16-3/20$  دیده می‌شود. پروتون‌های گروه متیل و دو گروه متیلن دیگر حلقه مورفولین (متصل به اکسیژن) که با یکدیگر همپوشانی کرده‌اند با سطح زیر پیک هفت پروتون به صورت چندتایی در  $\text{ppm}$   $3/92-4/04$  مشاهده می‌گردند. پروتون‌های حلقه‌ی پیروول به ترتیب در  $\text{ppm}$   $6/54$  با ثابت جفت‌شدن  $\text{Hz}$   $3/9$  به صورت دوتایی با سطح زیر پیک دو پیک یک پروتون و در  $\text{ppm}$   $7/23$  با ثابت جفت‌شدن  $\text{Hz}$   $4/2$  به صورت دوتایی و با سطح زیر پیک دو پروتون ظاهر شده است. سه پروتون از حلقه کینولین هر یک با سطح زیر پیک یک پروتون و به صورت چندتایی به ترتیب در  $\text{ppm}$   $7/32-7/37$ ,  $7/54-7/60$  و  $7/71-7/72$  قابل مشاهده است. پروتون موقعیت  $5$  این ترکیب، به صورت یکتایی و با سطح زیر پیک یک پروتون در  $\text{ppm}$   $7/78$  و پروتون موقعیت  $9$  ترکیب به صورت دوتایی با ثابت جفت‌شدن  $\text{Hz}$   $8/7$  و سطح زیر پیک یک پروتون در  $\text{ppm}$   $9/47$  ظاهر شده است.

در طیف  $^{13}\text{CNMR}$  این ترکیب (طیف شماره ۲۶) که در حلال کلروفرم دوتره گرفته شده است، پیک‌های مربوط به کربن‌های آلیفاتیک به ترتیب در ۵۱/۰۶، ۵۲/۰۲ و ۶۵/۸۵ ppm ظاهر شده است و پیک مربوط به کربن‌های آروماتیک به ترتیب در ۱۰۱/۳۹، ۱۰۲/۳۴، ۱۱۵/۹۹، ۱۱۹/۸۵، ۱۲۲/۵۲، ۱۲۳/۴۴، ۱۲۳/۷۵، ۱۲۵/۰۲، ۱۲۵۸/۶۸، ۱۳۵/۳۲ و ۱۶۴/۹۳ ppm قابل مشاهده است. مجموعاً ۱۶ پیک وجود دارد که با تعداد انواع کربن‌ها مطابقت دارد.

طیف IR این ترکیب (طیف شماره ۲۷) که به صورت قرص (KBr) گرفته شده است، جذب کششی مربوط به پیوندهای C-H را در  $2928\text{ cm}^{-1}$ ، جذب کششی پیوند C=O در  $1720\text{ cm}^{-1}$  و جذب کششی پیوند C=C را در  $1400\text{ cm}^{-1}$  نشان می‌دهد.

#### متیل ۱-(پای‌پیریدین-۱-ایل)پیرولو[۱،۲-a]کینولین-۴-کربوکسیلات (۳۳۱b)

در طیف  $^1\text{HNMR}$  این ترکیب (طیف شماره ۲۸) که در حلال کلروفرم دوتره گرفته شده است، پروتون‌های سه گروه متیلن حلقه پای‌پیریدین (غیر متصل به نیتروژن) به صورت چندتایی با سطح زیر پیک شش پروتون در  $1/69-1/95\text{ ppm}$ ، پروتون‌های دو گروه متیلن دیگر حلقه در دو دسته، هر یک به صورت چندتایی و با سطح زیر پیک دو پروتون به ترتیب در  $2/63-2/71\text{ ppm}$  و  $3/31-3/35\text{ ppm}$ . پروتون‌های گروه متیل به صورت یکتایی در  $3/99\text{ ppm}$  با سطح زیر پیک سه پروتون ظاهر شده است. پروتون‌های حلقه‌ی پیروول به ترتیب در  $6/46\text{ ppm}$  با ثابت جفت‌شدن  $4/2\text{ Hz}$  به صورت دوتایی با سطح زیر پیک یک پروتون و در  $7/20\text{ ppm}$  با ثابت جفت‌شدن  $3/9\text{ Hz}$  به صورت دوتایی و با سطح زیر پیک دو پروتون مشاهده شده است. سه پروتون از حلقه‌ی کینولین هر یک با سطح زیر پیک یک پروتون و به صورت چندتایی به ترتیب در  $7/35-7/58\text{ ppm}$  و  $7/66-7/69\text{ ppm}$  قابل مشاهده است. پروتون موقعیت ۹ ترکیب، به صورت یکتایی و با سطح زیر پیک یک پروتون در  $7/74\text{ ppm}$  و پروتون موقعیت ۹ ترکیب به صورت دوتایی با ثابت جفت‌شدن  $8/7\text{ Hz}$  و سطح زیر پیک یک پروتون در  $9/47\text{ ppm}$  ظاهر

شده است.

در طیف  $^{13}\text{CNMR}$  این ترکیب (طیف شماره ۲۹) که در حلال کلروفرم دوترا گرفته شده است، پیک‌های مربوط به کربن‌های آلیفاتیک به ترتیب در ۷، ۲۴/۸۱، ۲۳/۰۷، ۵۱/۰۰ و ۵۲/۹۰ ppm ظاهر شده است و پیک مربوط به کربن‌های آروماتیک به ترتیب در ۱۰۰/۸۲، ۱۰۲/۱۵، ۱۱۶/۳۶، ۱۱۹/۸۶، ۱۲۲/۲۹، ۱۲۳/۰۵، ۱۲۵/۶۱، ۱۲۷/۸۱، ۱۲۸/۳۹، ۱۳۵/۵۷ و ۱۴۲/۷۱ ppm قابل مشاهده است. مجموعاً ۱۷ پیک وجود دارد که با تعداد انواع کربن‌ها مطابقت دارد.

طیف IR این ترکیب (طیف شماره ۳۰) که به صورت قرص (KBr) گرفته شده است، جذب کششی مربوط به پیوندهای C-H را در  $\text{cm}^{-1}$  ۲۹۲۰، ۱۷۲۱ در  $\text{cm}^{-1}$  C=O نشان می‌دهد.

#### متیل ۱-(پیرولیدین-۱-ایل)پیرولو[۲،۱-*a*]کینولین-۴-کربوکسیلات (۳۳۱c)

در طیف  $^1\text{HNMR}$  این ترکیب (طیف شماره ۳۱) که در حلال کلروفرم دوترا گرفته شده است، پروتون‌های دو گروه متیلن حلقه‌ی پیرولیدین (غیر متصل به نیتروژن) به صورت چندتایی با سطح زیر پیک چهار پروتون در ۱/۴۵ ppm، پروتون‌های متیلن دیگر حلقه در دو دسته، هر یک به صورت چندتایی و با سطح زیر پیک دو پروتون به ترتیب در ۲/۸۶-۲/۷۰ ppm و ۳/۲۰-۳/۳۸ ppm و پروتون‌های گروه متیل به صورت یکتایی در ۳/۹۹ ppm با سطح زیر پیک سه پروتون ظاهر شده است. پروتون‌های حلقه‌ی پیرول به ترتیب در ۶/۵۳ ppm با ثابت جفت‌شدن  $3/9 \text{ Hz}$  به صورت دوتایی با سطح زیر پیک یک پروتون و در ۷/۲۰ ppm با ثابت جفت‌شدن  $3/9 \text{ Hz}$  به صورت دوتایی و با سطح زیر پیک یک پروتون مشاهده شده است. سه پروتون از حلقه‌ی کینولین هر یک با سطح زیر پیک یک پروتون و به صورت چندتایی به ترتیب در ۷/۳۴-۷/۳۱ ppm و ۷/۶۹-۷/۶۴ ppm قابل مشاهده است. پروتون موقعیت ۵ ترکیب، به صورت یکتایی و با سطح زیر پیک یک پروتون در ۷/۷۴ ppm و پروتون موقعیت ۹ ترکیب به صورت دوتایی با ثابت جفت‌شدن  $8/7 \text{ Hz}$  و سطح زیر پیک یک پروتون در ۹/۲۲ ppm ظاهر شده است.

در طیف  $^{13}\text{CNMR}$  این ترکیب (طیف شماره ۳۲) که در حلال کلروفرم دوتره گرفته شده است، پیک‌های مربوط به کربن‌های آلیاتیک به ترتیب در ۵۱/۰۰، ۵۲/۰۸ ppm و ۵۱/۰۸ ppm ظاهر شده است و پیک مربوط به کربن‌های آروماتیک به ترتیب در ۱۱۹/۸۰، ۱۱۶/۳۴، ۱۰۲/۱۷، ۱۰۰/۵۷، ۱۱۹/۲۶، ۱۲۲/۲۶، ۱۲۳/۳۶، ۱۲۷/۷۱، ۱۲۸/۳۲، ۱۲۹/۸۶، ۱۳۵/۵۷ ppm و ۱۶۶/۷۴ ppm قابل مشاهده است. مجموعاً ۱۶ پیک وجود دارد که با تعداد انواع کربن‌ها مطابقت دارد.

#### اتیل ۱-مورفولینوپیرولو[۱a-۲]کینولین-۴-کربوکسیلات (۳۳۱d)

در طیف  $^1\text{HNMR}$  این ترکیب (طیف شماره ۳۳) که در حلال کلروفرم دوتره گرفته شده است، پروتون‌های گروه متیل با سطح زیر پیک سه پروتون و ثابت جفت‌شدن ۷ Hz در ۱/۴۸ ppm دو گروه متیلن حلقه مورفولین (متصل به نیتروژن) در دو دسته هر یک به صورت چندتایی و با سطح زیر پیک دو پروتون به ترتیب در ۳/۱۶-۳/۲۰ ppm و ۲/۹۶-۳/۰۵ ppm ظاهر شده است. پروتون‌های دو گروه متیلن حلقه مورفولین (متصل به اکسیژن) به صورت چند تایی با سطح زیر پیک چهار پروتون در ۴/۰۴-۴/۹۲ ppm و پروتون‌های گروه متیلن گروه اتیل به صورت چهارتایی با سطح زیر پیک دو پروتون و ثابت جفت‌شدن ۷/۰ Hz در ۴/۷۷ ppm قابل مشاهده است. پروتون‌های حلقه‌ی پیرول به ترتیب در ۶/۵۴ ppm با ثابت جفت‌شدن ۴/۲ Hz به صورت دوتایی با سطح زیر پیک یک پروتون و در ۷/۲۳ ppm با ثابت جفت‌شدن ۴/۲ Hz به صورت دوتایی و با سطح زیر پیک دو پروتون مشاهده شده است. سه پروتون از حلقه‌ی کینولین هر یک با سطح زیر پیک یک پروتون و به صورت چندتایی به ترتیب در ۷/۳۸-۷/۳۲ ppm و ۷/۶۰-۷/۵۴ ppm قابل مشاهده است. پروتون موقعیت ۵ ترکیب، به صورت یکتایی و با سطح زیر پیک یک پروتون در ۷/۷۸ ppm و پروتون موقعیت ۹ ترکیب به صورت دوتایی با ثابت جفت‌شدن ۸/۷ Hz و سطح زیر پیک یک پروتون در ۹/۴۸ ppm ظاهر شده است.

در طیف  $^{13}\text{CNMR}$  این ترکیب (طیف شماره ۳۴) که در حلال کلروفرم دوتره گرفته شده است،

پیک‌های مربوط به کربن‌های آلیفاتیک به ترتیب در ۱۴/۳۹، ۰/۰۶، ۵۳/۰۶ و ۶۸/۱۵ ppm ظاهر شده است و پیک مربوط به کربن‌های آромاتیک به ترتیب در ۱۲۱/۲۲، ۱۱۷/۰۳، ۱۰۳/۳۸، ۱۰۲/۳۸، ۱۲۳/۵۵ و ۱۶۷/۷۷ ppm قابل مشاهده است.

طیف IR این ترکیب (طیف شماره ۳۵) که به صورت قرص (KBr) گرفته شده است، جذب کششی مربوط به پیوندهای C-H را در  $\text{cm}^{-1}$  ۲۹۴۰، ۲۹۶۰ در  $\text{cm}^{-1}$  ۱۷۳۳ C=O نشان می‌دهد.

#### اتیل ۱-(پای‌پیریدین-۱-ایل)پیرولو[۱،۲-a]کینولین-۴-کربوکسیلات (۳۳۱e)

در طیف  $^1\text{HNMR}$  این ترکیب (طیف شماره ۳۷) که در حلal کلروفرم دوتره گرفته شده است، پروتون‌های گروه متیل با سطح زیر پیک سه پروتون و ثابت جفت‌شدن  $\text{Hz}$  ۷/۲ در ppm ۱/۳۷، پروتون‌های سه گروه متیلن حلقه پای‌پیریدین (غیرمتصل به نیتروژن) به صورت چندتایی و با سطح زیر پروتون در ppm ۱/۸۰-۱/۶۵ ppm دو گروه متیلن دیگر حلقه پای‌پیریدین در دو دسته پیک شش پروتون در ppm ۲/۶۰-۲/۵۱ و ۳/۲۳-۳/۲۰ ppm هر یک به صورت چندتایی و با سطح زیر پیک دو پروتون به ترتیب در ppm ۷/۲ در  $\text{Hz}$  جفت‌شدن ۶/۳۷ با ثابت جفت‌شدن  $\text{Hz}$  ۴/۲ به صورت دوتایی با سطح زیر پیک یک پروتون و در ppm ۷/۱۰ با ثابت جفت‌شدن  $\text{Hz}$  ۴/۵ به صورت دوتایی و با سطح زیر پیک دو پروتون ظاهر شده است. سه پروتون از حلقه کینولین هر یک با سطح زیر پیک یک پروتون و به صورت چندتایی به ترتیب در ۷/۴۷-۷/۲۳، ۷/۱۸-۷/۲۳ و ۷/۴۱-۷/۵۵ ppm قابل مشاهده است. پروتون موقعیت ۵ ترکیب، به صورت یکتایی و با سطح زیر پیک یک پروتون در ppm ۷/۶۳ و پروتون موقعیت ۹ ترکیب به صورت دوتایی با ثابت جفت‌شدن  $\text{Hz}$  ۸/۷ و سطح زیر پیک یک پروتون در ppm ۹/۳۶ ظاهر شده است.

در طیف  $^{13}\text{CNMR}$  این ترکیب (طیف شماره ۳۸) که در حلal کلروفرم دوتره گرفته شده است،

پیک‌های مربوط به کربن‌های آلیفاتیک به ترتیب در ۱۴/۱۵، ۲۹/۶۸، ۲۵/۸۵، ۵۳/۹۴ و ۶۱/۰۲ ppm ظاهر شده است و پیک مربوط به کربن‌های آروماتیک به ترتیب در ۱۰۳/۱۷، ۱۰۱/۸۰، ۱۱۷/۳۹، ۱۲۱/۲۲، ۱۲۳/۳۱، ۱۳۰/۹۰، ۱۲۹/۴۱، ۱۲۸/۷۷، ۱۲۴/۴۳ و ۱۴۳/۷۳ ppm قابل مشاهده است. مجموعاً ۱۸ پیک وجود دارد که با تعداد انواع کربن‌ها مطابقت دارد.

### پروپیل ۱-مورفولینوپیرولو[۲،۱-*a*]کینولین-۴-کربوکسیلات (۳۳۱f)

در طیف  $^1\text{HNMR}$ <sup>۱</sup> این ترکیب (طیف شماره ۳۹) که در حلal کلروفرم دوتره گرفته شده است، پروتون‌های گروه متیل به صورت سه تایی با سطح زیر پیک سه پروتون و ثابت جفت‌شدن Hz ۷/۵ در ۱/۱۱ ppm، پروتون‌های گروه متیلن پروپیل (غیر متصل به اکسیژن) به صورت چندتایی با سطح زیر پیک دو پروتون در ۱/۸۵-۱/۹۲ ppm، پروتون‌های گروه متیلن حلقه مورفولین (متصل به نیتروژن) در دو دسته هر یک به صورت چندتایی و با سطح زیر پیک دو پروتون به ترتیب در ۳/۰۵ و ۲/۹۶ ppm و ۳/۲۰ ppm، پروتون‌های دو گروه متیلن حلقه مورفولین (متصل به اکسیژن) به صورت چندتایی با سطح زیر پیک چهار پروتون در ۳/۹۲-۴/۰۳ ppm و پروتون‌های گروه متیلن پروپیل (متصل به اکسیژن) به صورت سه تایی با ثابت جفت‌شدن Hz ۶/۶ و سطح زیر پیک دو پروتون در ۴/۳۸ ppm ظاهر شده است. پروتون‌های حلقه‌ی پیرول به ترتیب در ۶/۵۴ ppm با ثابت جفت‌شدن Hz ۴/۲ به صورت دوتایی با سطح زیر پیک یک پروتون و در ۷/۲۳ ppm با ثابت جفت‌شدن Hz ۴/۲ به صورت دوتایی و با سطح زیر پیک دو پروتون ظاهر شده است. سه پروتون از حلقه‌ی کینولین هر یک با سطح زیر پیک یک پروتون و به صورت چندتایی به ترتیب در ۷/۳۹-۷/۳۲، ۷/۳۲-۷/۶۰، ۷/۵۴-۷/۷۵ ppm و ۷/۷۰-۷/۷۵ ppm قابل مشاهده است. پروتون موقعیت ۵ ترکیب، به صورت یکتایی و با سطح زیر پیک یک پروتون در ۷/۷۸ ppm و پروتون موقعیت ۹ ترکیب به صورت دوتایی با ثابت جفت‌شدن Hz ۸/۷ و سطح زیر پیک یک پروتون در ۹/۴۸ ppm ظاهر شده است.

در طیف  $^{13}\text{CNMR}$  این ترکیب (طیف شماره ۴۰) که در حلال کلروفرم دوتره گرفته شده است، پیک‌های مربوط به کربن‌های آلیفاتیک به ترتیب در ۹/۶۴، ۲۱/۱۲، ۵۲/۰۲، ۶۵/۷۰ و ۶۵/۸۶ ppm ظاهر شده است و پیک مربوط به کربن‌های آромاتیک به ترتیب در ۱۰/۳۵، ۱۰/۳۳، ۱۱۵/۹۹، ۱۲۰/۲۳، ۱۲۲/۵۰، ۱۲۲/۶۲، ۱۲۳/۳۳، ۱۲۳/۸۸، ۱۲۸/۶۷، ۱۳۵/۳۰، ۱۲۹/۸۵ و ۱۴۰/۹۳ ppm قابل مشاهده است. مجموعاً ۱۸ پیک وجود دارد که با تعداد انواع کربن‌ها مطابقت دارد.

### پروپیل-۱-(پای‌پیریدین-۱-ایل)پیرولو[۱،۲-ا]کینولین-۴-کربوکسیلات ( $^{13}\text{C}\text{NMR}$ )

در طیف  $^1\text{HNMR}$  این ترکیب (طیف شماره ۴۱) که در حلال کلروفرم دوتره گرفته شده است، پروتون‌های گروه متیل به صورت سه تایی با سطح زیر پیک سه پروتون و ثابت جفت‌شدن ۷/۵ Hz در ۱/۱۰ ppm، پروتون‌های گروه متیلن پروپیل (غیر متصل به اکسیژن) و پروتون‌های سه گروه متیلن حلقه پای‌پیریدین (غیر متصل به نیتروژن) که با یکدیگر هم‌پوشانی کرده‌اند به صورت چندتایی و با سطح زیر پیک هشت پروتون در ۱/۹۴-۱/۴۷ ppm مشاهده می‌شود. پروتون‌های دو گروه متیلن حلقه پای‌پیریدین (متصل به نیتروژن) در دو دسته هر یک به صورت چندتایی و با سطح زیر پیک دو پروتون به ترتیب در ۲/۶۲-۲/۷۱ و ۳/۴۶-۳/۳۱ ppm و پروتون‌های گروه متیلن پروپیل (متصل به اکسیژن) به صورت سه تایی با ثابت جفت‌شدن ۶/۶ Hz و سطح زیر پیک دو پروتون در ۴/۳۶ ppm ظاهر شده است.

پروتون‌های حلقه‌ی پیروول به ترتیب در ۶/۴۷ ppm با ثابت جفت‌شدن ۳/۹ Hz به صورت دوتایی با سطح زیر پیک یک پروتون و در ۷/۲۰ ppm با ثابت جفت‌شدن ۴/۲ Hz به صورت دوتایی و با سطح زیر پیک دو پروتون ظاهر شده است. سه پروتون از حلقه‌ی کینولین هر یک با سطح زیر پیک یک پروتون و به صورت چندتایی به ترتیب در ۷/۳۴-۷/۲۹، ۷/۵۸-۷/۵۵ و ۷/۷۱-۷/۶۷ ppm قابل مشاهده است. پروتون موقعیت ۹ ترکیب، به صورت یکتایی و با سطح زیر پیک یک پروتون در ۷/۷۸ ppm و پروتون موقعیت ۹ ترکیب به صورت دوتایی با ثابت جفت‌شدن ۸/۷ Hz و سطح زیر پیک یک پروتون در ۹/۴۷ ppm ظاهر

شده است.

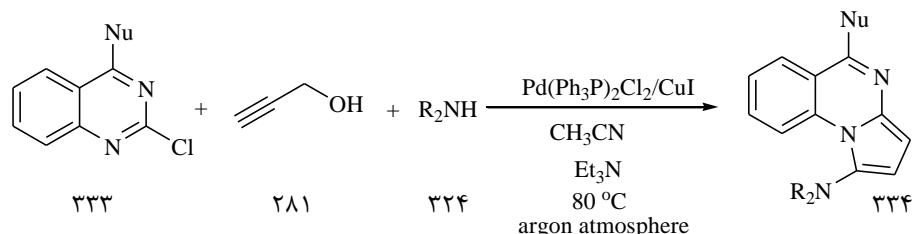
در طیف  $^{13}\text{CNMR}$  این ترکیب (طیف شماره ۴۲) که در حلحل کلروفرم دوتره گرفته شده است، پیک‌های مربوط به کربن‌های آلیاتیک به ترتیب در ۱۰/۶۹، ۲۹/۷۲، ۲۵/۶۸، ۲۲/۱۷، ۱۰/۶۹، ۵۳/۴۹ و ۶۶/۶۷ ppm ظاهر شده است و پیک مربوط به کربن‌های آروماتیک به ترتیب در ۱۰۱/۸۲، ۱۰۳/۱۹، ۶۸/۱۷ و ۱۴۳/۷۲ ppm مشاهده است.

طیف IR این ترکیب (طیف شماره ۴۳) که به صورت قرص (KBr) گرفته شده است، جذب کششی مربوط به پیوندهای C-H را در  $2925\text{ cm}^{-1}$ ، جذب کششی پیوند C=O در  $1720\text{ cm}^{-1}$  نشان می‌دهد.

## ۱۲-۲- سنتز پیرولو[۱,۲-*a*]کینازولین‌ها

پیرولو[۱,۲-*a*]کینازولین‌ها به دلیل فعالیت بیولوژیکی بالای خود همواره در شیمی آلی و شیمی دارویی مورد توجه قرار داشته‌اند. این ترکیبات دارای خواص دارویی نظیر بازدارنده پیشرفت سلول‌های سرطانی، ضد التهاب و ضد باکتری هستند. بر اساس بررسی‌های صورت گرفته در متون علمی، گزارش‌های محدودی از سنتز پیرولو[۱,۲-*a*]کینازولین با استخلاف در موقعیت ۱ و ۵ گزارش شده است، با توجه به این موضوع در این پژوهش مشتقات جدیدی از ۱,۵-دو استخلافی پیرولو[۱,۲-*a*]کینازولین (۳۳۴) در حضور کاتالیزگر پالادیم در حلal استونیتریل سنتز شد. همچنین به علت خواص دارویی فراوانی که برای این ترکیبات گزارش شده است، مشتقات سنتز شده پیرولو[۱,۲-*a*]کینازولین با این روش را از لحاظ خواص ضد باکتریایی و ضد اکسیدانت مورد بررسی قرار گرفت.

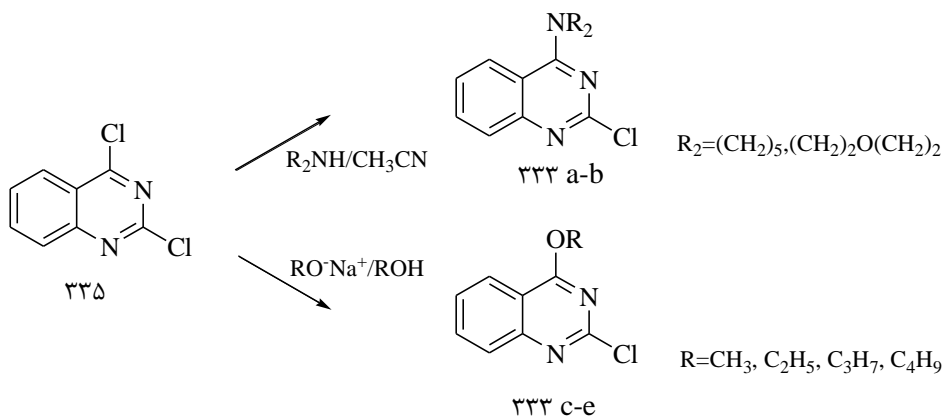
در این تحقیق مشتقات جدید ۱,۵-دو استخلافی پیرولو[۱,۲-*a*]کینازولین (۳۳۴) به صورت تک ظرفی از واکنش ۲-کلروکینازولین‌های استخلافشده (۳۳) در موقعیت ۴ با پروپارژیل الکل (۲۸۱)، آمین نوع دوم (۳۲۴) در مجاورت باز تری‌اتیل‌آمین و با استفاده از کاتالیزگر بیس‌تری‌فنیل‌فسفین پالادیم(II)کلرید و کمک کاتالیزگر مس(I) یدید در حلal استونیتریل تهیه گردید.



(طرح ۹-۲)

واکنش ۴,۲-دی‌کلروکینازولین (۳۳۵) با آمین‌های نوع دوم در استونیتریل در دمای  $80^\circ\text{C}$  و یا با سدیم آلکوسید در الکل و در دمای اتاق، مشتقات ۲-کلرو-۴-استخلافی کینازولین (۳۳۳) را با بهره‌ی

بالا تولید شد (طرح ۱۰-۲) که نتایج در جدول شماره ۷-۲ گزارش شده است.



(طرح ۱۰-۲)

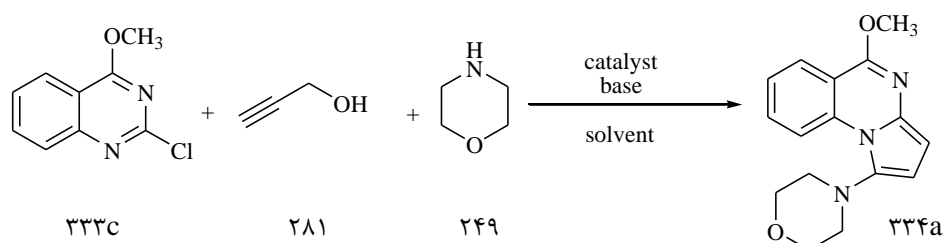
جدول ۷-۲: بهره‌ی واکنش و نقطه‌ی ذوبی مشتقات ۲-کلرو-۴-استخلافی کینازولین (۳۳۳ a-f)

ترکیب	آمین/آلکوکسید	نقطه‌ی ذوب (°C)	بهره‌ی واکنش (%)
۳۳۳a	مورفولین	۱۱۲-۱۱۴	۹۰
۳۳۳b	پای‌پیریدین	۱۲۰-۱۲۵	۸۰
۳۳۳c	متوكسید سدیم	۹۹-۱۰۰	۹۰
۳۳۳d	اتوكسید سدیم	۹۲-۹۳	۸۵
۳۳۳e	پروپوکسید سدیم	۸۹-۹۱	۸۰
۳۳۳f	بوتوكسید سدیم	۸۷-۹۰	۸۰

## ۲-۱۳- بھینه کردن شرایط واکنش:

هنگامی که ۲-کلرو-۴-متوکسی کینازولین (۳۳۳c) با پروپارژیل الکل (۲۸۱) و مورفولین در حضور  $\text{CuI}$  در دمای  $80^{\circ}\text{C}$  و در حلal استونیتریل واکنش می‌دهد، ۵-متوکسی-۱-مورفولینو-*H*-پیرولو[۲،۱-*a*]کینازولین (۳۳۴a) با بهره ۵۰٪ به دست آمد.

برای بھینه‌سازی، از واکنش ۲-کلرو-۴-متوکسی کینازولین، پروپارژیل الکل و مورفولین به عنوان واکنش مبنا استفاده شد (طرح ۱۱-۲).



(طرح ۱۱-۲)

اثرات حلal، کاتالیزگر و نوع باز مورد بررسی قرار گرفت که نتایج آن در جدول ۲-۸ نشان داده شده است. حلال‌های  $\text{CH}_3\text{CN}$  و  $\text{DMF}$  در حضور بازهای آلی و غیر آلی مانند تری‌اتیل‌آمین، مورفولین، دی‌ایزوپروپیل‌اتیل‌آمین، پتاسیم کربنات و سزیم مورد بررسی قرار گرفت. نتایج نشان می‌دهد، استونیتریل بهترین حلال و تری‌اتیل‌آمین به عنوان مناسب‌ترین باز می‌باشد. همچنین  $\text{Pd}(\text{Ph}_3\text{P})_2\text{Cl}_2$  ، به عنوان بهترین کاتالیزگر شناخته شد. استفاده از مس(I) ییدید برای پیشرفت واکنش ضروری می‌باشد به طوری که انجام واکنش در غیاب  $\text{CuI}$  ، محصول با بهره‌هی ۱۰٪ را ایجاد کرد.

جدول ۲-۸: بهینه کردن شرایط واکنش در سنتز ترکیب ۵-متوكسی-۱-مورفولینو-*H*-پیرولو[*a*-کینازولین]

(۳۳۴a)

ردیف	حلال	باز	کاتالیزگر	کمک کاتالیزگر	بهره‌ی واکنش (%)
۱	DMF	Et <sub>3</sub> N	Pd(Ph <sub>3</sub> P) <sub>2</sub> Cl <sub>2</sub>	CuI	۷۵
۲	DMF	Morpholine	Pd(Ph <sub>3</sub> P) <sub>2</sub> Cl <sub>2</sub>	CuI	۴۵
۳	DMF	K <sub>2</sub> CO <sub>3</sub>	Pd(Ph <sub>3</sub> P) <sub>2</sub> Cl <sub>2</sub>	CuI	۵۰
۴	DMF	DIPEA	Pd(Ph <sub>3</sub> P) <sub>2</sub> Cl <sub>2</sub>	CuI	۶۵
۵	CH <sub>3</sub> CN	Et <sub>3</sub> N	PdCl <sub>2</sub>	CuI	۳۳
۶	CH <sub>3</sub> CN	Et <sub>3</sub> N	Pd(Ph <sub>3</sub> P) <sub>2</sub> Cl <sub>2</sub>	CuI	۷۹
۷	CH <sub>3</sub> CN	Et <sub>3</sub> N	Pd(Ph <sub>3</sub> P) <sub>2</sub> Cl <sub>2</sub>	-	۱۰
۸	CH <sub>3</sub> CN	Morpholine	Pd(Ph <sub>3</sub> P) <sub>2</sub> Cl <sub>2</sub>	CuI	۵۰
۹	CH <sub>3</sub> CN	DIPEA	Pd(Ph <sub>3</sub> P) <sub>2</sub> Cl <sub>2</sub>	CuI	۶۵
۱۰	CH <sub>3</sub> CN	Et <sub>3</sub> N	Pd/C (۱. mol%)	CuI	۲۵
۱۱	H <sub>2</sub> O	K <sub>2</sub> CO <sub>3</sub> /SDS	Pd(Ph <sub>3</sub> P) <sub>2</sub> Cl <sub>2</sub>	CuI	۱۰
۱۲	H <sub>2</sub> O	Cs <sub>2</sub> CO <sub>3</sub> /SDS	Pd(Ph <sub>3</sub> P) <sub>2</sub> Cl <sub>2</sub>	CuI	۱۰

## ۱۴-۲ - سنتز مشتقات ۱-۵-دو استخلافی پیرولو[*a*-کینازولین]

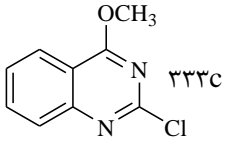
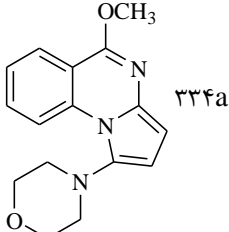
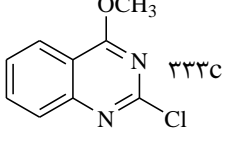
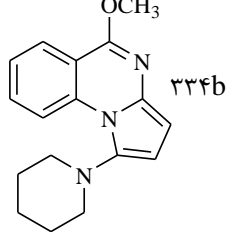
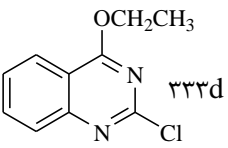
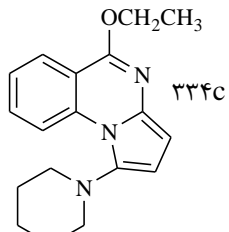
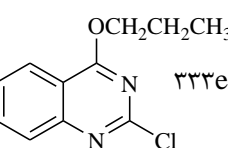
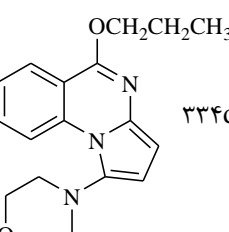
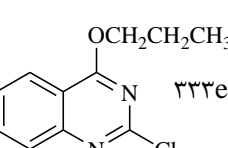
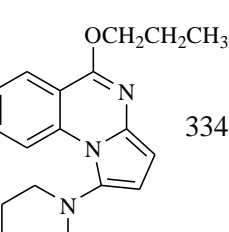
مشتقات ۴-آمینو-۲-کلروکینازولین (۳۳۳a-b) و ۴-آلکوکسی-۲-کلروکینازولین (۳۳۳c-e) در

واکنش با پروپارژیل الکل و آمین‌های نوع دوم در حضور باز تری‌اتیل‌آمین در شرایط بهینه واکنش داده و

مشتقات ۱-۵، دو استخلافی پیرولو[۲،۱-*a*]کینازولین (۳۳۴) را با بهره‌ی بالا تولید کردند که نتایج در

جدول ۹-۲ نشان داده شده است.

جدول ۹-۲: بهره‌ی واکنش و نقطه‌ی ذوب مشتقات ۱-۵، دو استخلافی پیرولو[۲،۱-*a*]کینازولین (۳۳۴ a-i)

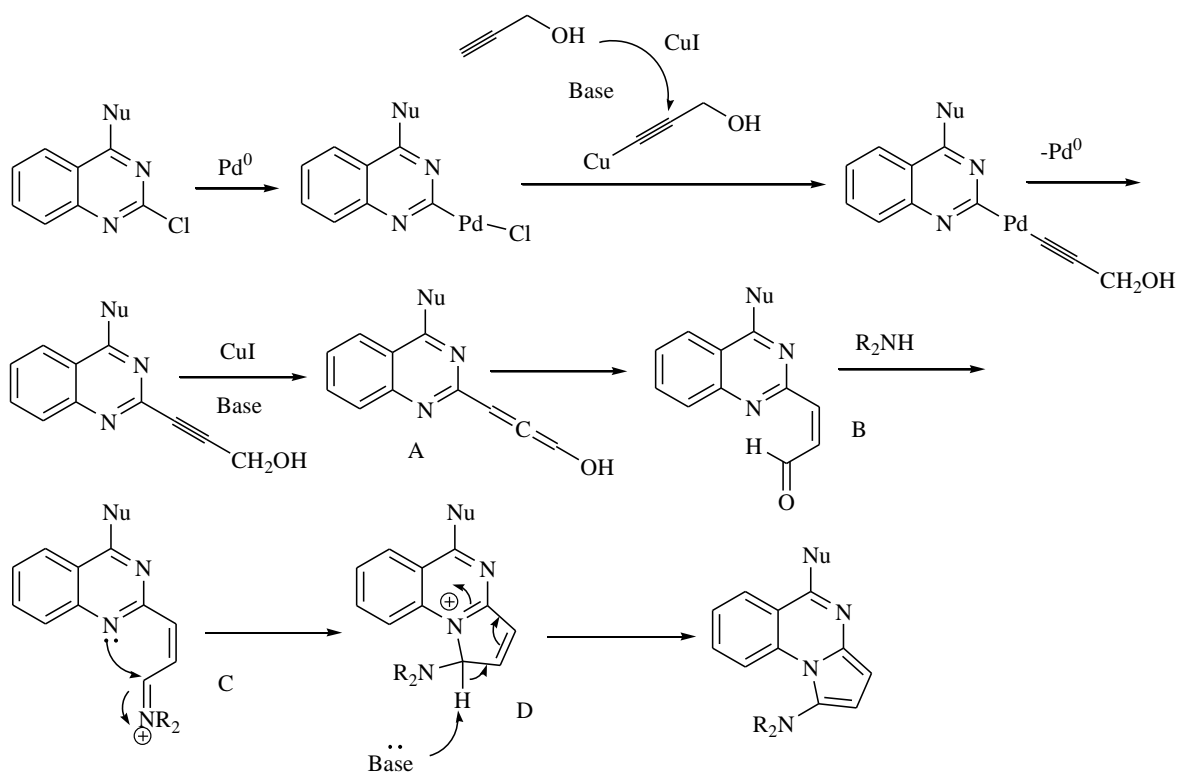
ردیف	ماده اولیه	محصول	نقطه‌ی ذوب (°C)	بهره‌ی واکنش (%)
۱	 ۳۳۴c	 ۳۳۴a	۱۴۵-۱۴۷	۷۹
۲	 ۳۳۴c	 ۳۳۴b	۱۳۹-۱۴۱	۷۲
۳	 ۳۳۴d	 ۳۳۴c	۱۳۹-۱۴۱	۸۰
۴	 ۳۳۴e	 ۳۳۴d	۱۲۷-۱۲۹	۷۵
۵	 ۳۳۴e	 ۳۳۴e	۱۲۵-۱۲۶	۶۹

۶	<p>333f</p>		۱۱۷-۱۱۹	۷۲
۷	<p>333f</p>		۱۲۱-۱۲۳	۶۵
۸	<p>333a</p>		۱۴۹-۱۵۱	۷۵
۹	<p>333b</p>		۱۴۵-۱۴۷	۷۰

## ۱۵-۲ - مکانیسم واکنش

برای سنتز ۱،۵-دو استخلافی پیرولو[۱،۲-*a*]کینازولین مکانیسم چند مرحله‌ای زیر پیشنهاد می‌گردد. در مرحله اول یک واکنش جفت شدن سونوگاشیرا به وسیله کاتالیزگر پالادیم و مس اتفاق می‌افتد، در ادامه در حضور مس(I) و باز حد واسط آلن از طریق ایزومری شدن ایجاد می‌گردد. سپس به

ترتیب یک اون آلدهید و یون ایمینیوم تشکیل می‌شود که در نهایت حلقه زایی درون مولکولی منجر به تشکیل حلقه پیرولی می‌شود که توسط باز موجود در محیط ترکیب آромاتیک می‌گردد و مشتقات پیرولو[*a*-کینازولین تشکیل می‌شود (طرح ۱۲-۲).



(طرح ۱۲-۲)

## ۱۶-۲- شواهد طیفی مشتقات ۵،۱-دو استخلافی پیرولو[*a*]کینازولین

### [*a*]کینازولین

#### ۵-متوكسی-۱-(مورفولین-۴-ایل) پیرولو[*a*-کینازولین (۳۳۴a)

در طیف  $^1\text{H}$ NMR این ترکیب (طیف شماره ۴۴) که در حلal کلروفرم دوتره گرفته شده است،

پروتون‌های دو گروه متیلن حلقه‌ی مورفولین (متصل به نیتروژن) در دو دسته به صورت چندتایی هر یک با سطح زیر پیک دو پروتون به ترتیب در  $2/59$  و  $3/39$  ppm دیده می‌شود. پروتون‌های دو گروه متیلن دیگر حلقه‌ی مورفولین (متصل به اکسیژن) و پروتون‌های گروه متیل که با یکدیگر همپوشانی کرده‌اند به صورت چندتایی و با سطح زیر پیک هفت پروتون در  $3/84$ - $4/05$  ppm مشاهده می‌گردد. دو پروتون مربوط به حلقه‌ی پیرول، هر یک به صورت دوتایی و با سطح زیر پیک یک پروتون و ثابت جفت شدن Hz  $3/9$  در  $6/24$  و  $6/64$  ppm ظاهر شده است. پروتون‌های حلقه‌ی آромاتیک کینازولین به صورت ppm سه دسته، یکی به صورت چندتایی در  $7/15$ - $7/38$  ppm با سطح زیر پیک دو پروتون، دیگری در  $7/65$ - $7/73$  به صورت چندتایی با سطح زیر پیک یک پروتون و دسته آخر به صورت دوتایی با ثابت جفت شدن Hz  $8$  با سطح زیر پیک یک پروتون در  $8/96$  ppm دیده می‌شود.

در طیف  $^{13}\text{CNMR}$  این ترکیب (طیف شماره  $45$ ) که در حلحل کلروفرم دوتره گرفته شده است، پیک‌های مربوط به کربن‌های آلیفاتیک به ترتیب در  $52/45$ ،  $52/45$  و  $65/35$  ppm ظاهر شده است و پیک‌های مربوط به کربن‌های آромاتیک به ترتیب در  $100/21$ ،  $104/34$ ،  $115/27$ ،  $122/63$ ،  $125/60$ ،  $125/81$ ،  $127/81$ ،  $134/87$ ،  $152/54$  و  $163/65$  ppm قابل مشاهده است. مجموعاً  $14$  پیک وجود دارد که با تعداد انواع کربن‌ها مطابقت دارد.

### ۵-متوکسی-۱-(پای‌پیریدین-۱-ایل) پیرولو[۲،۱-ا]کینازولین (۳۴b)

در طیف  $^1\text{HNMR}$  این ترکیب (طیف شماره  $46$ ) که در حلحل کلروفرم دوتره گرفته شده است، پروتون‌های سه گروه متیلن حلقه‌ی پای‌پیریدین (غیر متصل به نیتروژن) به صورت چندتایی با سطح زیر پیک شش پروتون در  $1/51$ - $1/91$  ppm دیده می‌شود. پروتون‌های دو گروه متیلن حلقه پای‌پیریدین (متصل به نیتروژن) در دو دسته هر یک به صورت چندتایی و سطح زیر پیک دو پروتون به ترتیب در  $2/51$ - $2/58$  و  $3/43$ - $3/21$  ppm و پروتون‌های گروه متیل به صورت یکتایی با سطح زیر پیک سه

پروتون در ۴/۰۲ ppm مشاهده می‌گردد. پروتون‌های مربوط به حلقه‌ی پیروول به صورت دو پیک دوتایی و با سطح زیر پیک یک پروتون به ترتیب در ۶/۲۱ ppm با ثابت جفت شدن Hz ۳/۹ و ۶/۶۳ ppm با ثابت جفت شدن Hz ۴/۲ مشاهده شده است. پروتون‌های حلقه‌ی آромاتیک کینازولین در چهار دسته هر یک با سطح زیر پیک یک پروتون به ترتیب در ۷/۲۱-۷/۴۷، ۷/۰۴-۷/۲۱، ۷/۳۱-۷/۶۴ و ۷/۵۶-۷/۶۴ ppm به صورت چندتایی و در ۸/۹۳ ppm به صورت دوتایی با ثابت جفت شدن Hz ۸ ظاهر شده است.

در طیف  $^{13}\text{CNMR}$  این ترکیب (طیف شماره ۴۷) که در حلال کلروفرم دوتره گرفته شده است، پیک‌های مربوط به کربن‌های آلیفاتیک به ترتیب در ۲۴/۷۱، ۲۵/۱۵، ۵۲/۷۷ و ۶۷/۱۲ ppm ظاهر شده است و پیک مربوط به کربن‌های آروماتیک به ترتیب در ۹۹/۳۹، ۱۱۵/۱۴، ۱۰۴/۵۳، ۱۲۱/۸۶، ۱۲۵/۱۰، ۱۲۵/۴۸، ۱۳۵/۴۰، ۱۲۷/۴۱، ۱۲۵/۴۱ و ۱۷۵/۳۲ ppm قابل مشاهده است. مجموعاً ۱۵ پیک وجود دارد که با تعداد انواع کربن‌ها مطابقت دارد.

طیف IR این ترکیب (طیف شماره ۴۸) که به صورت قرص (KBr) گرفته شده است، جذب کششی مربوط به پیوندهای C-H را در ۲۹۴۴ و  $\text{cm}^{-1}$  ۲۸۳۰، جذب کششی پیوندهای C=C آروماتیک را در ۱۴۰۵ و  $\text{cm}^{-1}$  ۱۶۱۰، جذب کششی C-O در  $\text{cm}^{-1}$  ۱۱۱۰ نشان می‌دهد.

### ۵-اتوكسی-۱-(پای‌پیریدین-۱-ایل)پیرولو[۲،۱-*a*]کینازولین (۳۳۴c)

در طیف  $^1\text{HNMR}$  این ترکیب (طیف شماره ۴۹) که در حلال کلروفرم دوتره گرفته شده است، پروتون‌های گروه متیل به صورت سه‌تایی با ثابت جفت شدن Hz ۷/۲ و سطح زیر پیک سه پروتون در ۱/۳۳ ppm، پروتون‌های سه گروه متیلن حلقه پای‌پیریدین (غیر متصل به نیتروژن) به صورت چندتایی و سطح زیر پیک شش پروتون در ۱/۸۰-۱/۶۰ ppm در دو دسته هر یک با سطح زیر پیک دو پروتون و به صورت چندتایی به پای‌پیریدین (متصل به نیتروژن) در دو دسته هر یک با سطح زیر پیک دو پروتون به صورت چهارتایی و ترتیب در ۲/۴۷-۲/۵۴ و ۳/۱۸-۳/۲۲ ppm و پروتون‌های گروه متیلن گروه اتوکسی به صورت چهارتایی و

ثابت جفت شدن Hz ۶/۹ و سطح زیر پیک دو پروتون در ۴/۴۴ ppm ظاهر شده است. دو پروتون مربوط به حلقه‌ی پیروول هر یک به صورت دوتایی و با سطح زیر پیک یک پروتون و ثابت جفت شدن Hz ۴/۲ در ۶/۱۷ و ۶/۵۸ ppm مشاهده شده است. پروتون‌های حلقه‌ی آромاتیک کینازولین در چهار دسته هر یک با سطح زیر پیک یک پروتون به ترتیب در ۷/۱۹-۷/۱۰، ۷/۳۲-۷/۲۱، ۷/۵۳-۷/۶۱ ppm و به صورت چندتایی و در ۸/۹۱ ppm به صورت دوتایی با ثابت جفت شدن Hz ۹ ظاهر شده است.

در طیف  $^{13}\text{CNMR}$  این ترکیب (طیف شماره ۵۰) که در حلحل کلروفرم دوترا گرفته شده است، پیک‌های مربوط به کربن‌های آلیفاتیک به ترتیب در ۱۴/۴۳، ۲۴/۸۷، ۲۵/۹۴، ۵۳/۸۵ و ۶۲/۳۶ ppm و پیک‌های مربوط به کربن‌های آромاتیک به ترتیب در ۱۰۰/۳۹، ۱۰۵/۶۳، ۱۱۶/۲۱، ۱۲۲/۸۶، ۱۲۶/۱۱، ۱۳۶/۵۰، ۱۴۲/۵۱، ۱۵۴/۲۲ و ۱۷۶/۶۲ ppm قابل مشاهده است. مجموعاً ۱۶ پیک وجود دارد که با تعداد انواع کربن‌ها مطابقت دارد.

طیف IR این ترکیب (طیف شماره ۵۱) که به صورت قرص (KBr) گرفته شده است، جذب کششی مربوط به پیوندهای C-H را در  $2950\text{ cm}^{-1}$ ،  $2850\text{ cm}^{-1}$ ، جذب کششی پیوندهای  $\text{C}=\text{C}$  آромاتیک را در  $1410\text{ cm}^{-1}$  و  $1610\text{ cm}^{-1}$ ، جذب کششی C-O در  $1110\text{ cm}^{-1}$  نشان می‌دهد.

#### ۱-(مورفولین-۴-ایل)-۵-پروپوکسیپیروولو[۲،۱-*a*]کینازولین (۳۳۴d)

در طیف  $^1\text{HNMR}$  این ترکیب (طیف شماره ۵۲) که در حلحل کلروفرم دوترا گرفته شده است، پروتون‌های گروه متیل به صورت سه‌تایی و ثابت جفت شدن Hz ۷/۳ و سطح زیر پیک سه پروتون در ۰/۸۱ ppm، پروتون‌های گروه متیلن گروه پروپوکسی (غیر متصل به اکسیژن) به صورت چندتایی با ثابت جفت شدن Hz ۶/۹ و سطح زیر پیک دو پروتون در ۱/۶۷ ppm دیده می‌شود. پروتون‌های دو گروه متیلن حلقه مورفولین (متصل به نیتروژن) در دو دسته به صورت چندتایی و هر یک با سطح زیر پیک دو پروتون به ترتیب در ۲/۵۸ و ۲/۴۴-۳/۳۲ ppm، پروتون‌های دو گروه متیلن دیگر حلقه مورفولین (متصل به

اکسیژن) به صورت چندتایی و سطح زیر پیک چهار پروتون در  $3/92$  ppm و  $3/74$  ppm ظاهر شده است. پروتون‌های گروه متیلن دیگر گروه پروپوکسی (متصل به اکسیژن) به صورت سه‌تایی با ثابت جفت شدن  $6/6$  Hz و با سطح زیر پیک دو پروتون در  $4/24$  ppm مشاهده شده است. دو پروتون مربوط به حلقه‌ی پیرول هر یک به صورت دوتایی و با سطح زیر پیک یک پروتون و ثابت جفت شدن  $4/2$  Hz در  $4/18$  و  $6/59$  ppm مشاهده شده است. پروتون‌های حلقه‌ی آромاتیک کینازولین به صورت سه دسته، یکی به صورت چندتایی در  $7/47$ - $7/23$  ppm با سطح زیر پیک دو پروتون، دیگری در  $7/65$ - $7/53$  ppm به صورت چندتایی با سطح زیر پیک یک پروتون و دسته آخر به صورت دوتایی با ثابت جفت شدن  $8/1$  Hz در  $8/93$  ppm دیده می‌شود.

در طیف  $^{13}\text{CNMR}$  این ترکیب (طیف شماره ۵۳) که در حلال کلروفرم دوتره گرفته شده است، پیک‌های مربوط به کربن‌های آلیفاتیک به ترتیب در  $10/90$ ،  $14/76$ ،  $52/03$ ،  $10/90$ ،  $66/19$  و  $68/26$  ppm ظاهر شده است و پیک‌های مربوط به کربن‌های آромاتیک به ترتیب در  $100/36$ ،  $104/22$ ،  $117/89$ ،  $100/42$ ،  $121/00$ ،  $126/42$ ،  $128/90$ ،  $136/76$ ،  $154/19$ ،  $163/37$  و  $175/42$  ppm قابل مشاهده است. مجموعاً  $16$  پیک وجود دارد که با تعداد انواع کربن‌ها مطابقت دارد.

طیف IR این ترکیب (طیف شماره ۵۴) که به صورت قرص (KBr) گرفته شده است، جذب کششی مربوط به پیوندهای C-H را در  $2950$  و  $2840\text{ cm}^{-1}$ ، جذب کششی پیوند آромاتیک C=C را در  $1410$  و  $1610\text{ cm}^{-1}$  و جذب کششی C-O را در  $1110\text{ cm}^{-1}$  نشان می‌دهد.

### ۱-(پای‌پیریدین-۱-ایل)-۵-پروپوکسی‌پیرولو[۲،۱-a]کینازولین (۳۳۴e)

در طیف  $^1\text{HNMR}$  این ترکیب (طیف شماره ۵۵) که در حلال کلروفرم دوتره گرفته شده است، پروتون‌های گروه متیلن به صورت سه‌تایی با ثابت جفت شدن  $7/3$  Hz و سطح زیر پیک سه پروتون در  $0/82$  ppm، پروتون‌های گروه پروپوکسی (غیر متصل به اکسیژن) به صورت چندتایی با ثابت

جفت شدن  $6/6$  Hz و سطح زیر پیک دو پروتون در  $1/27$  ppm دیده می‌شود. پروتون‌های سه گروه متیلن ppm حلقه پای‌پیریدین (غیر متصل به نیتروژن) به صورت چندتایی و سطح زیر پیک شش پروتون در ppm  $1/71$ - $1/57$ ، پروتون‌های دو گروه متیلن دیگر حلقه پای‌پیریدین (متصل به نیتروژن) در دو دسته هر یک به صورت چندتایی و سطح زیر پیک دو پروتون به ترتیب در  $2/59$ - $2/51$  ppm و  $3/25$ - $3/25$  مشاهده می‌شود. پروتون گروه متیلن دیگر گروه بروپوکسی (متصل به اکسیژن) به صورت سه‌تایی با ثابت جفت شدن  $6/6$  Hz و سطح زیر پیک دو پروتون در  $4/14$  ppm مشاهده شده است. دو پروتون مربوط به حلقه‌ی پیروول هر یک به صورت دوتایی و با سطح زیر پیک یک پروتون و ثابت جفت شدن  $4/2$  در  $6/21$  ppm ظاهر شده است. پروتون‌های حلقه‌ی آروماتیک کینازولین در چهار دسته هر یک با سطح زیر  $6/63$  ppm پیک یک پروتون به صورت چندتایی به ترتیب در  $7/15$ - $7/18$ - $7/47$ - $7/43$  ppm و در  $7/63$ - $7/55$ - $7/55$  و در  $8/93$  ppm به صورت دوتایی با ثابت جفت شدن  $8/4$  Hz رویت شده است.

در طیف  $^{13}\text{CNMR}$  این ترکیب (طیف شماره ۵۶) که در حلحل کلروفرم دوتره گرفته شده است، پیک‌های مربوط به کربن‌های آلیفاتیک به ترتیب در  $10/98$ ،  $10/98$ - $14/08$ ،  $23/76$ ،  $25/77$  و  $53/83$  ppm ظاهر شده است و پیک‌های مربوط به کربن‌های آروماتیک به ترتیب در  $100/40$ ،  $100/40$ - $104/38$ ،  $116/19$ ،  $122/87$ ،  $126/61$ ،  $127/68$ ،  $128/81$ ،  $135/46$ ،  $154/11$  و  $165/78$  ppm قابل مشاهده است. مجموعاً ۱۷ پیک وجود دارد که با تعداد انواع کربن‌ها مطابقت دارد.

### ۵-بوتوکسی-۱-(پای‌پیریدین-۱-ایل)پیرولو[۱-۲ا]آکینازولین (۳۳۴f)

در طیف  $^1\text{HNMR}$  این ترکیب (طیف شماره ۵۷) که در حلحل کلروفرم دوتره گرفته شده است، پروتون‌های گروه متیل به صورت سه‌تایی با ثابت جفت شدن  $7/4$  Hz و سطح زیر پیک سه پروتون در  $0/85$  ppm، پروتون‌های گروه بوتوکسی (غیر متصل به اکسیژن) به صورت چندتایی و با سطح زیر پیک چهار پروتون در  $1/47$ - $1/17$  ppm دیده می‌شود. پروتون‌های سه گروه متیلن حلقه پای‌پیریدین

(غیر متصل به نیتروژن) به صورت چندتایی و سطح زیر پیک شش پروتون در  $1/79$ - $1/85$  ppm، پروتون‌های دو گروه متیلن دیگر حلقه پای‌پیریدین (متصل به نیتروژن) در دو دسته هر یک با سطح زیر پیک دو پروتون و به صورت چندتایی به ترتیب در  $2/58$ - $2/51$  و  $3/25$ - $3/21$  ppm مشاهده می‌شود. پروتون‌های گروه متیلن دیگر بوتوکسی (متصل به اکسیژن) به صورت سه‌تایی و با ثابت جفت شدن Hz  $6/6$  و سطح زیر پیک دو پروتون در  $4/14$  ppm دیده می‌شود. دو پروتون مربوط به حلقه‌ی پیروول به صورت دوتایی و با سطح زیر پیک یک پروتون به ترتیب در  $6/21$  ppm با ثابت جفت شدن Hz  $4/2$  و  $6/62$  ppm با ثابت جفت شدن Hz  $3/9$  ظاهر شده است. پروتون‌های حلقه‌ی آромاتیک کینازولین در سه دسته به ترتیب در  $7/18$ - $7/12$  ppm به صورت چندتایی و با سطح زیر پیک یک پروتون، در ppm  $7/56$ - $7/18$  به صورت چندتایی و با سطح زیر پیک دو پروتون و در ppm  $8/93$  به صورت دوتایی با ثابت جفت شدن Hz  $7/8$  و سطح زیر پیک یک پروتون مشاهده می‌شود.

در طیف  $^{13}\text{CNMR}$  این ترکیب (طیف شماره ۵۸) که در حلال کلروفرم دوتره گرفته شده است، پیک‌های مربوط به کربن‌های آلیفاتیک به ترتیب در  $10/96$ ،  $13/94$ ،  $19/34$ ،  $24/06$ ،  $26/20$ ،  $57/34$  و ppm  $68/04$  ظاهر شده است و پیک‌های مربوط به کربن‌های آромاتیک به ترتیب در  $100/38$ ،  $105/69$ ،  $116/20$ ،  $122/85$ ،  $126/66$ ،  $127/71$ ،  $128/82$ ،  $135/05$ ،  $154/18$  و ppm  $175/18$  قابل مشاهده است. مجموعاً ۱۸ پیک وجود دارد که با تعداد انواع کربن‌ها مطابقت دارد.

### ۵-بوتوکسی-۱-(مورفولین-۴-ایل)پیرولو[۲،۱-*a*]کینازولین (۳۳۴g)

در طیف  $^1\text{HNMR}$  این ترکیب (طیف شماره ۵۹) که در حلال کلروفرم دوتره گرفته شده است، پروتون‌های گروه متیلن به صورت سه‌تایی با ثابت جفت شدن Hz  $7/4$  و سطح زیر پیک سه پروتون در ppm  $0/82$ ، پروتون‌های گروه متیلن بوتوکسی (غیر متصل به اکسیژن) در دو دسته هر یک با سطح زیر پیک دو پروتون و به صورت چندتایی به ترتیب در ppm  $1/26$  با ثابت جفت شدن Hz  $7/1$  و ppm  $1/64$  به صورت چندتایی با ثابت جفت شدن Hz  $7/1$  و سطح زیر پیک یک پروتون مشاهده می‌شود.

با ثابت جفت شدن  $7/0$  Hz دیده می‌شود. پروتون‌های دو گروه متیلن حلقه مورفولین (متصل به نیتروژن) هر یک به صورت چندتایی و سطح زیر پیک دو پروتون به ترتیب در  $2/51-2/56$  ppm و  $2/52-2/57$  ppm پروتون‌های دو گروه متیلن دیگر حلقه مورفولین (متصل به اکسیژن) به صورت چندتایی و سطح زیر پیک چهار پروتون در  $3/78-3/89$  ppm ظاهر می‌شود. دیگر پروتون‌های گروه متیلن بوتوکسی (متصل به اکسیژن) به صورت سهتایی و با ثابت جفت شدن  $6/6$  Hz و سطح زیر پیک دو پروتون در  $4/14$  ppm مشاهده شده است. دو پروتون مربوط به حلقه‌ی پیرول هر یک به صورت دوتایی و با سطح زیر پیک یک پروتون و ثابت جفت شدن  $4/2$  در  $6/21$  ppm و  $6/64$  ppm دیده می‌شود. پروتون‌های حلقه‌ی آромاتیک کینازولین در چهار دسته هر یک با سطح زیر پیک یک پروتون به صورت چندتایی به ترتیب در  $7/21$ - $8/1$  Hz،  $7/43-7/47$  ppm و  $7/55-7/66$  ppm و در  $8/93$  ppm به صورت دوتایی با ثابت جفت شدن ظاهر شده است.

در طیف  $^{13}\text{CNMR}$  این ترکیب (طیف شماره ۶۰) که در حلحل کلروفرم دوتره گرفته شده است، پیک‌های مربوط به کربن‌های آلیفاتیک به ترتیب در  $10/98$ ،  $10/98$ ،  $14/08$ ،  $14/08$ ،  $19/38$ ،  $57/56$  و  $66/75$  ppm ظاهر شده است و پیک‌های مربوط به کربن‌های آромاتیک به ترتیب در  $10/14$ ،  $10/14$ ،  $10/14$  و  $116/31$  قابل مشاهده است. مجموعاً ۱۷ پیک وجود دارد که با تعداد انواع کربن‌ها مطابقت دارد.

#### (۳۳۴h) [a-کینازولین-۲،۱-ایل)پیرولو[۴-۵-دی]مورفولین (۱،۲-ایل)

در طیف  $^1\text{HNMR}$  این ترکیب (طیف شماره ۶۱) که در حلحل کلروفرم دوتره گرفته شده است، پروتون‌های دو گروه متیلن حلقه مورفولین موقعیت ۱ (متصل به نیتروژن) در دو دسته هر یک به صورت چندتایی و با سطح زیر پیک دو پروتون به ترتیب در  $2/60$  ppm و  $2/45-2/48$  ppm، پروتون‌های دو گروه متیلن حلقه مورفولین موقعیت ۵ (متصل به نیتروژن) به صورت چندتایی و با سطح زیر پیک

چهار پروتون در  $\delta/ ppm$  ۳/۵۶-۳/۳۳ دیده می‌شود. پروتون‌های چهار گروه متیلن دیگر حلقه‌های مورفولین (متصل به اکسیژن) که با یکدیگر همپوشانی کرده‌اند به صورت چندتایی با سطح زیر پیک هشت پروتون در  $\delta/ ppm$  ۴/۱۰-۴/۶۸ مشاهده شده است.

دو پروتون مربوط به حلقه‌ی پیرول هر یک به صورت دوتایی و با سطح زیر پیک یک پروتون و ثابت جفت شدن  $\delta/ ppm$  ۶/۸۳ و ۴/۳۸ در Hz ۴/۰ مشاهده شده است. پروتون‌های حلقه‌ی آромاتیک کینازولین در چهار دسته هر یک با سطح زیر پیک یک پروتون به صورت چندتایی به ترتیب در ۷/۲۷-۷/۲۵، ۷/۵۰-۷/۵۲، ۹/۰ Hz ظاهر شده و در  $\delta/ ppm$  ۷/۶۷-۷/۶۵ به صورت دوتایی با ثابت جفت شدن Hz ۸/۹۰ مشاهده شده است.

در طیف  $^{13}CNMR$  این ترکیب (طیف شماره ۶۲) که در حلال کلروفرم دوتره گرفته شده است، پیک‌های مربوط به کربن‌های آلیفاتیک به ترتیب در ۶۴/۳۷، ۶۶/۲۵، ۵۴/۳۸، ۵۲/۱۲ ppm و ۱۰۵/۳۱، ۱۰۰/۲۶، ۱۱۵/۲۳، ۱۰۵/۳۱، ۱۱۵/۲۳، ۱۲۲/۵۱، ۱۲۶/۱۱، ۱۲۵/۳۷، ۱۲۷/۴۸، ۱۳۶/۰۵، ۱۵۲/۸۹ ppm قابل مشاهده است. مجموعاً ۱۵ پیک وجود دارد که با تعداد انواع کربن‌ها مطابقت دارد.

طیف IR این ترکیب (طیف شماره ۶۳) که به صورت قرص (KBr) گرفته شده است، جذب کششی مربوط به پیوندهای C-H را در  $\nu/cm^{-1}$  ۲۹۵۰ و ۲۸۵۰، جذب کششی پیوند C=C آромاتیک را در  $\nu/cm^{-1}$  ۱۴۱۰ و ۱۶۲۰ و جذب کششی C-O را در  $\nu/cm^{-1}$  ۱۱۱۰ نشان می‌دهد.

### ۱-(مورفولین-۴-ایل)-۵-(پای‌پیریدین-۱-ایل)پیرولو[۲،۱-a]کینازولین (۳۳۴i)

در طیف  $^1HNMR$  این ترکیب (طیف شماره ۶۴) که در حلال کلروفرم دوتره گرفته شده است، پروتون‌های سه گروه متیلن حلقه‌ی پای‌پیریدین (غیر متصل به نیتروژن) به صورت چندتایی و با سطح زیر پیک شش پروتون در  $\delta/ ppm$  ۱/۸۵-۱/۶۱ ppm (متصل به

نیتروژن) در دو دسته هر یک با سطح زیر پیک دو پروتون و به صورت چندتایی به ترتیب در ۲/۴۹-۲/۳۴ ppm و ۳/۲۱-۳/۱۰ ppm دیده می‌شود. پروتون‌های دو گروه متیلن حلقه‌ی پای‌پیریدین (متصل به نیتروژن) به صورت چندتایی و با سطح زیر پیک چهار پروتون در ۳/۷۲-۳/۶۱ ppm و پروتون‌های دو گروه متیلن حلقه مورفولین (متصل به اکسیژن) به صورت چندتایی و سطح زیر پیک چهار پروتون دز ۴/۰۹ ppm مشاهده شده است. دو پروتون مربوط به حلقه‌ی پیروول هر یک به صورت دوتایی و با سطح زیر پیک ۳/۹۶ ppm مشاهده شده است. پروتون‌های حلقه‌ی یک پروتون و ثابت جفت شدن Hz ۴/۲ در ۶/۳۸ و ۶/۷۵ ppm آروماتیک کینازولین به ترتیب در ۷/۴۲-۷/۱۹ ppm به صورت چندتایی و با سطح زیر پیک دو پروتون، در ۷/۶۹-۷/۶۴ ppm به صورت چندتایی و با سطح زیر پیک یک پروتون و در ۸/۸۶ ppm به صورت دوتایی با ثابت جفت شدن Hz ۸/۰ و سطح زیر پیک یک پروتون مشاهده شده است.

در طیف  $^{13}\text{CNMR}$  این ترکیب (طیف شماره ۶۵) که در حلال کلروفرم دوتره گرفته شده است، پیک‌های مربوط به کربن‌های آلیفاتیک به ترتیب در ۲۰/۲۵، ۸۴/۲۴، ۹۴/۲۵، ۲۰/۵۱، ۳۷/۵۳ و ۴۲/۶۶ ppm ظاهر شده است و پیک‌های مربوط به کربن‌های آروماتیک به ترتیب در ۳۹/۰۰، ۸۳/۱۰، ۴۸/۱۰، ۴۲/۱۱، ۳۹/۱۰ و ۷۴/۵۳، ۷۴/۲۲، ۱۲/۱۲، ۸۴/۱۳۵، ۰۷/۱۵۳ و ۲۷/۱۶۱ ppm قابل مشاهده است. مجموعاً ۱۵ نوع پیک وجود دارد که با تعداد انواع کربن‌ها مطابقت دارد.

طیف IR این ترکیب (طیف شماره ۶۶) که به صورت قرص (KBr) گرفته شده است، جذب کششی مربوط به پیوندهای C-H را در  $3005\text{ cm}^{-1}$  و  $2920\text{ cm}^{-1}$ ، جذب کششی پیوندهای C=C آروماتیک را در  $1420\text{ cm}^{-1}$  و  $1610\text{ cm}^{-1}$ ، جذب کششی C-O در  $1110\text{ cm}^{-1}$  نشان می‌دهد.

## ۲-۱۷- بررسی خاصیت ضد باکتری مشتقات ۱-۵،۲-دو استخلافی

### پیرولو[۱-اکینازولین

با توجه به برخی گزارش‌ها، ترکیبات پیرولوکینازولین دارای فعالیت ضد باکتریایی می‌باشند. برای مثال سینگ<sup>۱</sup> و همکارانش در سال ۲۰۱۳، خواص ضد باکتریایی برای پیرولوکینازولین‌هایی که تشکیل دهنده ساختار برخی از آلکالوئیدها بودند را گزارش کردند. در این مطالعه مشاهده شد که این ترکیبات علیه باکتری باسیلوس سابتیلیس و برخی دیگر از باکتری‌ها فعال می‌باشند [۱۱۹].

بر این اساس، خاصیت ضد باکتریایی ترکیبات ۱-۵،۲-دو استخلافی پیرولو[۱-اکینازولین، علیه باکتری‌های گرم مثبت و گرم منفی مورد مطالعه قرار گرفت. باکتری‌های میکروکوکوس لوئوس، سودوموناس آئروژینوزا و باسیلوس سابتیلیس به عنوان باکتری‌های نمونه در نظر گرفته شدند. DMSO به عنوان کنترل‌گر منفی و پنی‌سیلین به عنوان کنترل‌گر مثبت استفاده گردید. نتایج به دست آمده در جدول ۲- گزارش شده است.

همان‌طور که مشاهده می‌شود، ترکیبات ۳۳۴a، ۳۳۴e و ۳۳۴h علیه هر سه باکتری ذکر شده، ترکیبات ۳۳۴e و ۳۳۴h علیه باکتری سودوموناس آئروژینوزا فعال هستند. ترکیب ۳۳۴h بیشترین فعالیت را علیه باکتری میکروکوکوس لوئوس را دارا می‌باشد.

<sup>۱</sup> Singh

جدول ۱۰-۲: فعالیت ضد باکتریایی پیرولو[*a*-۲،۱]کینازولین‌های استخلاف شده (۱۰۰۰ میکروگرم/لیتر) به عنوان

حاله عدم رشد در مقیاس نانومتر

ترکیب	ب. سابتیلیس	م. لوئیوس	س. آئروژینوزا
۳۳۴e	۸	۸	۸
۳۳۴h	۷	۱۰	۸
۳۳۴a	۸	۸	۷
۳۳۴d	۷	۸	-
۳۳۴f	۸	۹	-
DMSO	-	-	-
Penicillin G	۲۵	۵۵	-

## ۱۸-۲- بررسی خاصیت ضد اکسیدان مشتقات ۱-۵،۱-دو استخلافی

### پیرولو[*a*-۲،۱]کینازولین

آنٹی اکسیدان مولکولی است که قابلیت آهسته کردن یا جلوگیری از اکسید شدن سایر مولکول‌ها را دارد. اکسایش یک واکنش شیمیایی است که الکترون‌ها از یک ماده به ماده اکسید کننده منتقل می‌شود. این واکنش‌ها رادیکال‌های آزادی تولید می‌کنند که شروع کننده یک سری واکنش‌های آسیب رسان به سلول هستند. آنتی اکسیدان‌ها با حذف رادیکال‌های آزاد واسطه، می‌توانند باعث پایان دادن

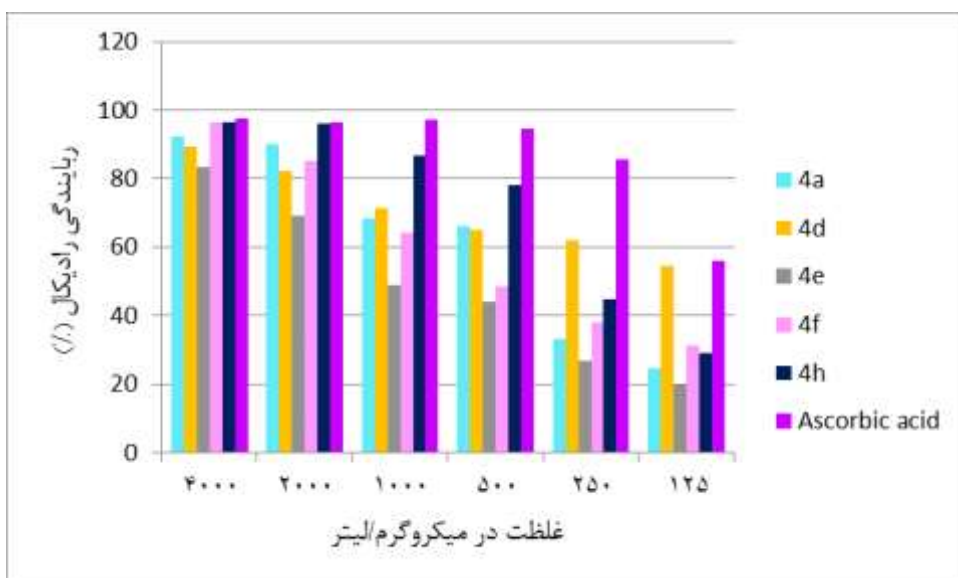
به این زنجیره از واکنش‌ها شوند و از سوی دیگر با اکسید شدن خودشان، سایر واکنش‌های اکسایشی را مهار می‌کنند. با وجود اینکه واکنش‌های اکسیداسیون می‌توانند باعث آسیب سلول شوند اما برای زندگی حیاتی‌اند، بنابراین گیاهان و جانوران سیستم‌های پیچیده‌ای آنتی‌اکسیدانی دارند که این اثرات مضر را خنثی می‌کنند.

در این مطالعه از DPPH (دی‌فنیل‌پیکریل‌هیدرازیل) که ساده‌ترین روش برای تعیین خاصیت ضد اکسیدان می‌باشد، استفاده شده است. DPPH یک رادیکال آزاد پایدار دارای جذب در طول موج بنفسن است. وقتی این رادیکال در مجاورت ترکیب دهنده‌ی رادیکال اتم هیدروژن باشد، DPPH کاهش پیدا کرده، بنابراین شدت جذب DPPH کاهش می‌یابد. به عبارت دیگر هر چه ترکیبی دارای خاصیت آنتی‌اکسیدانی بالاتری باشد، بیشتر از شدت رنگ بنفسن کاسته می‌شود. فعالیت ضد اکسیدانی تعدادی از ترکیبات ۱-۵،۲-دو استخلافی پیرولو[۱a-۲،۳]کینازولین (۳۳۴a، ۳۳۴d، ۳۳۴e، ۳۳۴f و ۳۳۴h) توسط روش DPPH اندازه‌گیری شده است. نتایج در جدول ۱۱-۲ گزارش شده است. کاهش جذب در nm ۵۱۷ نشان می‌دهد که این ترکیبات دارای خاصیت ضد اکسیدانی می‌باشد. خاصیت ربانندگی رادیکال برای ترکیبات ذکر شده در غلظت‌های ۴۰۰-۱۲۵ میکروگرم بر لیتر در nm ۵۱۷ بررسی شده است و فاکتور IC<sub>50</sub> (ربانندگی در غلظت ۵۰ درصدی رادیکال DDPH) توسط معادله‌ی خط محاسبه شده است. از اسکوربیک اسید به عنوان استاندارد استفاده شده است، مقادیر IC<sub>50</sub> به دست آمده در محدوده ۰/۲۷-۰/۵۹ میکرومolar می‌باشد. در میان ترکیبات بررسی شده ترکیب ۳۳۴d پایین‌ترین مقدار IC<sub>50</sub> (۰/۲۷ میکرومolar) و ترکیب ۳۳۴e بالاترین مقدار IC<sub>50</sub> (۰/۵۹ میکرومolar) را در مقایسه با استاندارد اسکوربیک اسید (۰/۱۳ میکرومolar) دارا می‌باشد. با توجه به اینکه بالاترین خاصیت ضد اکسیدانی متعلق به ترکیبی است که کمترین مقدار IC<sub>50</sub> را دارد، بنابراین ترتیب قدرت ضد اکسندگی ترکیبات بررسی شده به ترتیب ۳۳۴d، ۳۳۴a، ۳۳۴f، ۳۳۴e و ۳۳۴h از راست به چپ می‌باشد.

جدول ۱۱-۲: مقدار  $IC_{50}$  برای فعالیت ربانیدگی رادیکال DDPH ترکیبات پیرولو[۱,۲-*a*]کینازولین‌های استخلاف شده

ترکیب	$(\mu M) IC_{50}$
۳۳۴a	۰/۳۷
۳۳۴d	۰/۲۷
۳۳۴e	۰/۵۹
۳۳۴f	۰/۵۲
۳۳۴h	۰/۲۹

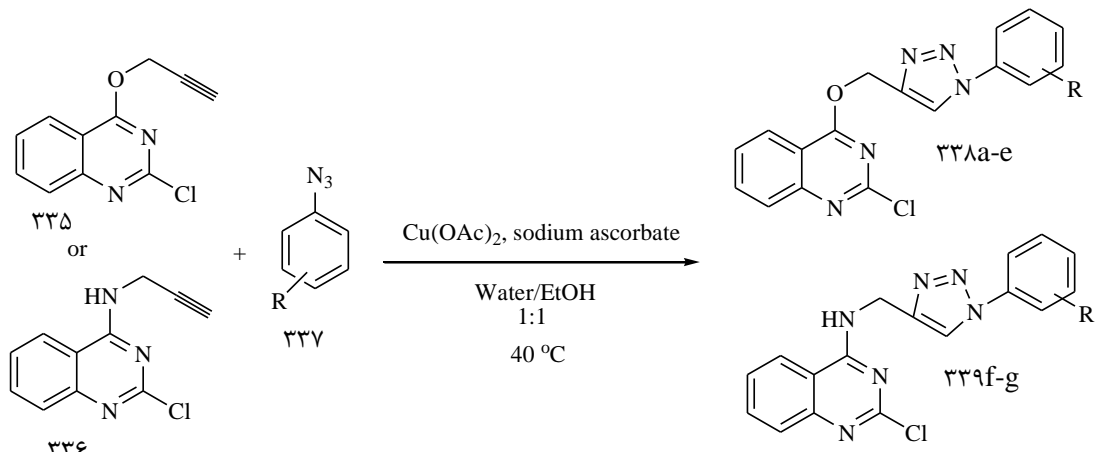
نمودار ۲-۱: فعالیت ربانیدگی رادیکال DDPH ترکیبات پیرولو[۱,۲-*a*]کینازولین‌های استخلاف شده (۳۳۴)



## ۱۹-۲- سنتز ۳،۲،۱-تری آزول های متصل شده به کینازولین

با توجه به طیف وسیعی از کاربردهای ترکیبات ۳،۲،۱-تری آزول و خواص دارویی و بیولوژیکی مشتقات کینازولین، در این تحقیق مشتقات جدیدی از ترکیبات دو استخلافی ۳،۲،۱-تری آزول متصل به حلقه‌ی کینازولین، به وسیله‌ی واکنش کلیک سنتز شد.

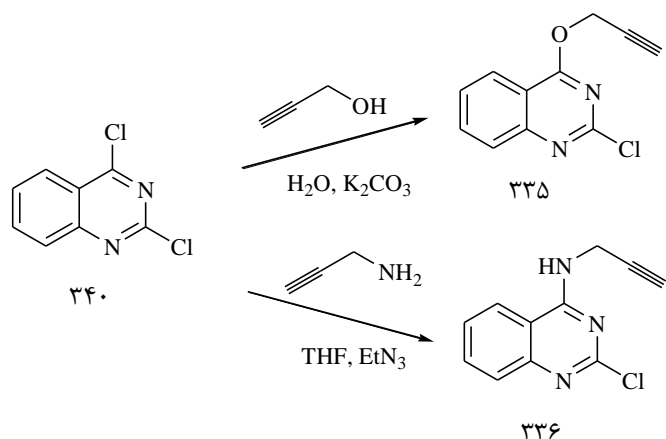
در این تحقیق مشتقات جدیدی از ۲-کلرو-۴-(۱-آریل-۳،۲،۱-H1-۴-تری آزول-۴-ایل) متوكسی) کینازولین (۳۳۸a-e) و ۲-کلرو-N-(۱-آریل-۳،۲،۱-H1-۴-ایل) متیل) کینازولین-۴-آمین (f-g) در حلal آب/اتanol سنتز شد (طرح ۱۳-۲).



R=H, 3-NO<sub>2</sub>, 4NO<sub>2</sub>, 2-Cl-4-NO<sub>2</sub>, 3-NO<sub>2</sub>-4-Cl

(طرح ۱۳-۲)

واکنش ۴،۲-دی کلرو کینازولین (۳۴۰) با پروپارژیل الکل در حضور باز پتاسیم کربنات در حلal آب و در دمای اتانول مشتقات ۲-کلرو-۴-(پروپ-۲-اینیل اکسی) کینازولین (۳۳۵) و با پروپارژیل آمین در حضور باز تری اتیل آمین در حلal THF خشک مشتقات ۲-کلرو-N-(پروپ-۲-اینیل) کینازولین-۴-آمین را با بهره‌ی بالا تولید کرد (۳۳۶). نتایج در جدول ۱۲-۲ مشاهده می‌شود.



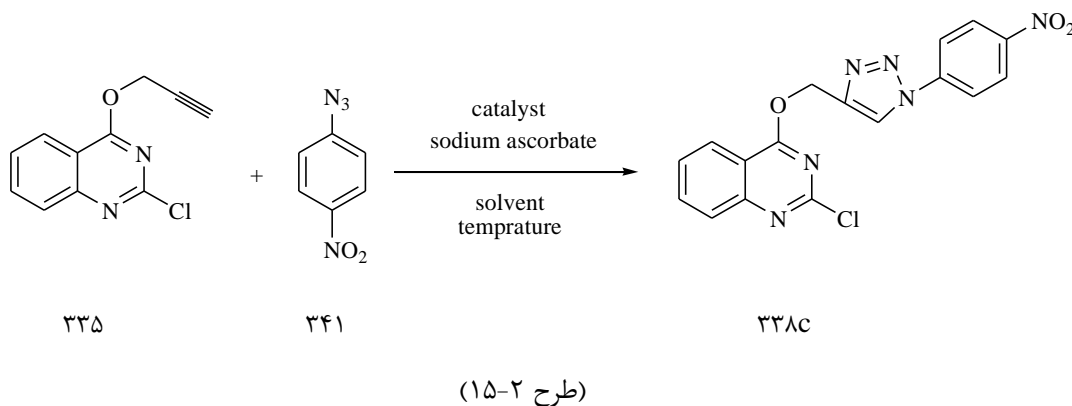
(طرح ۱۴-۲)

جدول ۱۲-۲: بهره‌ی واکنش و نقطه‌ی ذوب مشتقات کینازولین پروپارژیله شده (۳۳۵ و ۳۳۶)

ردیف	ترکیب استیلینی	محصول	نقطه‌ی ذوب (°C)	بهره‌ی واکنش (%)
۱	پروپارژیل الکل	۳۳۵	۱۴۸-۱۵۰	۸۵
۲	پروپارژیل آمین	۳۳۶	۱۷۴-۱۷۶	۹۰

## ۲۰-۲- بهینه کردن شرایط واکنش

برای بهینه‌سازی، واکنش ۲-کلرو-۴-(پروپ-۲-اینیل اکسی)کینازولین (۳۳۵) و ۱-آزیدو-۴-نیتروبنزن (۳۴۱) به عنوان واکنش مبنا استفاده شد (طرح ۱۵-۲). برای خالص‌سازی محصول رسوب حاصل با آب و اتانول شستشو شد و بعد از خشک شدن با توزین رسوب به دست آمده بهره‌ی واکنش محاسبه شد.



هنگامی که ۲-کلرو-۴-(پروپ-۲-اینیل اکسی)کینازولین (۳۳۵) با ۱-آزیدو-۴-نیتروبنزن (۳۴۱) در حلal مтанول و در حضور  $5\text{ mol}\%$  از کاتالیزگر مس(II) استات و  $20\text{ mol}\%$  سدیم اسکوربات در دمای اتاق واکنش داده شد، بهره‌ی واکنش  $۵۰\text{ \%}$  به دست آمد. در این شرایط از حلال‌های استونیتریل، دی‌کلرومتان و استون استفاده شد اما محصول با بهره‌ی پایین تشکیل گردید. در حلal اتانول محصول ۲-کلرو-۴-(۴-نیتروفنیل-۱،۲،۳-تری‌آزول-۴-ایل) متوكسی)کینازولین (۳۳۸c) با بهره‌ی  $۷۰\text{ \%}$  ایجاد شد. همچنین در سیستم حلالی آب/اتانول نیز بهره‌ی واکنش  $۷۲\text{ \%}$  مشاهده شد. به منظور بهبود بخشیدن میزان بهره‌ی واکنش، مقدار و نوع کاتالیزگر استفاده شده و نیز دمای انجام واکنش مورد بررسی قرار گرفت. نتایج در جدول ۱۳-۲ نشان داده شده است. در حلal آب/اتانول (۱:۱)، مقدار کاتالیزگر استفاده شده به  $10\text{ mol}\%$  افزایش داده شد، محصول با بهره‌ی  $۸۱\text{ \%}$  تشکیل شد در ادامه با افزایش دمای به  $40^{\circ}\text{C}$ ، محصول واکنش در زمان  $20$  دقیقه با بهره‌ی  $۹۷\text{ \%}$  ایجاد شد. بنابراین شرایط حلal آب/اتانول (۱:۱)، مس(II) استات  $10\text{ mol}\%$  سدیم اسکوربات  $20\text{ mol}\%$  به عنوان شرایط بهینه در نظر گرفته شد.

جدول ۱۳-۲: بهینه کردن شرایط واکنش در سنتز ترکیب ۲-کلرو-۴-((۴-نیتروفنیل-۱-نتریآزول-۴-

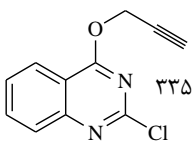
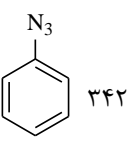
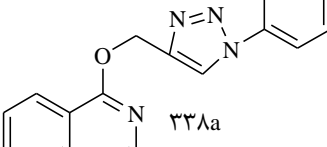
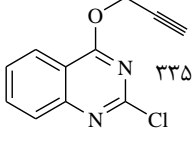
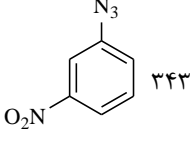
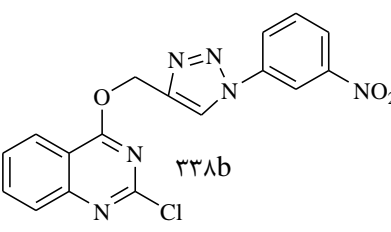
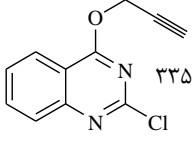
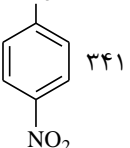
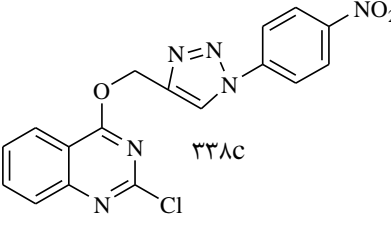
ایل)متوکسی)کینازولین (۳۳۸C)

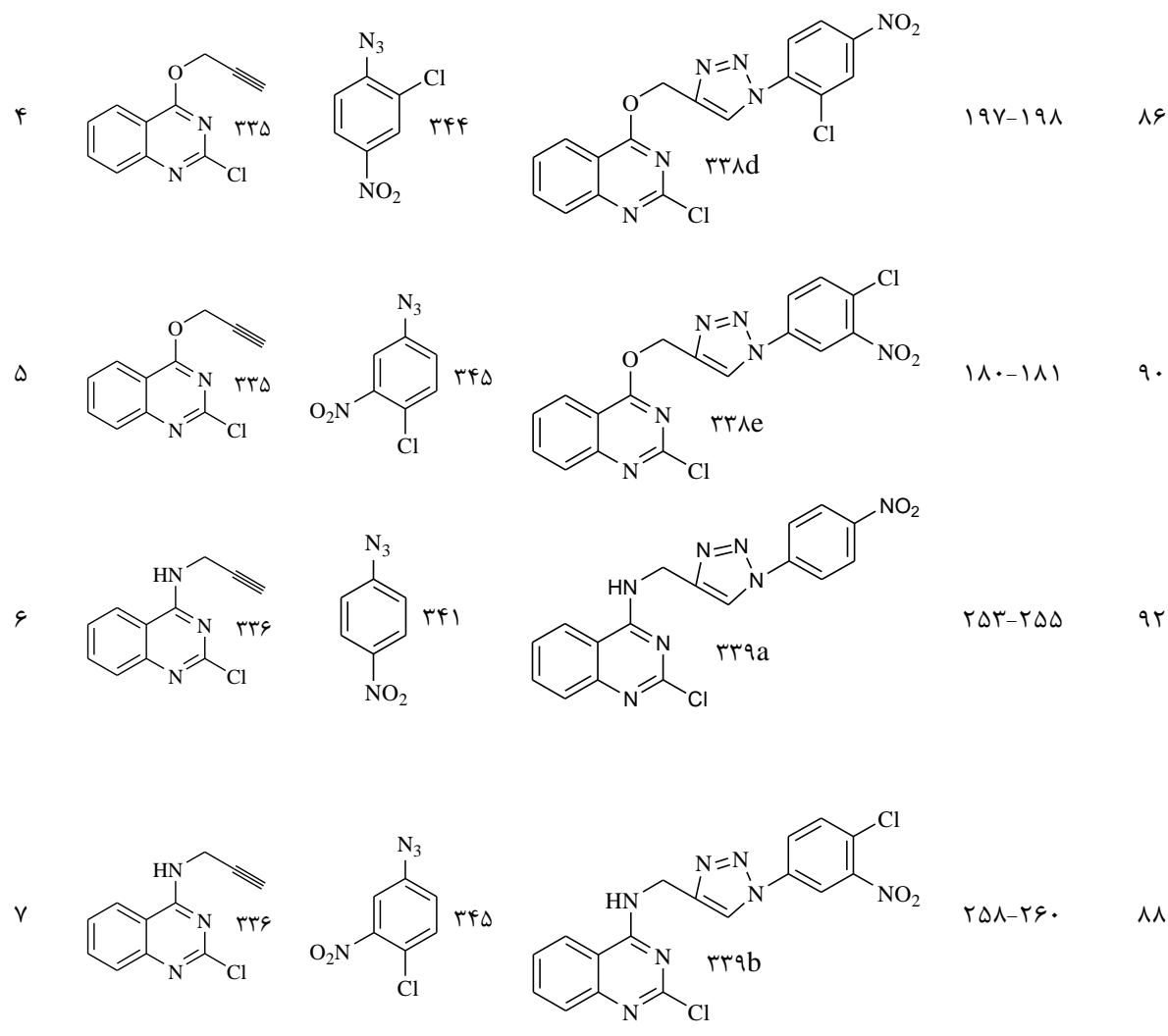
ردیف	حلال	کاتالیزگر	°C دما	زمان (دقیقه)	بهره (%)
۱	CH <sub>3</sub> OH	Cu(OAc) <sub>2</sub> ۵mol%	rt	۶۰	۵۰
۲	CH <sub>2</sub> Cl <sub>2</sub>	Cu(OAc) <sub>2</sub> ۵mol%	rt	۶۰	۲۵
۳	CH <sub>3</sub> CN	Cu(OAc) <sub>2</sub> ۵mol%	rt	۶۰	۳۵
۴	EtOH	Cu(OAc) <sub>2</sub> ۵mol%	rt	۶۰	۷۰
۵	H <sub>2</sub> O	Cu(OAc) <sub>2</sub> ۵mol%	rt	۶۰	۶۵
۶	H <sub>2</sub> O/EtOH	Cu(OAc) <sub>2</sub> ۵mol%	rt	۶۰	۷۲
۷	H <sub>2</sub> O/EtOH	Cu(OAc) <sub>2</sub> ۱· mol%	rt	۶۰	۸۱
۸	H <sub>2</sub> O/EtOH	Cu(OAc) <sub>2</sub> ۱· mol%	۴۰	۲۰	۹۷
۹	CH <sub>3</sub> OH	Cu(SO <sub>4</sub> ) <sub>2</sub> ۱· mol%	۴۰	۶۰	۴۵
۱۰	H <sub>2</sub> O/EtOH	Cu(SO <sub>4</sub> ) <sub>2</sub> ۱· mol%	۴۰	۶۰	۷۰
۱۱	H <sub>2</sub> O	Cu(SO <sub>4</sub> ) <sub>2</sub> ۱· mol%	۴۰	۶۰	۵۵
۱۲	CH <sub>3</sub> OH	CuI ۱· mol%	۴۰	۶۰	۵۸
۱۳	H <sub>2</sub> O/EtOH	CuI ۱· mol%	۴۰	۶۰	۷۵
۱۴	H <sub>2</sub> O/EtOH	Cu(OAc) <sub>2</sub> ۱· mol%	۵۰	۲۰	۹۷

## ۲۱-۲- سنتز مشتقات ۳،۲،۱-تریآزول متصل شده به کینازولین

مشتقات ۲-کلرو-۴-(پروپ-۲-اینیل اکسی)کینازولین (۳۳۵) و ۲-کلرو-*N*-(پروپ-۲-اینیل)کینازولین-۴-آمین (۳۳۶) در واکنش با آریدهای آروماتیک در حضور کاتالیزگر مس(II) سولفات و سدیم اسکوربات واکنش داده و به ترتیب مشتقات ۲-کلرو-۴-(۱-آریل-۳،۲،۱-*H*۱-تریآزول-۴-ایل)متیل)کینازولین-۴-آمین (۳۳۸a-e) و ۲-کلرو-*N*-(۱-آریل-۳،۲،۱-*H*۱-تریآزول-۴-ایل)کینازولین (۳۳۸f-g) را با بهره‌ی بالا تولید کردند. نتایج در جدول ۱۴-۲ نشان داده شده است.

جدول ۱۴-۲: بهره‌ی واکنش و نقطه‌ی ذوب مشتقات ۳،۲،۱-تریآزول-۴-ایل-کینازولین (۳۳۸ a-e و ۳۳۹ a-b)

ردیف	ماده اولیه	آزید	محصول	نقطه‌ی ذوب (°C)	بهره‌ی واکنش (%)
۱				۱۲۸-۱۲۹	۹۰
۲				۱۸۰-۱۸۷	۹۲
۳				۱۶۵-۱۶۶	۹۵



## ۲۲-۲ - مکانیسم واکنش

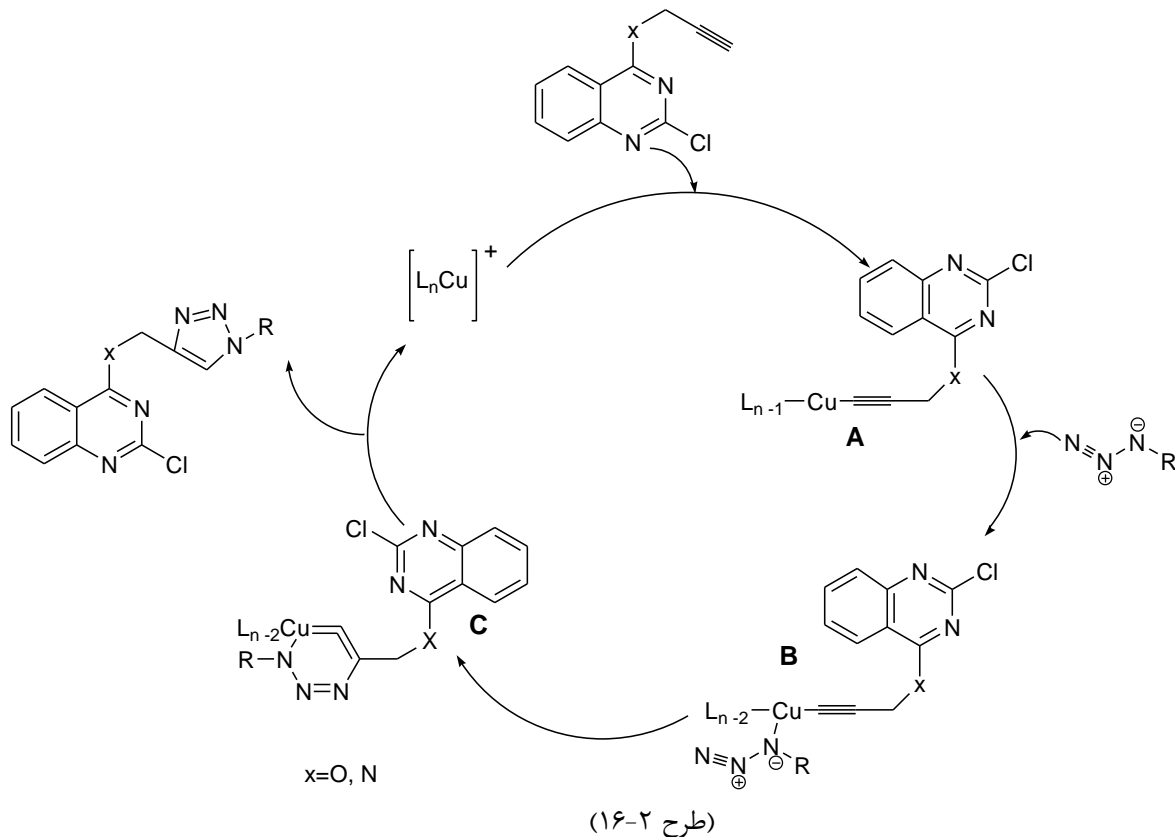
برای واکنش سنتز ترکیبات ۱،۲،۳-تریآزول متصل به کینازولین مکانیسم چند مرحله‌ای زیر

پیشنهاد می‌گردد که در طرح ۱۶-۲ نشان داده شده است.

در مرحله اول در واکنش با مس(I) که به صورت درجا از کاهش مس(II) به وسیله‌ی سدیم اسکوربات

ایجاد می‌شود، واسطه استیلید مس(A) تشکیل می‌شود. این ترکیب با آزید وارد واکنش شده و از طریق

کمپلکس آزید-مس استیلید (B) حدواتسط حلقوی ۶ عضوی (C) که دارای مس (III) می‌باشد را ایجاد می‌کند که بعد از پروتونه شدن و خروج مس، تریآزول تشکیل می‌گردد.



## ۲-۲۳-۲- شواهد طیفی کینازولین‌های پروپارژیله شده

### ۲-کلرو-۴-(پروپ-۲-اینیل اکسی)کینازولین (۳۳۵)

در طیف  $^1\text{HNMR}$ <sup>۱</sup> این ترکیب (طیف شماره ۶۷) که در حلحل DMSO گرفته شده است، پیک مربوط به هیدروژن استیلینی با سطح زیر پیک یک پروتون در ۳/۷ ppm و پیک مربوط به گروه متیلن در ۵/۱-۵/۳ ppm با سطح زیر پیک دو پروتون دیده می‌شود. پروتون‌های حلقه‌ی کینازولین به صورت چندتایی و با سطح زیر پیک چهار پروتون در ۷/۵-۸/۳ ppm مشاهده می‌شود.

طیف IR این ترکیب (طیف شماره ۶۸) که به صورت قرص (KBr) گرفته شده است، جذب کششی مربوط به پیوند C-H استیلینی را در  $\text{cm}^{-1}$  ۳۲۰۰ و جذب کششی مربوط به C-H را در  $\text{cm}^{-1}$  ۲۹۰۰ نشان می‌دهد. جذب کششی پیوند C-C سه‌گانه را در  $\text{cm}^{-1}$  ۲۱۰۰، جذب کششی مربوط به C=C را در  $\text{cm}^{-1}$  ۱۴۲۰ و  $\text{cm}^{-1}$  ۱۶۱۰ و جذب کششی C-O در  $\text{cm}^{-1}$  ۱۱۰۰ مشاهده می‌شود.

## ۲-کلرو-N-(پروپ-۲-اینیل)کینازولین-۴-آمین (۳۳۶)

در طیف  $^1\text{HNMR}$  این ترکیب (طیف شماره ۶۹) که در حلحل DMSO گرفته شده است، پیک مربوط به هیدروژن استیلینی که با پیک مربوط به آب همپوشانی کرده است را در ۳/۵ ppm و پیک مربوط به گروه متیلن در ۴/۵-۴/۲ ppm با سطح زیر پیک دو پروتون دیده می‌شود. پروتون‌های حلقه‌ی کینازولین در دو دسته، یکی به صورت چندتایی و با سطح زیر پیک سه پروتون در ۷/۴-۸/۰ ppm و دیگری در ۸/۱-۸/۴ ppm با سطح زیر پیک یک پروتون مشاهده می‌شود. پروتون مربوط به هیدروژن گروه آمینی در ۹/۲-۸/۹ ppm با سطح زیر پیک یک پروتون ظاهر شده است.

## ۲۴-۲-شواهد طیفی مشتقات ۳،۲،۱-تریآزول‌های متصل شده به کینازولین

### ۲-کلرو-۴-((فنیل-۳،۲،۱-H1-تریآزول-۴-ایل)متوكسی)کینازولین (۳۳۸a)

در طیف  $^1\text{HNMR}$  این ترکیب (طیف شماره ۷۰) که در حلحل کلروفرم دوتره گرفته شده است، پروتون‌های گروه متیلن به صورت یکتایی با سطح زیر پیک دو پروتون در ۵/۸۹ ppm و پروتون‌های حلقه فنیل (متصل به تریآزول) به صورت چندتایی و با سطح زیر پیک ۵ پروتون در ۷/۴۹-۷/۶۱ ppm دیده می‌شود.

پروتون‌های حلقه‌ی کینازولین در سه دسته یکی در ۷/۷۴-۷/۷۸ ppm به صورت چندتایی با سطح

زیر پیک یک پروتون، دیگری در  $7/87$ - $7/89$  ppm به صورت چندتایی با سطح زیر پیک دو پروتون و آخری به صورت دوتایی با ثابت جفت شدن  $Hz$   $8/4$  و سطح زیر پیک یک پروتون در  $8/19$  ppm مشاهده می‌شود. پروتون حلقه‌ی تریآزول به صورت یکتایی با سطح زیر پیک یک پروتون در  $8/30$  ppm ظاهر شده است.

در طیف  $^{13}CNMR$  این ترکیب (طیف شماره ۷۱) که در حلال کلروفرم دوتره گرفته شده است، پیک‌های مربوط به کربن آلیفاتیک در  $61/50$  ppm ظاهر شده است و پیک مربوط به کربن‌های آромاتیک به ترتیب در  $118/84$ ،  $120/66$ ،  $124/37$ ،  $129/38$ ،  $128/58$ ،  $127/07$ ،  $123/94$ ،  $130/42$ ،  $135/98$ ،  $143/01$ ،  $152/10$ ،  $155/20$  و  $167/72$  ppm قابل مشاهده است. مجموعاً ۱۴ پیک وجود دارد که با تعداد انواع کربن‌ها مطابقت دارد.

## ۲-کلرو-۴-(۳،۲،۱-H1-تریآزول-۴-ایل)متوكسی)کينازولين-۳-نيتروفنيل

(۳۳۸b)

در طیف  $^1HNMR$  این ترکیب (طیف شماره ۷۲) که در حلال کلروفرم دوتره گرفته شده است، پروتون‌های گروه متیلن به صورت یکتایی با سطح زیر پیک دو پروتون در  $5/88$  ppm، پروتون موقعیت ۶ حلقه کینازولین به صورت چندتایی و سطح زیر پیک یک پروتون در  $7/52$  ppm، پروتون موقعیت ۷ حلقه استخلاف فنیل به صورت چندتایی و سطح زیر پیک یک پروتون در  $7/67$ - $7/73$  ppm مشاهده می‌شود. پروتون‌های موقعیت ۷ و ۸ حلقه کینازولین به صورت چندتایی و سطح زیر پیک دو پروتون در  $7/80$ - $7/79$  ppm، پروتون‌های موقعیت ۴ و ۶ استخلاف فنیل با سطح زیر پیک دو پروتون به صورت دوتایی و ثابت جفت شدن  $Hz$   $8/09$  ppm در  $8/0$  ppm ظاهر شده است. پروتون موقعیت ۵ حلقه کینازولین به صورت دوتایی و سطح زیر پیک یک پروتون با ثابت جفت شدن  $Hz$   $8/25$  ppm در  $8/1$  ppm، پروتون موقعیت ۲ استخلاف فنیل به صورت یکتایی و سطح زیر پیک یک پروتون در  $8/32$  ppm و پروتون حلقه تریآزول به

صورت یکتایی و سطح زیر پیک یک پروتون در  $8/57$  ppm دیده می‌شود.

در طیف  $^{13}\text{CNMR}$  این ترکیب (طیف شماره ۷۳) که در حلال کلروفرم دوتره گرفته شده است، پیک‌های مربوط به کربن آلیفاتیک در  $61/39$  ppm ظاهر شده است و پیک مربوط به کربن‌های آروماتیک به ترتیب در  $114/80$ ،  $115/45$ ،  $123/79$ ،  $124/31$ ،  $126/78$ ،  $127/07$ ،  $128/57$ ،  $132/05$ ،  $135/97$ ،  $143/49$ ،  $148/99$ ،  $152/10$ ،  $155/18$  و  $167/66$  ppm قابل مشاهده است. مجموعاً ۱۵ پیک وجود دارد که با تعداد انواع کربن‌ها مطابقت دارد.

## ۲-کلرو-۴-(۱-(۴-نیتروفنیل)-۳،۲،۱-H1-تریآزول-۴-ایل)متوكسی)کینازولین

(۳۳۸c)

در طیف  $^1\text{HNMR}$  این ترکیب (طیف شماره ۷۴) که در حلال کلروفرم دوتره گرفته شده است، پروتون‌های گروه متیلن به صورت یکتایی با سطح زیر پیک دو پروتون در  $5/90$  ppm، پروتون موقعیت ۶ حلقه کینازولین با سطح زیر پیک به صورت چندتایی در  $7/56-7/62$  ppm و پروتون‌های موقعیت ۷ و ۸ حلقه کینازولین با سطح زیر پیک دو پروتون به صورت چندتایی در  $7/84-7/89$  ppm مشاهده می‌شود. پروتون موقعیت ۲ استخلاف فنیل به صورت دوتایی با سطح زیر پیک دو پروتون و ثابت جفت‌شدن  $14/7$  در  $14/2$  ppm، پروتون موقعیت ۵ حلقه کینازولین به صورت دوتایی و با سطح زیر پیک یک پروتون و ثابت جفت‌شدن  $8/18$  ppm در  $8/1$  Hz دیده می‌شود. پروتون موقعیت ۳ استخلاف فنیل به صورت دوتایی و سطح زیر پیک دو پروتون با ثابت جفت‌شدن  $9$  Hz در  $8/43$  ppm و پروتون حلقه تریآزول با سطح زیر پیک یک پروتون در  $8/47$  ppm ظاهر شده است.

در طیف  $^{13}\text{CNMR}$  این ترکیب (طیف شماره ۷۵) که در حلال کلروفرم دوتره گرفته شده است، پیک‌های مربوط به کربن آلیفاتیک در  $60/47$  ppm ظاهر شده است و پیک مربوط به کربن‌های آروماتیک به ترتیب در  $114/75$ ،  $114/80$ ،  $123/16$ ،  $125/61$ ،  $127/00$ ،  $127/62$ ،  $125/04$ ،  $135/61$ ،  $140/93$ ،  $143/61$ ،

۱۴۷/۳۸، ۱۵۲/۲۹، ۱۵۵/۲۷ و ۱۶۷/۳۱ ppm قابل مشاهده است. مجموعاً ۱۴ پیک وجود دارد که با تعداد

انواع کربن‌ها مطابقت دارد.

## ۲-کل-۴-(۱)-رو-۴-نیتروفنیل)-H1-۳،۲،۱-تریآزول-

(ایل) متوكسی) کینازولین (۳۳۸d)

در طیف  $^1\text{HNMR}$  این ترکیب (طیف شماره ۷۶) که در حلال کلروفرم دوتره گرفته شده است، پروتون‌های گروه متیلن به صورت یکتایی با سطح زیر پیک دو پروتون در ppm ۵/۹۱، پروتون موقعیت ۶ حلقه‌ی کینازولین به صورت چندتایی و سطح زیر پیک یک پروتون در ppm ۷/۶۳-۷/۵۷ و پروتون‌های موقعیت ۷ و ۸ به صورت چندتایی و سطح زیر پیک دو پروتون در ppm ۷/۸۹-۷/۹۰ مشاهده می‌شود. پروتون موقعیت ۶ استخلاف فنیل با سطح زیر پیک یک پروتون به صورت دوتایی و ثابت جفت‌شدن Hz در ppm ۷/۹۸ و پروتون موقعیت ۵ حلقه‌ی کینازولین به صورت دوتایی با سطح زیر پیک یک پروتون و ثابت جفت‌شدن Hz در ppm ۸/۷ دیده می‌شود. پروتون موقعیت ۵ استخلاف فنیل به صورت دوتایی با سطح زیر پیک یک پروتون و ثابت‌های جفت‌شدن Hz ۱۱/۱ و ۲/۴ در ppm ۸/۷، پروتون موقعیت ۳ استخلاف فنیل و پروتون تریآزول که با یکدیگر همپوشانی کرده‌اند با سطح زیر پیک دو پروتون به صورت چندتایی در ppm ۸/۵۳-۸/۵۲ ظاهر شده است.

در طیف  $^{13}\text{CNMR}$  این ترکیب (طیف شماره ۷۷) که در حلال کلروفرم دوتره گرفته شده است، پیک‌های مربوط به کربن آلیفاتیک در ppm ۶۰/۴۶ ظاهر شده است و پیک مربوط به کربن‌های آروماتیک به ترتیب در ۱۱۴/۷۹، ۱۲۳/۱۹، ۱۲۳/۹۳، ۱۲۶/۵۰، ۱۲۶/۹۵، ۱۲۷/۰۳، ۱۲۷/۰۰، ۱۲۸/۲۰، ۱۲۸/۸۰، ۱۳۵/۰۲ و ۱۳۹/۲۳ ppm قابل مشاهده است. مجموعاً ۱۷ پیک وجود دارد که با تعداد انواع کربن‌ها مطابقت دارد.

## ۲-کل-۴-(۱)-رو-۴-نیتروفنیل)-H1-۳،۲،۱-تریآزول-

## ایل) متوكسی) کینازولین (۳۳۸e)

در طیف  $^1\text{HNMR}$  این ترکیب (طیف شماره ۷۸) که در حلال کلروفرم دوتره گرفته شده است، پروتون‌های گروه متیلن به صورت یکتایی با سطح زیر پیک دو پروتون در  $5/79$  ppm، پروتون موقعیت ۶ حلقه‌ی کینازولین به صورت چندتایی و سطح زیر پیک یک پروتون در  $7/51$  ppm، پروتون موقعیت ۵ استخلاف فنیل به صورت دوتایی و سطح زیر پیک یک پروتون با ثابت جفت‌شدن  $\text{Hz} / 8/7$  در  $7/67$  ppm و پروتون‌های موقعیت ۷ و ۸ حلقه‌ی کینازولین به صورت چندتایی و سطح زیر پیک دو پروتون در  $7/75-7/78$  ppm دیده می‌شود. پروتون موقعیت ۶ استخلاف فنیل به صورت دوتایی دوتایی با سطح زیر پیک یک پروتون و ثابت‌های جفت‌شدن  $11/4 \text{ Hz}$  و  $2/4 \text{ Hz}$  در  $7/91$  ppm، پروتون موقعیت ۵ حلقه‌ی کینازولین به صورت دوتایی با سطح زیر پیک یک پروتون و ثابت جفت‌شدن  $8/1 \text{ Hz}$  در  $8/1$  ppm مشاهده می‌شود. پروتون موقعیت ۲ استخلاف فنیل به صورت دوتایی و با سطح زیر پیک یک پروتون و ثابت جفت‌شدن  $2/4 \text{ Hz}$  در  $8/28$  ppm و پروتون حلقه‌ی تری‌آزول به صورت یکتایی در  $8/30$  ppm با سطح زیر پیک یک پروتون ظاهر شده است.

در طیف  $^{13}\text{CNMR}$  این ترکیب (طیف شماره ۷۹) که در حلال کلروفرم دوتره گرفته شده است، پیک‌های مربوط به کربن آلیفاتیک در  $61/34$  ppm ظاهر شده است و پیک مربوط به کربن‌های آروماتیک به ترتیب در  $114/77$ ،  $117/69$ ،  $114/77$ ،  $125/98$ ،  $124/27$ ،  $125/29$ ،  $124/16$ ،  $128/57$ ،  $127/08$ ،  $125/16$ ،  $133/64$ ،  $136/13$ ،  $142/17$ ،  $143/59$ ،  $148/51$ ،  $152/09$ ،  $155/17$  و  $167/62$  ppm قابل مشاهده است. مجموعاً ۱۷ پیک وجود دارد که با تعداد انواع کربن‌ها مطابقت دارد.

طیف IR این ترکیب (طیف شماره ۸۰) که به صورت قرص (KBr) گرفته شده است، جذب کششی مربوط به پیوند C-H تری‌آزول را در  $3100 \text{ cm}^{-1}$ ، جذب کششی پیوند C=C را در  $1400 \text{ cm}^{-1}$  و  $1610$ ، جذب کششی مربوط به گروه NO<sub>2</sub> را در  $1335 \text{ cm}^{-1}$  و  $1525$  و جذب کششی C-O در  $1100 \text{ cm}^{-1}$

نشان می دهد.

۲-کلرو-N-((۱-نیتروفنیل)-H۱-۳،۲،۱-تری آزول-۴-ایل)متیل)کینازولین-۴-آمین

(۳۳۹a)

در طیف  $^1\text{H}$ NMR این ترکیب (طیف شماره ۸۱) که در حلal DMSO گرفته شده است، پروتون‌های گروه متیلن به صورت دوتایی با سطح زیر پیک دو پروتون و ثابت جفت‌شدن Hz ۴/۴۰ در ppm ۴/۸۷، پروتون موقعیت ۶ حلقه‌ی کینازولین به صورت چندتایی و سطح زیر پیک یک پروتون در ppm ۷/۳۵-۷/۴۰ و پروتون‌های موقعیت ۷ و ۸ حلقه‌ی کینازولین با سطح زیر پیک دو پروتون به صورت چندتایی در ppm ۷/۶۷-۷/۵۵ دیده می‌شود. پروتون موقعیت ۲ استخلاف فنیل به صورت دوتایی با سطح زیر پیک دو پروتون و ثابت جفت‌شدن Hz ۹/۰۲ ppm در ۸/۱۴ ppm در ۸/۱ Hz و پروتون موقعیت دوتایی با سطح زیر پیک یک پروتون و ثابت جفت‌شدن Hz ۸/۳ در ۸/۳۲ ppm مشاهده می‌شود. پروتون حلقه‌ی تریآزول به صورت یکتایی با سطح زیر پیک یک پروتون در ppm ۸/۵۲ و پروتون NH با سطح زیر پیک یک پروتون در ppm ۹/۰۲ ظاهر شده است.

در طیف  $^{13}\text{CNMR}$  این ترکیب (طیف شماره ۸۲) که در حلal DMSO گرفته شده است، پیک‌های مربوط به کربن آلیاتیک در ppm ۳۶/۶۵ ظاهر شده است و پیک مربوط به کربن‌های آروماتیک به ترتیب در ۱۱۴/۱۲، ۱۲۰/۹۶، ۱۲۲/۳۵، ۱۲۳/۷۲، ۱۲۶/۰۳، ۱۲۶/۷۱، ۱۲۷/۱۶، ۱۲۶/۲۶، ۱۳۴/۲۶، ۱۴۱/۳۱، ۱۴۱/۵۴، ۱۴۶/۱۲، ۱۴۷/۱۰ و ۱۵۰/۸۴ قابل مشاهده است. مجموعاً ۱۵ پیک وجود دارد که با تعداد انواع کربن‌ها مطابقت دارد.

-۲-کلرو-N-(۱)-۴-کلرو-۳-نیتروفنیل)-H1-۳،۲،۱-تری آزول-۴-ایل(متیل)کینازولین-

٤- آمین (۳۳۹b)

در طیف  $^1\text{HNMR}$  این ترکیب (طیف شماره ۸۳) که در حلول DMSO گرفته شده است، پروتون‌های گروه متیلن به صورت یکتاپی با سطح زیر پیک دو پروتون در ۴/۹۸ ppm، پروتون موقعیت ۶ حلقه‌ی کینازولین به صورت چندتاپی و سطح زیر پیک یک پروتون در ۷/۶۰ ppm، پروتون موقعیت ۵ استخلاف فنیل به صورت دوتاپی و سطح زیر پیک یک پروتون با ثابت جفت‌شدن ۷/۵ Hz در ۷/۶۷ ppm دیده می‌شود. پروتون موقعیت ۷ حلقه‌ی کینازولین به صورت چندتاپی و سطح زیر پیک یک پروتون در ۷/۸۱-۷/۸۴ ppm، پروتون موقعیت ۸ حلقه‌ی کینازولین به صورت دوتاپی با سطح زیر پیک یک پروتون و ثابت جفت‌شدن ۸/۴ Hz در ۸/۱ ppm و پروتون‌های موقعیت ۷ حلقه‌ی کینازولین و پروتون موقعیت ۶ استخلاف فنیل که با یکدیگر همپوشانی کرده‌اند به صورت چندتاپی در ۸/۲۸-۸/۳۳ ppm مشاهده می‌شود. پروتون موقعیت ۲ استخلاف فنیل به صورت یکتاپی با سطح زیر پیک یک پروتون در ۸/۶۸ ppm، پروتون حلقه‌ی تریآزول در ۸/۸۹ ppm سطح زیر پیک یک پروتون به صورت یکتاپی و پروتون NH با سطح زیر پیک یک پروتون در ۹/۳۸ ppm ظاهر شده است.

در طیف  $^{13}\text{CNMR}$  این ترکیب (طیف شماره ۸۴) که در حلول DMSO گرفته شده است، پیک‌های مربوط به کربن آلیفاتیک در ۳۶/۶۴ ppm ظاهر شده است و پیک مربوط به کربن‌های آروماتیک به ترتیب در ۱۳۷/۵۵، ۱۳۵/۹۷، ۱۳۲/۰۵، ۱۲۷/۰۷، ۱۲۸/۵۷، ۱۲۶/۷۸، ۱۲۴/۳۱، ۱۲۳/۷۹، ۱۱۴/۸۰، ۱۱۵/۴۵ در دارد. مجموعاً ۱۶ پیک وجود دارد که با تعداد انواع کربن‌ها مطابقت دارد.

## ۲-۲۵- تریآزولهای متصل شده باکتری خاصیت ضد

### به کینازولین

با توجه به خواص دارویی گزارش شده برای تریآزولها، خاصیت ضد باکتری ترکیبات سنتز شده مورد بررسی قرار گرفت. بر این اساس، خاصیت ضد باکتریایی ترکیبات ۳،۲،۱-تریآزول متصل به کینازولین، علیه باکتری‌های گرم مثبت و گرم منفی مورد مطالعه قرار گرفت. باکتری‌های میکروکوکوس لوتئوس، سودوموناس آئروژینوزا و باسیلوس سابتیلیس به عنوان باکتری‌های نمونه در نظر گرفته شدند. DMSO به عنوان کنترل گر منفی و پنی‌سیلین به عنوان کنترل گر مثبت استفاده گردید. نتایج به دست آمده در جدول ۲-۱۵ گزارش شده اند.

همان‌طور که مشاهده می‌شود، هیچ‌یک از ترکیبات علیه باکتری سودوموناس آئروژینوزا فعال نمی‌باشند. ترکیب ۳۳۸d بیشترین فعالیت را علیه باکتری باسیلوس سابتیلیس و ترکیب ۳۳۸a بیشترین فعالیت را علیه میکروکوکوس لوتئوس دارا هستند. ترکیب ۳۳۸c فقط علیه باکتری میکروکوکوس لوتئوس خاصیت ضد باکتریایی دارد.

جدول ۱۵-۲: فعالیت ضد باکتریایی ۱،۲،۳-تری آزول های متصل به کینازولین (۱۰۰۰ میکرو گرم/لیتر) به عنوان هاله

عدم رشد در مقیاس نانومتر

ترکیب	ب. سابتیلیس	م. لوئیوس	س. آئروژینوزا
۳۳۸a	۸	۸	۸
۳۳۸b	۷	۱۰	۸
۳۳۸c	۸	۸	۷
۳۳۸d	۷	۸	-
۳۳۸e	۸	۹	-
۳۳۵a	۸	۱۰	-
۳۳۵b	۷	۹	-
DMSO	-	-	-
Penicillin G	۲۵	۵۵	-



## فصل سوم

بخش تجربی

## ۳- بخش تجربی

### ۱-۱- دستگاه‌ها

رزو نانس مغناطیسیس هسته‌ای  $^1\text{H}$ NMR با میدان ۳۰۰ MHz و  $^{13}\text{C}$ NMR با قدرت ۷۵ MHz در بخش آنالیز دستگاهی پژوهشکده بوعلی مشهد و رزو نانس مغناطیسیس هسته‌ای  $^1\text{H}$ NMR با میدان ۴۰۰ MHz در بخش آنالیز دستگاهی دانشگاه کاشان مورد استفاده قرار گرفته‌اند. چند گانگی رزو نانس مغناطیسیس هسته‌ای به صورت یک تایی (s)، دوتایی (d)، سه تایی (t)، چندتایی (m) مشخص شده‌اند. از (TMS) به عنوان استاندارد داخلی استفاده شده است.

طیف‌های مادون قرمز (IR)، با استفاده از دستگاه IR Spectrometer 470 Schimadzu ثبت شده‌اند. طیف‌های ترکیبات به صورت قرص KBr گرفته شده است. فرکانس‌های ارتعاشی در واحد عدد موجی ( $\text{cm}^{-1}$ ) می‌باشند.

نقاط ذوب ترکیبات با استفاده از دستگاه Bamstead / Electrothermal اندازه‌گیری شده است. داده‌های مربوط به طیف جرمی توسط دستگاه 5975C spectrometer manufactured by Agilent Technologies company

داده‌های مربوط به خواص ضد باکتری و ضد اکسیدانت در آزمایشگاه آنالیز آب و بیوتکنولوژی شرکت کاوشگران طبیعت پاک رشت انجام شده است.

### ۲-۲- مواد اولیه

مواد اولیه شیمیایی از شرکت‌های تجاری اکروس، فلوکا و مرک خریداری شده و بدون خالص‌سازی مورد استفاده قرار گرفته و حللاً‌ها از شرکت‌های داخلی تهیه شده است. پیشرفت واکنش‌ها توسط

کروماتوگرافی لایه نازک (TLC) با استفاده از صفحه‌های سیلیکاژل کنترل شد و ترکیبات توسط تابش‌دهی با نور مأوراء بنفش (UV) و یا بوسیله نشر با بخارات ید مشاهده شدند. فرآورده‌های تهیه شده توسط کروماتوگرافی ستون خالص سازی شدند.

### ۳-۳-۲- تهیه پیرولو[۱-a]کینوکسالین‌ها

#### ۳-۳-۱- سنتز ۲-کلرو-۳-آمینو کینوکسالین

مخلوطی از ۳،۲-دیکلرو کینوکسالین (۱ mmol، ۰/۲ g) و آمین نوع دوم (۲ mmol) در استونیتریل (۵ mL) به مدت ۵ ساعت رفلaks گردید. پیشرفت واکنش به وسیله کروماتوگرافی لایه نازک (TLC<sup>۱</sup>) دنبال شد و پس از اتمام واکنش حلال حذف گردید. رسوب حاصل توسط آب (۳×۵ mL) شست و شو شد و بدون نیاز به خالص‌سازی بیشتر در مرحله بعد مورد استفاده قرار گرفت [۱۲۰].

#### ۳-۳-۲- سنتز ۲-کلرو-۳-آلکوکسی کینوکسالین

مخلوطی از سدیم (۱ mmol، ۰/۲۳ g) و الكل (۳ mL) به مدت پانزده دقیقه در دمای اتاق به همزدھ شد. سپس ۳،۲-دیکلرو کینوکسالین (۱ mmol، ۰/۱۹ g) به آن افزوده شد. پیشرفت واکنش به وسیله کروماتوگرافی لایه نازک (TLC) دنبال شد و پس از اتمام واکنش و حذف حلال رسوب حاصل با آب (۳×۵ mL) شست و شو گردید و بدون نیاز به خالص‌سازی بیشتر در مرحله بعد مورد استفاده قرار گرفت [۱۲۱].

#### ۳-۳-۴- سنتز ۱،۲-دو استخلافی پیرولو[۱-a]کینوکسالین

مخلوطی از ۲-کلرو-۳-استخلافی کینوکسالین (۱ mmol)، آمین نوع دوم (۳ mmol)

<sup>۱</sup> Thin Layer Chromatography

و  $0.029\text{ g}$ ,  $0.1\text{ mmol}$ ) SDS,  $(0.019\text{ g}$ ,  $0.1\text{ mmol}$ ) CuI,  $(0.036\text{ g}$ ,  $0.05\text{ mmol}$ ) Pd( $\text{Ph}_3\text{P}$ )<sub>2</sub>Cl<sub>2</sub> پتاسیم کربنات ( $0.0414\text{ g}$ ,  $3\text{ mmol}$ ) در حلول آب ( $5\text{ mL}$ ) و دمای اتاق زیر جو آرگون به همزده شد. سپس پروپارژیل الکل ( $0.067\text{ g}$ ,  $1/2\text{ mmol}$ ) به آن افزوده شد و مخلوط واکنش در دمای  ${}^{\circ}\text{C}$   $80$  به مدت  $18$  ساعت حرارت داده شد. بعد از اتمام واکنش و حذف حلول، رسوب حاصل با آب ( $3 \times 5\text{ mL}$ ) شسته شد و خشک گردید. محصول خالص توسط کروماتوگرافی ستون (سیلیکاژل) با استفاده از حلول شوینده کلروفرم/متانول ( $1:99$ ) به دست آمد.

**(۳۲۵a) [a-کینوکسالین-۱،۲-پیرولو[۴،۱-دی]مورفولین-۴-ایل]**

نقطه‌ی ذوب:  $133-135\text{ }^{\circ}\text{C}$       بهره‌ی واکنش:  $87\%$

Yellow solid;  $^1\text{H}$  NMR (400 MHz, CDCl<sub>3</sub>):  $\delta$  2.92-3.05 (m, 4H), 3.67-4.03 (m, 12H), 6.38 (d,  $J = 4.4\text{ Hz}$ , 1H), 6.71 (d,  $J = 4.4\text{ Hz}$ , 1H), 7.25-7.46 (m, 2H), 7.67 (d,  $J = 7.6\text{ Hz}$ , 1H), 9.05 (d,  $J = 7.6\text{ Hz}$ , 1H);  $^{13}\text{C}$  NMR (75 MHz, CDCl<sub>3</sub>):  $\delta$  49.24, 52.85, 66.80, 66.80, 67.02, 101.10, 105.53, 115.96, 116.92, 123.62, 124.84, 127.36, 127.63, 136.90, 153.54; IR (KBr): 2950, 2840, 1610, 1500, 1120 cm<sup>-1</sup>.

**(۳۲۵b) [a-کینوکسالین-۱،۲-پیرولو[۱-ایل-۴-ایل]پیریدین]**

نقطه‌ی ذوب:  $116-117\text{ }^{\circ}\text{C}$       بهره‌ی واکنش:  $65\%$

Yellow solid;  $^1\text{H}$  NMR (400 MHz, CDCl<sub>3</sub>):  $\delta$  1.63-2.05 (m, 6H), 2.94-3.00 (m, 2H), 3.16-3.19 (m, 2H), 3.61-3.79 (m, 4H), 3.90-4.01 (m, 4H), 6.35 (d,  $J = 4.0\text{ Hz}$ , 1H), 6.72 (d,  $J = 4.0\text{ Hz}$ , 1H), 7.20-7.31 (m, 2H), 7.64-7.73 (m, 1H), 9.03 (d,  $J = 7.6\text{ Hz}$ , 1H);  $^{13}\text{C}$  NMR (75 MHz, CDCl<sub>3</sub>):  $\delta$  25.13, 26.17, 49.83, 52.88, 66.82, 100.87, 105.66, 115.90, 117.34, 122.97, 124.72, 126.98, 127.44, 137.27, 142.78, 154.11; IR (KBr): 2940, 2850, 1600, 1510, 1100 cm<sup>-1</sup>.

**(۳۲۵c) [a-کینوکسالین-۱،۲-پیرولو[۱-ایل-۴،۱-دی]پیریدین]**

نقطه‌ی ذوب: ۱۱۹-۱۲۰ °C

بهره‌ی واکنش:٪/۷۱

Light brown solid;  $^1\text{H}$  NMR (400 MHz,  $\text{CDCl}_3$ ):  $\delta$  1.95-2.10 (m, 12H), 2.91-2.97 (m, 2H), 3.16-3.19 (m, 2H), 3.93-3.99 (m, 4H), 6.33 (d,  $J = 4.0$  Hz, 1H), 6.79 (d,  $J = 4.4$  Hz, 1H), 7.07-7.11 (m, 1H), 7.22-7.30 (m, 1H), 7.47-7.54 (m, 1H), 9.01 (d,  $J = 8.4$  Hz, 1H);  $^{13}\text{C}$  NMR (75 MHz,  $\text{CDCl}_3$ ):  $\delta$  24.07, 25.17, 25.78, 26.22, 49.90, 53.84, 100.41, 105.74, 116.21, 116.87, 122.87, 124.49, 126.69, 127.72, 137.09, 144.58, 154.17; IR (KBr): 2930, 2850, 1615, 1510, 1490  $\text{cm}^{-1}$ .

(۳۲۵d): (۴-مورفولین-۴-ایل)-۱-(پای‌پیریدین-۱-ایل)پیرولو[۱،۲-a]کینوکسالین

نقطه‌ی ذوب: ۱۳۳-۱۳۵ °C

بهره‌ی واکنش:٪/۶۸

Brown solid;  $^1\text{H}$  NMR (300 MHz,  $\text{CDCl}_3$ ):  $\delta$  1.82-1.95 (m, 6H), 2.62-2.70 (m, 2H), 3.28-3.36 (m, 2H), 3.71-3.72 (m, 2H), 3.91-3.92 (m, 2H), 6.33 (d,  $J = 3.6$  Hz, 1H), 6.71 (d,  $J = 3.9$  Hz, 1H), 7.26-7.34 (m, 2H), 7.66-7.68 (m, 1H), 9.06 (d,  $J = 7.8$  Hz, 1H);  $^{13}\text{C}$  NMR (75 MHz,  $\text{CDCl}_3$ ):  $\delta$  24.04, 25.75, 49.28, 53.80, 67.06, 100.59, 105.47, 116.26, 116.46, 123.47, 124.59, 127.07, 127.90, 136.82, 144.71, 153.64; IR (KBr): 2950, 2850, 1615, 1520, 1105  $\text{cm}^{-1}$ .

(۳۲۵e): (۱-پای‌پیریدین-۱-ایل)-۴-(پیرولیدین-۱-ایل)پیرولو[۱،۲-a]کینوکسالین

نقطه‌ی ذوب: ۱۲۱-۱۲۲ °C

بهره‌ی واکنش:٪/۷۰

Yellow solid;  $^1\text{H}$  NMR (300 MHz,  $\text{CDCl}_3$ ):  $\delta$  1.90-1.94 (m, 10H), 2.84 (m, 2H), 3.06-3.10 (m, 2H), 3.81-3.87 (m, 4H), 6.23 (d,  $J = 4.5$  Hz, 1H), 6.81 (d,  $J = 4.6$  Hz, 1H), 6.97-7.03 (m, 1H), 7.12-7.20 (m, 1H), 7.47 (d,  $J = 7.5$  Hz, 1H), 8.90-8.94 (m, 1H);  $^{13}\text{C}$  NMR (75 MHz,  $\text{CDCl}_3$ ):  $\delta$  25.59, 40.61, 45.81, 49.15, 52.65, 100.52, 106.87, 115.93, 116.88, 121.06, 124.89, 125.50, 126.36, 138.13, 143.05, 150.05.

(۳۲۵f): متوكسي-۱-(مورفولين-۴-ایل)پیرولو[۱،۲-a]کینوکسالین

نقطه‌ی ذوب: ۱۱۶-۱۱۸°C

٪/۷۵ بهره‌ی واکنش:

Light brown solid;  $^1\text{H}$  NMR (300 MHz,  $\text{CDCl}_3$ ):  $\delta$  2.85-2.92 (m, 2H), 3.06-3.10 (m, 2H), 3.60-3.81 (m, 4H), 3.88 (s, 3H), 6.28 (d,  $J = 3.6$  Hz, 1H), 6.61 (d,  $J = 3.9$  Hz, 1H), 7.15-7.25 (m, 2H), 7.56-7.59 (m, 1H), 8.96 (d,  $J = 7.8$  Hz, 1H);  $^{13}\text{C}$  NMR (75 MHz,  $\text{CDCl}_3$ ):  $\delta$  52.84, 55.24, 66.60, 101.31, 105.68, 115.76, 116.95, 123.53, 124.95, 127.33, 127.65, 136.85, 143.05, 153.50.

(۳۲۵g) کینوکسالین-[*a*-۲،۱]پیرولو[۴-اکسی-۱-(مورفولین-۴-ایل)]

نقطه‌ی ذوب: ۱۲۳-۱۲۵°C

٪/۷۰ بهره‌ی واکنش:

Dark yellow solid;  $^1\text{H}$  NMR (300 MHz,  $\text{CDCl}_3$ ):  $\delta$  1.17-1.26 (m, 3H), 2.87-2.88 (m, 2H), 3.06-3.10 (m, 2H), 3.55-3.91 (m, 7H), 6.28 (d,  $J = 4.2$  Hz, 1H), 6.62 (d,  $J = 4.2$  Hz, 1H), 7.16-7.24 (m, 1H), 7.30-7.40 (m, 1H), 7.44-7.64 (m, 1H), 8.95 (d,  $J = 8.2$  Hz, 1H);  $^{13}\text{C}$  NMR (75 MHz,  $\text{CDCl}_3$ ):  $\delta$  14.80, 52.80, 66.41, 66.95, 101.14, 105.80, 115.93, 116.98, 123.61, 124.82, 127.20, 127.53, 136.60, 143.12, 153.14; IR (KBr): 2950, 2850, 1610, 1500, 1115  $\text{cm}^{-1}$ .

(۳۲۵h) کینوکسالین-[*a*-۲،۱]پیرولو[۴-اکسی-۱-(پیرولیدین-۴-ایل)]

نقطه‌ی ذوب: ۱۱۹-۱۲۱°C

٪/۷۸ بهره‌ی واکنش:

Yellow solid;  $^1\text{H}$  NMR (300 MHz,  $\text{CDCl}_3$ ):  $\delta$  1.89-1.94 (m, 4H), 2.80-2.88 (m, 2H), 3.06-3.10 (m, 2H), 3.80-3.87 (m, 8H), 6.23 (d,  $J = 4.2$  Hz, 1H), 6.80 (d,  $J = 4.2$  Hz, 1H), 6.97-7.03 (m, 1H), 7.12-7.18 (m, 1H), 7.44-7.47 (m, 1H), 8.91 (d,  $J = 7.8$  Hz, 1H);  $^{13}\text{C}$  NMR (75 MHz,  $\text{CDCl}_3$ ):  $\delta$  25.62, 49.10, 52.68, 66.81, 100.47, 106.66, 115.94, 116.98, 121.01, 124.88, 125.66, 126.41, 138.34, 142.99, 150.14; IR (KBr): 2940, 2850, 1615, 1520, 1110  $\text{cm}^{-1}$ .

### ۴-۳- تهیه پیرولو[۲،۱-*a*]کینولین‌ها

#### ۴-۳-۱- سنتز ۲-کلروکینولین-۳-کربآلدهید

به محلولی از استانیلید (۵ mmol، ۰/۶۸ g) در DMF خشک (۰/۹ g، ۱۵ mmol) در دمای  $^{\circ}\text{C}$  ۰- فسفریل کلراید (۶۰ mmol، ۰/۲۰ g) قطره قطره و به آهستگی اضافه گردید و سپس مخلوط واکنش در دمای  $^{\circ}\text{C}$  ۸۰-۹۰ به مدت ۱۶ ساعت هم زده شد. پس از اتمام واکنش، مخلوط واکنش بر روی یخ ریخته شد و با شدت هم زده شد. رسوب حاصل صاف و توسط آب سرد شست و شو داده شده و پس از خشک شدن در حلal استونیتریل نوبلور گردید. نقطه دوب ترکیب  $^{\circ}\text{C}$  ۱۴۸-۱۵۰ می باشد [۱۲۲].

#### ۴-۳-۲- سنتز آلکیل ۲-کلروکینولین-۳-کربوکسیلات

مخلوطی از ۲-کلروکینولین-۳-کربآلدهید (۰/۹۶ g، ۰/۵ mmol)، پتاسیم کربنات (۳ mmol، ۰/۲۵ g) و ید (۰/۵۱ g، ۲ mmol) در الکل (۳ mL) در دمای اتاق هم زده شد. پیشرفت واکنش با کروماتوگرافی لایه نازک (TLC) دنبال شد. پس از اتمام واکنش، ابتدا حلal حذف گردید و سپس رسوب حاصل با محلول اشباع سدیم سولفات شست و شو داده و صاف گردیده و پس از خشک شدن بدون نیاز به خالص سازی بیشتر در مرحله بعد مورد استفاده قرار گرفت [۱۲۳].

#### ۴-۳-۳- سنتز مشتقات آلکیل ۱-آمینو پیرولو[۲،۱-*a*]کینولین-۴-

##### کربوکسیلات

مخلوطی از آلکیل ۲-کلروکینولین-۳-کربوکسیلات (۱ mmol)،  $\text{Pd}(\text{Ph}_3\text{P})_2\text{Cl}_2$  (۰/۰۵ g، ۰/۰۵ mmol) و تری اتیل آمین (۳ mmol، ۰/۳ g) در حلal استونیتریل (۵ mL) در دمای اتاق و زیر جو

آرگون همزده شد. سپس پروپارژیل الکل ( $1/25$  mmol،  $1/25$  g،  $0/07$  g) به آن اضافه گردید و مخلوط واکنش در  $80^{\circ}\text{C}$  به مدت ۳ ساعت همزده شد. سپس آمین نوع دوم ( $3$  mmol) به آن اضافه گردید و واکنش به مدت ۱۲ ساعت دیگر در همین دما همزده شد. پس از اتمام واکنش ابتدا حلal حذف گردید و رسوب حاصل با آب شست و شو داده شد ( $5 \times 3$  mL). محصول خالص توسط کروماتوگرافی ستون (سیلیکاژل) با استفاده از حلal شوینده کلروفرم حاصل گردید.

### (۳۳۰a): متیل ۲-کلروکینولین-۳-کربوکسیلات

نقطه‌ی ذوب:  $96^{\circ}\text{C}$   
بهره‌ی واکنش:٪.۹۰

Yellow solid;  $^1\text{H}$  NMR (80 MHz, DMSO):  $\delta$  3.9 (s, 3H), 7.1-7.9 (m, 4H), 8.8 (s, 1H).

### (۳۳۰b): اتیل ۲-کلروکینولین-۳-کربوکسیلات

نقطه‌ی ذوب:  $106^{\circ}\text{C}$   
بهره‌ی واکنش:٪.۸۰

Dark yellow solid;  $^1\text{H}$  NMR (300 MHz, DMSO):  $\delta$  1.35 (t,  $J = 7.0$  Hz, 3H,  $\text{OCH}_2\text{CH}_3$ ), 4.42 (q,  $J = 7.0$  Hz, 2H,  $\text{OCH}_2\text{CH}_3$ ), 7.32-7.70 (m, 4H, 4Ar-H), 8.91 (s, 1H, 4-H).

### (۳۳۰c): پروپیل ۲-کلروکینولین-۳-کربوکسیلات

نقطه‌ی ذوب:  $112^{\circ}\text{C}$   
بهره‌ی واکنش:٪.۸۰

Brown solid;  $^1\text{H}$  NMR (300 MHz, DMSO):  $\delta$  1.07 (t,  $J = 7.3$  Hz, 3H), 1.68-1.80 (m, 2H), 4.32 (t,  $J = 6.8$  Hz, 2H), 7.21-7.68 (m, 4H), 8.90 (s, 1H).

### (۳۳۱a): متیل ۱-مورفولینوپیرولو[۴،۲-a]کینولین-۴-کربوکسیلات

نقطه‌ی ذوب:  $91-92^{\circ}\text{C}$   
بهره‌ی واکنش:٪.۷۷

Light orange solid;  $^1\text{H}$  NMR (300 MHz,  $\text{CDCl}_3$ ):  $\delta$  2.96-3.05 (m, 2H), 3.16-3.20 (m, 2H), 3.92-4.04 (m, 7H), 6.54 (d,  $J = 3.9$  Hz, 1H), 7.23 (d,  $J = 4.2$  Hz), 7.32-7.37 (m, 1H),

7.54-7.60 (m, 1H), 7.71-7.72 (m, 1H), 7.78 (s, 1H), 9.47 (d, 8.7 Hz, 1H);  $^{13}\text{C}$  NMR (75 MHz,  $\text{CDCl}_3$ ):  $\delta$  51.06, 52.01, 65.85, 101.39, 102.34, 115.99, 119.85, 122.52, 122.55, 123.44, 123.75, 128.68, 128.02, 135.32, 140.95, 164.93; IR (KBr): 2928, 1720, 1600  $\text{cm}^{-1}$ .

#### (۳۳۱b): متیل ۱-(پای پیریدین-۱-ایل)پیرولو[۲،۱-a]کینولین-۴-کربوکسیلات

بهره‌ی واکنش:٪۷۵

نقطه‌ی ذوب: ۷۷-۸۰°C

Light orange solid;  $^1\text{H}$  NMR (300 MHz,  $\text{CDCl}_3$ ):  $\delta$  1.69-1.95 (m, 6H), 2.63-2.71 (m, 2H), 3.31-3.35 (m, 2H), 3.99 (s, 3H), 6.48 (d,  $J = 4.2$  Hz, 1H), 7.20 (d,  $J = 3.9$  Hz, 1H), 7.28-7.35 (m, 1H), 7.53-7.58 (m, 1H), 7.66-7.69 (m, 1H), 7.74 (s, 1H), 9.47 (d,  $J = 8.7$  Hz);  $^{13}\text{C}$  NMR (75 MHz,  $\text{CDCl}_3$ ):  $\delta$  23.07, 24.81, 51.00, 52.90, 100.82, 102.15, 116.36, 119.86, 122.29, 125.61, 123.05, 123.30, 127.81, 128.39, 135.57, 142.71, 165.11; IR (KBr): 2920, 1721  $\text{cm}^{-1}$ .

#### (۳۳۱c): متیل ۱-(پیرولیدین-۱-ایل)پیرولو[۲،۱-a]کینولین-۴-کربوکسیلات

بهره‌ی واکنش:٪۷۰

نقطه‌ی ذوب: ۸۵-۸۷°C

Yellow solid;  $^1\text{H}$  NMR (300 MHz,  $\text{CDCl}_3$ ):  $\delta$  1.28-1.45 (m, 4H), 2.70-2.86 (m, 2H), 3.20-3.38 (m, 2H), 3.99 (s, 3H), 6.53 (d,  $J = 3.9$  Hz, 1H), 7.20 (d,  $J = 3.9$  Hz, 1H), 7.31-7.34 (m, 1H), 7.54-7.57 (m, 1H), 7.64-7.69 (m, 1H), 7.74 (s, 1H), 9.22 (d,  $J = 8.7$  Hz, 1H);  $^{13}\text{C}$  NMR (75 MHz,  $\text{CDCl}_3$ ):  $\delta$  24.50, 51.00, 52.08, 100.57, 102.17, 116.34, 119.80, 122.26, 122.69, 123.36, 127.71, 128.32, 129.86, 135.57, 140.23, 166.74.

#### (۳۳۱d): اتیل ۱-مورفولینوپیرولو[۱،۲-a]کینولین-۴-کربوکسیلات

بهره‌ی واکنش:٪۸۱

نقطه‌ی ذوب: ۸۹-۹۰°C

Orange solid;  $^1\text{H}$  NMR (300 MHz,  $\text{CDCl}_3$ ):  $\delta$  1.48 (t,  $J = 7.0$  Hz, 3H), 2.96-3.05 (m, 2H), 3.16-3.20 (m, 2H), 3.92-4.04 (m, 4H), 4.77 (q,  $J = 7.0$  Hz, 2H), 6.54 (d,  $J = 4.2$  Hz, 1H), 7.23 (d,  $J = 4.2$  Hz, 1H), 7.32-7.38 (m, 1H), 7.54-7.60 (m, 1H), 7.70-7.75 (m, 1H), 7.78 (s, 1H), 9.48 (d,  $J = 8.7$  Hz);  $^{13}\text{C}$  NMR (75 MHz,  $\text{CDCl}_3$ ):  $\delta$  14.39, 53.06, 61.09, 68.15, 102.38, 103.38, 117.03, 121.22, 123.55, 124.37, 128.82, 128.99, 129.70, 130.90,

136.33, 141.97, 167.77; IR (KBr): 2940, 1733 cm<sup>-1</sup>.

(۳۳۱e): اتیل ۱-(پای پیریدین-۱-ایل) پیرولو[۲،۱-*a*] کینولین-۴-کربوکسیلات

بهره‌ی واکنش:٪.۷۸

نقطه‌ی ذوب: ۷۹-۸۱°C

Orange solid; <sup>1</sup>H NMR (300 MHz, CDCl<sub>3</sub>): 1.37 (t, *J* = 7.2 Hz, 3H), 1.65-1.80 (m, 6H), 2.51-2.60 (m, 2H), 3.20-3.23 (m, 2H), 4.35 (q, *J* = 7.2 Hz, 2H), 6.37 (d, *J* = 4.2 Hz, 1H), 7.10 (d, *J* = 4.5 Hz, 1H), 7.18-7.23 (m, 1H), 7.41-7.47 (m, 1H), 7.55-7.61 (m, 1H), 7.63 (s, 1H), 9.36 (d, *J* = 8.7 Hz, 1H); <sup>13</sup>C NMR (75 MHz, CDCl<sub>3</sub>): δ 14.15, 25.85, 29.68, 53.94, 61.02, 101.80, 103.17, 117.39, 121.22, 123.31, 167.79, 124.43, 128.77, 129.41, 130.90, 136.58, 143.73, 167.79.

(۳۳۱f): پروپیل ۱-مورفولینوپیرولو[۲،۱-*a*] کینولین-۴-کربوکسیلات

بهره‌ی واکنش:٪.۷۵

نقطه‌ی ذوب: ۹۲-۹۴°C

Orange solid; <sup>1</sup>H NMR (300 MHz, CDCl<sub>3</sub>): 1.11(t, *J* = 7.5 Hz, 3H), 1.85-1.92 (m, 2H), 2.96-3.05 (m, 2H), 3.16-3.20 (m, 2H), 3.92-4.03 (m, 4H), 4.38 (t, *J* = 6.6 Hz, 2H), 6.54 (d, *J* = 4.2 Hz), 7.23 (d, *J* = 4.2 Hz, 1H), 7.32-7.39 (m, 1H), 7.54-7.60 (m, 1H), 7.70-7.75 (m, 1H), 7.78 (s, 1H), 9.48 (d, *J* = 8.7 Hz, 1H); <sup>13</sup>C NMR (75 MHz, CDCl<sub>3</sub>): δ 9.64, 21.12, 52.02, 65.70, 65.86, 101.35, 102.33, 115.99, 120.23, 122.50, 122.62, 123.33, 123.88, 128.67, 129.85, 135.30, 140.93, 164.63.

(۳۳۱g): پروپیل ۱-(پای پیریدین-۱-ایل) پیرولو[۲،۱-*a*] کینولین-۴-کربوکسیلات

بهره‌ی واکنش:٪.۸۰

نقطه‌ی ذوب: ۸۹-۹۱°C

Orange solid; <sup>1</sup>H NMR (300 MHz, CDCl<sub>3</sub>): 1.10 (t, *J* = 7.5 Hz, 3H), 1.47-1.94 (m, 8H), 2.62-2.71 (m, 2H), 3.31-3.46 (m, 2H), 4.36 (t, *J* = 6.6 Hz, 2H), 6.47 (d, *J* = 3.9 Hz, 1H), 7.20 (d, *J* = 4.2 Hz, 1H), 7.29-7.34 (m, 1H), 7.55-7.58 (m, 1H), 7.67-7.71 (m, 1H), 7.78 (s, 1H), 9.47 (d, *J* = 8.7 Hz, 1H); <sup>13</sup>C NMR (75 MHz, CDCl<sub>3</sub>): 10.69, 22.17, 25.68, 29.72, 53.49, 66.67, 68.17, 101.82, 103.19, 117.39, 121.27, 123.31, 123.61, 123.99, 124.45, 128.61, 129.41, 136.58, 143.72, 165.85; IR (KBr): 2925, 1720 cm<sup>-1</sup>.

### ۳-۵-۴- تهیه ۴-استخلافی -۲-کلروکینازولین

#### ۳-۵-۱- سنتز ۴-آلکوکسی -۲-کلروکینازولین

مخلوطی از سدیم (mmol ۱، g ۰/۲۳) و الكل (mL ۳) به مدت پانزده دقیقه در دمای اتاق هم زده شد. سپس ۴-دی کلروکینازولین (mmol ۱، g ۰/۱۹۹) به آن افزوده شد. پیشرفت واکنش به وسیله کروماتوگرافی لایه نازک (TLC) دنبال شد. پس از اتمام واکنش و حذف حلال رسوب حاصل با آب شست و شو (mL ۳×۵) و بدون نیاز به خالص‌سازی بیشتر در مرحله بعد مورد استفاده قرار گرفت [۹۰].

#### ۳-۵-۲- سنتز ۴-آمینو -۲-کلروکینازولین

مخلوطی از ۴-دی کلروکینازولین (mmol ۱، g ۰/۲) و آمین نوع دوم (mmol ۲) در استونیتریل (mL ۳×۵) به مدت پنج ساعت رفلaks گردید. پیشرفت واکنش به وسیله کروماتوگرافی لایه نازک (TLC) دنبال شد و پس از اتمام واکنش، حلال حذف گردید. رسوب حاصل توسط آب شست و شو شد و بدون نیاز به خالص‌سازی بیشتر در مرحله بعد مورد استفاده قرار گرفت [۱۲۴].

#### ۳-۵-۳- سنتز مشتقات ۱،۵-دو استخلافی پیرولو[۱،۲-a]کینازولین

۲-کلروکینازولین‌های استخلافشده (mmol ۱)، آمین نوع دوم (mmol ۳)، Pd(PPh<sub>3</sub>)<sub>2</sub>Cl<sub>2</sub> (mmol ۱)، Et<sub>3</sub>N (mmol ۰/۰۱۹)، CuI (mmol ۰/۰۳۶)، g (۰/۰۵)، g (۰/۰۶۷) در حلول استونیتریل در دمای اتاق زیر جو آرگون به مدت ۱۵ دقیقه هم زده شد. سپس پروپارژیل الكل (mmol ۱/۲)، g (۰/۰۶۷) به آن افزوده شد. مخلوط واکنش در دمای °C ۸۰ مدت ۱۵ ساعت رفلaks گردید. بعد از اتمام واکنش و حذف حلال، رسوب حاصل با آب شسته و خشک گردید. محصول خالص توسط کروماتوگرافی ستون (سیلیکاژل) با استفاده از حلول شویش کلروفرم/متانول (۱:۹۹) به دست آمد.

(۳۳۴a) : ۵-متوكسي-۱-(مورفولين-۴-ايل)پيرولو[۲،۱-*a*]كينازولين

نقطه‌ی ذوب: ۱۴۵-۱۴۷ °C

بهره‌ی واکنش:٪.۷۹

Dark Yellow solid;  $^1\text{H}$  NMR (300 MHz,  $\text{CDCl}_3$ ):  $\delta$  2.45-2.59 (m, 2H,  $\text{NCH}_2$ ), 3.25-3.39 (m, 2H,  $\text{NCH}_2$ ), 3.84-4.05 (m, 7H,  $2\text{OCH}_2$ ,  $\text{OCH}_3$ ), 6.24 (d,  $J = 3.9$  Hz, 1H, CH of pyrrole), 6.64 (d,  $J = 3.9$  Hz, 1H, CH of pyrrole), 7.15-7.38 (m, 2H, Ar-H), 7.65-7.73 (m, 1H, Ar-H), 8.96 (d,  $J = 8.0$  Hz, 1H, 9-H);  $^{13}\text{C}$  NMR (75 MHz,  $\text{CDCl}_3$ ):  $\delta$  52.45, 66.35, 67.27, 100.21, 104.34, 115.27, 122.63, 125.60, 125.88, 127.81, 134.87, 152.54, 163.65, 175.36.

(۳۳۴b) : ۵-متوكسي-۱-(پاي پيريدين-۱-ايل)پيرولو[۲،۱-*a*]كينازولين

نقطه‌ی ذوب: ۱۳۹-۱۴۱ °C

بهره‌ی واکنش:٪.۷۲

Orange solid;  $^1\text{H}$  NMR (300 MHz,  $\text{CDCl}_3$ ):  $\delta$  1.51-1.91 (m, 6H,  $3\text{CH}_2$ ), 2.51-2.58 (m, 2H,  $\text{NCH}_2$ ), 3.21-3.43 (m, 2H,  $\text{NCH}_2$ ), 4.02 (s, 3H,  $\text{OCH}_3$ ), 6.21 (d,  $J = 3.9$  Hz, 1H, CH of pyrrole), 6.63 (d,  $J = 4.1$  Hz, 1H, CH of pyrrole), 7.04-7.21 (m, 1H, Ar-H), 7.31-7.47 (m, 1H, Ar-H), 7.56-7.64 (m, 1H, Ar-H), 8.93 (d,  $J = 8.0$  Hz, 1H, 9-H);  $^{13}\text{C}$  NMR (75 MHz,  $\text{CDCl}_3$ ):  $\delta$  24.71, 25.15, 52.77, 67.12, 99.39, 104.53, 115.14, 121.86, 125.10, 125.48, 127.41, 135.40, 152.54, 163.75, 175.32; IR (KBr): 2944, 2830, 1620, 1505, 1125  $\text{cm}^{-1}$ .

(۳۳۴c) : ۵-اتوكسي-۱-(پاي پيريدين-۱-ايل)پيرولو[۲،۱-*a*]كينازولين

نقطه‌ی ذوب: ۱۳۹-۱۴۱ °C

بهره‌ی واکنش:٪.۸۰

Orange solid;  $^1\text{H}$  NMR (300 MHz,  $\text{CDCl}_3$ ):  $\delta$  1.33 (t,  $J = 7.2$  Hz, 3H,  $\text{CH}_3$ ), 1.60-1.80 (m, 6H,  $3\text{CH}_2$ ), 2.47-2.54 (m, 2H,  $\text{NCH}_2$ ), 3.18-3.22 (m, 2H,  $\text{NCH}_2$ ), 4.44 (q,  $J = 7.1$  Hz, 2H,  $\text{OCH}_2$ ), 6.17 (d,  $J = 4.2$  Hz, 1H, CH of pyrrole), 6.58 (d,  $J = 4.2$  Hz, 1H, CH of pyrrole), 7.10-7.19 (m, 1H, Ar-H), 7.21-7.32 (m, 1H, Ar-H), 7.53-7.61 (m, 1H, Ar-H), 8.91 (d,  $J = 9.0$  Hz, 1H, 9-H);  $^{13}\text{C}$  NMR (75 MHz,  $\text{CDCl}_3$ ):  $\delta$  14.43, 24.87, 25.94, 53.85, 62.36, 100.39, 105.63, 116.21, 122.86, 126.11, 126.76, 127.75, 136.50, 154.22, 162.51, 176.62; IR (KBr): 2950, 2850, 1615, 1510, 1120  $\text{cm}^{-1}$ .

**(۳۳۴d): ۱-(مورفولین-۴-ایل)-۵-پروپوکسیپیرولو[۲،۱-a]کینازولین**

بهره‌ی واکنش:٪.۷۵

نقطه‌ی ذوب: ۱۲۷-۱۲۹ °C

Orange solid;  $^1\text{H}$  NMR (300 MHz,  $\text{CDCl}_3$ ):  $\delta$  0.81 (t,  $J = 7.3$  Hz, 3H,  $\text{CH}_3$ ), 1.58-1.77 (m, 2H,  $\text{CH}_2$ ), 2.44-2.58 (m, 2H,  $\text{NCH}_2$ ), 3.29-3.32 (m, 2H,  $\text{NCH}_2$ ), 3.74-3.92 (m, 4H,  $2\text{OCH}_2$ ), 4.24 (t,  $J = 6.6$  Hz, 2H,  $\text{OCH}_2$ ), 6.18 (d,  $J = 4.2$  Hz, 1H, CH of pyrrole), 6.59 (d,  $J = 4.2$  Hz, 1H, CH of pyrrole); 7.23-7.47 (m, 2H, Ar-H), 7.53-7.65 (m, 1H, Ar-H), 8.93 (d,  $J = 8.1$  Hz, 1H, 9-H);  $^{13}\text{C}$  NMR (75 MHz,  $\text{CDCl}_3$ ):  $\delta$  10.90, 14.76, 52.03, 66.19, 68.26, 100.36, 104.22, 117.89, 121.00, 126.12, 126.42, 128.90, 136.76, 154.19, 163.37, 175.42.

**(۳۳۴e): ۱-(پای‌پیریدین-۱-ایل)-۵-پروپوکسیپیرولو[۲،۱-a]کینازولین**

بهره‌ی واکنش:٪.۶۹

نقطه‌ی ذوب: ۱۲۵-۱۲۶ °C

Brown solid;  $^1\text{H}$  NMR (300 MHz,  $\text{CDCl}_3$ ):  $\delta$  0.82 (t,  $J = 7.3$  Hz, 3H,  $\text{CH}_3$ ), 1.18-1.37 (m, 2H,  $\text{CH}_2$ ), 1.57-1.71 (m, 6H,  $3\text{CH}_2$ ), 2.51-2.59 (m, 2H,  $\text{NCH}_2$ ), 3.22-3.25 (m, 2H,  $\text{NCH}_2$ ), 4.14 (t,  $J = 6.6$  Hz, 2H,  $\text{OCH}_2$ ), 6.21 (d,  $J = 4.2$  Hz, 1H, CH of pyrrole), 6.63 (d,  $J = 4.2$  Hz, 1H, CH of pyrrole), 7.15-7.18 (m, 1H, Ar-H), 7.43-7.47 (m, 1H, Ar-H), 7.55-7.63 (m, 1H, Ar-H), 8.93 (d,  $J = 8.4$  Hz, 1H, 9-H);  $^{13}\text{C}$  NMR (75 MHz,  $\text{CDCl}_3$ ):  $\delta$  10.98, 14.08, 23.76, 25.77, 53.83, 68.16, 100.40, 104.38, 116.19, 122.87, 126.61, 127.68, 128.81, 135.46, 154.11, 165.78, 175.28.

**(۳۳۴f): ۵-بوتوکسی-۱-(پای‌پیریدین-۱-ایل)پیرولو[۲،۱-a]کینازولین**

بهره‌ی واکنش:٪.۷۲

نقطه‌ی ذوب: ۱۱۷-۱۱۹ °C

Orange solid;  $^1\text{H}$  NMR (300 MHz,  $\text{CDCl}_3$ ):  $\delta$  0.85 (t,  $J = 7.4$  Hz, 3H,  $\text{CH}_3$ ), 1.17-1.47 (m, 4H,  $2\text{CH}_2$ ), 1.65-1.79 (m, 6H,  $3\text{CH}_2$ ), 2.51-2.58 (m, 2H,  $\text{NCH}_2$ ), 3.21-3.25 (m, 2H,  $\text{NCH}_2$ ), 4.14 (t,  $J = 6.6$  Hz, 2H,  $\text{OCH}_2$ ), 6.21 (d,  $J = 4.2$  Hz, 1H, CH of pyrrole), 6.62 (d,  $J = 4.0$  Hz, 1H, CH of pyrrole), 7.12-7.18 (m, 1H, Ar-H), 7.44-7.56 (m, 2H, Ar-H), .8.93 (d,

$J = 7.8$  Hz, 1H, 9-H);  $^{13}\text{C}$  NMR (75 MHz,  $\text{CDCl}_3$ ):  $\delta$  10.96, 13.94, 19.34, 24.06, 26.20, 57.34, 68.04, 100.38, 105.69, 116.20, 122.85, 126.66, 127.71, 128.82, 135.05, 154.18, 168.20, 175.18; IR (KBr): 2950, 2850, 1615, 1525, 1110  $\text{cm}^{-1}$ .

#### (۳۳۴g): ۵-بو-توکسی-۱-(مورفولین-۴-ایل)پیرولو[۲،۱-ا]کینازولین

نقطه‌ی ذوب:  $121\text{--}123$  °C  
بهره‌ی واکنش: ٪.۶۵

Orange solid;  $^1\text{H}$  NMR (300 MHz,  $\text{CDCl}_3$ ):  $\delta$  0.82 (t,  $J = 7.4$  Hz, 3H,  $\text{CH}_3$ ), 1.15-1.37 (m, 2H,  $\text{CH}_2$ ), 1.57-1.72 (m, 2H,  $\text{CH}_2$ ), 2.51-2.56 (m, 2H,  $\text{NCH}_2$ ), 3.22-3.57 (m, 2H,  $\text{NCH}_2$ ), 4.14 (t,  $J = 6.6$  Hz, 2H,  $\text{OCH}_2$ ), 6.21 (d,  $J = 4.2$  Hz, 1H, CH of pyrrole), 6.64 (d,  $J = 4.2$  Hz, 1H, CH of pyrrole), 7.17-7.21 (m, 1H, Ar-H), 7.43-7.47 (m, 1H, Ar-H), 7.55-7.64 (m, 1H, Ar-H), 8.93 (d,  $J = 8.1$  Hz, 1H, 9-H);  $^{13}\text{C}$  NMR (75 MHz,  $\text{CDCl}_3$ ):  $\delta$  10.98, 14.08, 19.38, 57.56, 66.75, 68.17, 101.84, 104.14, 116.31, 121.44, 126.43, 126.72, 128.82, 136.36, 155.01, 167.80, 175.83.

#### (۳۳۴h): ۵-دی(مورفولین-۴-ایل)پیرولو[۲،۱-ا]کینازولین

نقطه‌ی ذوب:  $149\text{--}151$  °C  
بهره‌ی واکنش: ٪.۷۵

Yellow solid;  $^1\text{H}$  NMR (400 MHz,  $\text{CDCl}_3$ ):  $\delta$  2.45-2.60 (m, 2H,  $\text{NCH}_2$ ), 3.16-3.18 (m, 2H,  $\text{NCH}_2$ ), 3.33-3.56 (m, 4H, 2 $\text{NCH}_2$ ), 3.68-4.10 (m, 8H, 4 $\text{OCH}_2$ ), 6.38 (d,  $J = 4.0$  Hz, 1H, CH of pyrrole), 6.83 (d,  $J = 4.0$  Hz, 1H, CH of pyrrole), 7.25-7.27 (m, 1H, Ar-H), 7.48-7.50 (m, 1H, Ar-H), 7.65-7.67 (m, 1H, Ar-H), 8.90 (d,  $J = 9.0$  Hz, 1H, 9-H);  $^{13}\text{C}$  NMR (75 MHz,  $\text{CDCl}_3$ ):  $\delta$  52.12, 54.38, 66.25, 64.37, 100.26, 105.31, 115.23, 122.51, 125.37, 126.11, 127.48, 136.05, 152.89, 162.28, 171.23; IR (KBr): 2950, 2850, 1610, 1520, 1115  $\text{cm}^{-1}$ .

#### (۳۳۴i): ۵-متوکسی-۱-(پای‌پیریدین-۱-ایل) پیرولو[۲،۱-ا]کینازولین

نقطه‌ی ذوب:  $145\text{--}147$  °C  
بهره‌ی واکنش: ٪.۷۰

Yellow solid;  $^1\text{H}$  NMR (300 MHz,  $\text{CDCl}_3$ ):  $\delta$  1.61-1.85 (m, 6H, 3 $\text{CH}_2$ ), 2.34-2.49 (m,

2H, NCH<sub>2</sub>), 3.10-3.21 (m, 2H, NCH<sub>2</sub>), 3.61-3.72 (m, 4H, 2NCH<sub>2</sub>), 3.96-4.09 (m, 4H, 2OCH<sub>2</sub>), 6.38 (d, *J* = 4.2 Hz, 1H, CH of pyrrole), 6.75 (d, *J* = 4.2 Hz, 1H, CH of pyrrole), 7.19-7.42 (m, 2H, Ar-H), 7.64-7.69 (m, 1H, Ar-H), 8.86 (d, *J* = 8.0 Hz, 1H, 9-H); <sup>13</sup>C NMR (75 MHz, CDCl<sub>3</sub>): δ 24.84, 25.94, 51.20, 53.37, 66.42, 100.39, 104.83, 115.42, 122.74, 125.53, 126.12, 135.84, 153.07, 161.27, 171.13; IR (KBr): 2950, 2850, 1600, 1510, 1100 cm<sup>-1</sup>.

### ۳-۶-۶- سنتز کینازولین‌های پروپارژیله شده

#### ۳-۶-۱- سنتز ۲-کلرو-۴-(پروپ-۲-اینیل اکسی)کینازولین

مخلوطی از پتاسیم کربنات (mmol ۰/۴۱ g، ۱/۲ mmol و پروپارژیله الكل (g ۰/۰۷) در حلال آب و دمای اتاق به مدت ۳۰ دقیقه به هم زده شد، سپس ۲،۴-دیکلروکینازولین (mmol ۱، g ۰/۱۹) به آن افزوده شد. پیشرفت واکنش به وسیله کروماتوگرافی لایه نازک (TLC) دنبال شد و پس از اتمام واکنش و حذف حلال رسوب حاصل با آب (mL ۳×۵) شست و شو گردید و بدون نیاز به خالص‌سازی بیشتر در مرحله بعد مورد استفاده قرار گرفت.

#### ۳-۶-۲- سنتز ۲-کلرو-۴-(پروپ-۲-اینیل)کینازولین-۴-آمین

مخلوطی از ۴،۲-دیکلروکینازولین (mmol ۱، g ۰/۱۹) و تری اتیل آمین (mmol ۰/۲۰ g، ۲) به مدت ۱۵ دقیقه در حلال THF و دمای اتاق هم زده شد. سپس پروپارژیله آمین (mmol ۱/۲ g، ۰/۰۷) به قطره قطره به آن افزوده شد. پیشرفت واکنش به وسیله کروماتوگرافی لایه نازک (TLC) دنبال شد. پس از اتمام واکنش حلال حذف گردید. رسوب حاصل توسط آب شست و شو شد و بدون نیاز به خالص‌سازی بیشتر در مرحله بعد مورد استفاده قرار گرفت.

### ۳-۶-۷- سنتز مشتقات ۲-کلرو-۴-(۱-استخلافی)-۱-H-۳

#### تری آزول-۴-ایل) متوكسی)کینازولین

مخلوطی از ۲-کلرو-۴-(پروپ-۲-اینیل اکسی)کینازولین (mmol ۱، g ۰/۲۲)، آریل آزید (mmol ۰/۰۲ g، ۰/۰۴)، سدیم اسکوربات (mmol ۰/۰۲ g، ۰/۰۱) در حلال آب/اتانول با (1/۱ mmol) Cu(OAc)<sub>2</sub> در حلال آب/اتانول با

نسبت (1:1) در دمای ۴۰ °C همزده شد. پیشرفت واکنش به وسیله کروماتوگرافی لایه نازک (TLC) دنبال و پس از اتمام رسوبر حاصل صاف و توسط آب (۳×۵ mL) و سپس اتانول (۳×۵ mL) شست و شو شد.

### -۳،۲،۱-*H1*-۱)-استخلافی-۲-کلرو-*N*-مشتقات سنتز -۸-۳

#### تریآزول-۴-ایل(متیل)کینازولین-۴-آمین

مخلوطی از ۲-کلرو-*N*-(پرورپ-۲-اینیل)کینازولین-۴-آمین (۱mmol، ۰/۲۱ g)، آریل آزید (۰/۰۲ mmol) Cu(OAc)<sub>2</sub> (۰/۰۲ g)، سدیم اسکوربات (۰/۰۴ g) و سدیم اسکوربات (۰/۰۱ mmol) در حل آب/اتانول با نسبت (1:1) در دمای ۴۰ °C همزده شد. پیشرفت واکنش به وسیله کروماتوگرافی لایه نازک (TLC) دنبال و پس از اتمام رسوبر حاصل صاف و توسط آب (۳×۵ mL) و سپس اتانول (۳×۵ mL) شست و شو شد.

#### (۳۳۸a): ۲-کلرو-۴-تریآزول-۳،۲،۱-*H1*-۴-ایل(متوکسی)کینازولین

نقطه ذوب: ۱۲۸-۱۲۹ °C  
٪۹۰ بهره واکنش:

Dark Yellow solid; <sup>1</sup>H NMR (300 MHz, CDCl<sub>3</sub>): δ 5.89 (s, 2H, CH<sub>2</sub>), 7.49-7.61 (m, 5H, Ar-H), 7.74-7.78 (m, 1H, Ar-H), 7.87-7.89 (m, 2H, Ar-H), 8.19 (d, *J* = 8.4 Hz, 1H, Ar-H), 8.30 (s, 1H, H-Triazole); <sup>13</sup>C NMR (75 MHz, DMSO): δ 61.50, 114.84, 120.66, 123.94, 124.37, 127.07, 128.58, 129.38, 130.42, 135.98, 143.01, 152.10, 155.20, 167.72.

#### (۳۳۸b): ۲-کلرو-۴-تریآزول-۳،۲،۱-*H1*-۴-نیتروفنیل(ایل)کینازولین

ایل(متوکسی)کینازولین

نقطه ذوب: ۱۸۵-۱۸۷ °C  
٪۹۲ بهره واکنش:

Yellow solid; <sup>1</sup>H NMR (300 MHz, CDCl<sub>3</sub>): δ 5.88 (s, 2H, CH<sub>2</sub>), 7.47-7.52 (m, 1H, Ar-

H), 7.67-7.73 (m, 1H, Ar-H), 7.79-7.80 (m, 2H, Ar-H), 8.09 (d,  $J = 8$  Hz, 2H, Ar-H), 8.25 (d,  $J = 8.1$  Hz, 1H, Ar-H), 8.32 (s, 1H, Ar-H), 8.57 (s, 1H, H-Triazole);  $^{13}\text{C}$  NMR (75 MHz, DMSO):  $\delta$  61.39, 114.80, 115.45, 123.79, 124.31, 126.78, 127.07, 128.57, 132.05, 135.97, 137.55, 143.49, 148.99, 152.10, 155.18, 167.66.

-۴-کلرو-۴-(۱،۲،۳-تریآزول)-۴-نیتروفنیل) (۳۳۸c)

ایل(متوکسی)کینازولین

نقطه‌ی ذوب: ۱۶۵-۱۶۶ °C  
بهره‌ی واکنش:٪.۹۵

Orange solid;  $^1\text{H}$  NMR (300 MHz,  $\text{CDCl}_3$ ):  $\delta$  5.90 (s, 2H,  $\text{CH}_2$ ), 7.50-7.62 (m, 1H, Ar-H), 7.84-7.89 (m, 2H, Ar-H), 8.02 (d,  $J = 14.7$  Hz, 2H, Ar-H), 8.18 (d,  $J = 8.1$  Hz, 2H, Ar-H), 8.43 (d,  $J = 0.9$ , 2H, Ar-H), 8.47 (s, 1H, H-Triazole);  $^{13}\text{C}$  NMR (75 MHz,  $\text{CDCl}_3$ ):  $\delta$  60.47, 114.75, 120.68, 123.16, 125.61, 127.00, 127.62, 135.04, 140.93, 143.61, 147.38, 152.29, 155.27, 167.31.

-۴-کلرو-۴-(۱،۲،۳-تریآزول)-۴-نیتروفنیل) (۳۳۸d)

ایل(متوکسی)کینازولین

نقطه‌ی ذوب: ۱۹۷-۱۹۸ °C  
بهره‌ی واکنش:٪.۸۶

Brown solid;  $^1\text{H}$  NMR (300 MHz,  $\text{CDCl}_3$ ):  $\delta$  5.91 (s, 2H,  $\text{CH}_2$ ), 7.57-7.63 (m, 1H, Ar-H), 7.89-7.90 (m, 2H, Ar-H), 7.98 (d,  $J = 8.7$  Hz, 1H, Ar-H), 8.20 (d,  $J = 8.0$  Hz, 1H, Ar-H), 8.35(d of d,  $J = 11.1$  and 2.4 Hz, 1H, Ar-H), 8.52-8.53 (m, 2H, Ar-H, H-Triazole);  $^{13}\text{C}$  NMR (75 MHz,  $\text{CDCl}_3$ ):  $\delta$  60.46, 114.79, 123.19, 123.93, 126.50, 126.95, 127.03, 127.60, 128.20, 128.80, 135.02, 139.23, 142.52, 148.06, 152.32, 155.31, 167.32; IR (KBr): 3100, 2850, 1600, 1525, 1420, 1335, 1100  $\text{cm}^{-1}$ .

-۴-کلرو-۴-(۱،۲،۳-تریآزول)-۴-نیتروفنیل) (۳۳۸e)

ایل(متوکسی)کینازولین

نقطه‌ی ذوب: ۱۸۰-۱۸۱ °C  
بهره‌ی واکنش:٪.۹۰

Dark Yellow solid; mp 180-181 °C;  $^1\text{H}$  NMR (300 MHz,  $\text{CDCl}_3$ ):  $\delta$  5.79 (s, 2H,  $\text{CH}_2$ ), 7.45-7.51 (m, 1H, Ar-H), 7.68 (d,  $J$  = 8.7 Hz, 1H, Ar-H), 7.75-7.78 (m, 2H, Ar-H), 7.91 (d of d,  $J$  = 11.4 and 2.4 Hz, 1H, Ar-H), 8.06 (d,  $J$  = 8.1 Hz, 1H, Ar-H), 8.27 (d,  $J$  = 2.4 Hz, 1H, Ar-H), 8.30 (s, 1H, H-Triazole);  $^{13}\text{C}$  NMR (75 MHz, DMSO):  $\delta$  61.34, 114.77, 117.69, 124.27, 125.16, 125.29, 127.08, 128.57, 133.64, 135.98, 136.13, 142.17, 143.59, 148.51, 152.09, 155.17, 167.62.

#### -(۳،۲،۱- $H_1$ -تریآزول-۴-ایل)- $N$ -(۱)-(۴-نیتروفنیل)-۲-کلرو-

ـآمین-۴

بهره‌ی واکنش:٪.۹۲

نقطه‌ی ذوب: ۲۵۶-۲۵۷ °C

Brown solid;  $^1\text{H}$  NMR (300 MHz, DMSO):  $\delta$  4.86-4.88 (d, 2H,  $\text{CH}_2$ ), 7.35-7.40 (m, 1H, Ar-H), 7.55-7.67 (m, 2H, Ar-H), 8.02 (d,  $J$  = 9 Hz, 2H, Ar-H), 8.14 (d,  $J$  = 8.1 Hz, 2H, Ar-H), 8.32 (d,  $J$  = 8.3 Hz, 2H, Ar-H), 8.52 (s, 1H, H-Triazole), 9.02 (b, 1H, NH);  $^{13}\text{C}$  NMR (75 MHz, DMSO):  $\delta$  36.65, 114.12, 120.96, 122.35, 123.72, 126.03, 126.71, 127.16, 134.26, 141.31, 146.54, 147.10, 150.84, 157.24, 161.54; IR (KBr): 3300, 3100, 2850, 1600, 1525, 1420, 1335  $\text{cm}^{-1}$ .

#### -(۳،۲،۱- $H_1$ -تریآزول-۴-ایل)- $N$ -(۱)-(۴-نیتروفنیل)-۲-کلرو-

ـآمین-۴-کلرو-(۱)- $N$ -(۳،۲،۱- $H_1$ -تریآزول-۴-ایل)-

بهره‌ی واکنش:٪.۸۸

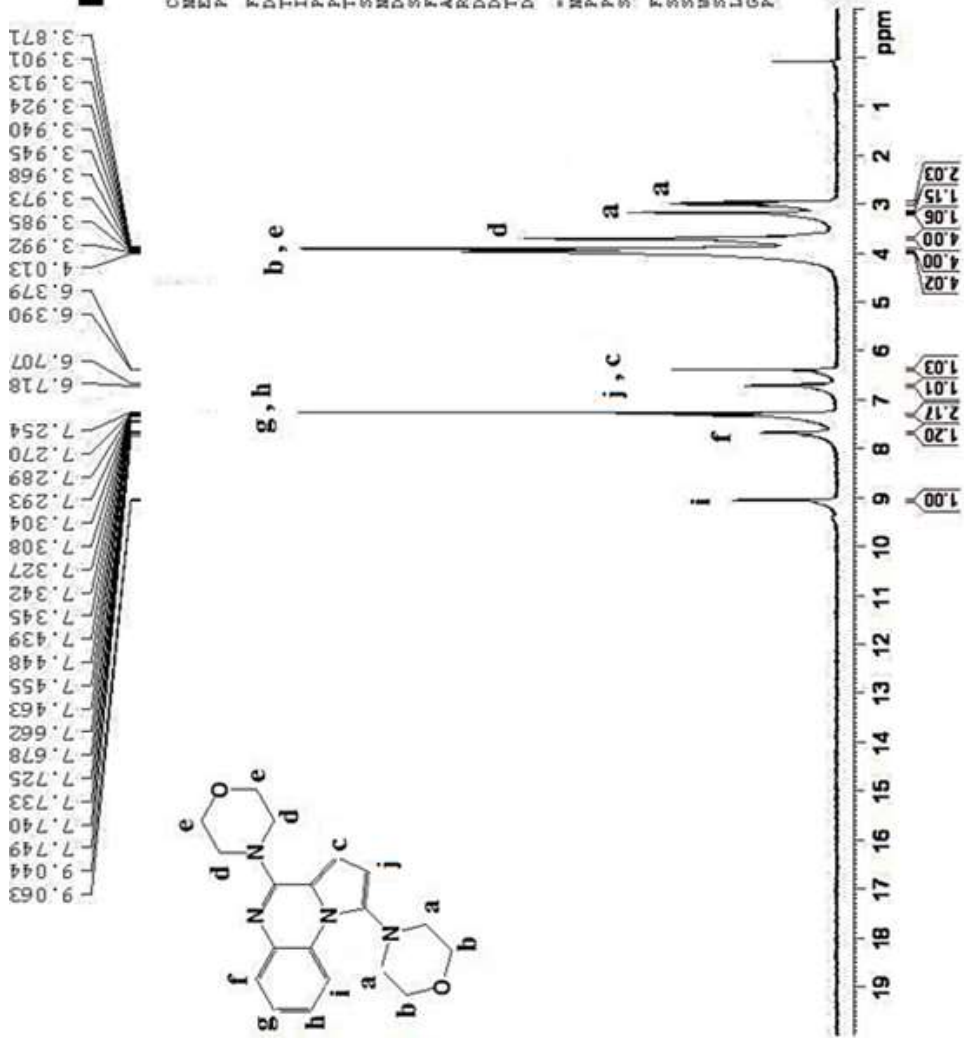
نقطه‌ی ذوب: ۲۵۸-۲۶۰ °C

Light brown solid; mp 256-257 °C;  $^1\text{H}$  NMR (300 MHz, DMSO):  $\delta$  4.91 (d, 2H,  $\text{CH}_2$ ), 7.58-7.60 (m, 1H, Ar-H), 7.67 (d,  $J$  = 7.5 Hz, 1H, Ar-H), 7.81-7.84 (m, 2H, Ar-H), 8.01 (d,  $J$  = 8.4 Hz, 1H, Ar-H), 8.28-8.33 (m, 2H, Ar-H), 8.86 (s, 1H, Ar-H), 8.30 (s, 1H, H-Triazole), 9.38 (b, 1H, NH);  $^{13}\text{C}$  NMR (75 MHz, DMSO):  $\delta$  36.64, 114.80, 115.45, 123.79, 124.31, 126.78, 127.07, 128.57, 132.05, 135.97, 137.55, 143.49, 148.99, 152.10, 155.18, 167.66.



پیوست‌ها

**BRUKER**





Current Data Parameters

NAME Shalroud\_U  
EXPNO 27  
PROCNO 1

F2 - Acquisition Parameters

Date\_ 20160113  
Time\_ 12:03  
INSTRUM spect  
PROBHD 5 mm PABBO BB-  
PULPROG x90930  
TD 65336  
SOLVENT CDCl3  
NS 544  
DS 4  
SWH 18115.941 Hz  
FIDRES 0.276627 Hz  
AQ 1.60067935 sec  
RG 202  
DW 27.600 usec  
DE 6.50 usec  
TE 0 K  
D1 2.0000000 sec  
D11 0.0300000 sec  
TDD 1

===== CHANNEL f1 =====

SP01 75.6554892 MHz  
NUC1 13C  
P1 10.00 usec  
PLW1 30.00000000 N

===== CHANNEL f2 =====

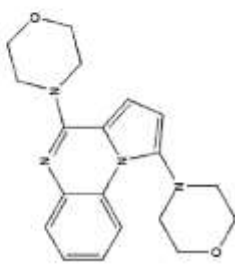
SP02 330.8477518 MHz  
NUC2 1H  
CPDPG12 waltz16  
PCPD2 90.00 usec  
PLW2 6.40000010 N  
PLW12 0.17778200 N  
PLW13 0.14399999 N

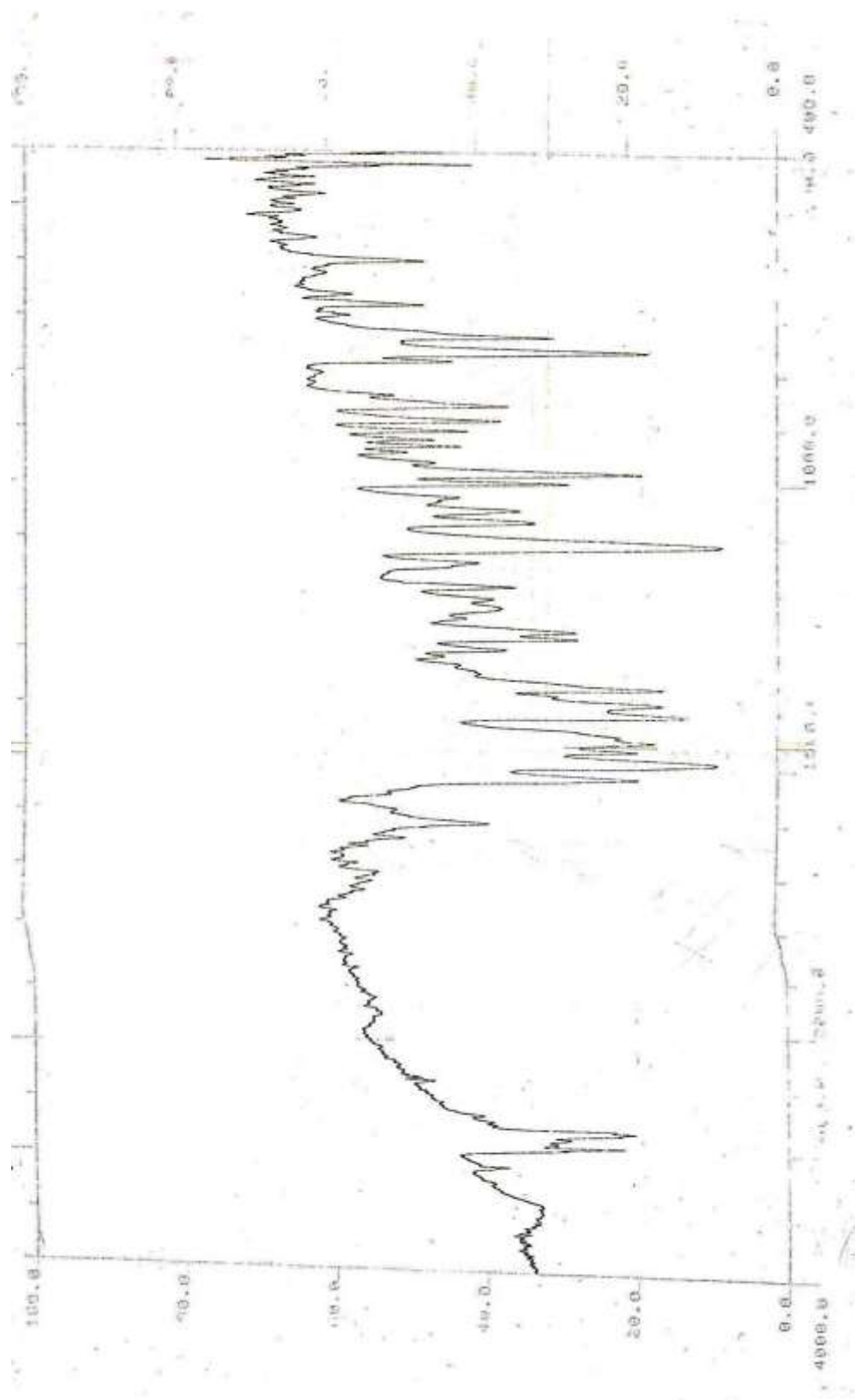
F2 - Processing parameters

S1 32768  
SF 75.6479250 MHz  
WDW 0 EM  
LB 1.00 Hz  
GB 0  
PC 1.40

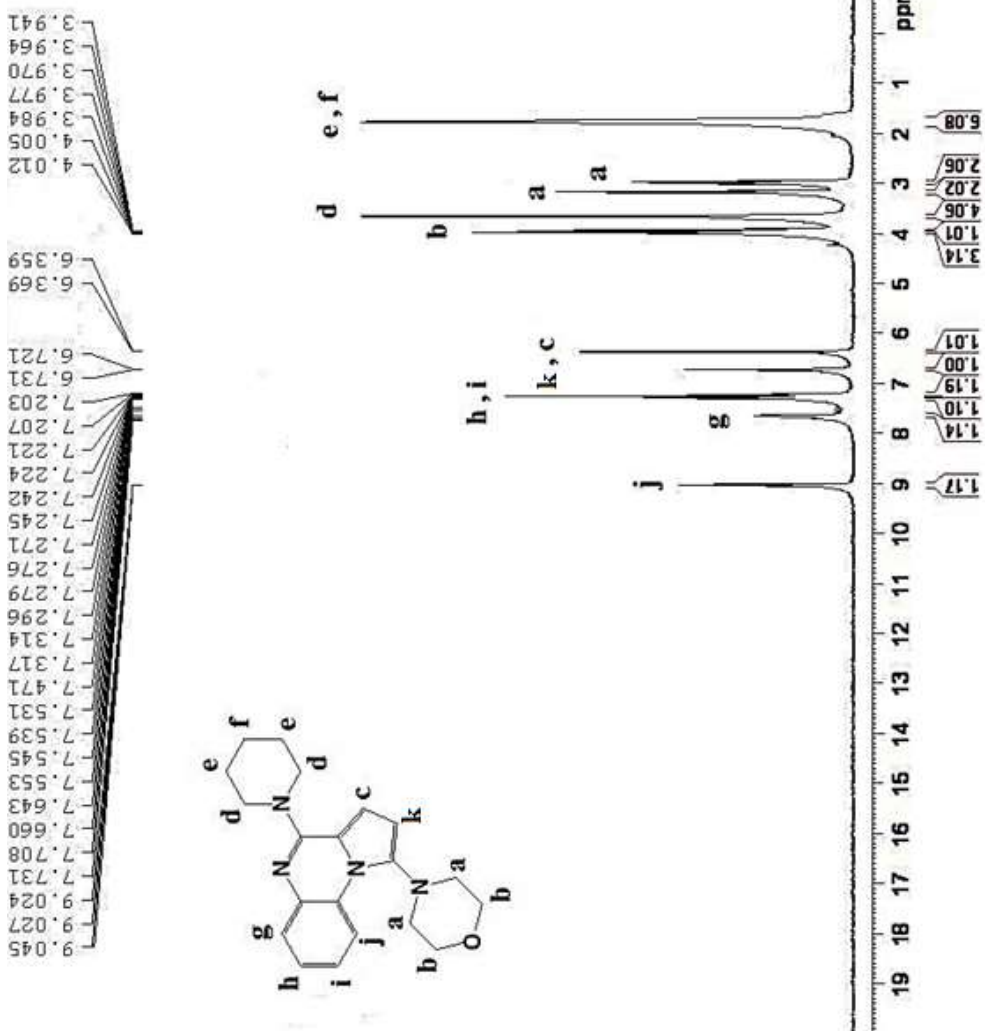
ppm

— 49.24 —  
— 52.85 —  
— 66.80 —  
— 67.02 —  
— 67.66 —  
— 77.00 —  
— 77.50 —  
— 101.10 —  
— 105.53 —  
— 115.96 —  
— 116.92 —  
— 122.62 —  
— 124.84 —  
— 127.36 —  
— 127.63 —  
— 136.90 —  
— 142.99 —  
— 153.54 —



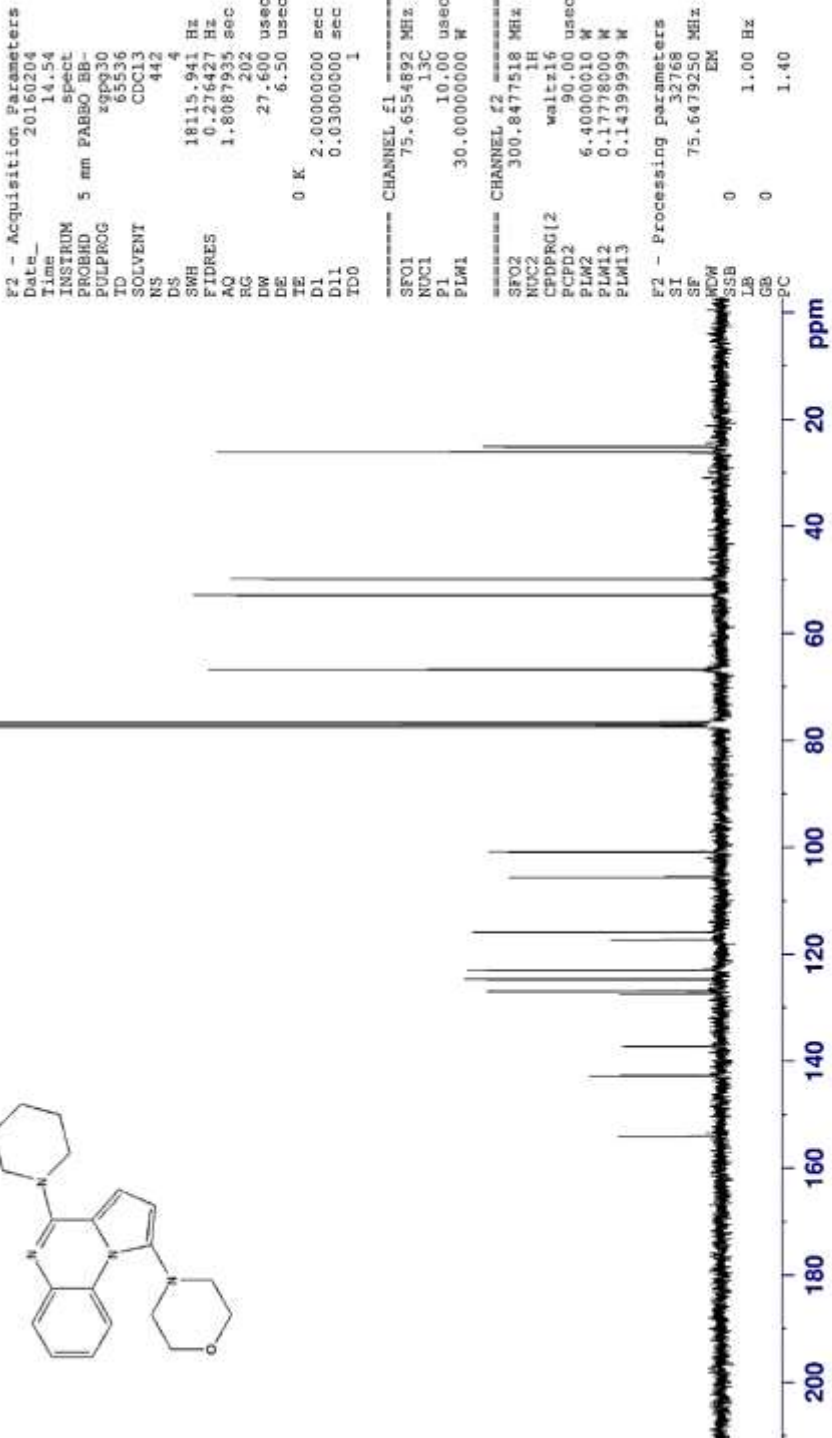


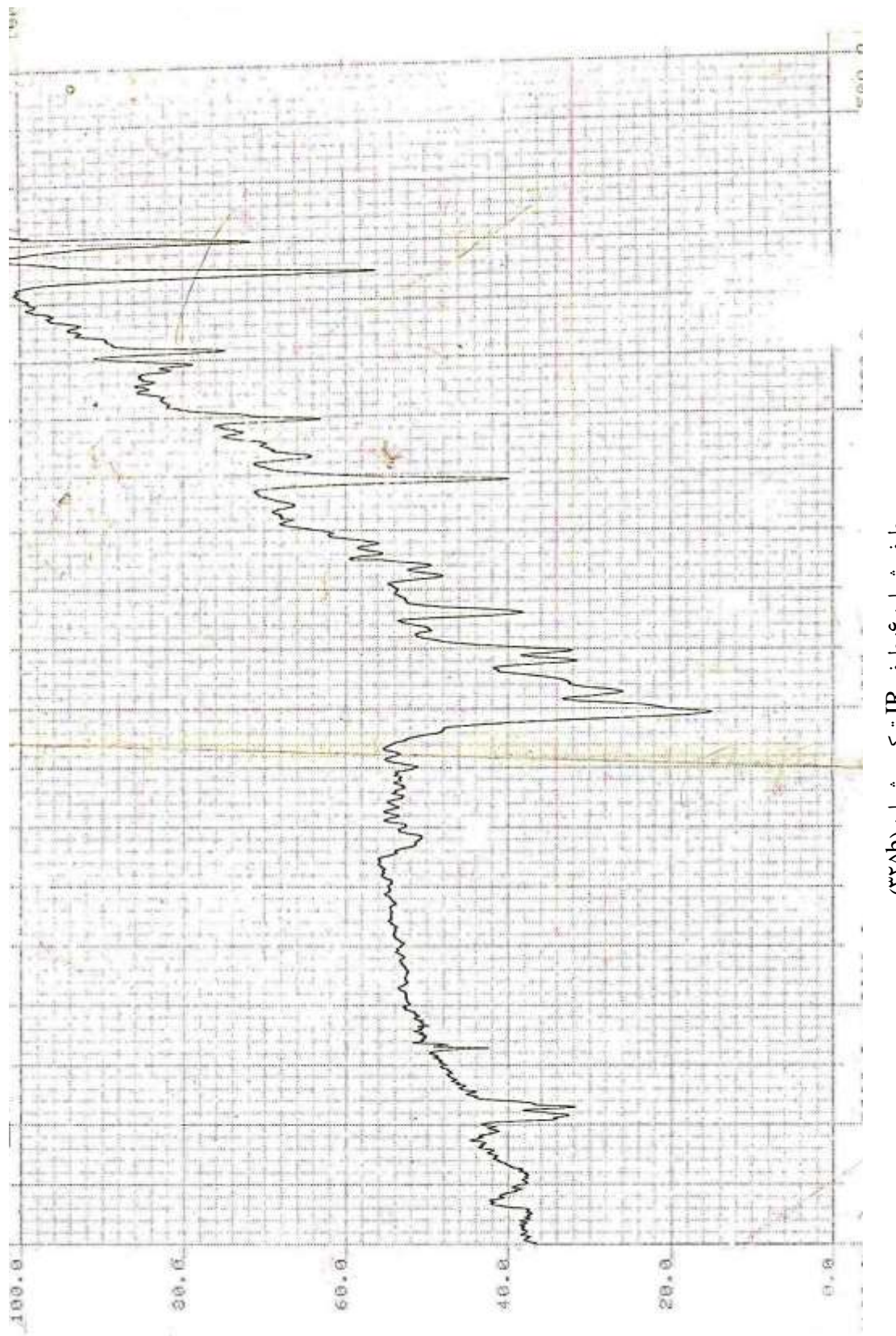
**BRUKER**



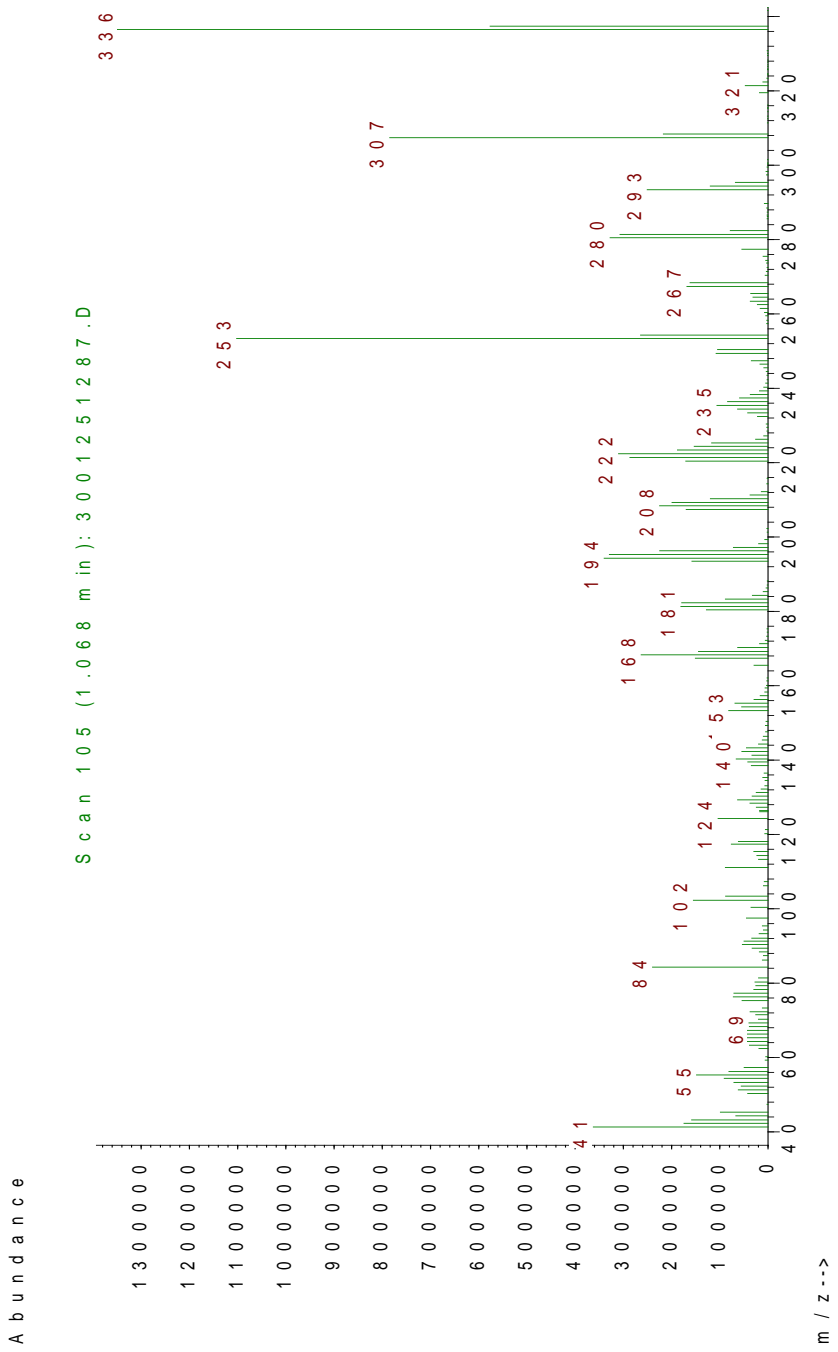


Current Data Parameters  
NAME Shahroud\_U  
EXPTNO 18  
PROCNO 1



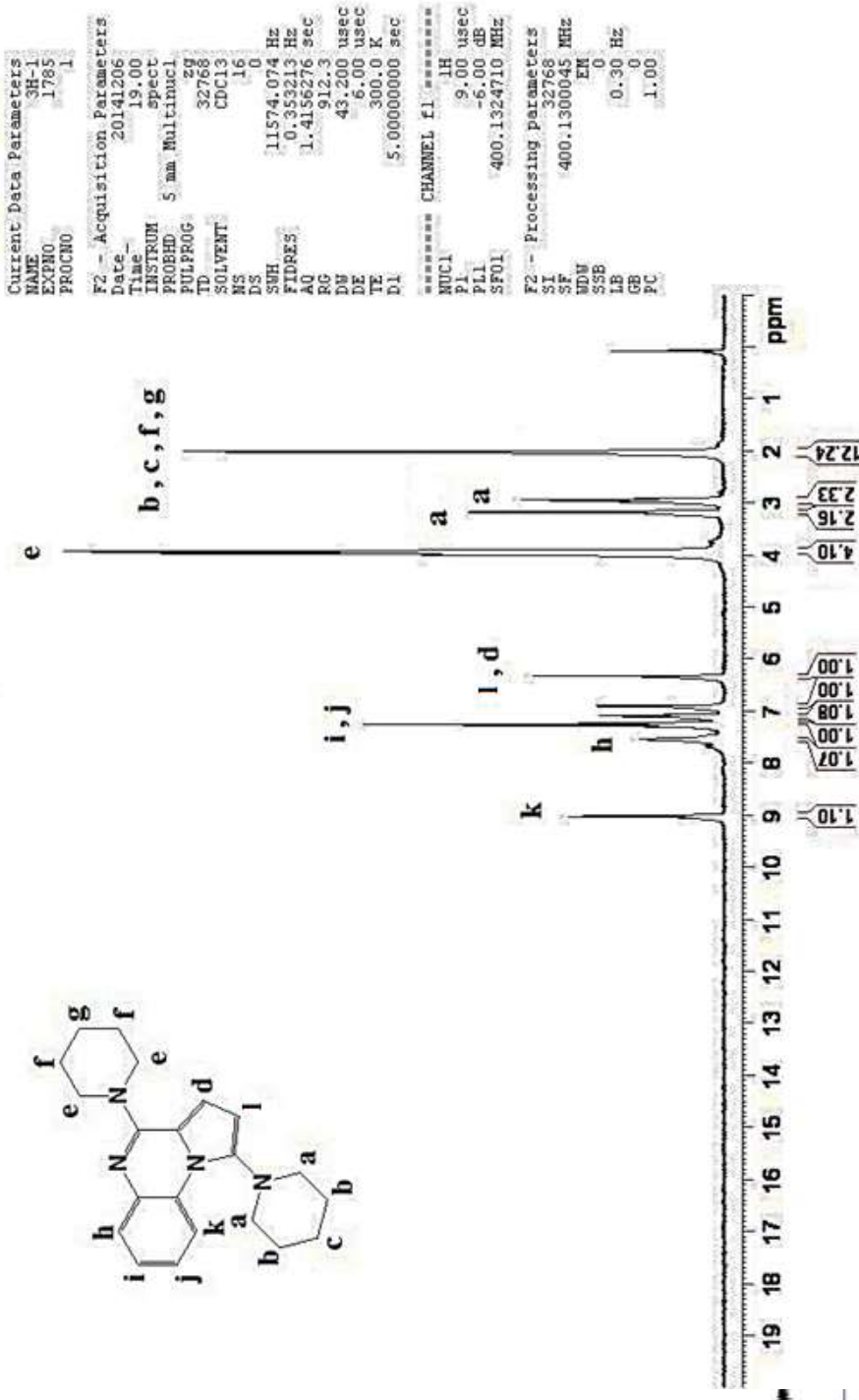
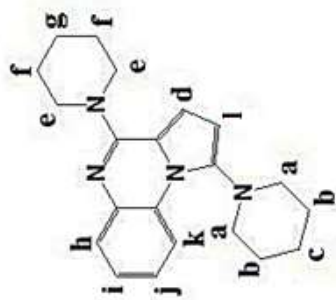


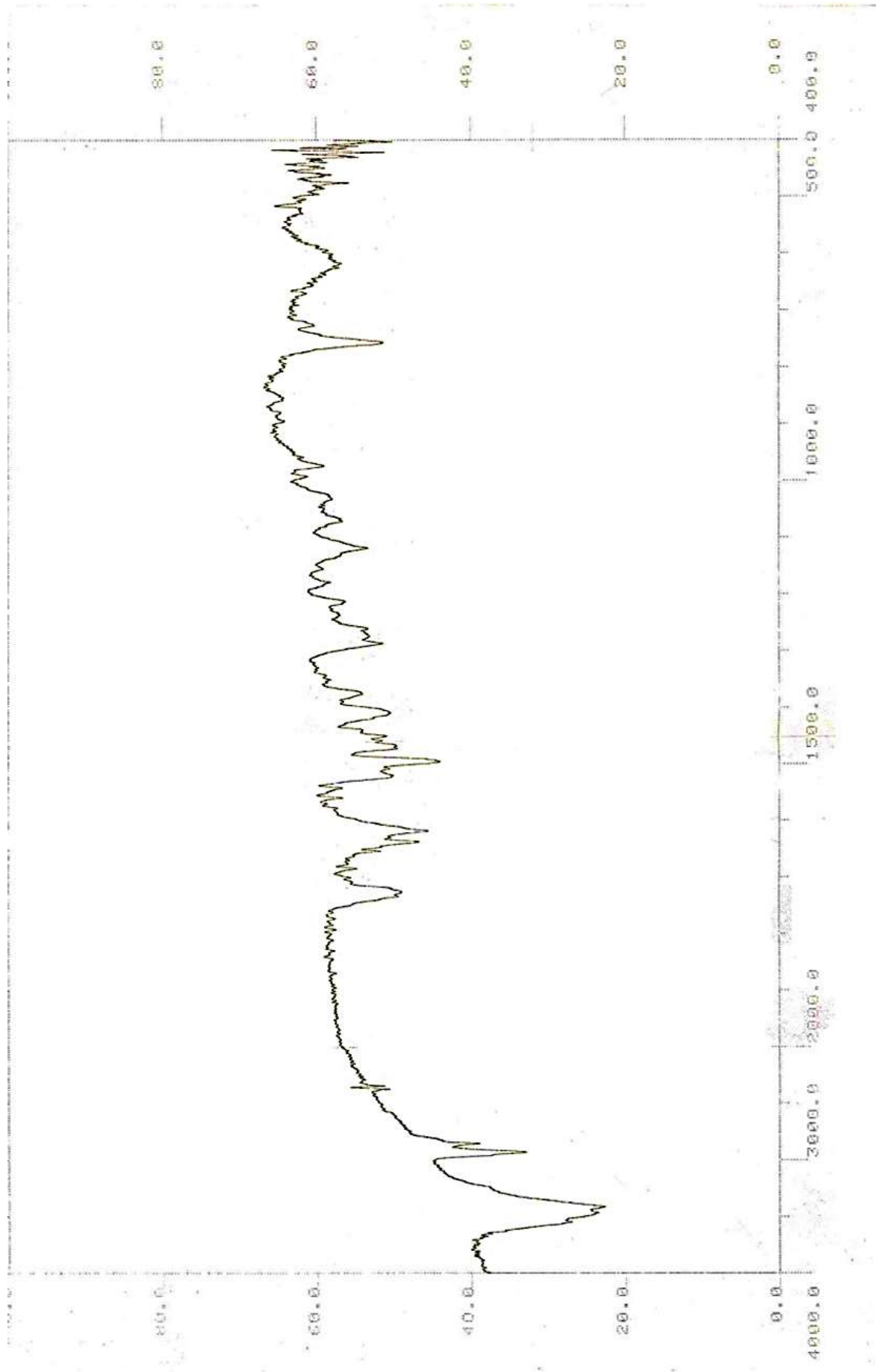
100



The Bruker logo consists of the word "BRUKER" in a bold, black, sans-serif font, with two stylized, overlapping circular or elliptical arcs drawn above and around the letters.

9.027 9.006 7.544 7.474 7.300 7.271 7.242 7.223 7.114 7.095 7.078 6.905 6.801 6.790 6.337 6.327 3.994 3.965 3.932 3.487 3.192 3.163 2.978 2.949 2.942 2.922 2.913







Current Data Parameters

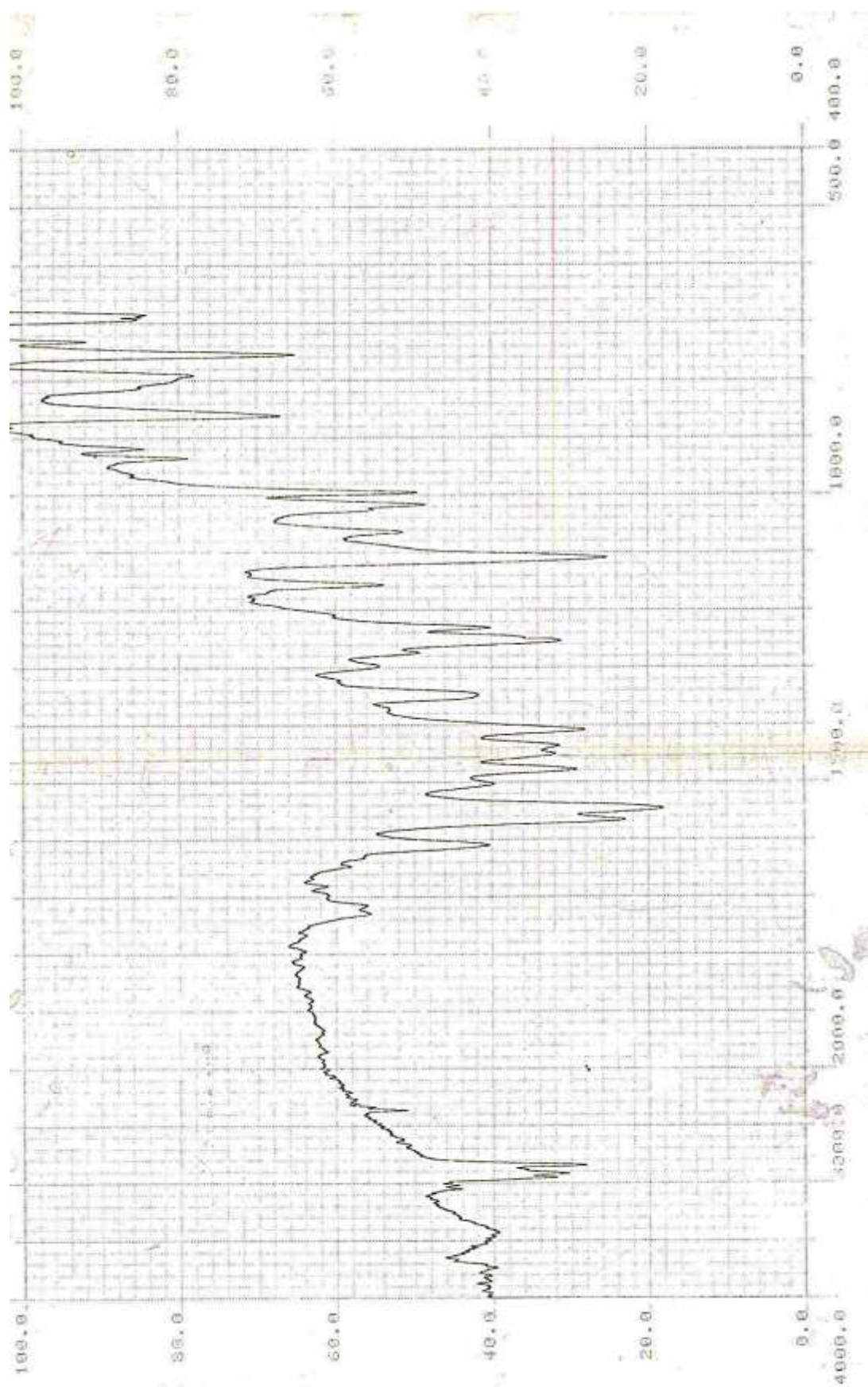
Shahroud U

EXPNO

25

PROCNO

1



**BRUKER**

Current Data Parameters

NAME Shahroud\_U  
EXPNO 32  
PROCNO 1

?2 - Acquisition Parameters

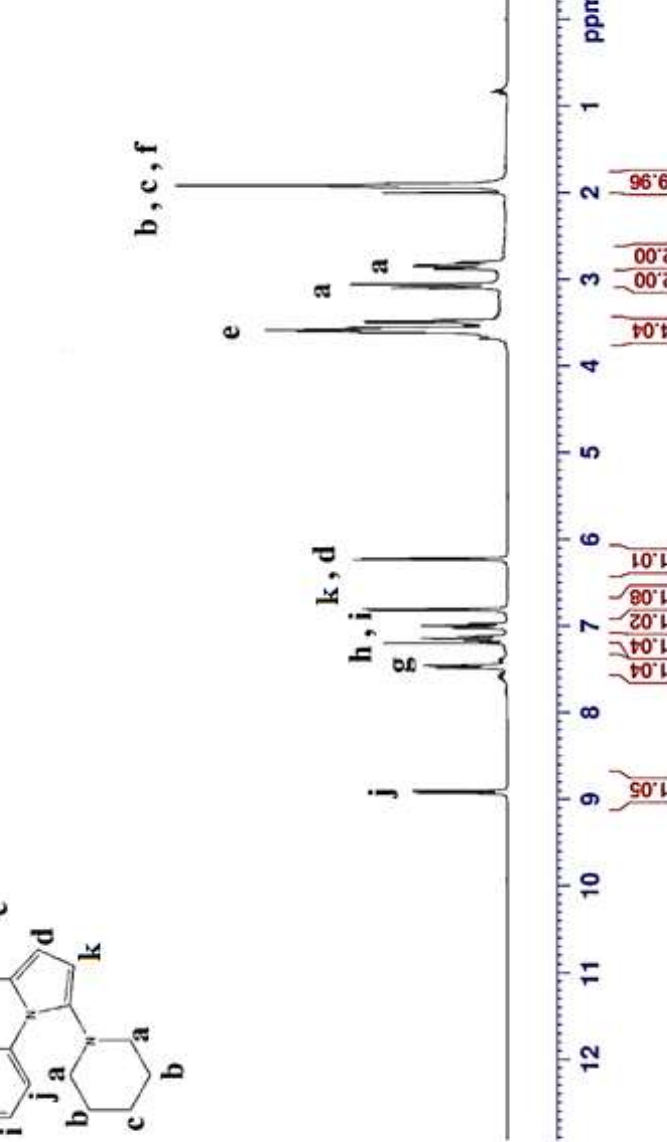
Date 20160214  
Time 9.11  
INSTRUM spect  
PROBHD 5 mm PABBO BB-  
PULPROG zg30  
TD 65536  
SOLVENT CDCl3  
NS 144  
DS 2  
SWH 6021.096 Hz  
FIDRES 0.091920 Hz  
AQ 5.434879 sec  
RG 64.01  
DW 83.000 usec  
DE 6.50 usec  
TE 0 K  
D1 1.0000000 sec  
TD0 1

CHANNEL #1

SE01 300.844063 MHz  
NUC1 1H  
P1 15.00 usec  
PLM1 6.40000010 W

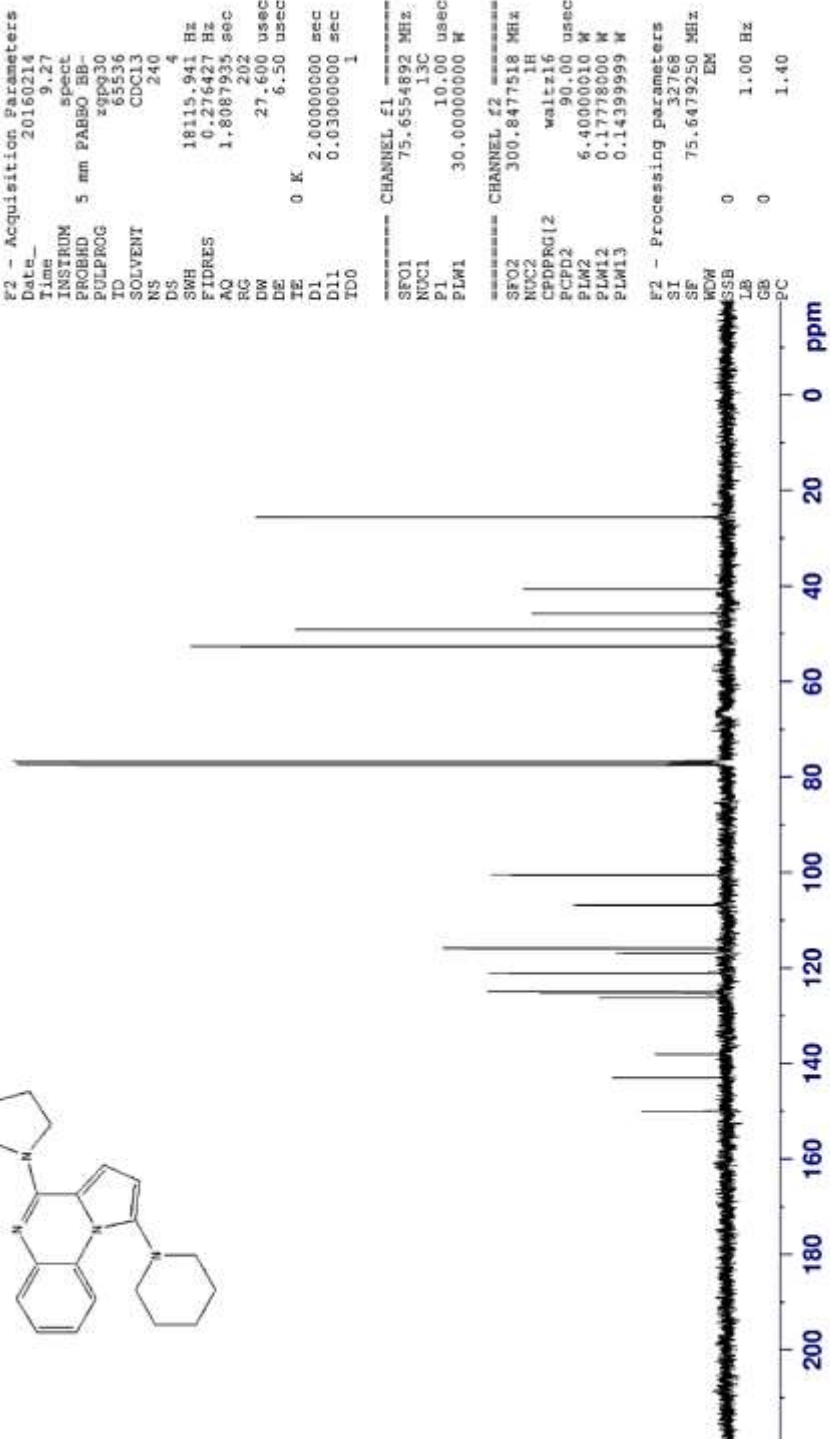
?2 - Processing parameters

SI 65536  
SF 300.8455748 MHz  
NEW EM  
SSB 0  
LB 0.30 Hz  
GB 0  
PC 1.00



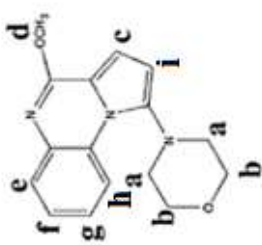


Current Data Parameters  
Name Shahroud\_U  
EXPTNO 33  
PROCNO 1



The Bruker logo consists of the word "BRUKER" in a bold, black, sans-serif font. Above the letter "B", there is a stylized blue atom-like symbol with three elliptical orbits intersecting at two points, each ending in a small blue dot.

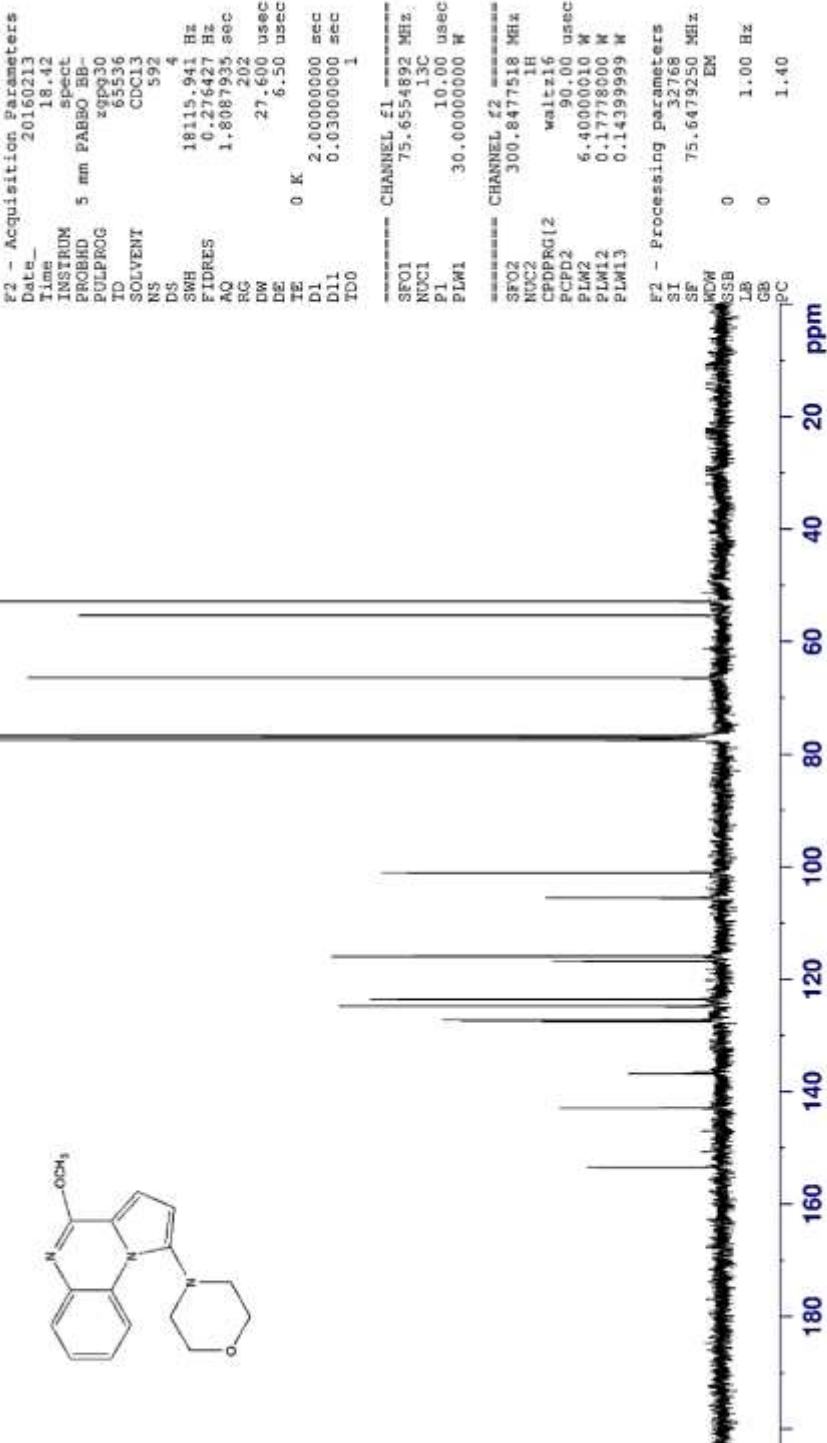
Current Data Parameters  
NAME Shahroud\_U  
EXPTNO 28  
PROCNO 1



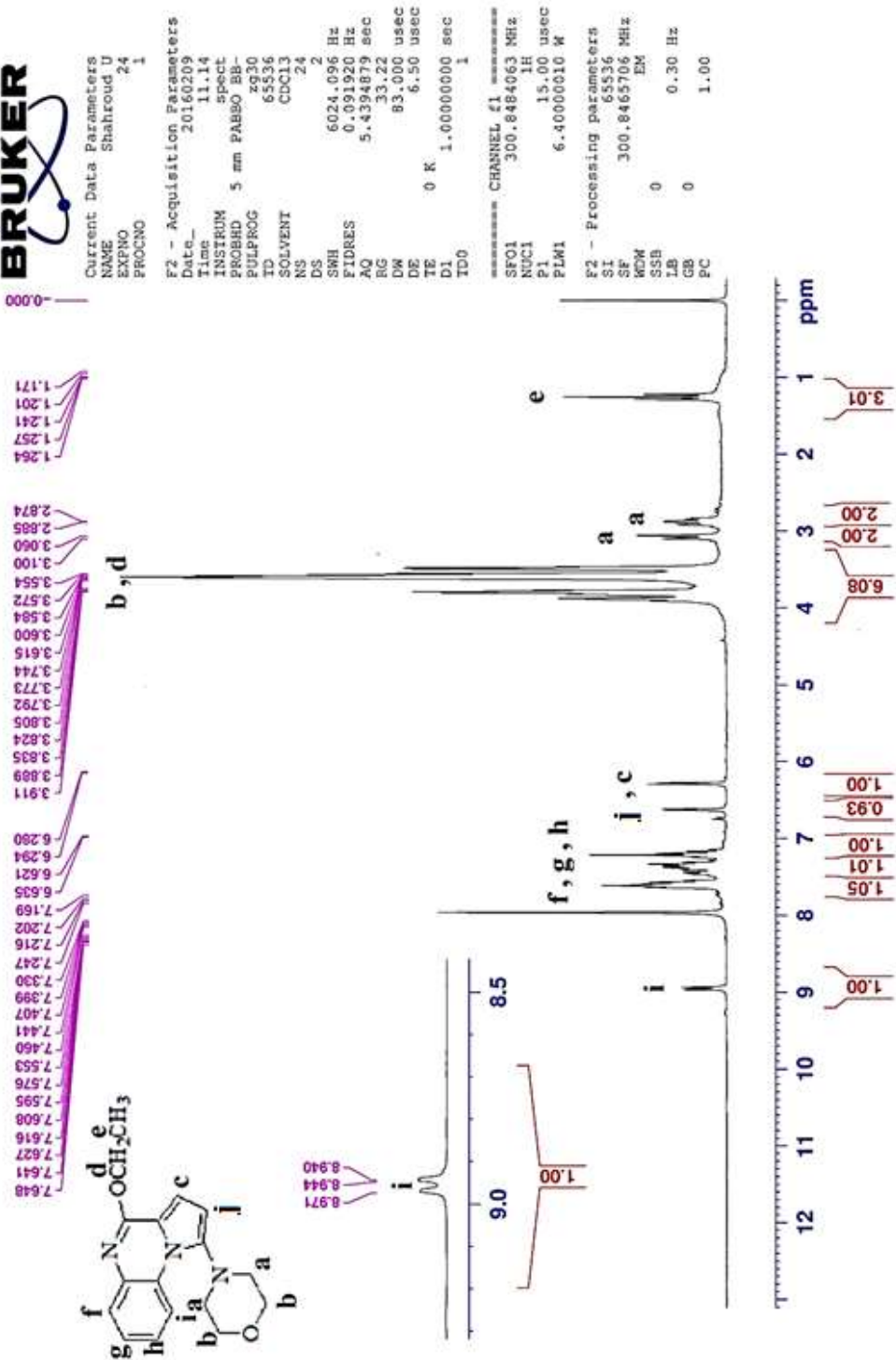
۱۶۳



Current Data Parameters  
NAME Shahroud\_U  
EXPNO 29  
PROCNO 1



**BRUKER**





14.98  
—  
66.95 //  
66.41 //  
52.60 —  
105.80 —  
101.14 —  
115.93 //  
116.96 //  
123.61 //  
123.82 //  
127.20 //  
127.53 //  
136.60 —  
143.12 —  
153.54 —



Current Data Parameters

NAME Shahroud\_U  
EXPNO 23  
PROTNO 1

F2 - Acquisition parameters

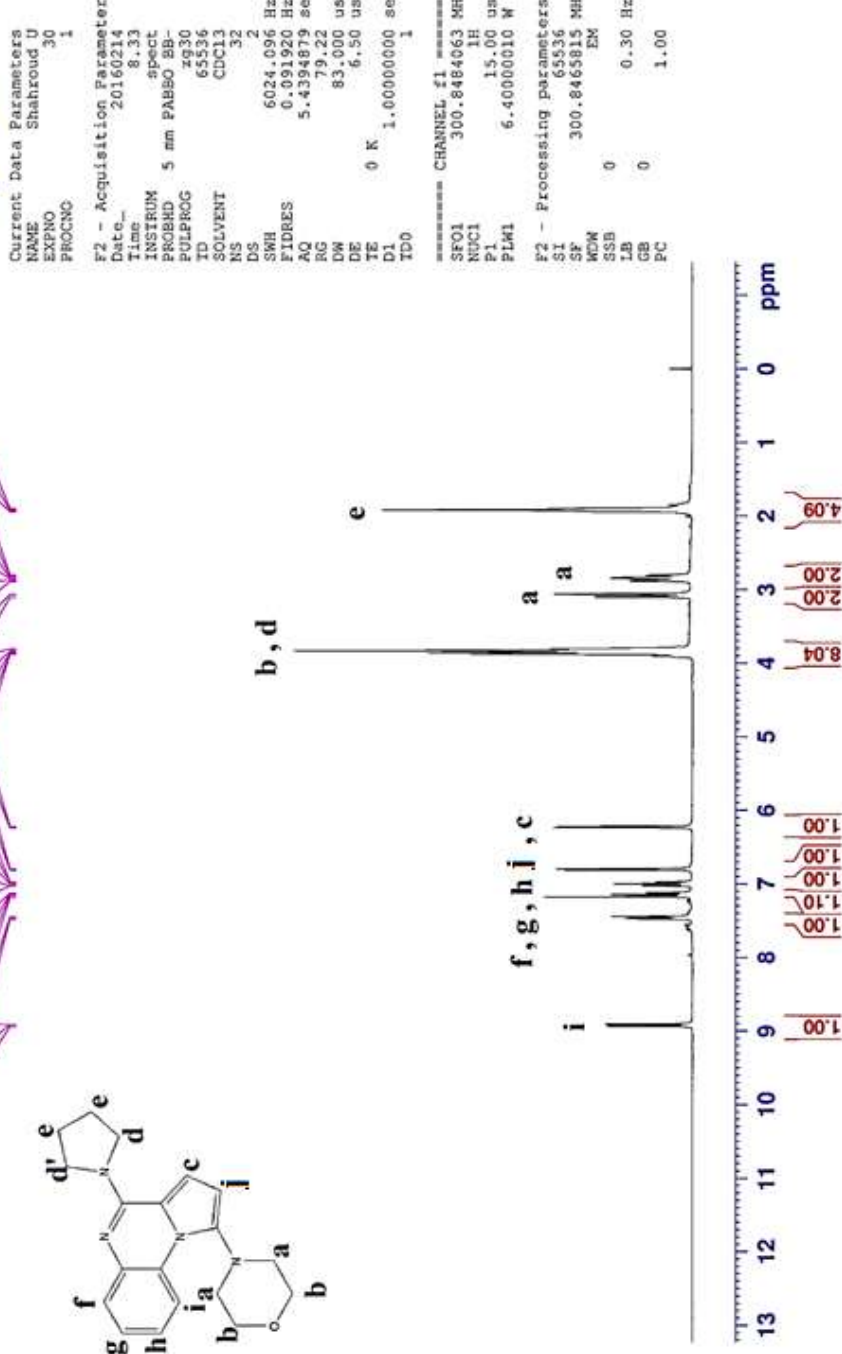
Date\_ 20160209  
Time\_ 11:06  
INSTRUM spect  
PROBHD 5 mm PARBO BB-  
PULPROG zgpp30  
TD 65536  
SOLVENT CDCl3  
NS 1200  
DS 4  
SWH 18115.341 Hz  
FIDRES 0.276327 Hz  
AQ 1.808793 sec  
RG 202  
DW 27.600 usec  
DE 6.250 usec  
TE 0 K  
D1 2.0000000 sec  
D11 0.03000000 sec  
TD0 1

===== CHANNEL f1 =====  
SFO1 75.6554592 MHz  
NUC1 13C  
P1 30.00000000 N  
PLW1 10.00 usec  
===== CHANNEL f2 =====  
SFO2 300.847718 MHz  
NUC2 1H  
CPDPG12 wait16  
P1 90.00 usec  
PLW2 6.40000010 N  
PLW12 0.1777800 N  
PLW13 0.14399999 N

F2 - Processing Parameters

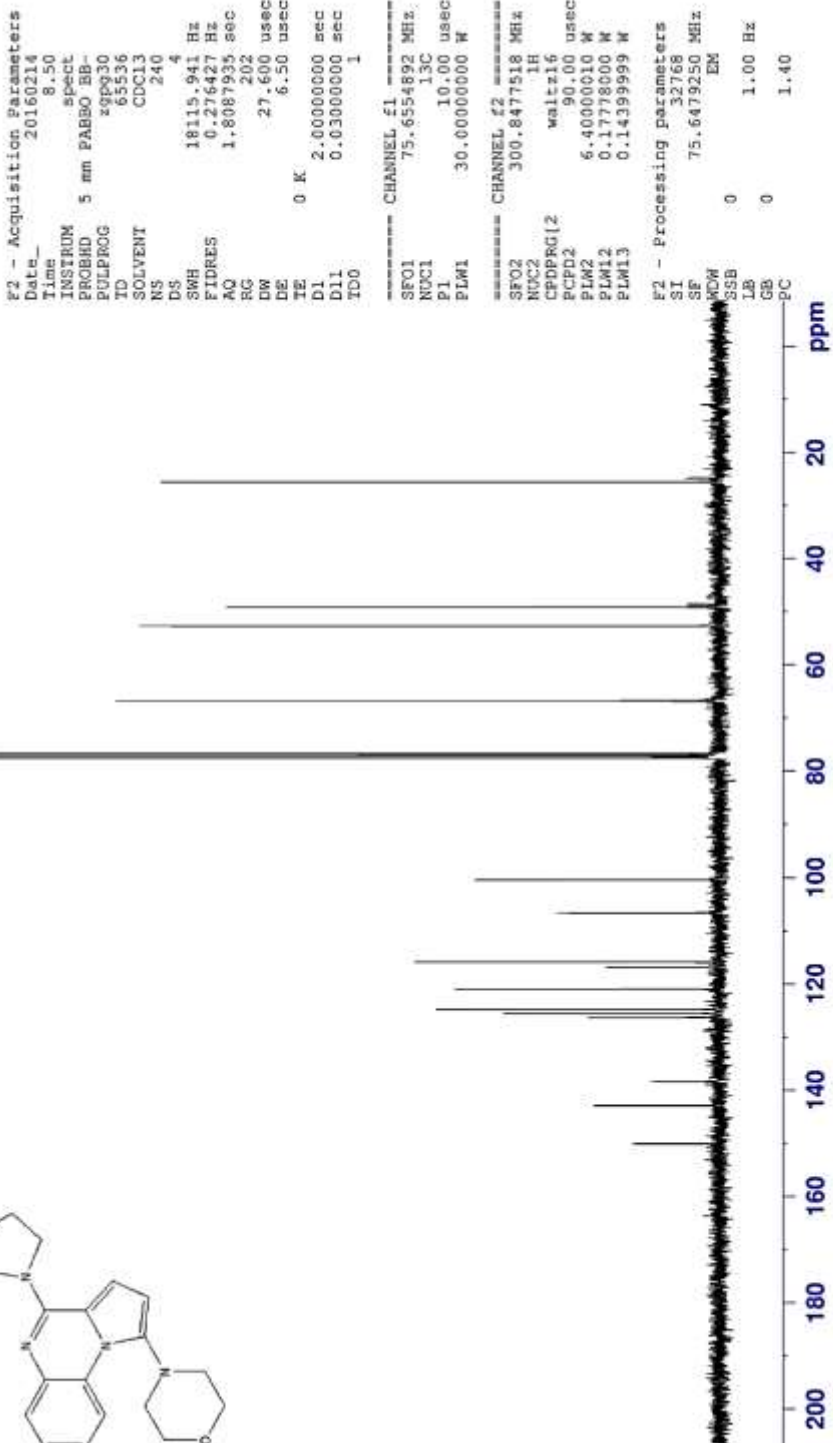
ST 32168  
SF 75.6479250 MHz  
WDW EM  
SSB 0  
LB 1.00 Hz  
GB 0  
PC 1.40

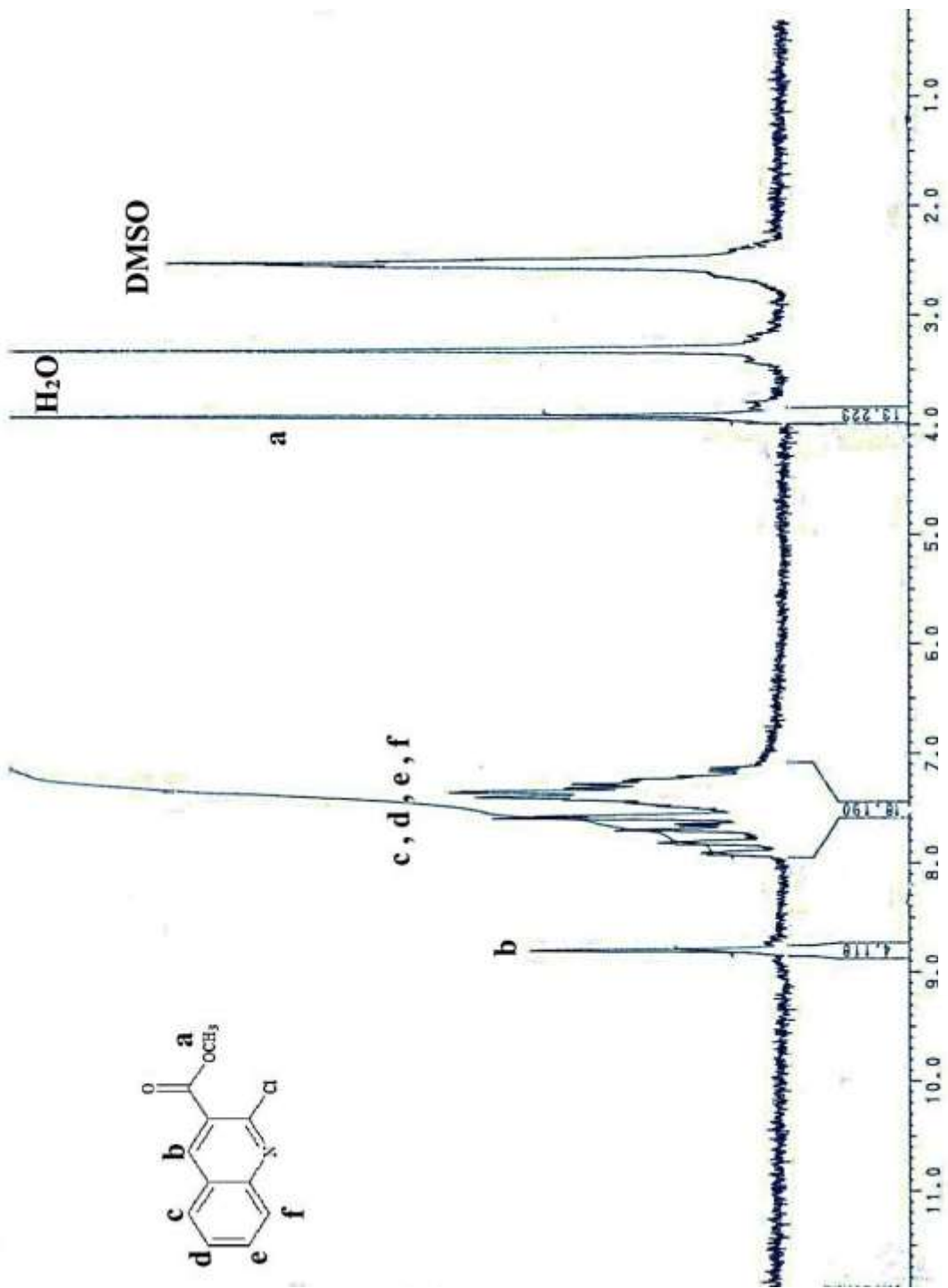
167

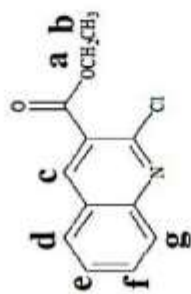
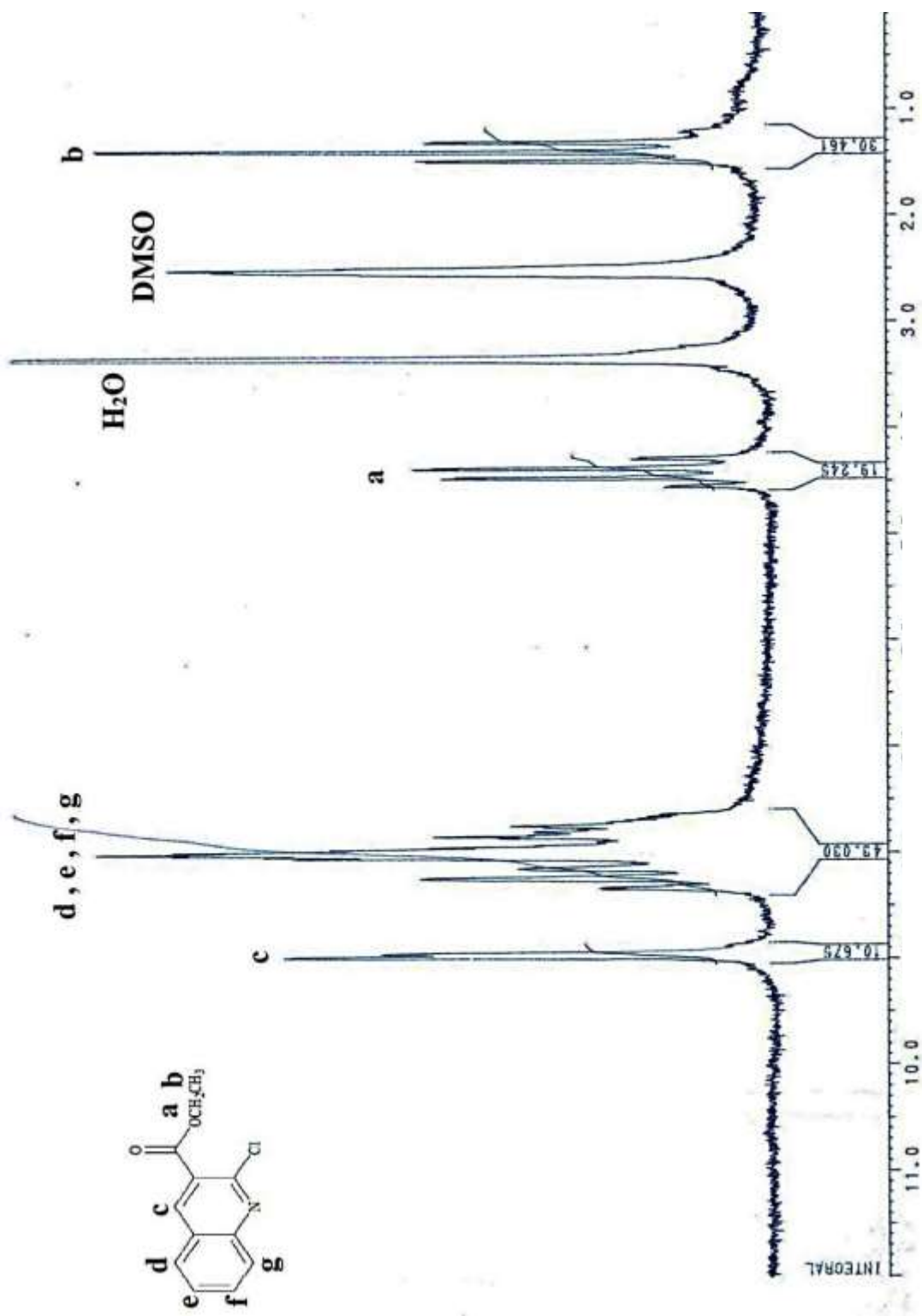


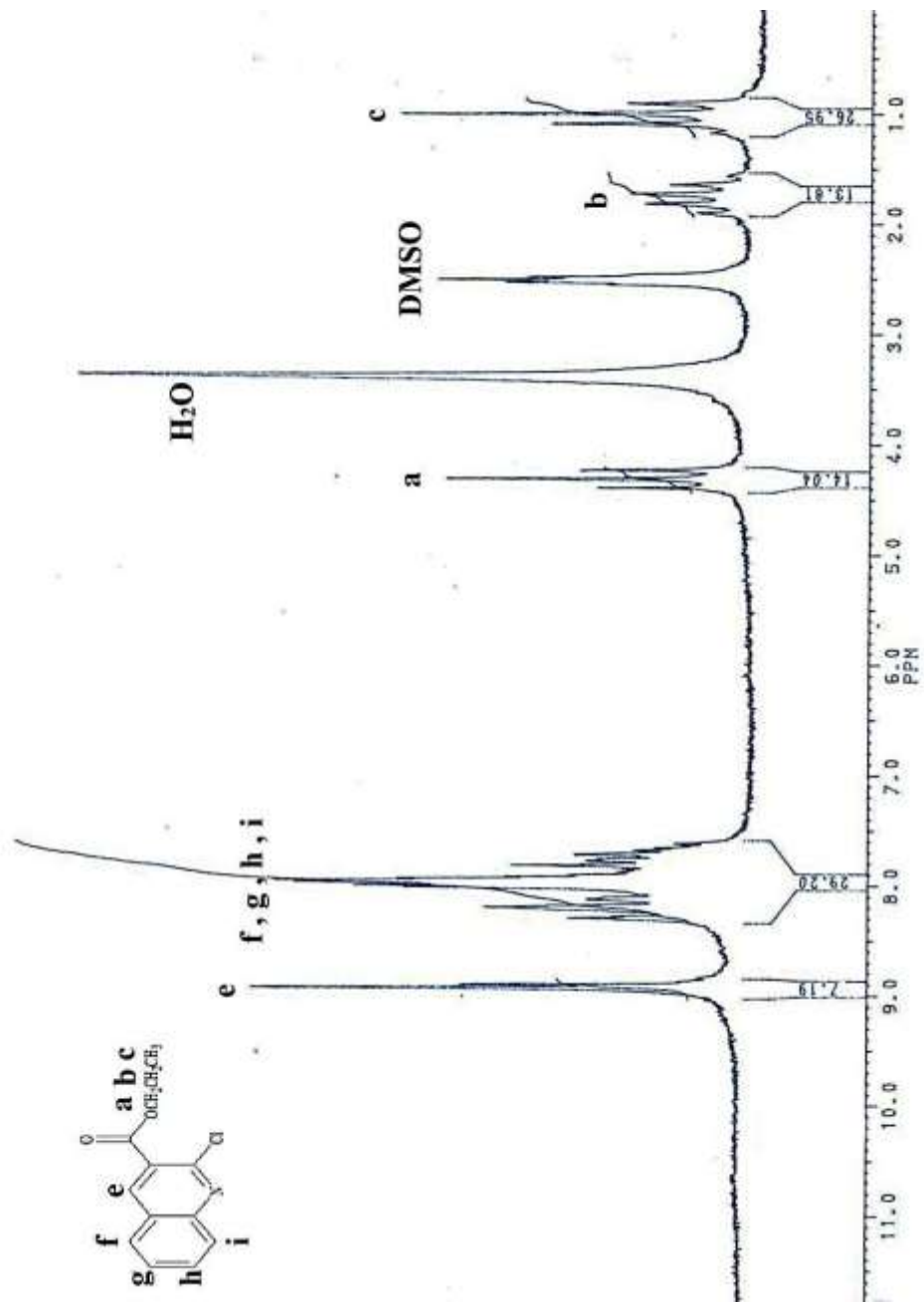


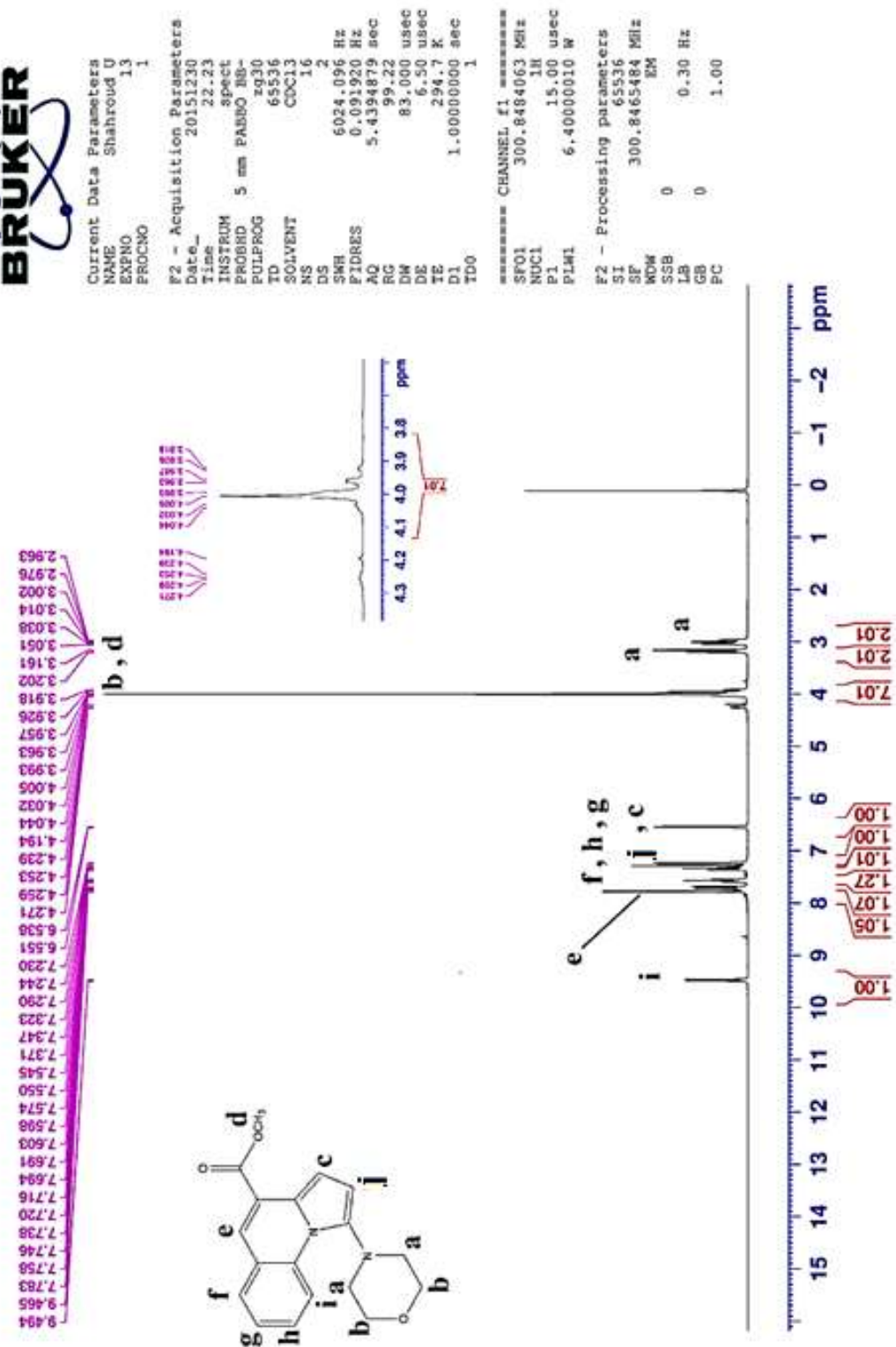
Current Data Parameters  
NAME Shahroud\_U  
EXPNO 31  
PROCNO 1













Current Data Parameters

NAME Shahrood\_U  
EXPNO 14  
PROCNO 1

## F2 - Acquisition Parameters

Date\_ 20151230  
Time 22:54  
INSTRUM spect  
PROBOD 5 mm PABBO BB-  
PULPROG zgpg30  
TD 45336  
SOLVENT CDCl3  
NS 480  
DS 4  
SWH 18115.941 Hz  
ETOT 0.216627 sec  
AQ 1.0007935 sec  
RG 202  
TM 21.600 usec  
DCE 6.50 usec  
TE 295.6 K  
DI 2.0000000000000002  
D1 0.030000000000000004 sec  
T1 0 1

## CHANNEL f1

SW 75.6554482 MHz

AQ 1.000 usec

PL 20.000000000 W

## CHANNEL f2

SW 300.6477516 MHz

AQ 1.000 usec

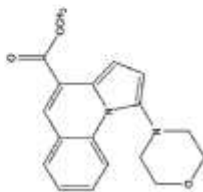
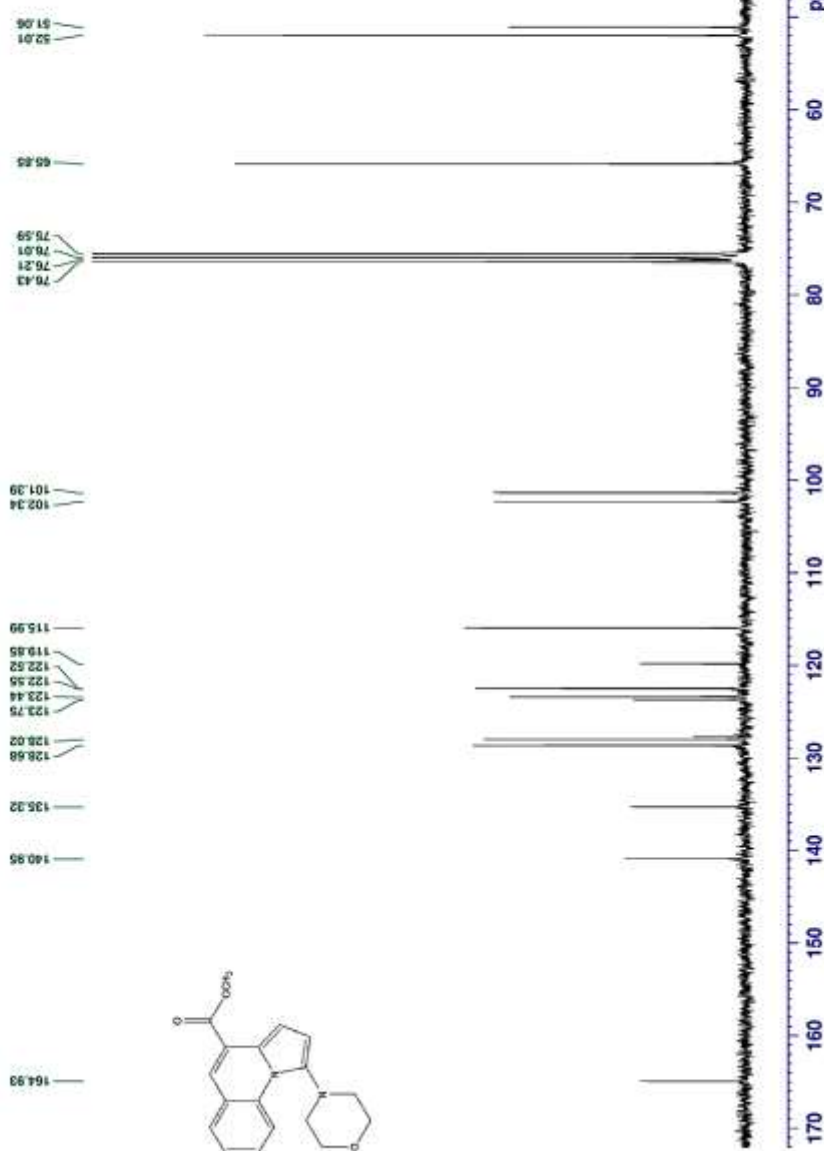
PL 90.00 usec

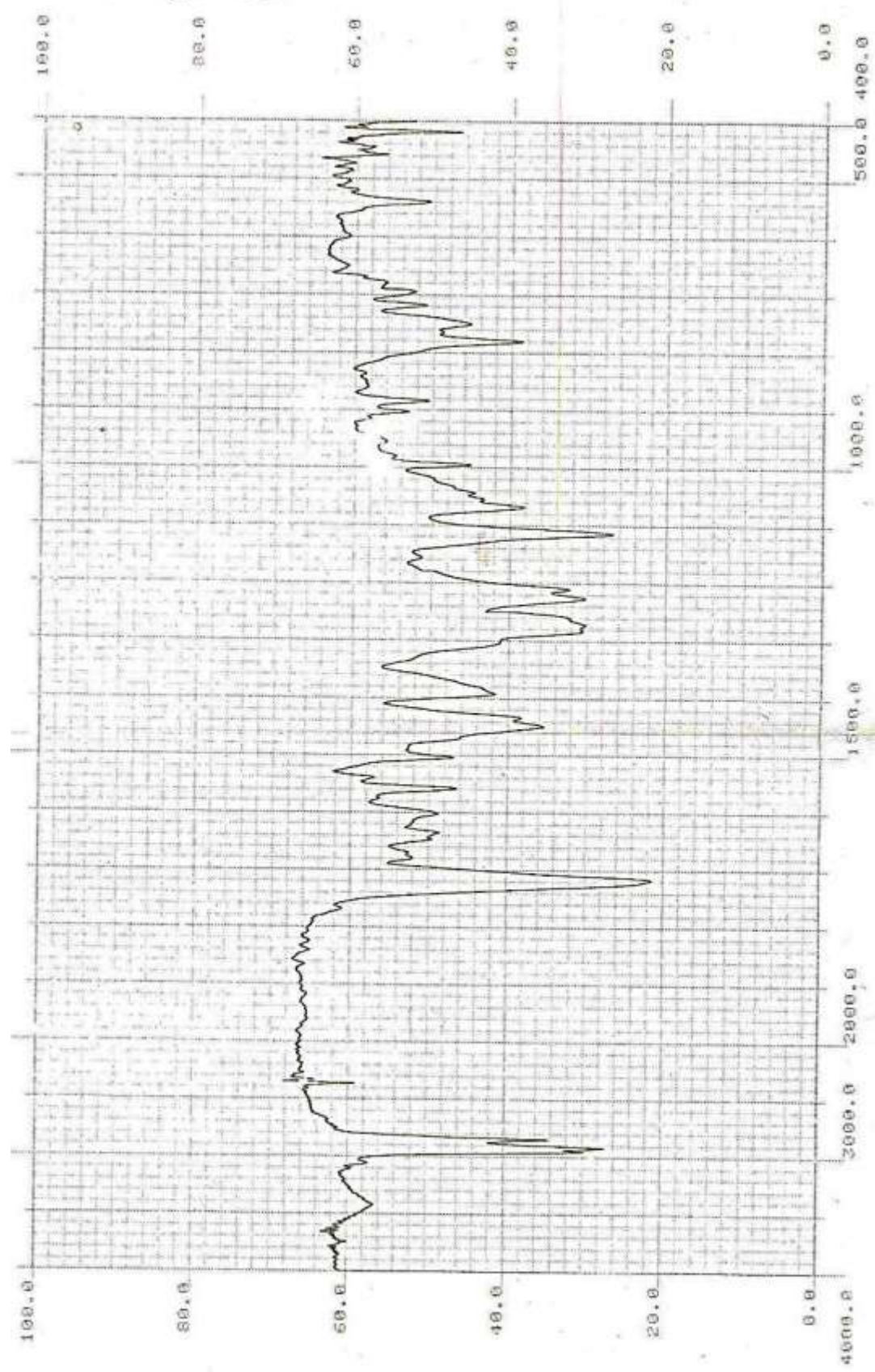
D1 6.4000010 W

PL1 0.1777800 W

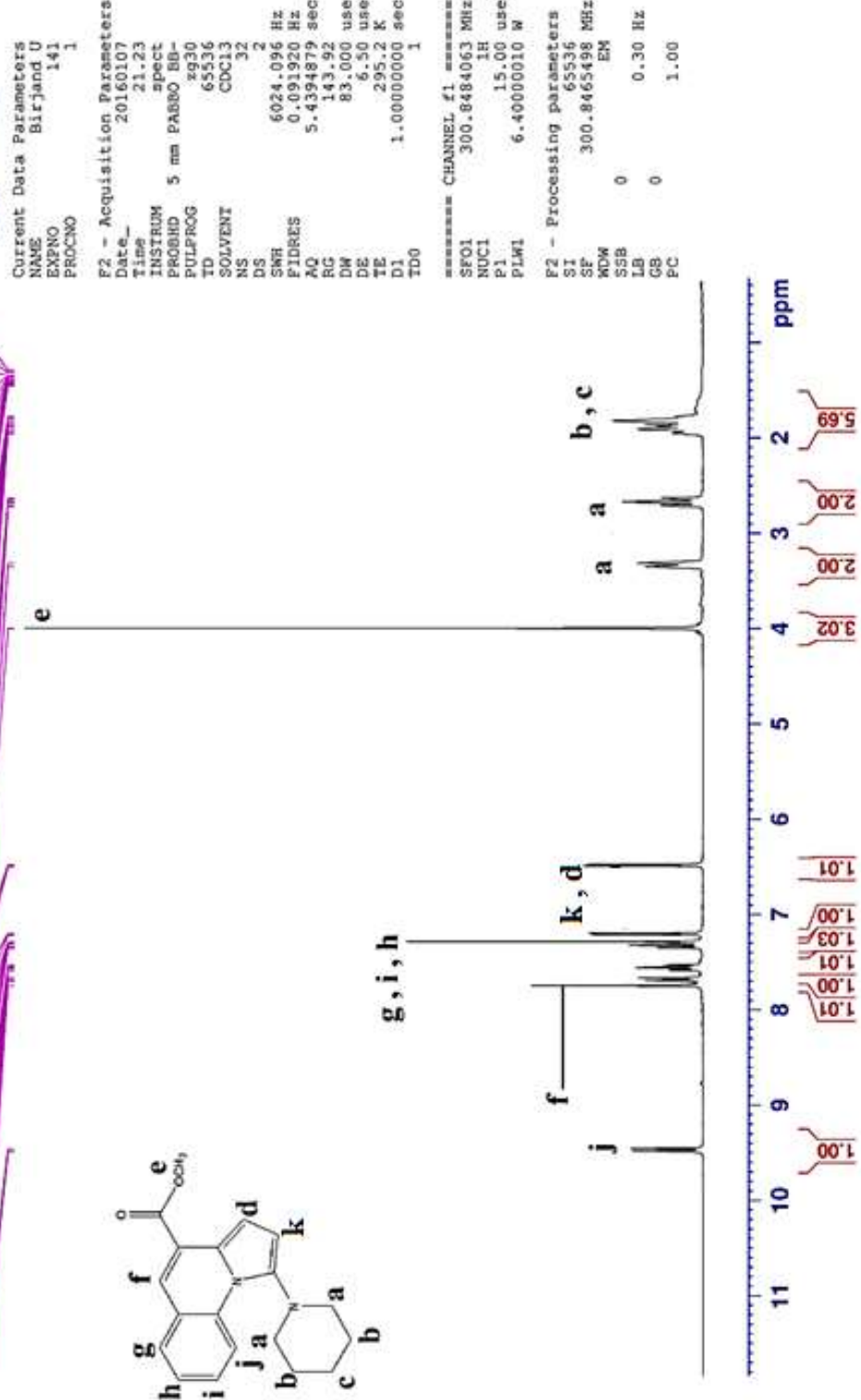
PL1 0.1435999 W

## F2 - Processing Parameters

ST 32768  
SP 75.65540047 MHz  
SWH 0  
AQ 53.6  
RG 1.0  
TM 1.00 Hz  
D1 0  
PC 1.40



174





Current Data Parameters

NAME Bilejand\_U  
EXPNO 142  
PROCNO 1

F2 - Acquisition Parameters

Date 20160107  
Time 21:54  
INSTRUM spect  
PROBID 5 mm PABBO BB-  
PULPROG zgpp30  
TD 65336  
SOLVENT CDCl3  
NS 464  
DS 4  
SWH 10115.941 Hz  
FIDRES 0.276427 Hz  
AQ 1.8087135 sec  
RG 202  
DW 27.600 usec  
DE 6.50 usec  
TE 296.1 K  
D1 2.000000 sec  
D11 0.0300000 sec  
TDD0 1

===== CHANNEL C1 =====

SF01 75.6654892 MHz  
NUC1 13C  
P1 10.00 usec  
PLW1 30.0000000 W

===== CHANNEL C2 =====

SF02 300.8877518 MHz  
NUC2 1H  
CPDPG12 wait16  
PCPD2 90.00 usec  
PLW2 6.40000010 W  
PLW3 0.17778000 W  
PLW13 0.14399999 W

F2 - Processing parameters

S1 3.2168  
SF 75.6480041 MHz  
NUC1 35B  
LB 0  
GB 0  
DEC 1.40

--2481

--51.00

--62.90

--75.99

--76.41

--102.15

--100.82

--116.36

--119.98

--122.29

--122.51

--123.05

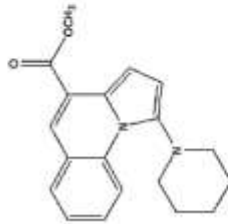
--127.81

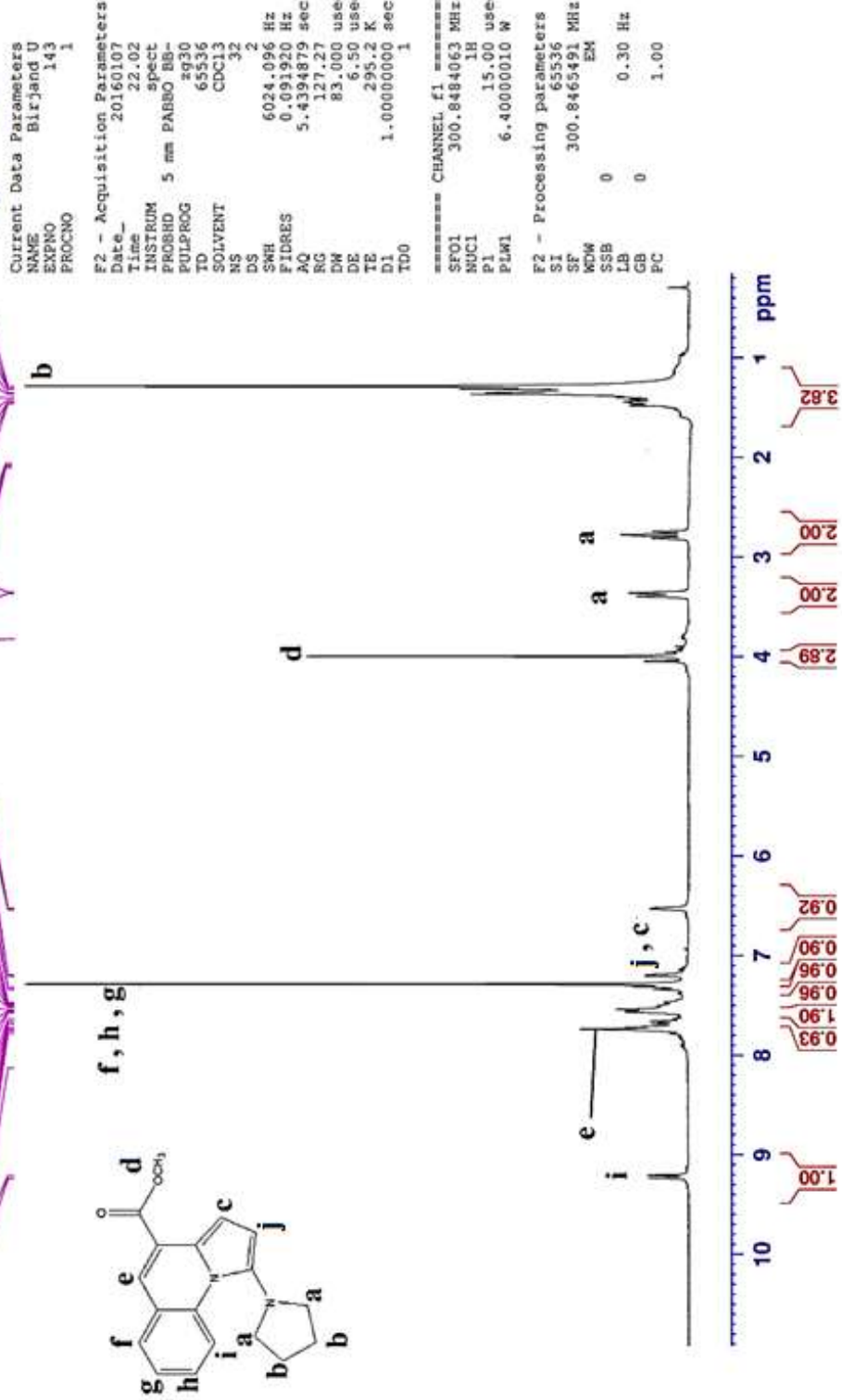
--128.93

--120.99

--142.71

--145.11





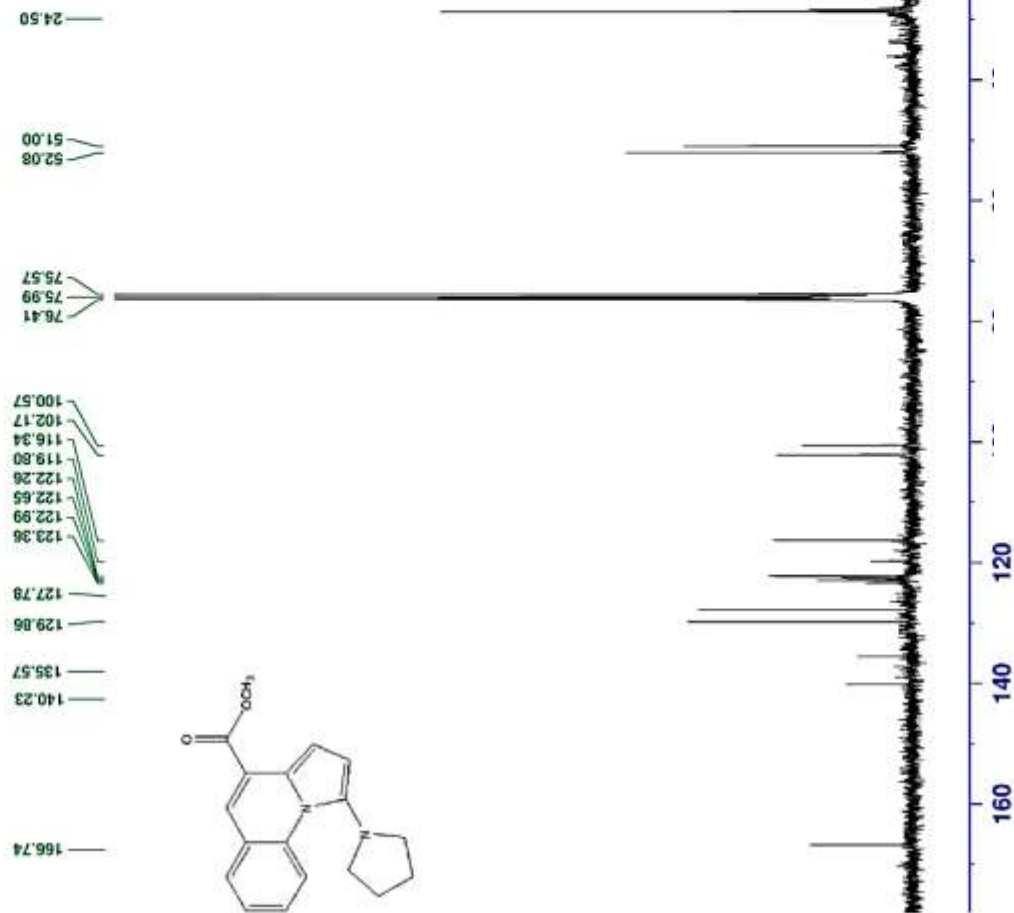


Current Data Parameters  
NAME Birjand\_U  
EXPNO 145  
PROCNO 1

F2 - Acquisition Parameters  
Date\_ 20160108  
Time 8.16  
INSTRUM spect  
PROBHD 5 mm PABBO BB-  
PULPROG zgppg30  
TD 65536  
SOLVENT CDCl3  
NS 8000  
DS 4  
SWH 18115.941 Hz  
FIDRES 0.26427 Hz  
AQ 1.8037935 sec  
RG 202  
DW 27.600 usec  
DE 6.50 usec  
TE 295.7 K  
D1 2.0000000 sec  
D11 0.0300000 sec  
TD0 1

CHANNEL f1  
SFO1 75.6554892 MHz  
NUC1 13C  
P1 10.00 usec  
PLW1 30.0000000 W

CHANNEL f2  
SFO2 300.8477518 MHz  
NUC2 1H  
CPDPRG1/2 waltz16  
PCPD2 6.40000010 W  
PLW2 0.17778000 W  
PLW12 0.14339999 W  
PLW13 0.14339999 W



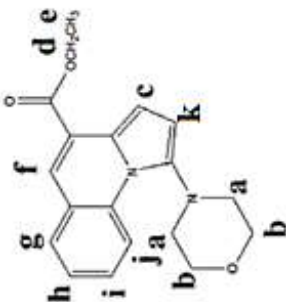
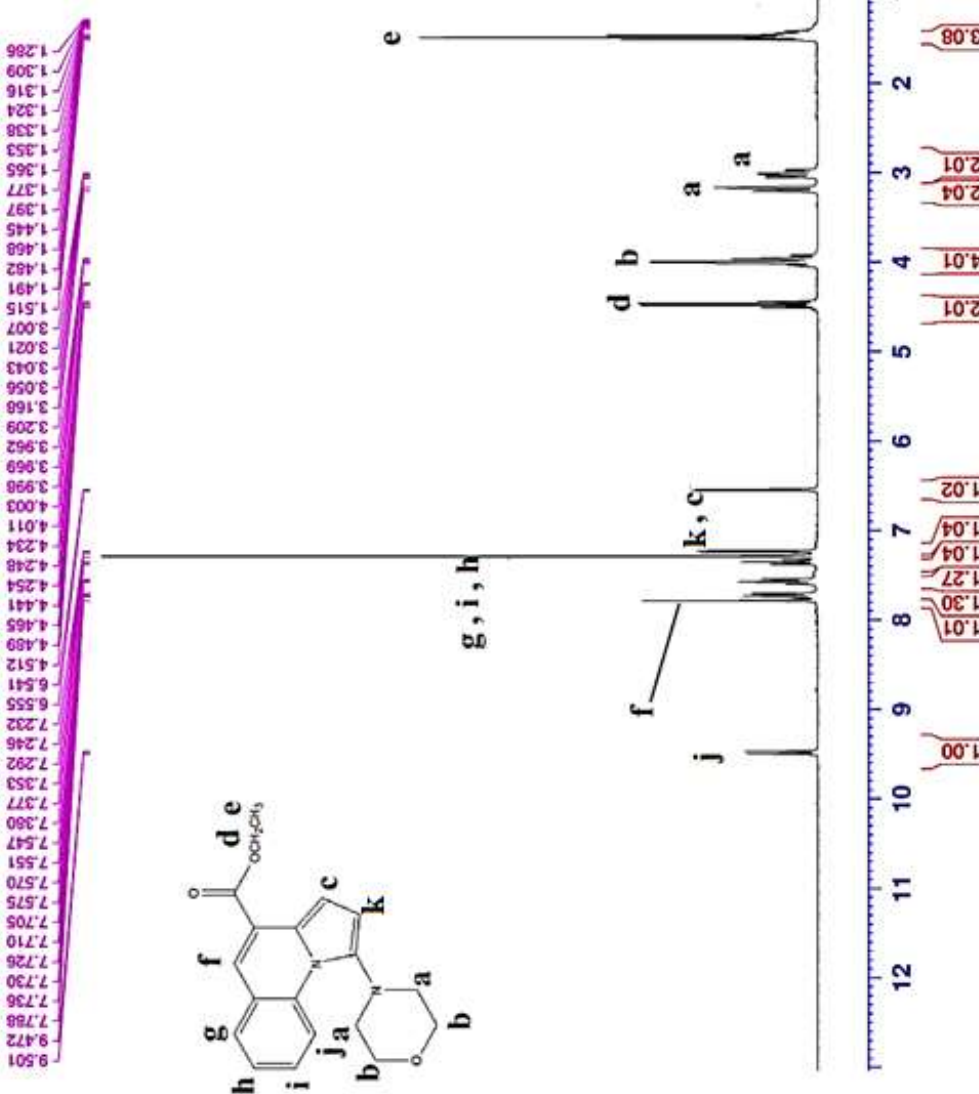
The Bruker logo consists of the word "BRUKER" in a bold, black, sans-serif font. Above the letter "B", there is a stylized blue atom symbol with three elliptical orbits intersecting at two points, each containing a small black dot representing a nucleus.

```

Current Data Parameters
NAME      Birjand U
EXPNO    146
PROCNO         1

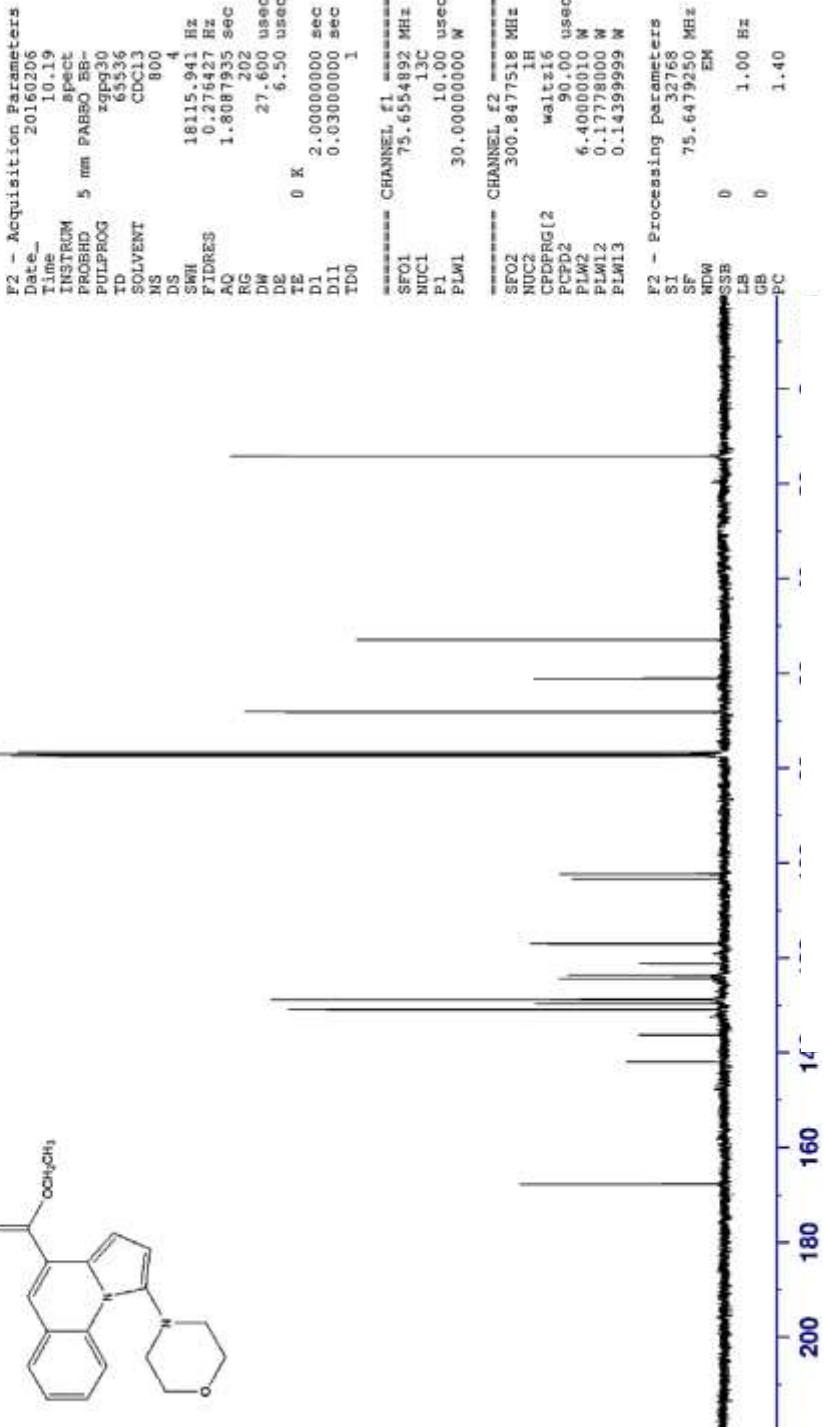
```

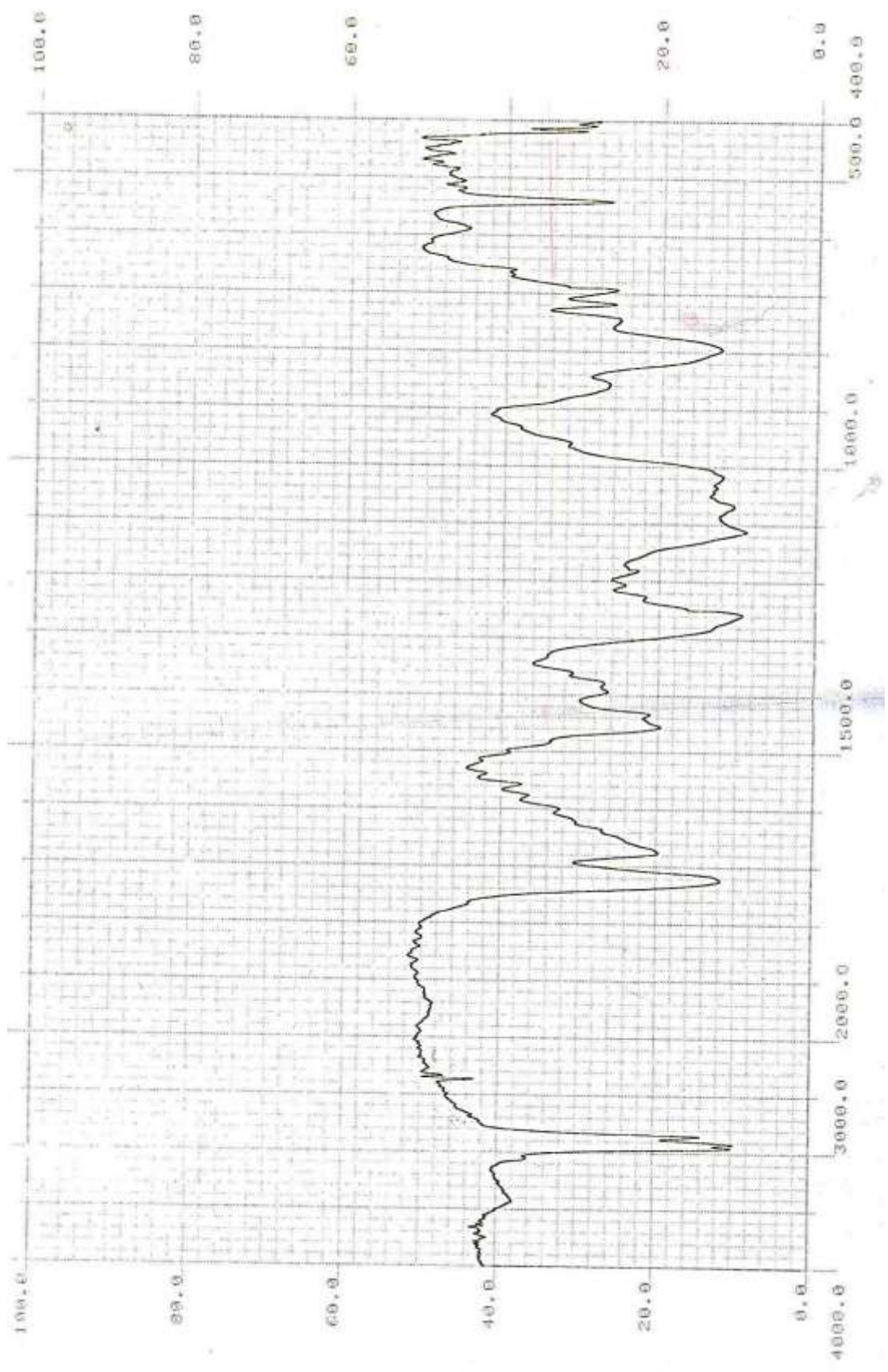
Aquisition Parameters	
20160108	11.40
spec	5 nm PABBO BB-
x930	65536
CDCC3	64
	2
6024.096 Hz	0.09190 Hz
5.139487 sec	158.22 usec
	83.000 usec
	6.50 usec
	294.2 K
	1.0000000 sec
	1
= CHANNEL f1 =====	
300.8484063 MHz	1H
	15.00 usec
	6.4000000 N
Processing parameters	
65536	300.8465478 MHz
	EM
	0
	0.30 Hz
	0
	1.00

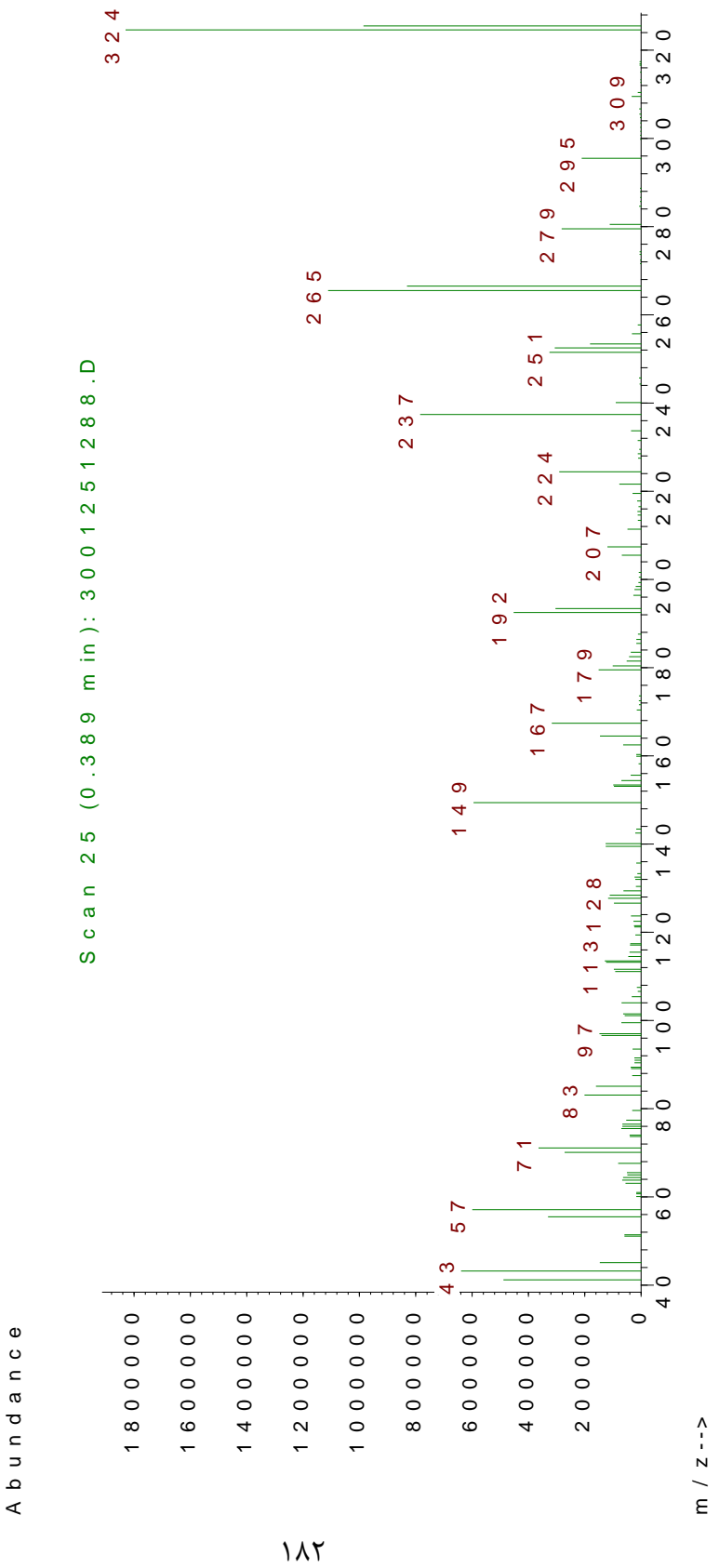


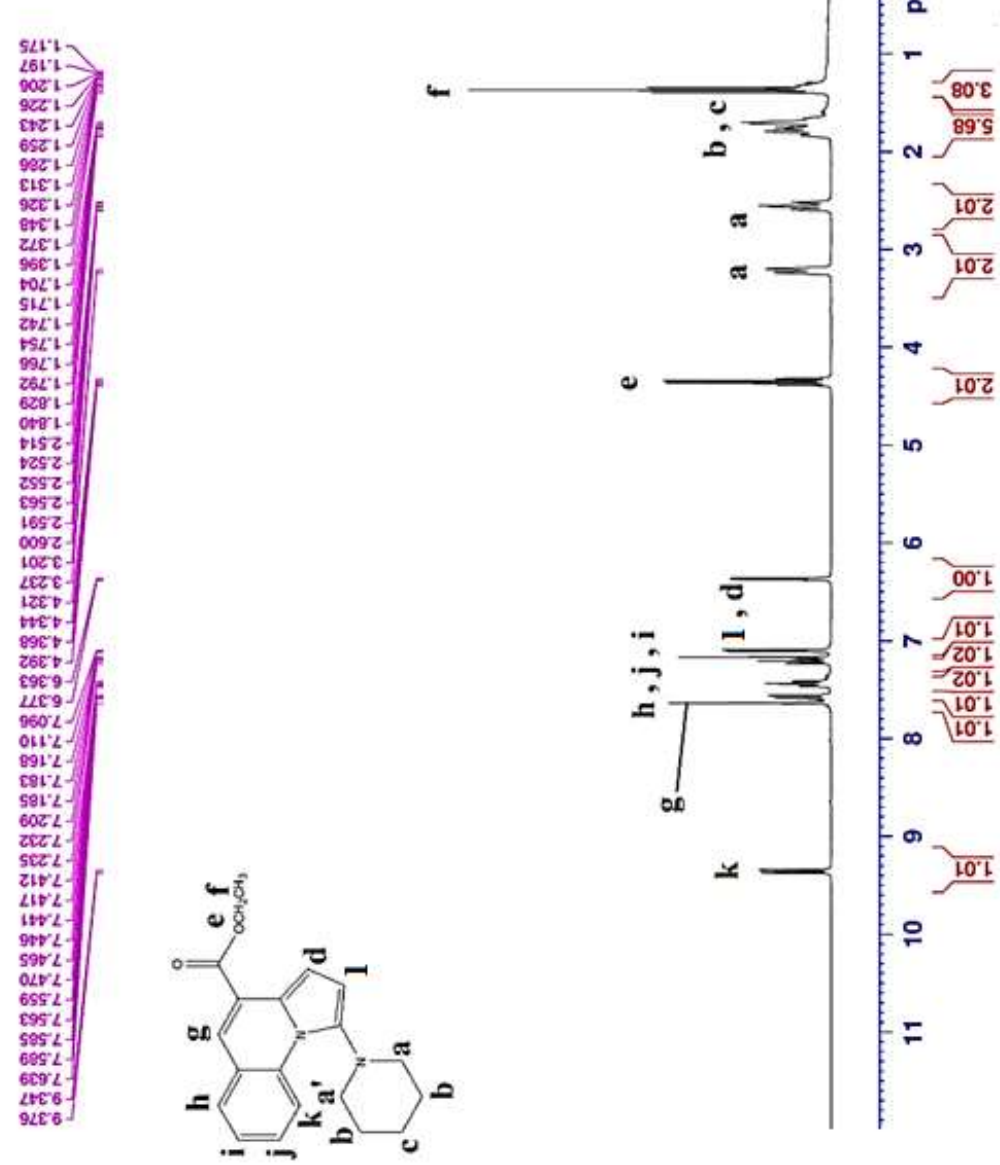


Current Data Parameters  
NAME Shahroud\_U  
EXPNO 19  
PROCNO 1











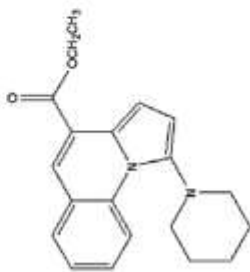
Current Data Parameters  
NAME Shahrour 0  
EXPNO 20  
PROCNO 1

F2 - Acquisition Parameters  
Date 20160206  
Time 13:02  
INSTRUM spect  
PROBHD 5 mm PABBO BB-  
PULPROG zgpp30  
TD 65536  
SOLVENT CDCl3  
NS 2400  
DS 4  
SWH 18115.941 Hz  
ETR 0.176427 Hz  
AQ 1.8007935 sec  
RG 202  
DW 27.600 us  
DE 6.50 us  
TE 0 K  
D1 2.0000000 sec  
D11 0.03000000 sec  
TD0 1

===== CHANNEL F1 =====  
SF01 75.6554892 MHz  
NUC1 13C  
P1 10.00 us  
PLW1 30.0000000 W  
===== CHANNEL F2 =====  
SF02 300.8477518 MHz  
NUC2 1H  
CPDPG12 waltz16  
PCPD2 90.00 us  
PLW2 6.4000001 W  
PLW12 0.1778000 W  
PLW13 0.14399999 W

F2 - Processing parameters  
SI 32768  
SF 75.6419250 MHz  
SSB 0 EM  
TDW 0 1.00 Hz  
0 1.40

141.95  
25.85  
29.68  
  
53.94  
61.02  
  
101.60  
103.17  
117.39  
121.22  
123.32  
124.43  
128.77  
129.41  
130.98  
136.58  
143.73  
167.79



The Bruker logo consists of the word "BRUKER" in a bold, black, sans-serif font, with two blue, elliptical, intertwined lines forming a stylized "B" shape positioned above and to the left of the text.

Current Data Parameters

NAME	Shahroud_U
EXPNO	15
PROCNO	1

F2 - Acquisition Parameters

Date-	20151230
Time	23.02
INSTRUM	spect
PROBOD	5 mm PABBO BB-
PULPROG	#930
TD	65536
SOLVENT	CDCl <sub>3</sub>
NS	8
DS	2
SWH	6024.096 Hz
P1	0.091920 Hz
AQ	5.4394879 sec
RG	72.14
DM	83.000 usec
DE	6.50 usec
TE	294.7 K
D1	1.0000000 sec
TDD	1

===== CHANNEL f1 =====

SFO1	300.8484063 MHz
NUC1	1H
P1	15.00 usec
PLW1	6.40000010 W

f

==== CHANNEL f2 =====

SI	65536
SP	300.8465487 MHz
WDW	EM
SSB	0
LB	0
GB	0
PC	1.00

f2

==== CHANNEL g1 =====

S1	65536
SP	300.8465487 MHz
WDW	EM
SSB	0
LB	0
GB	0
PC	1.00

g1

==== CHANNEL g2 =====

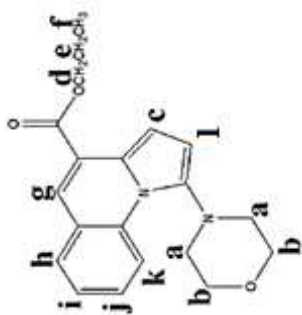
S1	65536
SP	300.8465487 MHz
WDW	EM
SSB	0
LB	0
GB	0
PC	1.00

g2

Chemical structure of compound I with proton environments labeled a through t:

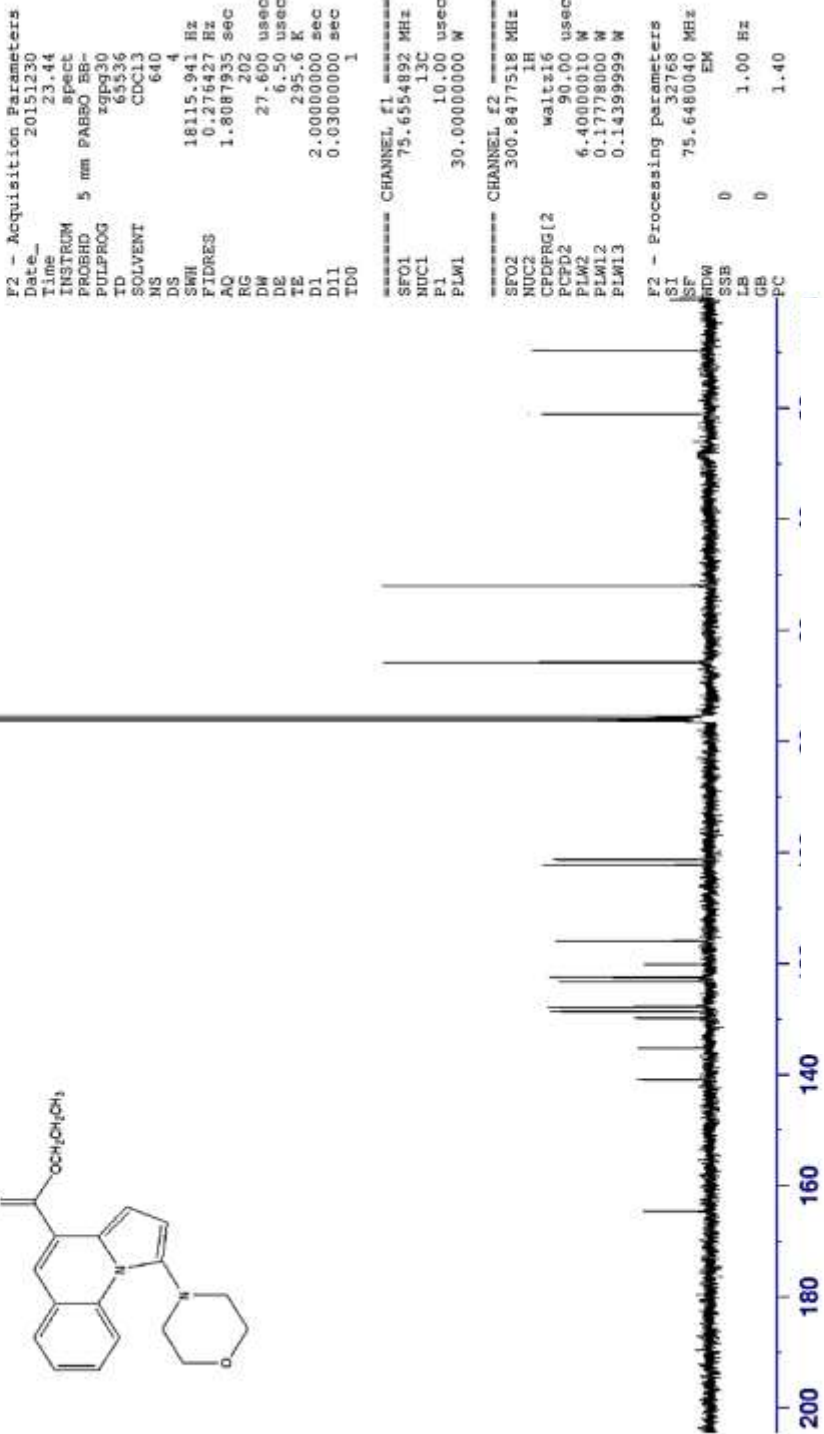
```

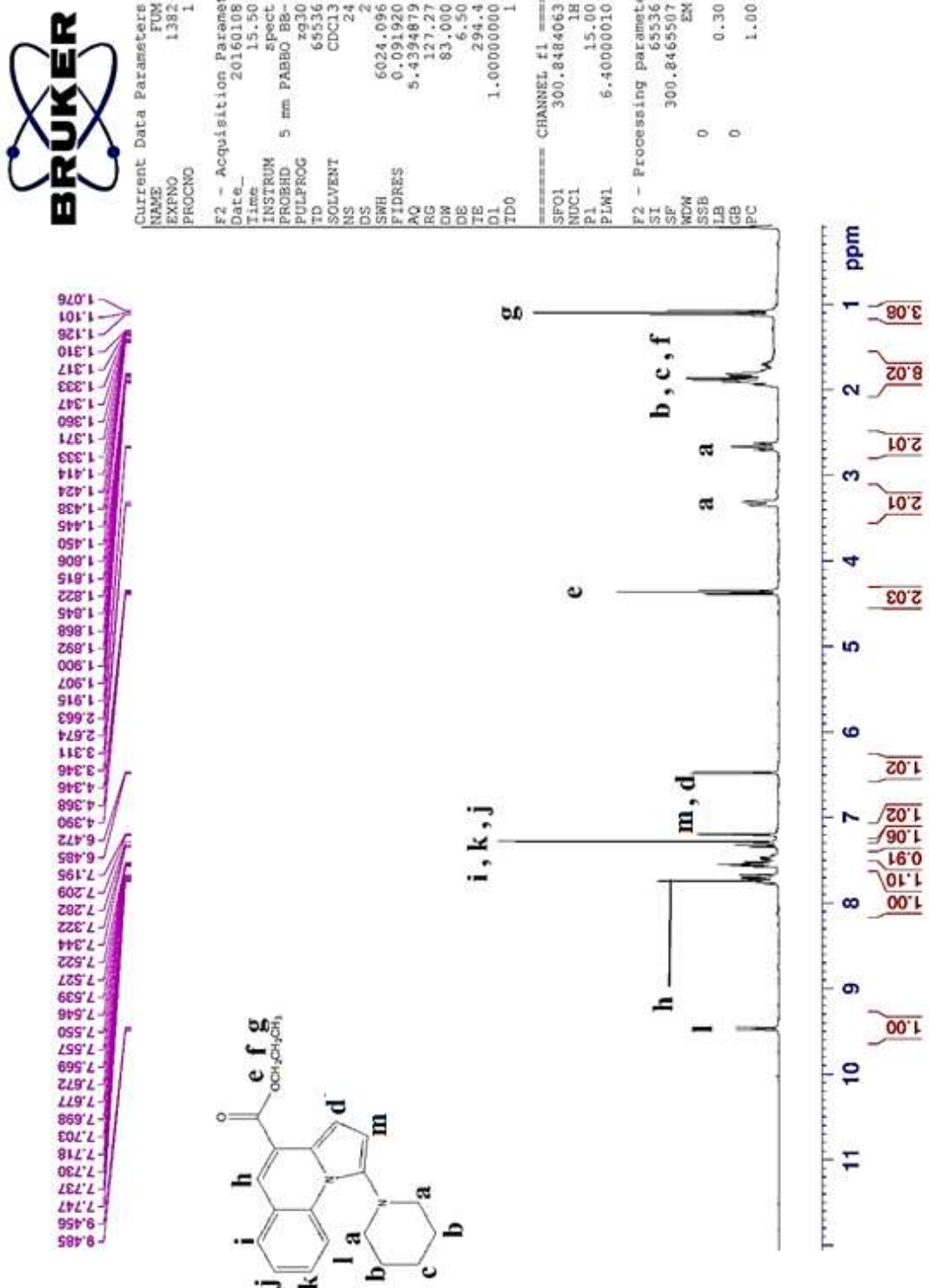
    graph TD
      I[Compound I] --> a[a]
      I --> b[b]
      I --> c[c]
      I --> d[d]
      I --> e[e]
      I --> f[f]
      I --> g[g]
      I --> h[h]
      I --> i[i]
      I --> j[j]
      I --> k[k]
      I --> l[l]
      I --> m[m]
      I --> n[n]
      I --> o[o]
      I --> p[p]
      I --> q[q]
      I --> r[r]
      I --> s[s]
      I --> t[t]
  
```



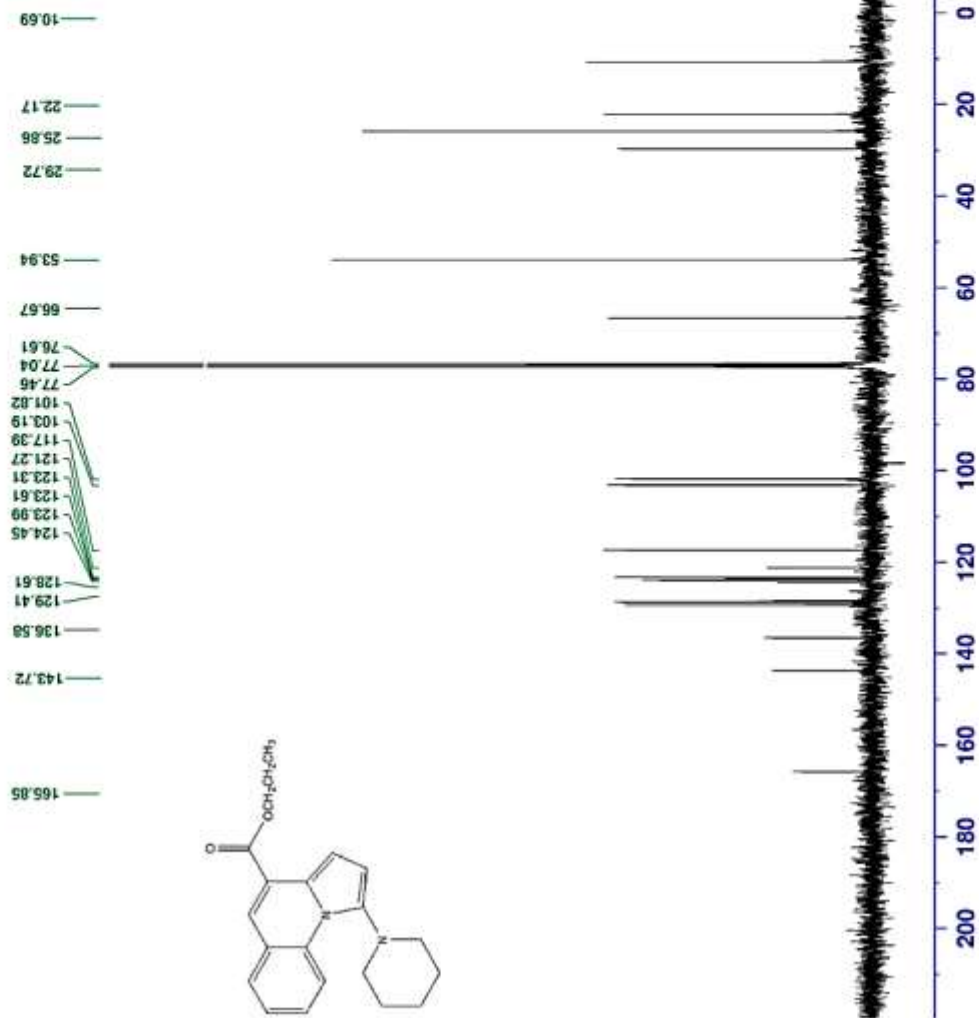


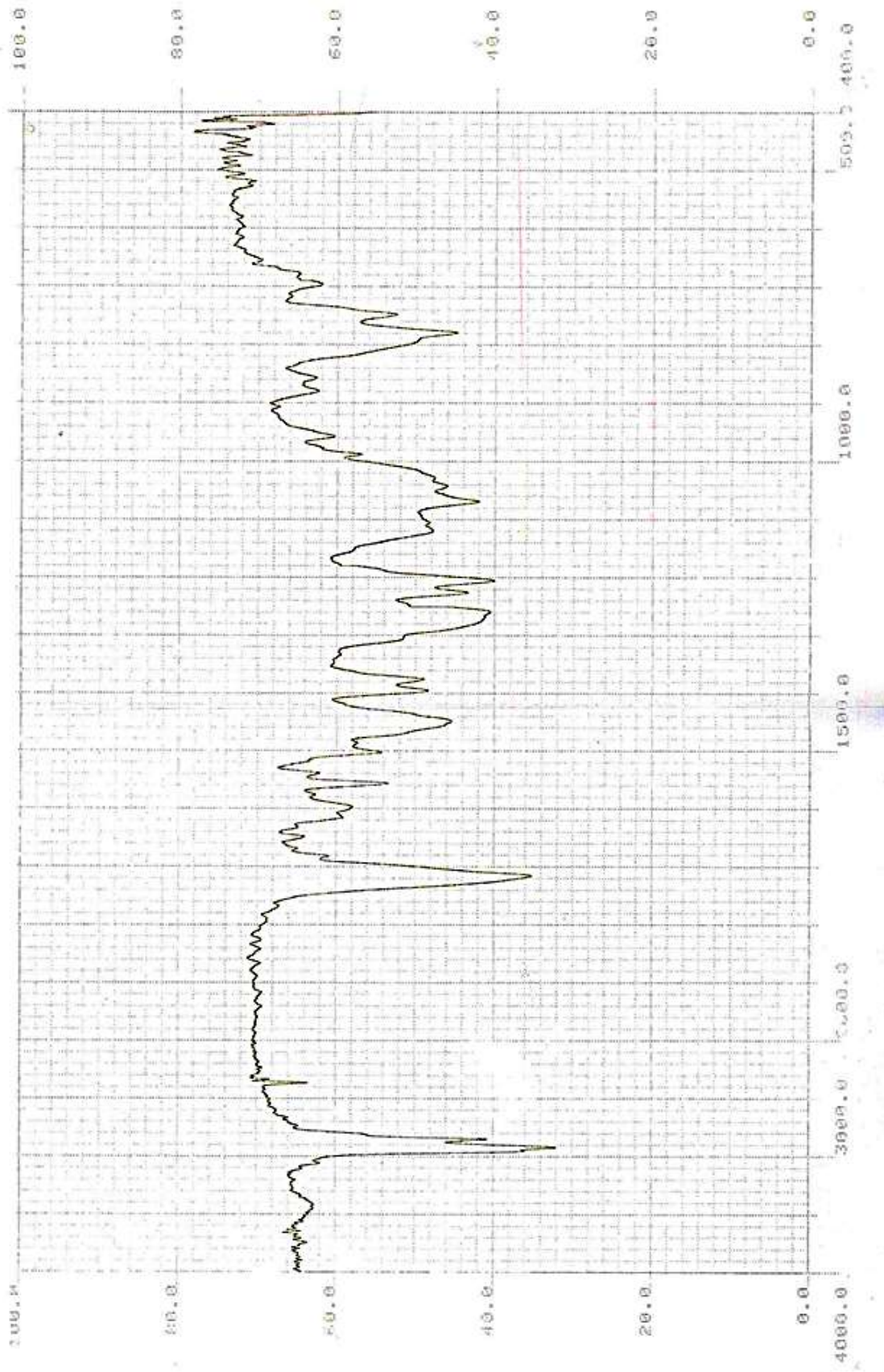
Current Data Parameters  
NAME Shahroud\_U  
EXPNO 16  
PROCNO 1





187







Current Data Parameters  
NAME Shahroud U  
EXPNO 57  
PROCNO 1

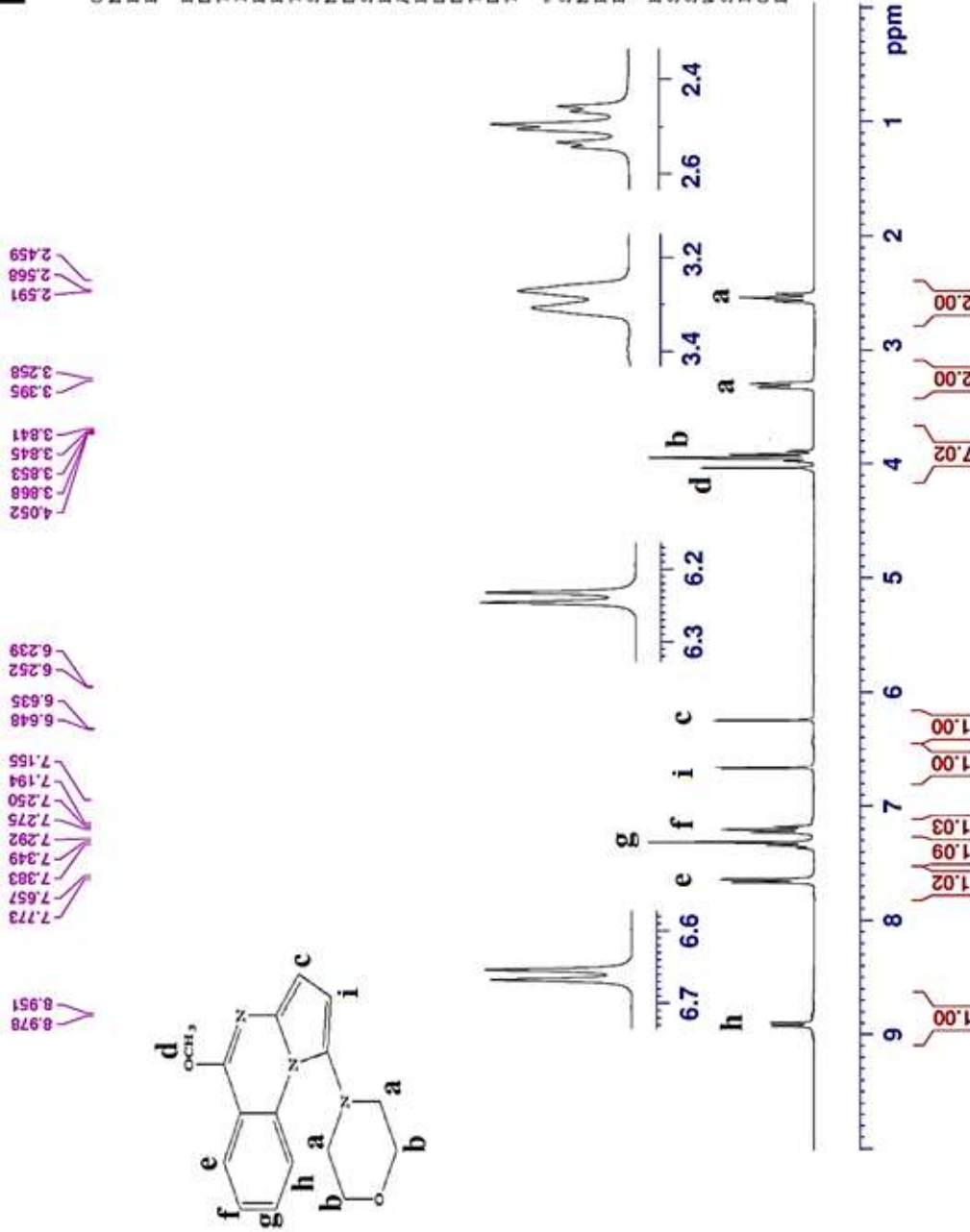
F2 - Acquisition Parameters

Date\_ 20160511  
Time 12:50  
INSTRUM spect  
PROBHD 5 mm PABBO BB-  
PULPROG PULPROG  
TD 65536  
SOLVENT CDCl3  
NS 16  
DS 2  
SWH 6024.096 Hz  
FIDRES 0.091920 Hz  
RG 5,439,879 sec  
DW 89.13  
DE 6.50 usec  
TE 299.0 K  
D1 1.0000000 sec  
TD0 1

CHANNEL f1  
SFO1 300.848063 MHz  
NUC1 1H  
P1 15.00 usec  
PLW1 6.40000010 W

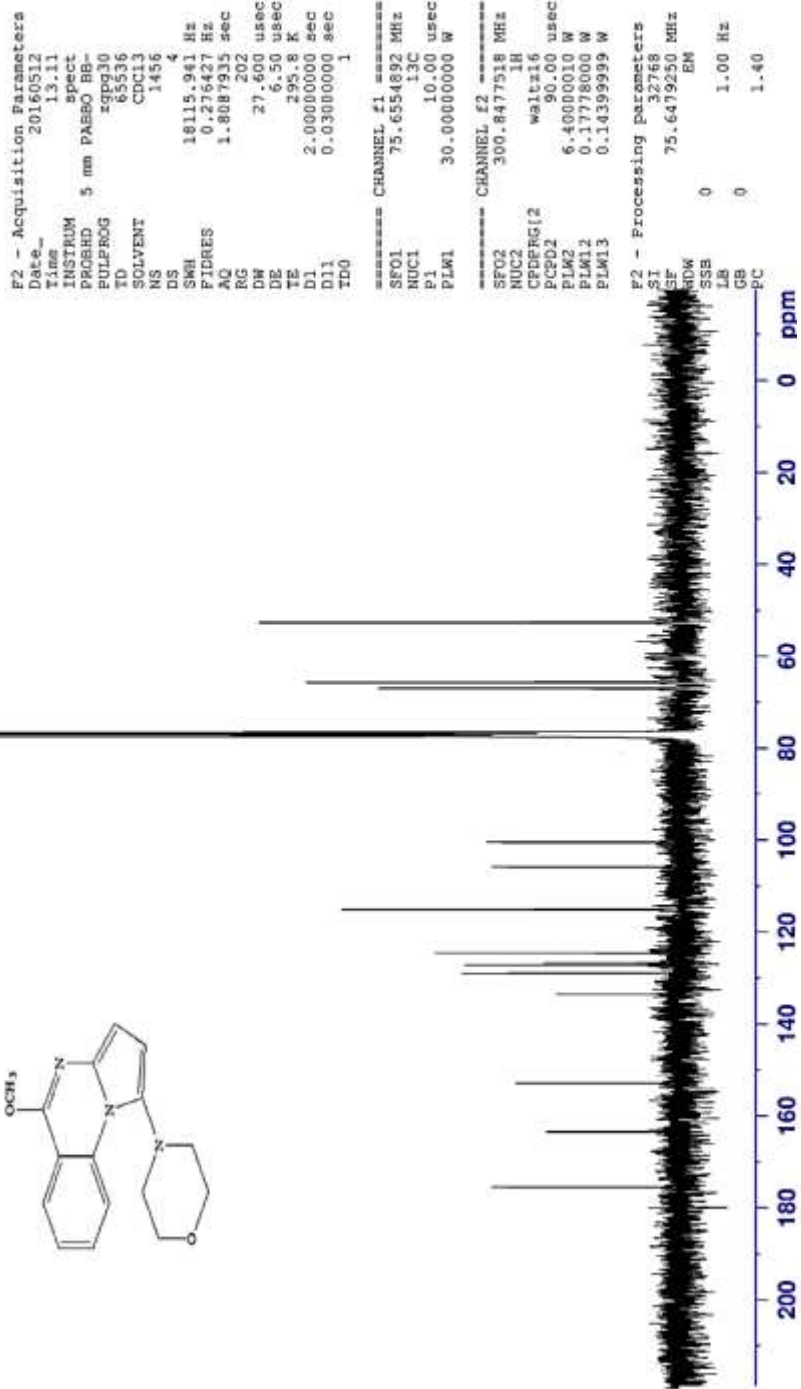
F2 - Processing parameters

SI 65536  
SF 300.8463748 MHz  
WDW EM  
SSB 0  
LB 0  
GB 0  
PC 1.00





Current Data Parameters  
NAME Shaabroud\_U  
EXPNO 69  
PROCNO 1



**BRUKER**

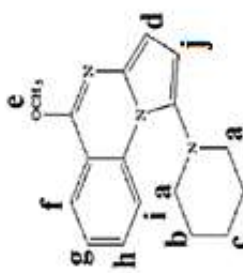
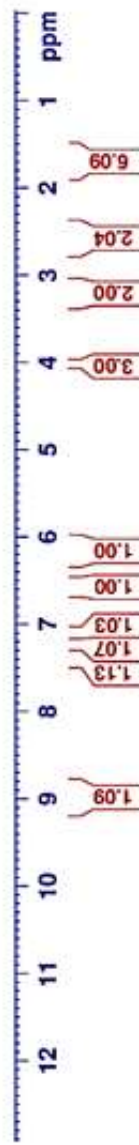
1.09  
1.13  
1.07  
1.03  
1.00  
1.00  
2.00  
2.04  
3.00  
3.431  
3.219  
2.551  
2.550  
1.910  
1.744  
1.607  
1.510

Current Data Parameters  
NAME Shahroud\_U  
EXPNO 70  
PROCNO 1

F2 - Acquisition Parameters

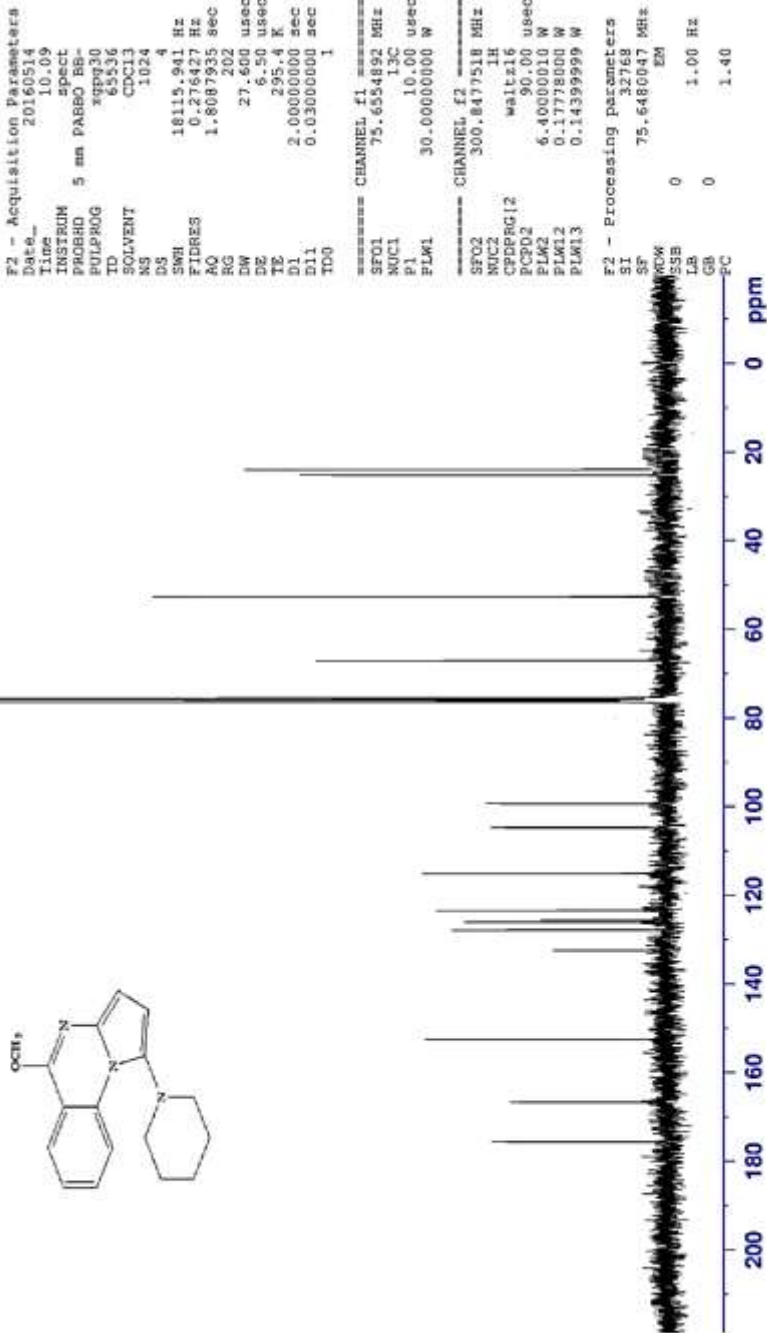
Date\_ 20160514  
Time 9:02  
INSTRUM spect  
PROBHD 5 mm PABBO BB-  
PULPROG zg30  
TD 6536  
SOLVENT CDCl3  
NS 16  
DS 2  
SWR 6024.096 Hz  
FIDRES 0.091920 Hz  
AQ 5.439879 sec  
RG 72.14  
DW 83.000 usec  
DE 6.50 usec  
TE 294.7 K  
D1 1.0000000 sec  
TDO 1

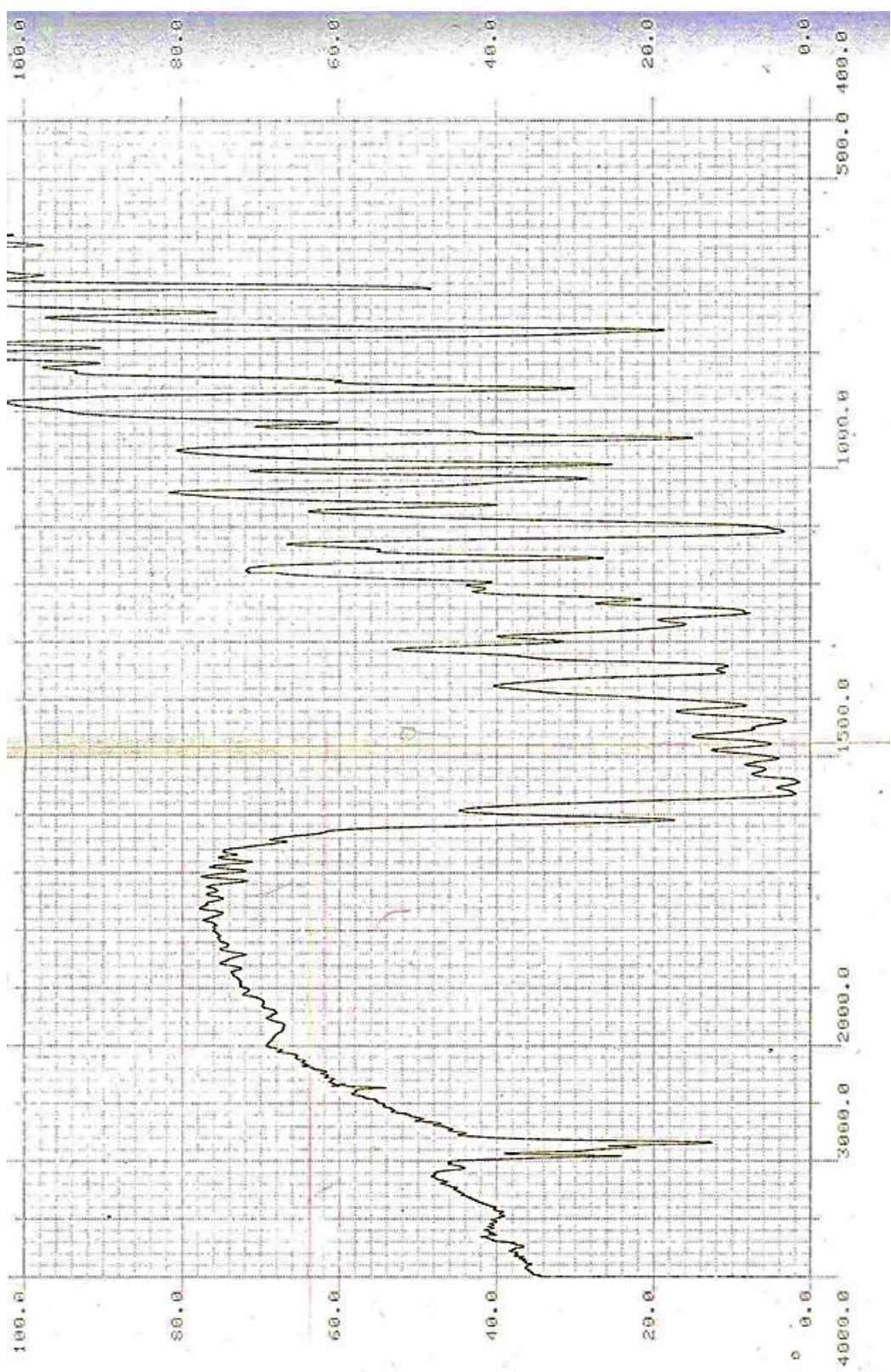
F2 - Acquisition Parameters  
SI 6536  
SP 300.8464063 MHz  
NUC1 1H  
P1 15.00 usec  
PLW1 6.40000010 W





Current Data Parameters  
NAME Shahroud\_U  
EXPNO 71  
PROCNO 1





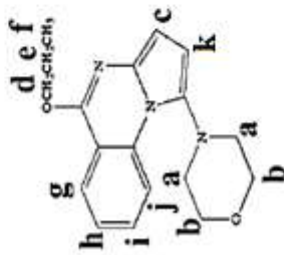
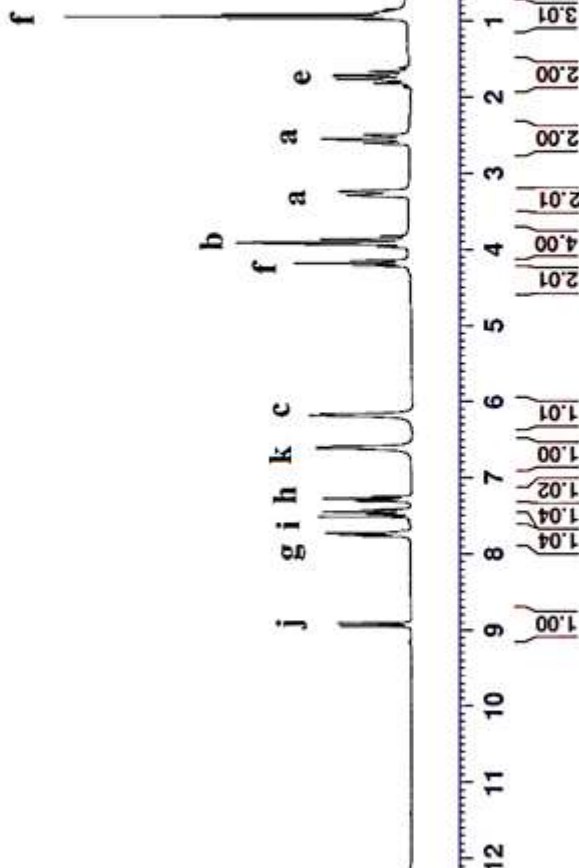
**BRUKER**

0.867  
0.856  
0.841  
0.800  
0.774  
0.740  
0.680  
1.580  
1.662  
1.770  
2.447  
2.580  
3.290  
3.322  
3.315  
3.748  
3.824  
3.921  
4.130  
4.213  
4.329  
4.351  
5.822  
6.177  
6.191  
6.585  
6.599  
7.233  
7.353  
7.465  
7.477  
7.535  
7.577  
7.635  
7.655  
8.916  
8.945

Current Data Parameters  
NAME Shatroud\_U  
EXPNO 57  
PROCNO 1

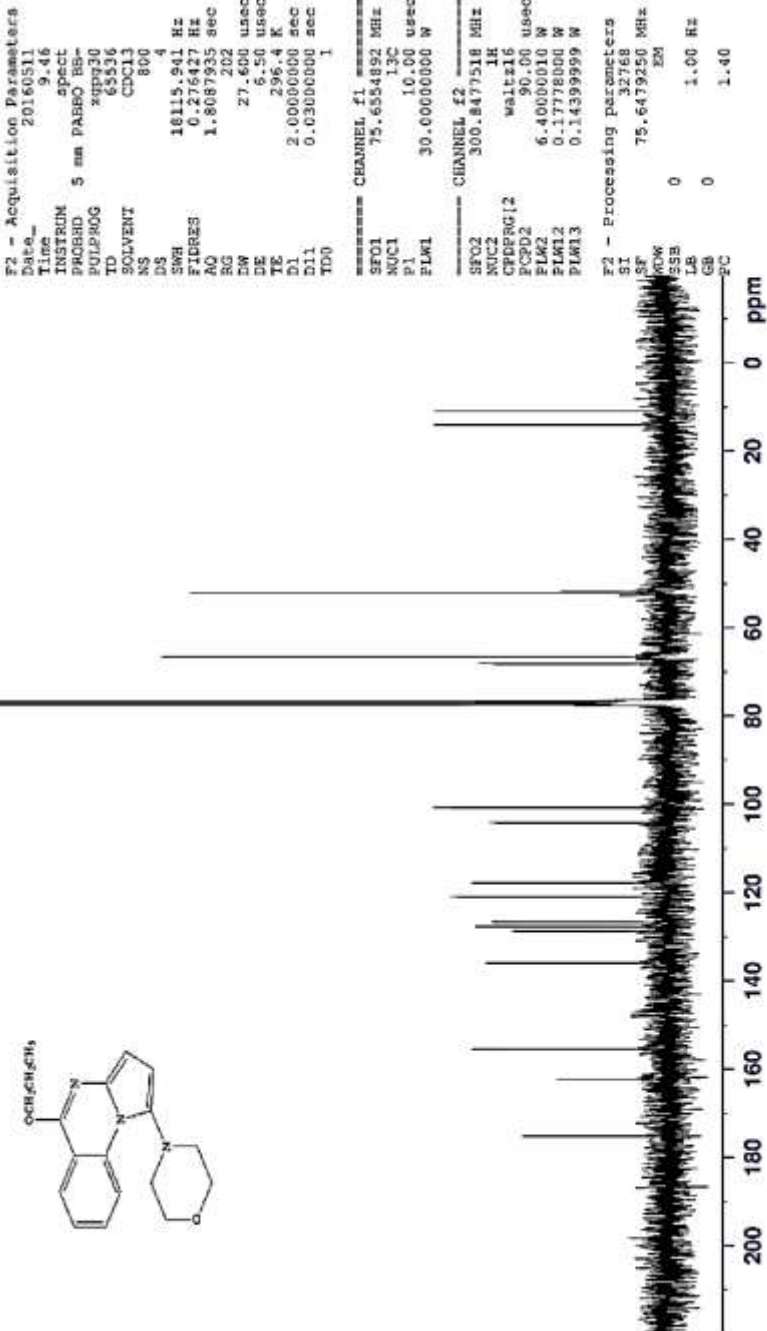
F2 - Acquisition Parameters  
Date\_ 20160511  
Time 8:33  
INSTRUM spect  
PROBHD 5 mm PABBO BB-  
PULPROG FID  
TD 65536  
SOLVENT CDCl3  
NS 32  
DS 2  
SWH 6024.096 Hz  
FIDRES 0.091920 Hz  
AQ 5.4394879 sec  
RG 127.27  
DW 83.000 usec  
DE 6.50 usec  
TE 295.8 K  
D1 1.0000000 sec  
TD0 1

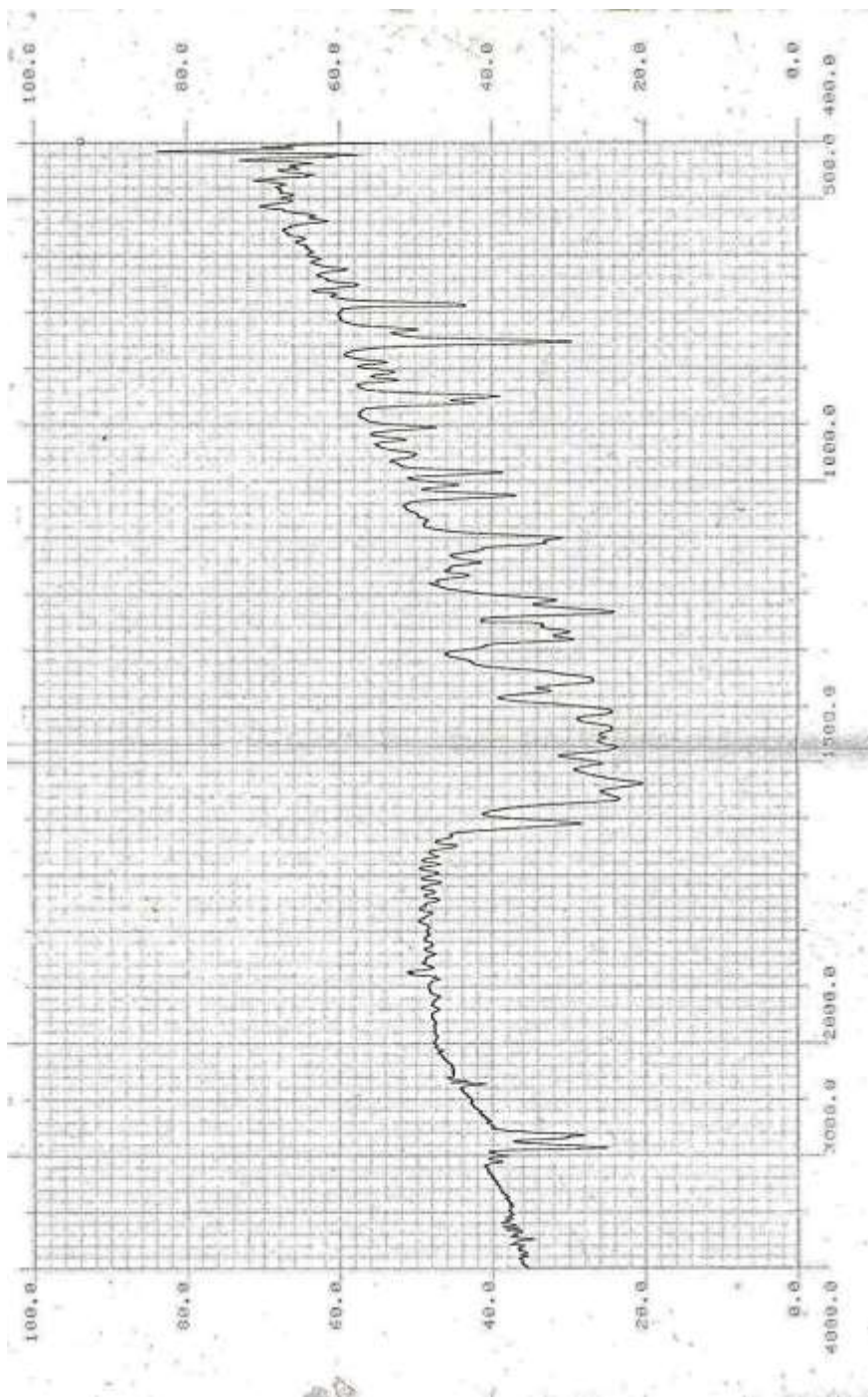
===== CHANNEL f1 =====  
SFO1 300.8484003 MHz  
NUC1 1H  
P1 15.00 usec  
P901 6.40000010 W  
F2 - Processing parameters  
SI 65536  
SF 300.8465741 MHz  
NMW 0 EM  
SSB 0 LB 0.30 Hz  
GB 0 PC 1.00



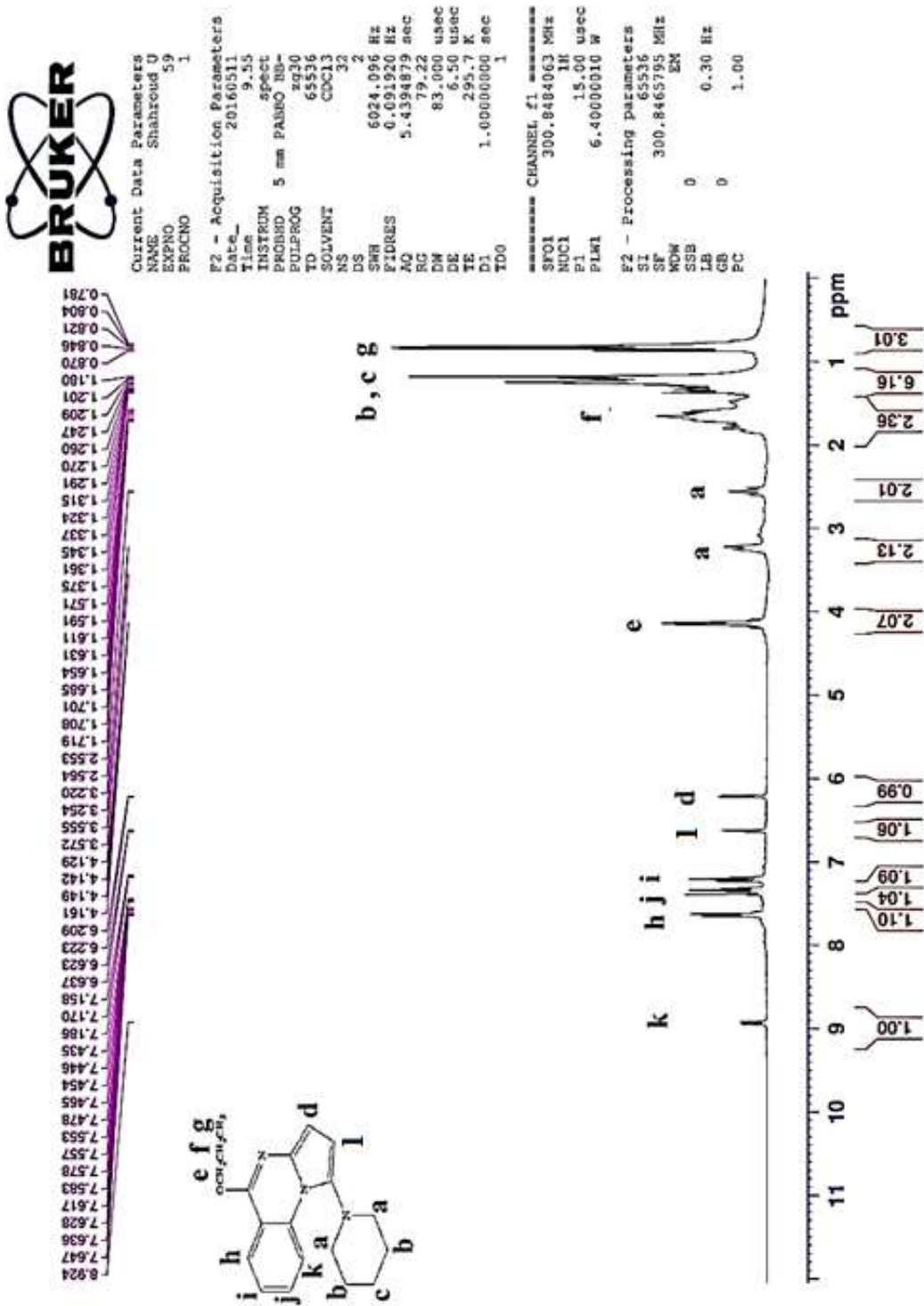


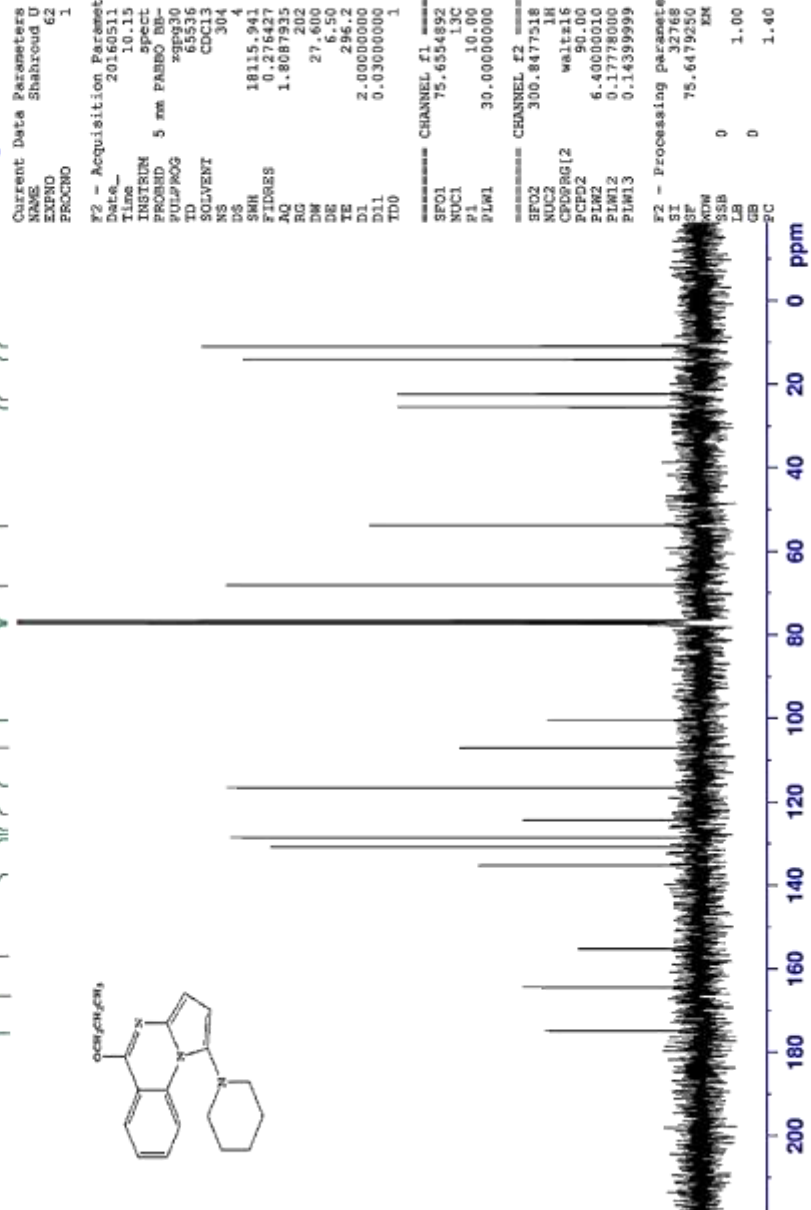
Current Data Parameters  
NAME Shahroud\_U  
EXPNO 58  
PROCNO 1

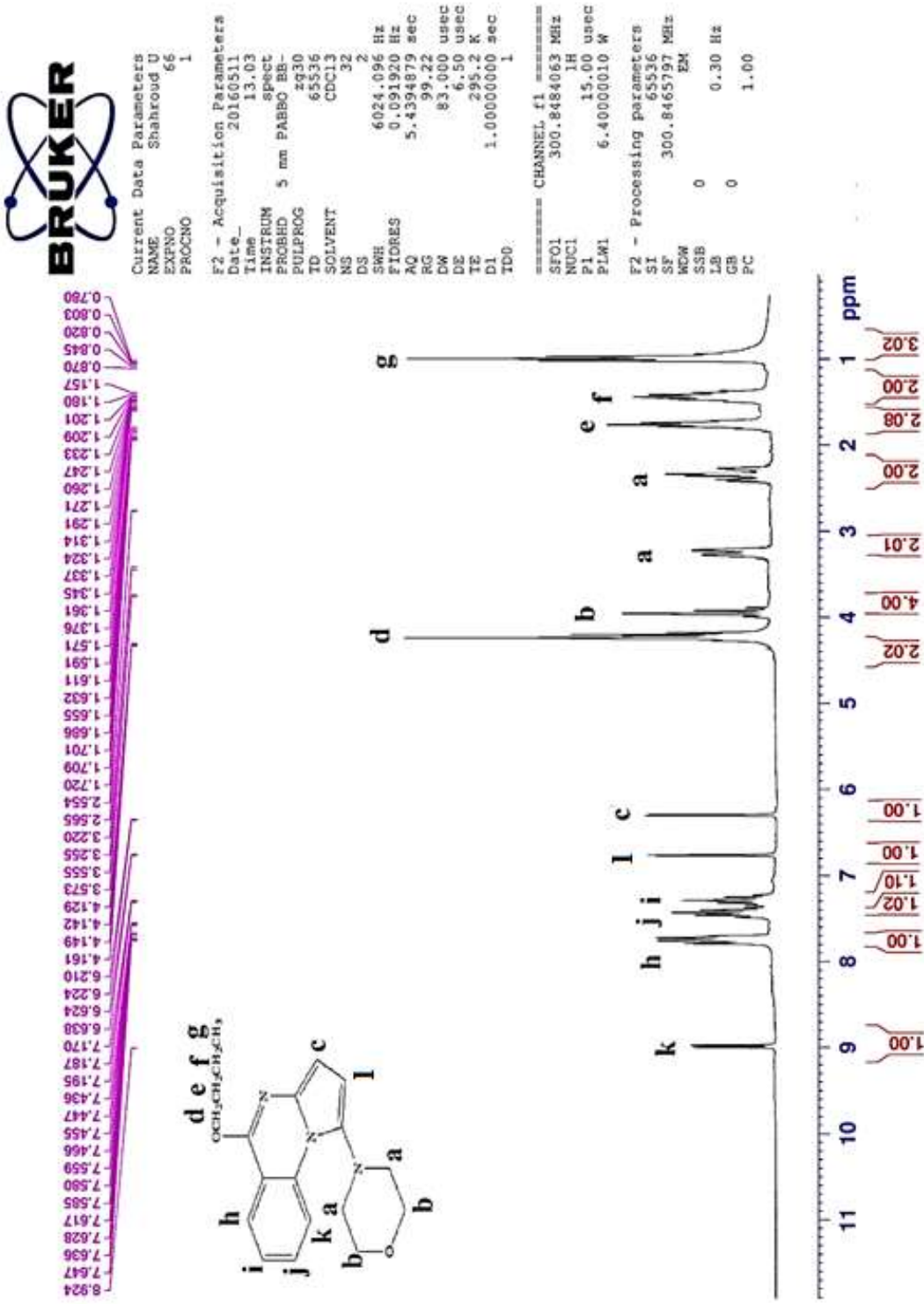




19V

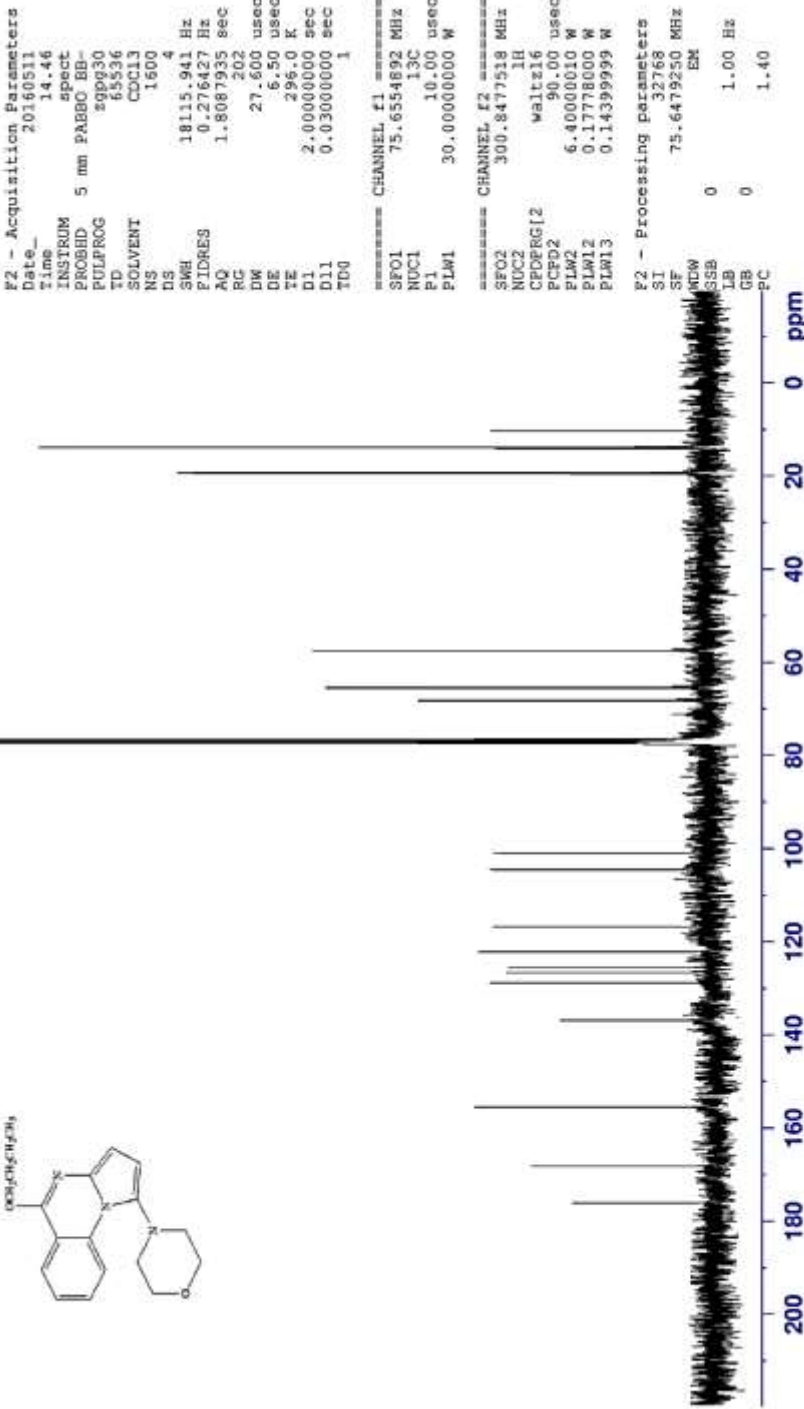








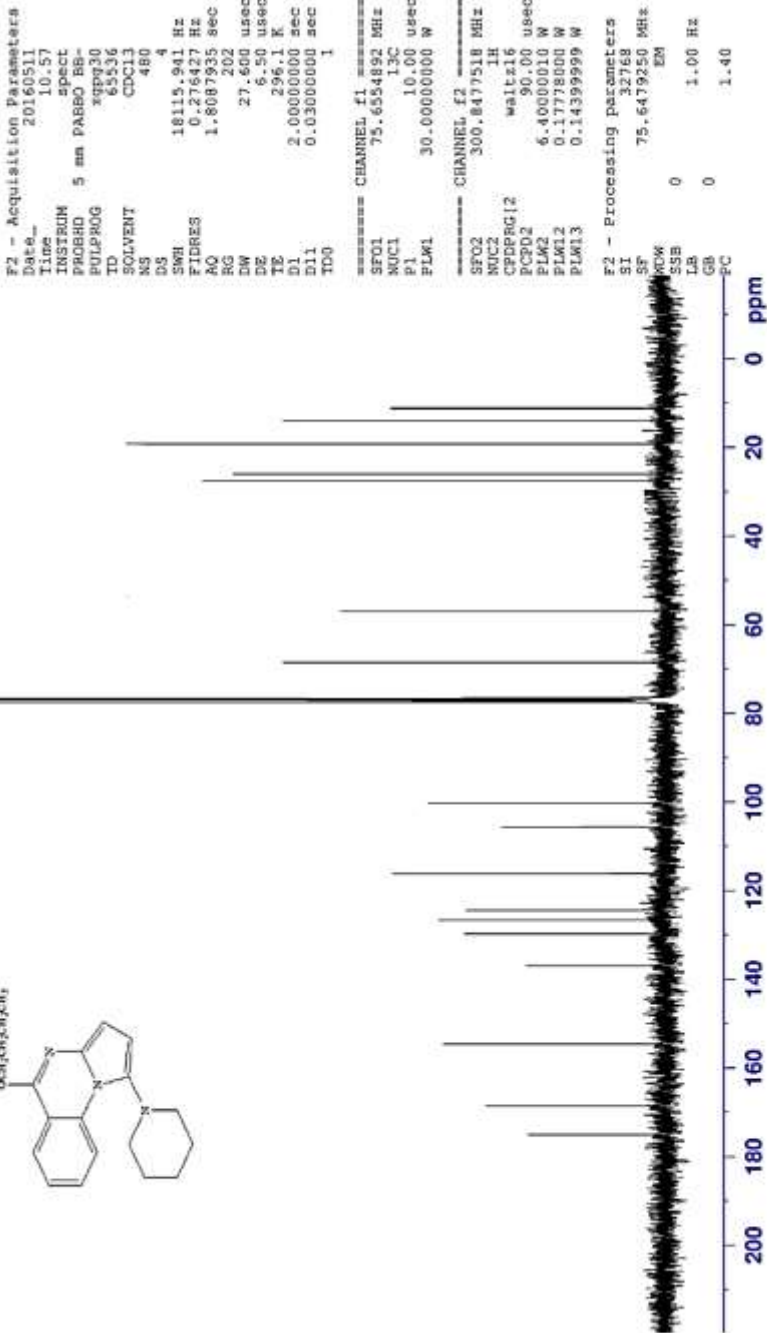
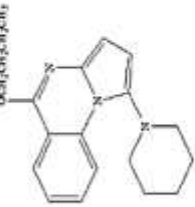
Current Data Parameters  
NAME Shahroud\_U  
EXNO 67  
PROCNO 1



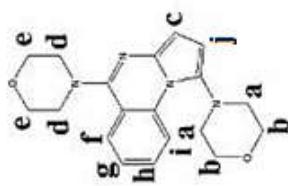
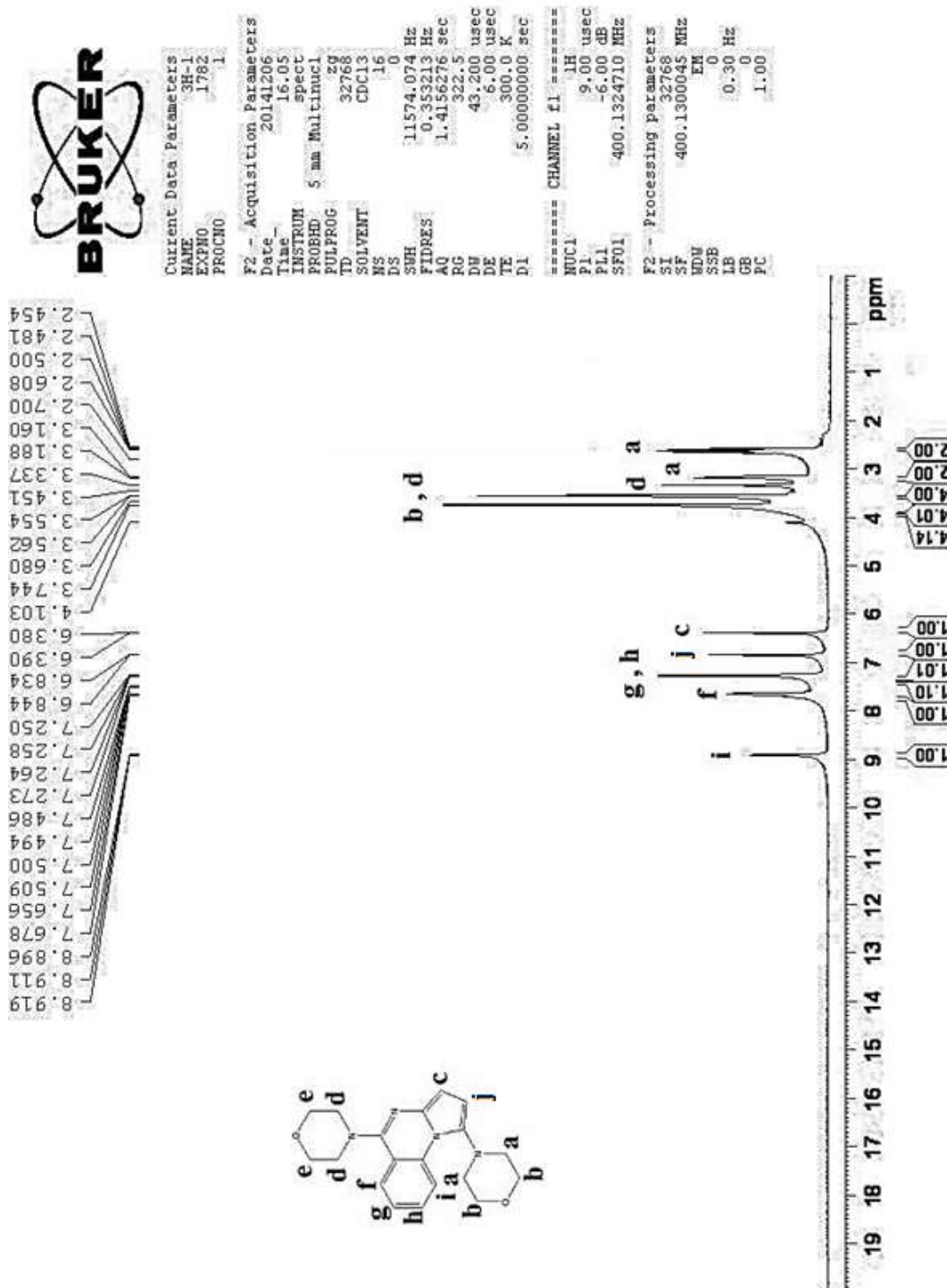




Current Data Parameters  
NAME Shahroud\_U  
EXPNO 64  
PROCNO 1



**BRUKER**





Current Data Parameters

```

NAME      Shahroud0
EXPTNO   56
PROCNO    1

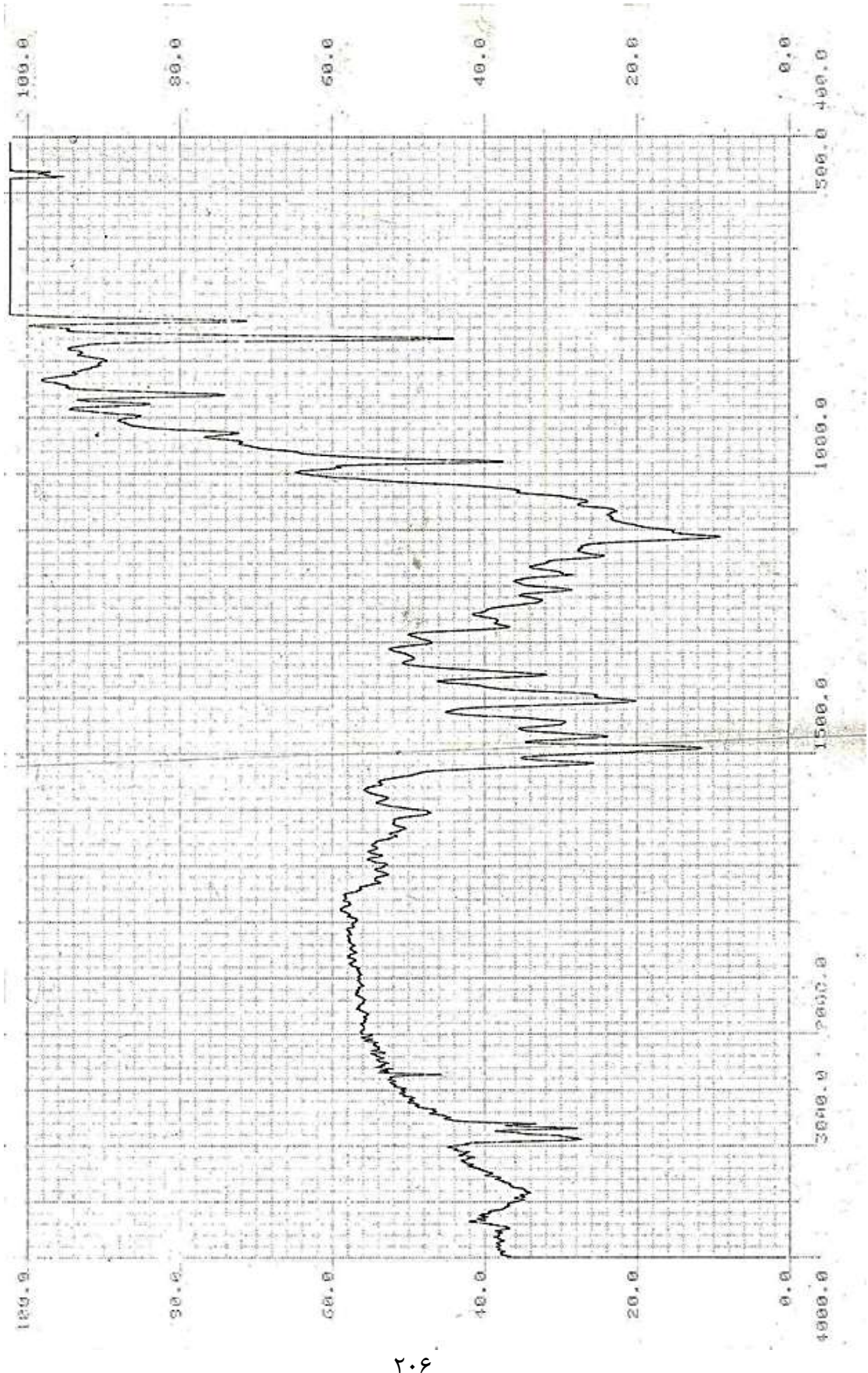
F2 - Acquisition Parameters
Date_   20160511
Time_   16:54
INSTRUM spect
PROBHD  5 mm PARBO BB-
PULPROG zgpp30
TD      65536
SOLVENT  CDCl3
NS      208
DS      4
SWH     10115.941 Hz
FIDRES  0.25427 Hz
AQ      1.8087935 sec
RG      202
DW      27.600 usec
DE      6.50 usec
TE      796.5 K
T1      2.0000000 sec
D1      0.3000000 sec
T2D0          1

===== CHANNEL f1 =====
SFO1   75.6534892 MHz
NUC1   1H
P1      10.00 usec
P1M1   30.0000000 W

===== CHANNEL f2 =====
SFO2   300.0477510 MHz
NUC2   13C
CPDPRG1 2
PCPDQ2  90.00 usec
PLM2   6.40000010 W
PLM12  0.17778000 W
PLM13  0.14399999 W

F2 - Processing Parameters
SI      32768
SP      75.6439250 MHz
WDCS   0
SSA    0
LB      1.00 Hz
GB      0
PC      1.40

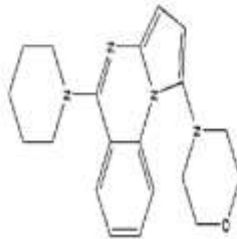
```







24.96

51.20  
53.37  
66.42  
76.86  
77.08  
77.50100.39  
104.83  
115.42  
122.74  
127.62  
128.12  
135.53  
142.74153.07  
161.27  
171.13

Current Data Parameters

NAME: Shahroud\_U  
EPRFO: 72  
PROCNO: 1

## P2 - Acquisition parameters

Date-e\_ 20160514  
Time 11.14  
INSTRUM spect  
PROBHD 5 mm PABBO BB-  
PULPROG zgpp30  
TD 65536  
SOLVENT CDCl3  
NS 304  
DS 4  
SWH 18115.941 Hz  
FIDRES 0.776427 Hz  
AQ 1.808735 sec  
RG 202  
DM 27.600 usec  
DE 6.50 usec  
TE 295.3 K  
D1 2.0000000 sec  
D11 0.0300000 sec  
TD0 1

## ===== CHANNEL f1 =====

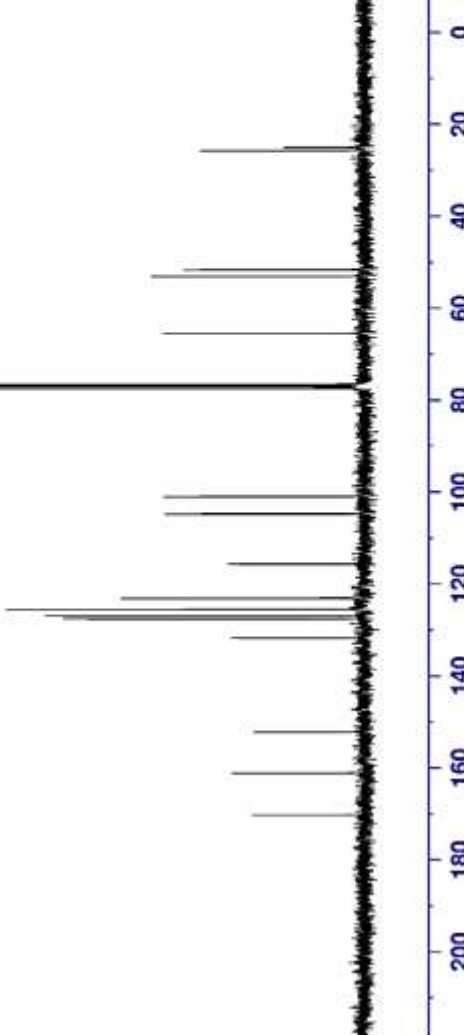
SP01 75.6554892 MHz  
NUC1 13C  
P1 10.00 usec  
PW1 30.0000000 W

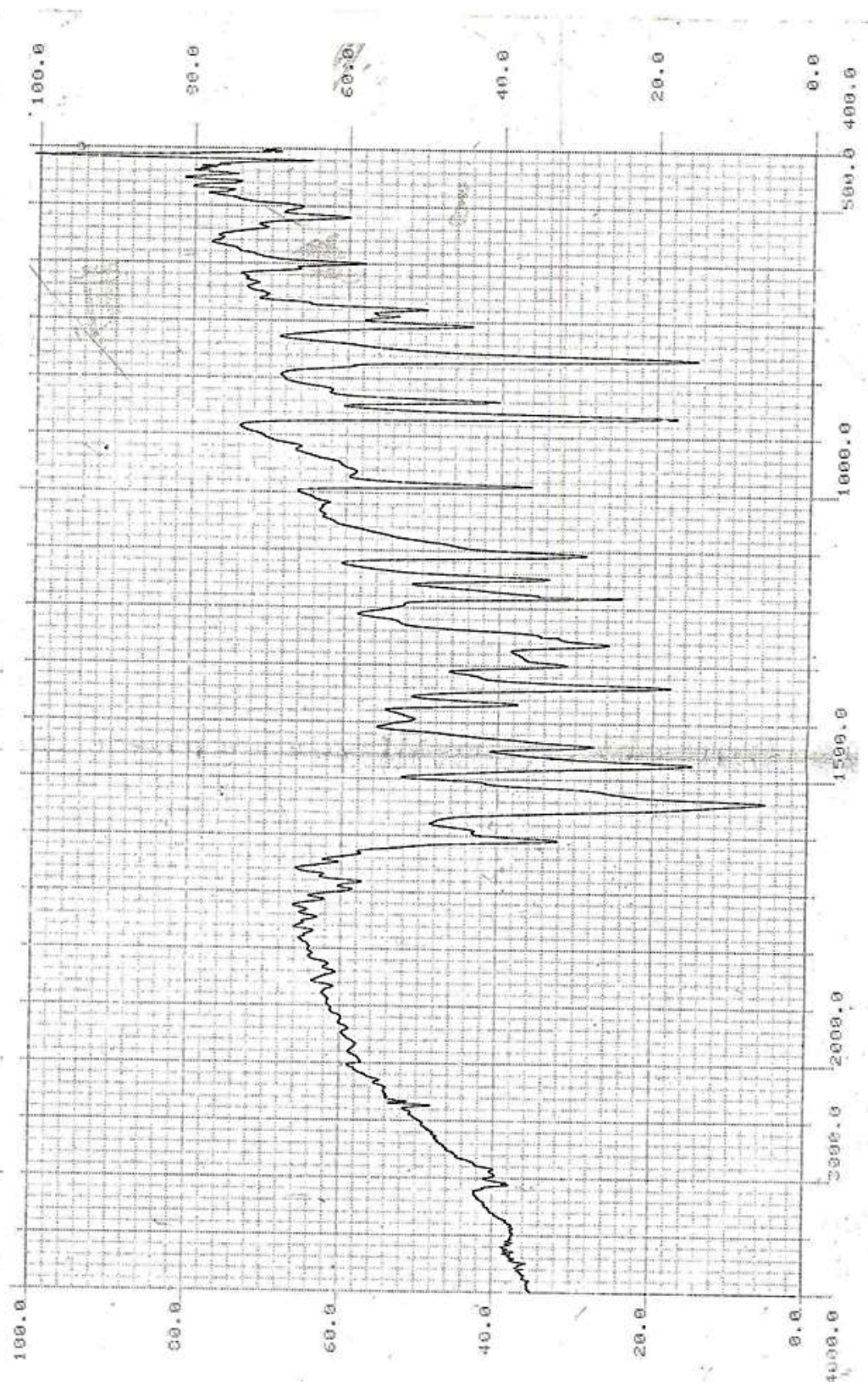
## ===== CHANNEL f2 =====

SP02 300.8477518 MHz  
NUC2 1H  
CPDPFG12 wait16  
P2PD2 90.00 usec  
PLW2 6.40000010 W  
PLW1.2 0.17778000 W  
PLW1.3 0.14399999 W

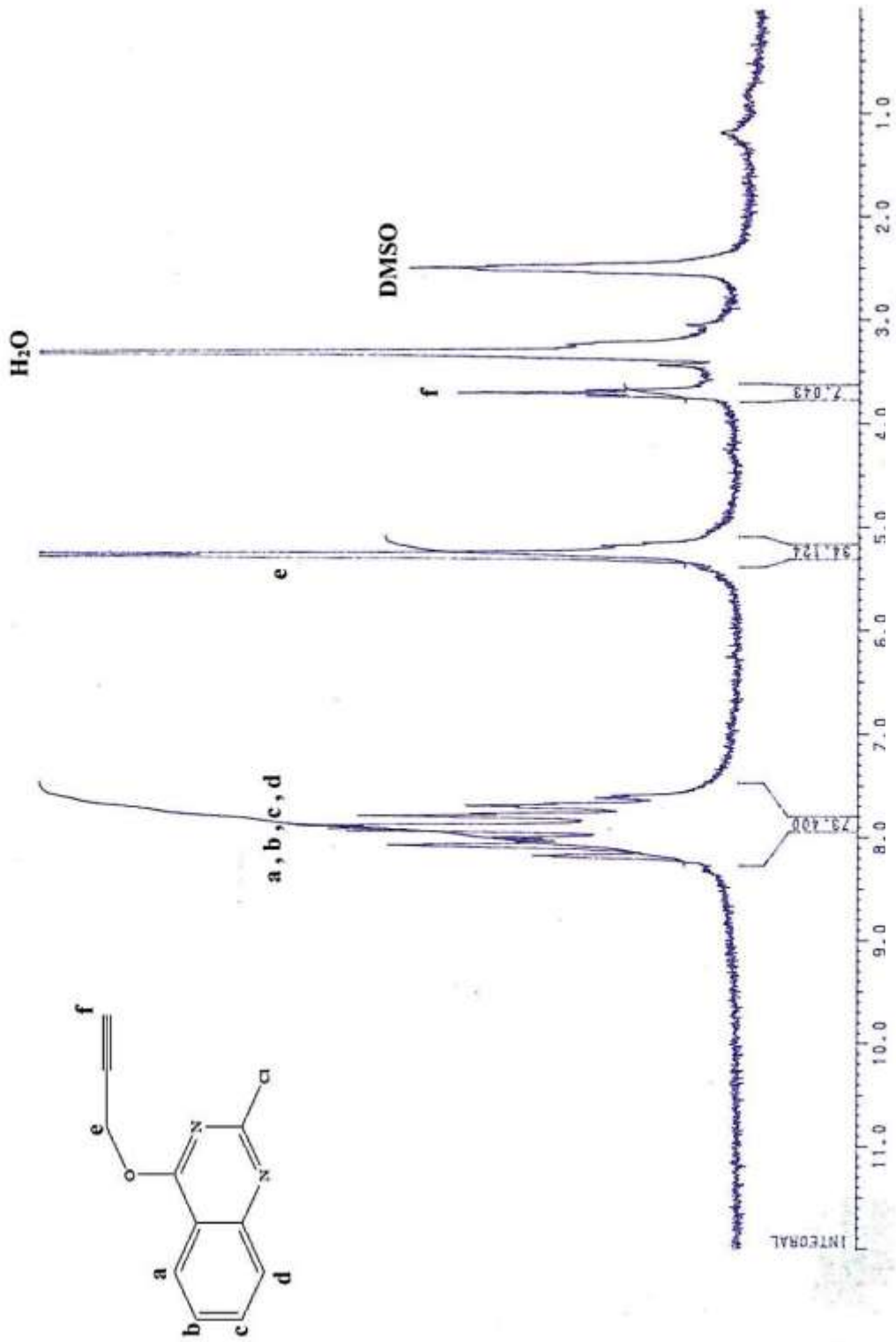
## P2 - Processing parameters

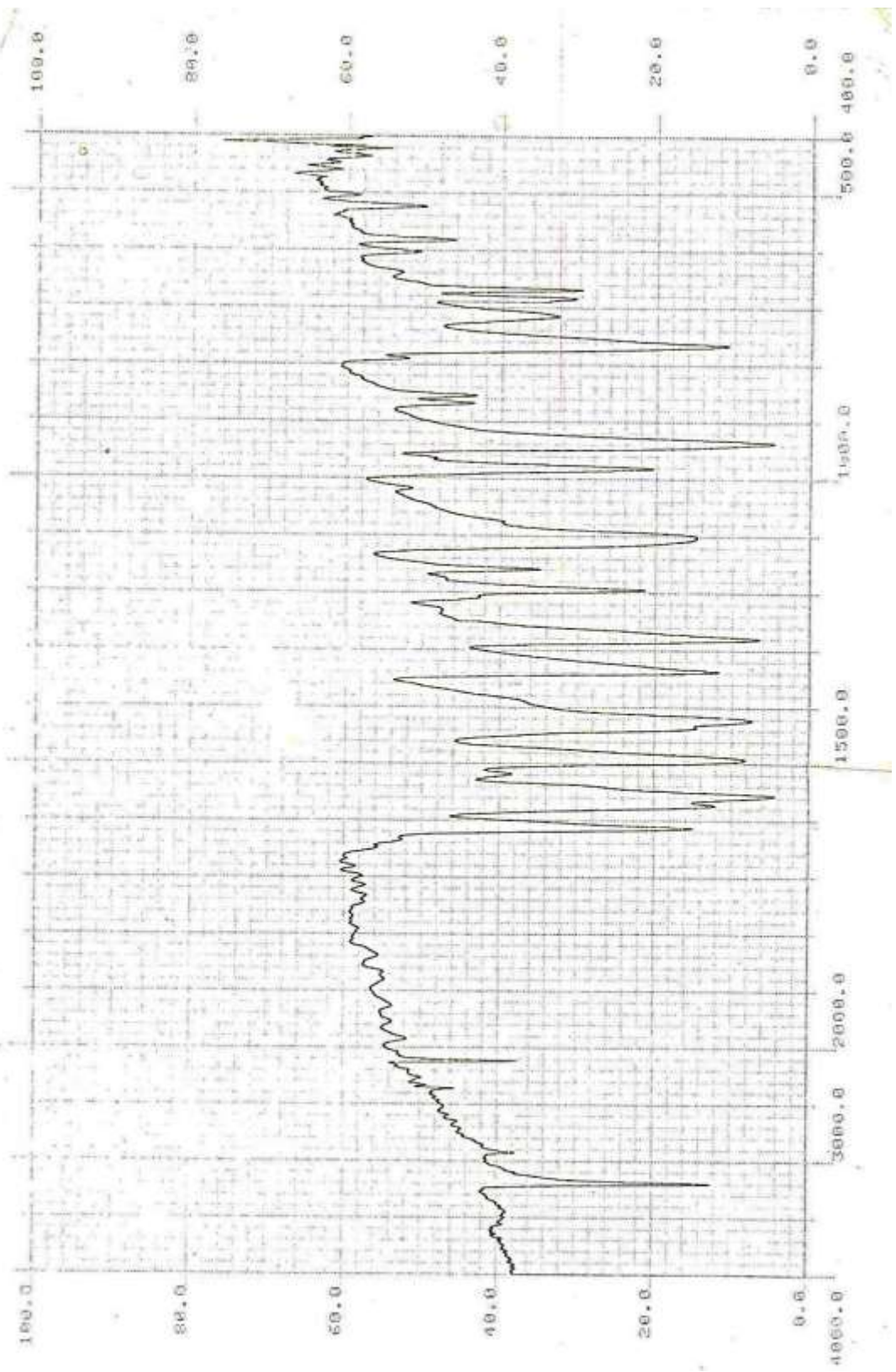
ST 3.2768  
SF 75.6479250 MHz  
WDW BM  
SSB 0  
LB 1.00 Hz  
GB 0  
PC 1.40

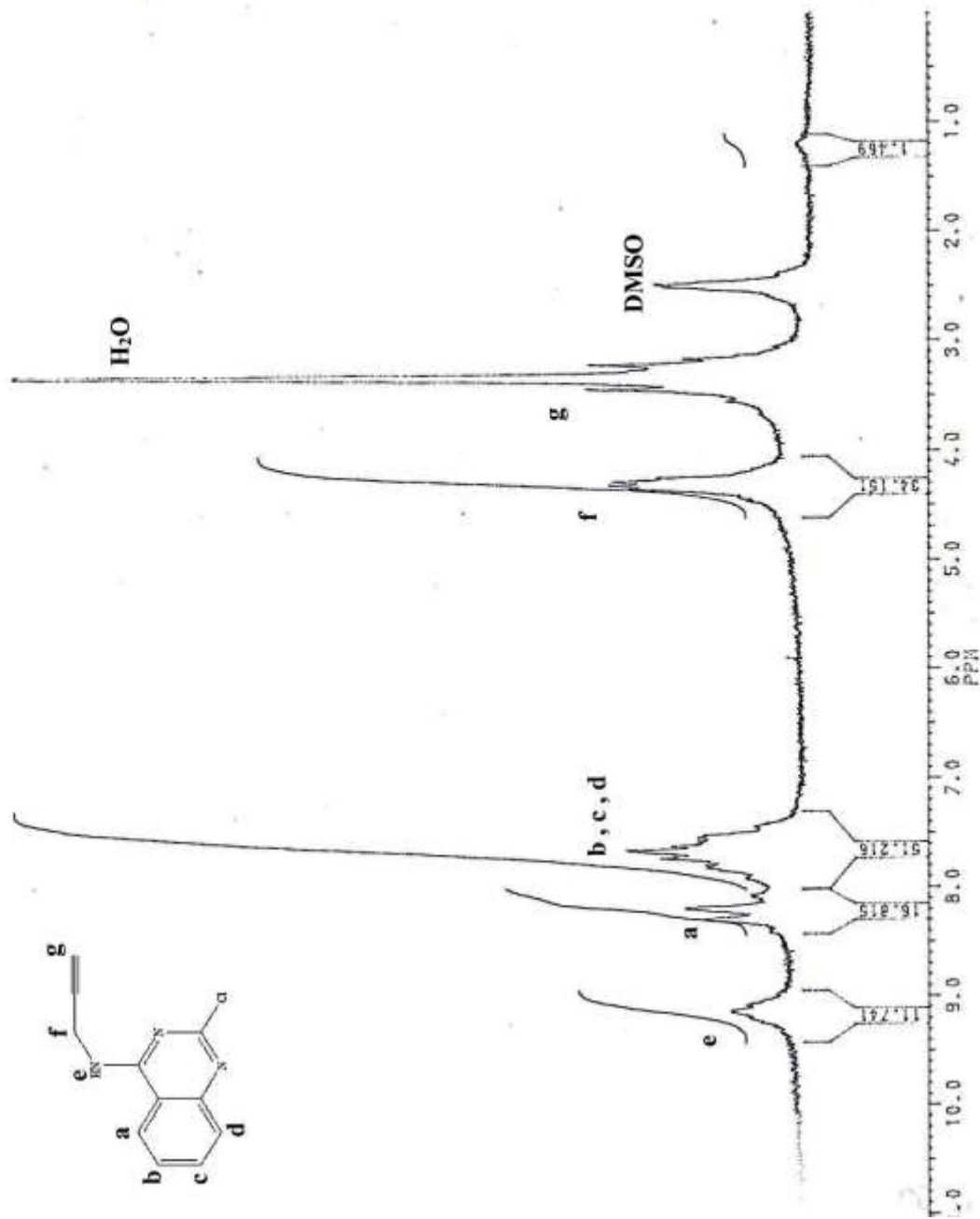




7.9

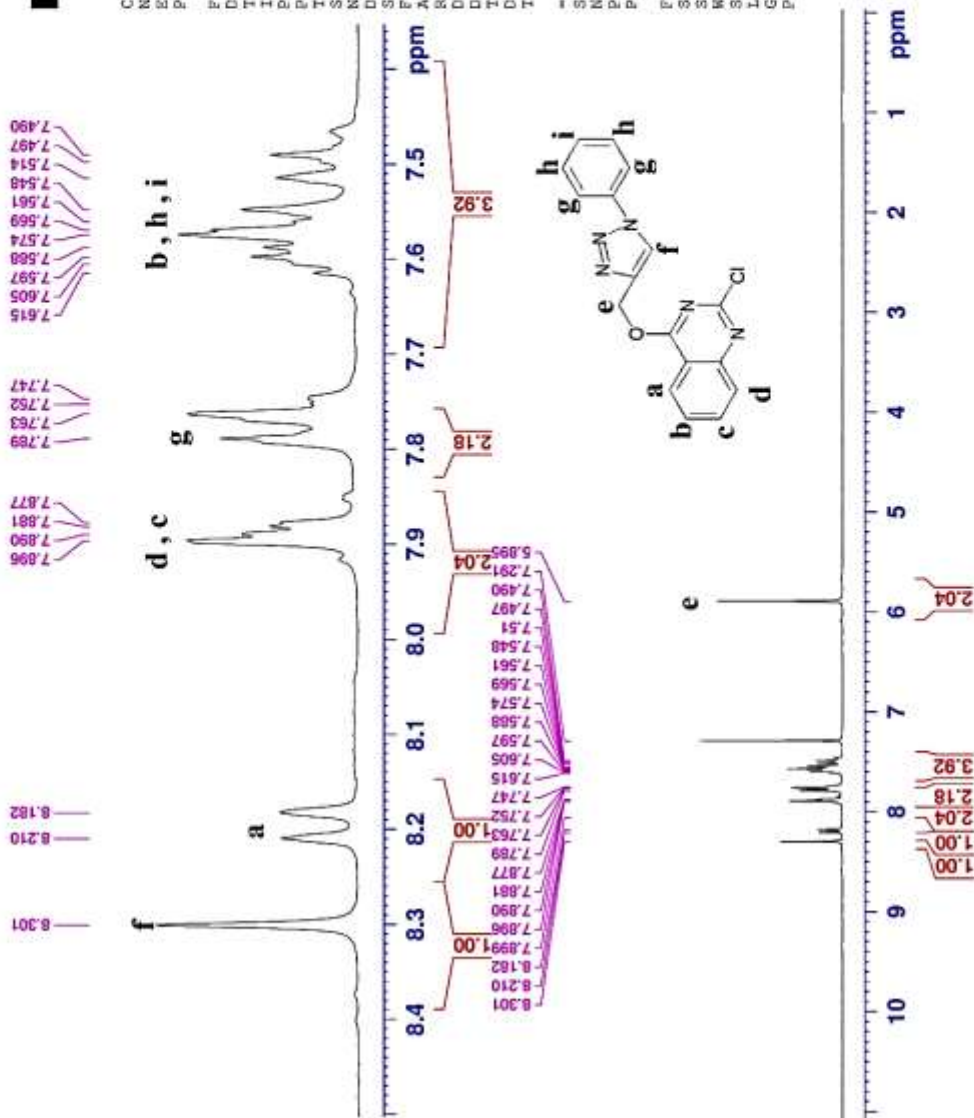






The Bruker logo consists of the word "BRUKER" in a bold, black, sans-serif font. Above the letter "B", there is a stylized blue atom symbol with three elliptical orbits intersecting at a central nucleus.

Current Data Parameters		P2 - Acquisition Parameters	
NAME	Shahroud U	DATE	20160628
EXPTID	131	TIME	23.37
PBGCNO	1	INSTRUM	Spect
		PROBOD	5 mm PABBO BB- PULPROG
		TD	8910 65336 CDC13
		SOLVENT	24
		NS	2
		DS	6024.096 Hz
		SWH	0.091920 Hz
		FTURES	5.4494819 sec
		AO	202
		RG	8.00
		DW	6.50 user
		TE	296.8 K
		DI	1.0000000 sec
		T0	1
 ***** CHANNEL F1 *****			
SFO1	300,8849463 MHz	NUC1	1H
P1	15.00 user	PLW1	6.44000010 W





Current Data Parameters  
NAME Shahroud\_U  
EXPNO 167  
PROCNO 1

F2 - Acquisition Parameters  
Date\_ 20160905  
Time\_ 16.02  
INSTRUM spect  
PROBHD 5 mm PABBO BB-  
PULPROG zgpg30  
TD 65536  
SOLVENT DMSO  
NS 2280  
DSW 1811.4,941 Hz  
FIDRES 0.26427 Hz  
AQ 1.8007935 sec  
RG 202  
DW 27.600 usec  
DE 6.50 usec  
TE 296.2 K  
D1 2.0000000 sec  
D11 0.0300000 sec  
TD0 1

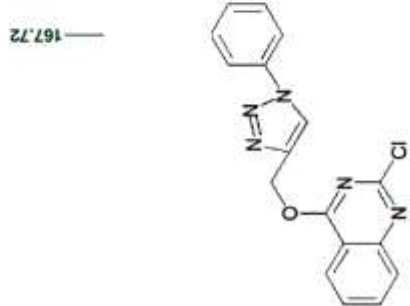
===== CHANNEL F1 =====  
SFO1 75.654892 MHz  
NUC1 13C  
P1 10.00 usec  
PLW1 30.0000000 W

===== CHANNEL F2 =====  
SFO2 300.847518 MHz  
NUC2 1H  
CPDPBG12 waltz16  
PCP02 90.00 usec  
PLW2 6.40000010 W  
PLW12 0.1770000 W  
PLW13 0.14399999 W

F2 - Processing parameters  
SI 32768  
SF 75.6419250 MHz  
RFWD 0 EM  
SSB 0 1.00 Hz  
LB 0  
GB 0  
PC 1.40

61.50  
40.80  
40.52  
40.25  
39.97  
39.69  
39.42  
39.14

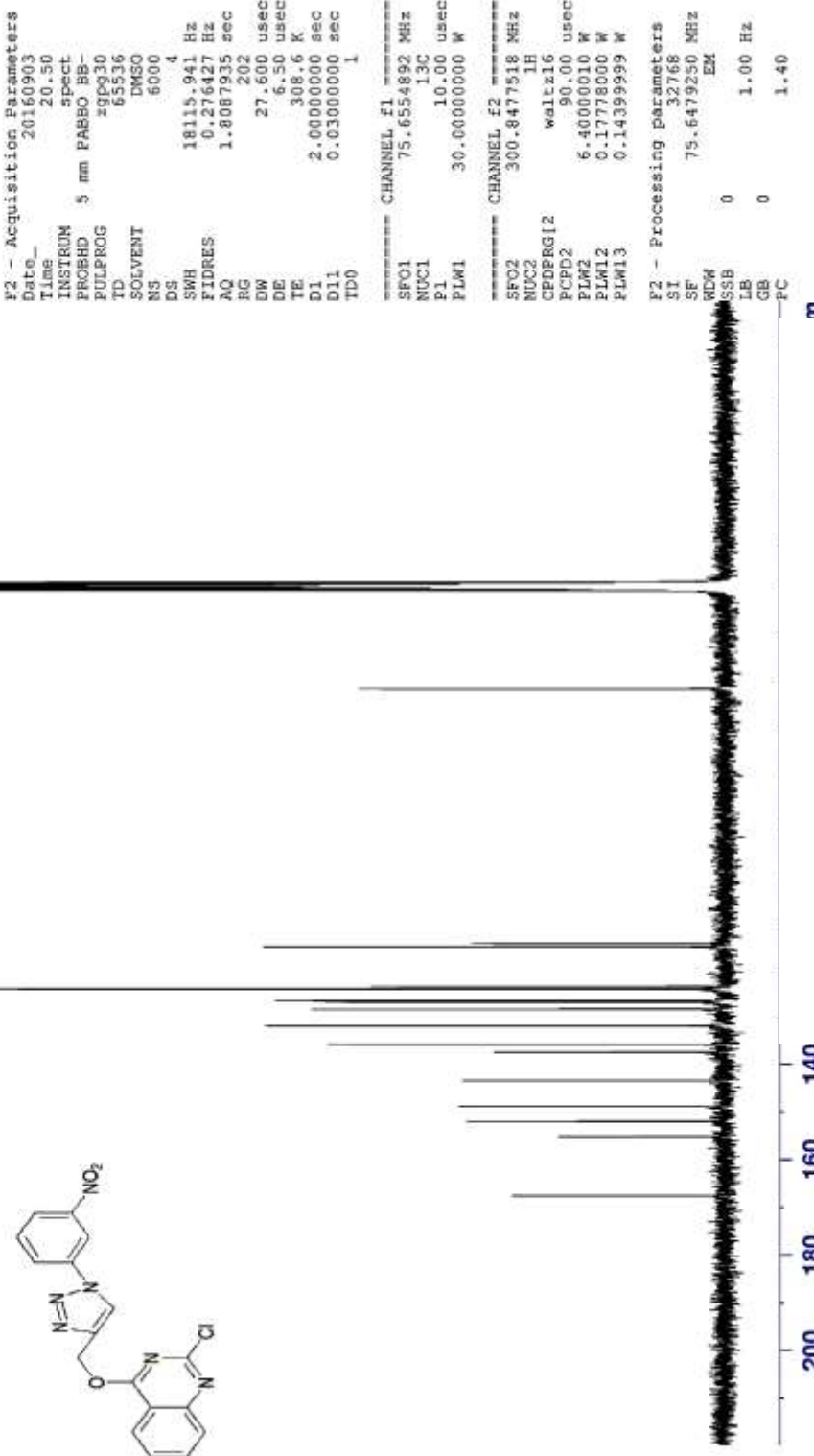
152.10  
143.01  
135.98  
130.42  
129.38  
128.65  
127.07  
124.37  
123.94  
120.66  
114.84







Current Data Parameters  
NAME Shahroud\_U  
EXPNO 161  
PROCNO 1



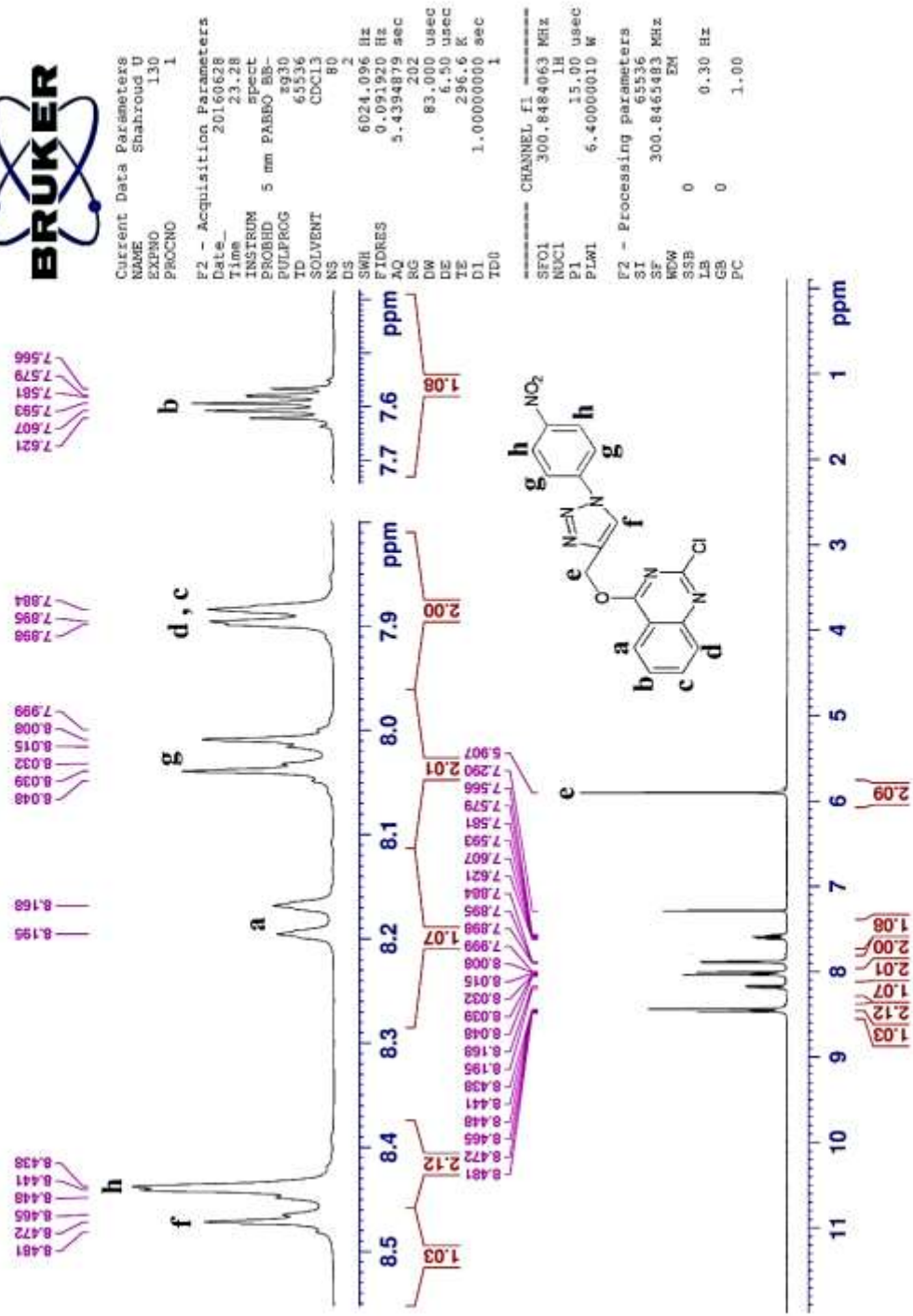
167.66  
155.18  
152.10  
149.99  
143.49  
137.55  
135.97  
132.05  
127.07  
126.76  
124.31  
123.79  
115.45  
114.80

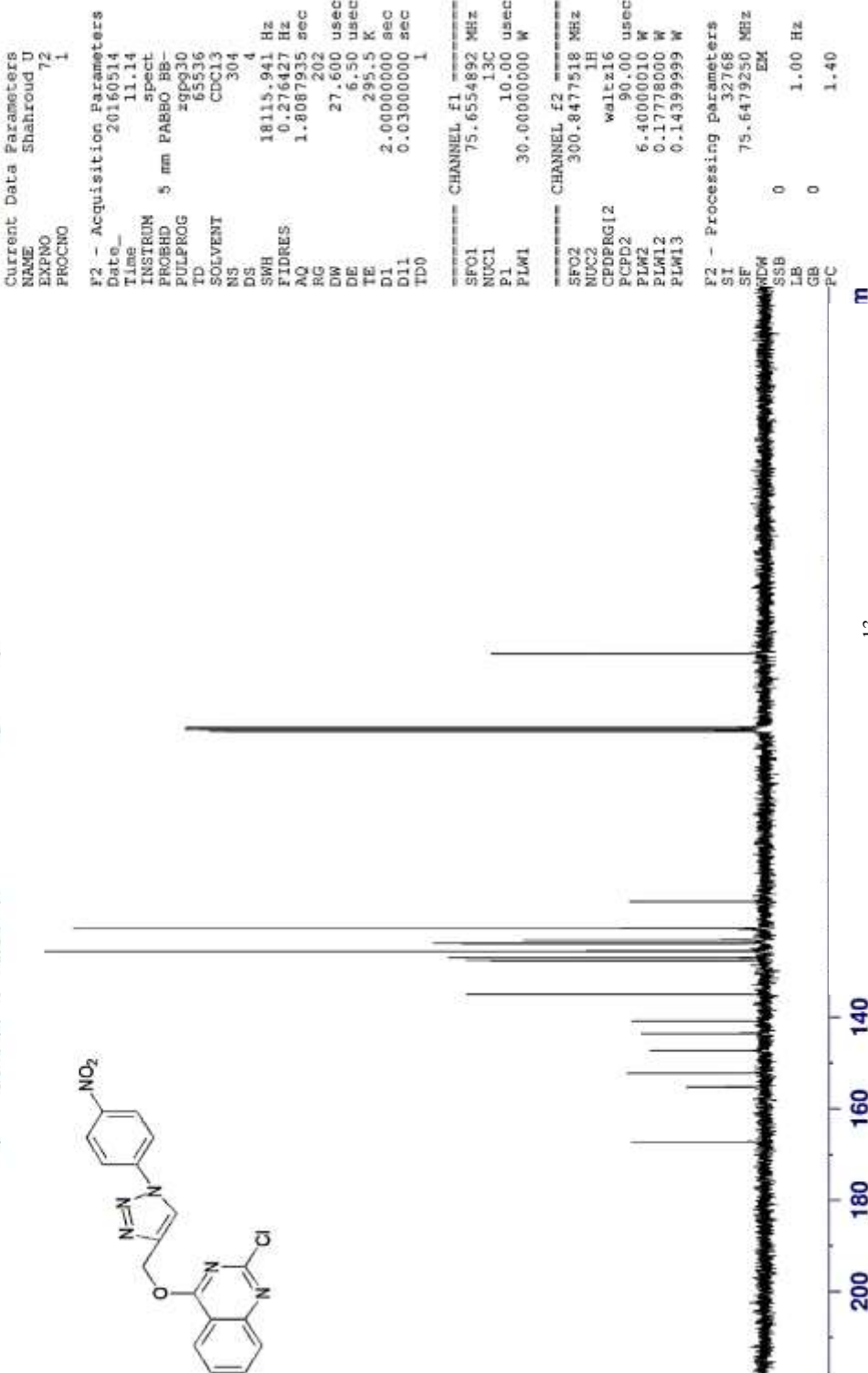
61.39

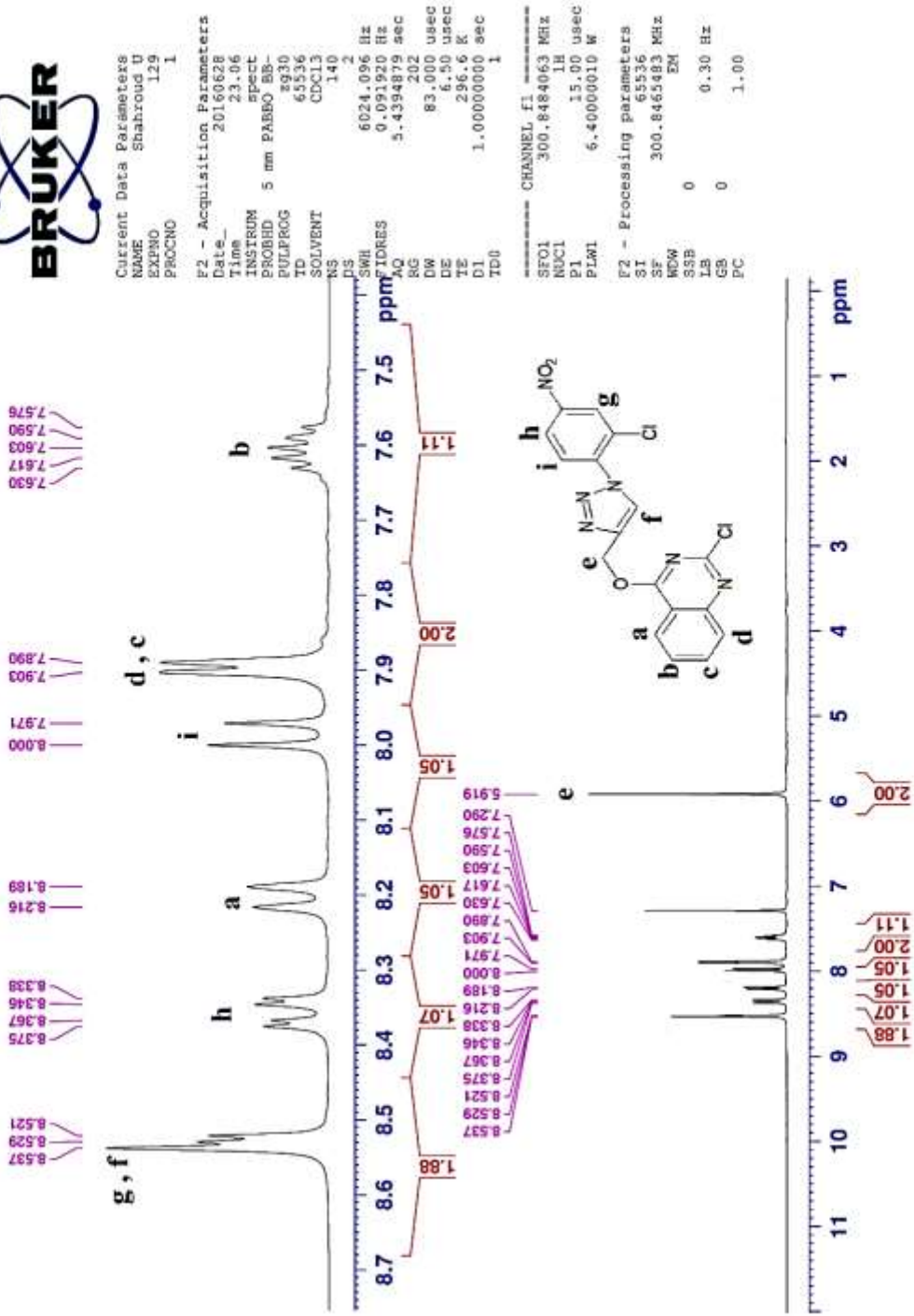
167.66  
155.18  
152.10  
149.99  
143.49  
137.55  
135.97  
132.05  
127.07  
126.76  
124.31  
123.79  
115.45  
114.80

39.17  
40.28  
40.56  
40.83  
40.99  
41.23  
41.48  
41.73  
42.45  
43.00  
43.45  
43.73  
44.00  
44.45  
44.73  
45.00  
45.35  
45.63  
45.99  
46.28  
46.55  
46.83  
47.10  
47.37  
47.63  
47.90  
48.17  
48.43  
48.69  
48.95  
49.22  
49.48  
49.75  
49.99  
50.25  
50.52  
50.78  
51.05  
51.32  
51.58  
51.85  
52.12  
52.38  
52.65  
52.92  
53.18  
53.45  
53.72  
54.00  
54.26  
54.53  
54.79  
55.06  
55.33  
55.59  
55.86  
56.13  
56.40  
56.66  
56.93  
57.20  
57.46  
57.73  
58.00  
58.26  
58.53  
58.79  
59.06  
59.33  
59.59  
59.86  
60.13  
60.40  
60.66  
60.93  
61.20  
61.46  
61.73  
62.00  
62.26  
62.53  
62.79  
63.06  
63.33  
63.60  
63.86  
64.13  
64.40  
64.66  
64.93  
65.20  
65.46  
65.73  
66.00  
66.26  
66.53  
66.79  
67.06  
67.33  
67.60  
67.86  
68.13  
68.40  
68.66  
68.93  
69.20  
69.46  
69.73  
69.99  
70.26  
70.53  
70.80  
71.06  
71.33  
71.60  
71.86  
72.13  
72.40  
72.66  
72.93  
73.20  
73.46  
73.73  
74.00  
74.26  
74.53  
74.79  
75.06  
75.33  
75.60  
75.86  
76.13  
76.40  
76.66  
76.93  
77.20  
77.46  
77.73  
78.00  
78.26  
78.53  
78.79  
79.06  
79.33  
79.60  
79.86  
80.13  
80.40  
80.66  
80.93  
81.20  
81.46  
81.73  
82.00  
82.26  
82.53  
82.79  
83.06  
83.33  
83.60  
83.86  
84.13  
84.40  
84.66  
84.93  
85.20  
85.46  
85.73  
86.00  
86.26  
86.53  
86.79  
87.06  
87.33  
87.60  
87.86  
88.13  
88.40  
88.66  
88.93  
89.20  
89.46  
89.73  
89.99  
90.26  
90.53  
90.80  
91.06  
91.33  
91.60  
91.86  
92.13  
92.40  
92.66  
92.93  
93.20  
93.46  
93.73  
94.00  
94.26  
94.53  
94.79  
95.06  
95.33  
95.60  
95.86  
96.13  
96.40  
96.66  
96.93  
97.20  
97.46  
97.73  
98.00  
98.26  
98.53  
98.79  
99.06  
99.33  
99.60  
99.86  
100.13  
100.40  
100.66  
100.93  
101.20  
101.46  
101.73  
102.00  
102.26  
102.53  
102.79  
103.06  
103.33  
103.60  
103.86  
104.13  
104.40  
104.66  
104.93  
105.20  
105.46  
105.73  
106.00  
106.26  
106.53  
106.79  
107.06  
107.33  
107.60  
107.86  
108.13  
108.40  
108.66  
108.93  
109.20  
109.46  
109.73  
110.00  
110.26  
110.53  
110.79  
111.06  
111.33  
111.60  
111.86  
112.13  
112.40  
112.66  
112.93  
113.20  
113.46  
113.73  
114.00  
114.26  
114.53  
114.79  
115.06  
115.33  
115.60  
115.86  
116.13  
116.40  
116.66  
116.93  
117.20  
117.46  
117.73  
118.00  
118.26  
118.53  
118.79  
119.06  
119.33  
119.60  
119.86  
120.13  
120.40  
120.66  
120.93  
121.20  
121.46  
121.73  
122.00  
122.26  
122.53  
122.79  
123.06  
123.33  
123.60  
123.86  
124.13  
124.40  
124.66  
124.93  
125.20  
125.46  
125.73  
126.00  
126.26  
126.53  
126.79  
127.06  
127.33  
127.60  
127.86  
128.13  
128.40  
128.66  
128.93  
129.20  
129.46  
129.73  
130.00  
130.26  
130.53  
130.79  
131.06  
131.33  
131.60  
131.86  
132.13  
132.40  
132.66  
132.93  
133.20  
133.46  
133.73  
134.00  
134.26  
134.53  
134.79  
135.06  
135.33  
135.60  
135.86  
136.13  
136.40  
136.66  
136.93  
137.20  
137.46  
137.73  
138.00  
138.26  
138.53  
138.79  
139.06  
139.33  
139.60  
139.86  
140.13  
140.40  
140.66  
140.93  
141.20  
141.46  
141.73  
142.00  
142.26  
142.53  
142.79  
143.06  
143.33  
143.60  
143.86  
144.13  
144.40  
144.66  
144.93  
145.20  
145.46  
145.73  
146.00  
146.26  
146.53  
146.79  
147.06  
147.33  
147.60  
147.86  
148.13  
148.40  
148.66  
148.93  
149.20  
149.46  
149.73  
150.00  
150.26  
150.53  
150.79  
151.06  
151.33  
151.60  
151.86  
152.13  
152.40  
152.66  
152.93  
153.20  
153.46  
153.73  
154.00  
154.26  
154.53  
154.79  
155.06  
155.33  
155.60  
155.86  
156.13  
156.40  
156.66  
156.93  
157.20  
157.46  
157.73  
158.00  
158.26  
158.53  
158.79  
159.06  
159.33  
159.60  
159.86  
160.13  
160.40  
160.66  
160.93  
161.20  
161.46  
161.73  
162.00  
162.26  
162.53  
162.79  
163.06  
163.33  
163.60  
163.86  
164.13  
164.40  
164.66  
164.93  
165.20  
165.46  
165.73  
166.00  
166.26  
166.53  
166.79  
167.06  
167.33  
167.60  
167.86  
168.13  
168.40  
168.66  
168.93  
169.20  
169.46  
169.73  
170.00  
170.26  
170.53  
170.79  
171.06  
171.33  
171.60  
171.86  
172.13  
172.40  
172.66  
172.93  
173.20  
173.46  
173.73  
174.00  
174.26  
174.53  
174.79  
175.06  
175.33  
175.60  
175.86  
176.13  
176.40  
176.66  
176.93  
177.20  
177.46  
177.73  
178.00  
178.26  
178.53  
178.79  
179.06  
179.33  
179.60  
179.86  
180.13  
180.40  
180.66  
180.93  
181.20  
181.46  
181.73  
182.00  
182.26  
182.53  
182.79  
183.06  
183.33  
183.60  
183.86  
184.13  
184.40  
184.66  
184.93  
185.20  
185.46  
185.73  
186.00  
186.26  
186.53  
186.79  
187.06  
187.33  
187.60  
187.86  
188.13  
188.40  
188.66  
188.93  
189.20  
189.46  
189.73  
190.00  
190.26  
190.53  
190.79  
191.06  
191.33  
191.60  
191.86  
192.13  
192.40  
192.66  
192.93  
193.20  
193.46  
193.73  
194.00  
194.26  
194.53  
194.79  
195.06  
195.33  
195.60  
195.86  
196.13  
196.40  
196.66  
196.93  
197.20  
197.46  
197.73  
198.00  
198.26  
198.53  
198.79  
199.06  
199.33  
199.60  
199.86  
200.13  
200.40  
200.66  
200.93  
201.20  
201.46  
201.73  
202.00  
202.26  
202.53  
202.79  
203.06  
203.33  
203.60  
203.86  
204.13  
204.40  
204.66  
204.93  
205.20  
205.46  
205.73  
206.00  
206.26  
206.53  
206.79  
207.06  
207.33  
207.60  
207.86  
208.13  
208.40  
208.66  
208.93  
209.20  
209.46  
209.73  
210.00  
210.26  
210.53  
210.79  
211.06  
211.33  
211.60  
211.86  
212.13  
212.40  
212.66  
212.93  
213.20  
213.46  
213.73  
214.00  
214.26  
214.53  
214.79  
215.06  
215.33  
215.60  
215.86  
216.13  
216.40  
216.66  
216.93  
217.20  
217.46  
217.73  
218.00  
218.26  
218.53  
218.79  
219.06  
219.33  
219.60  
219.86  
220.13  
220.40  
220.66  
220.93  
221.20  
221.46  
221.73  
222.00  
222.26  
222.53  
222.79  
223.06  
223.33  
223.60  
223.86  
224.13  
224.40  
224.66  
224.93  
225.20  
225.46  
225.73  
226.00  
226.26  
226.53  
226.79  
227.06  
227.33  
227.60  
227.86  
228.13  
228.40  
228.66  
228.93  
229.20  
229.46  
229.73  
230.00  
230.26  
230.53  
230.79  
231.06  
231.33  
231.60  
231.86  
232.13  
232.40  
232.66  
232.93  
233.20  
233.46  
233.73  
234.00  
234.26  
234.53  
234.79  
235.06  
235.33  
235.60  
235.86  
236.13  
236.40  
236.66  
236.93  
237.20  
237.46  
237.73  
238.00  
238.26  
238.53  
238.79  
239.06  
239.33  
239.60  
239.86  
240.13  
240.40  
240.66  
240.93  
241.20  
241.46  
241.73  
242.00  
242.26  
242.53  
242.79  
243.06  
243.33  
243.60  
243.86  
244.13  
244.40  
244.66  
244.93  
245.20  
245.46  
245.73  
246.00  
246.26  
246.53  
246.79  
247.06  
247.33  
247.60  
247.86  
248.13  
248.40  
248.66  
248.93  
249.20  
249.46  
249.73  
250.00  
250.26  
250.53  
250.79  
251.06  
251.33  
251.60  
251.86  
252.13  
252.40  
252.66  
252.93  
253.20  
253.46  
253.73  
254.00  
254.26  
254.53  
254.79  
255.06  
255.33  
255.60  
255.86  
256.13  
256.40  
256.66  
256.93  
257.20  
257.46  
257.73  
258.00  
258.26  
258.53  
258.79  
259.06  
259.33  
259.60  
259.86  
260.13  
260.40  
260.66  
260.93  
261.20  
261.46  
261.73  
262.00  
262.26  
262.53  
262.79  
263.06  
263.33  
263.60  
263.86  
264.13  
264.40  
264.66  
264.93  
265.20  
265.46  
265.73  
266.00  
266.26  
266.53  
266.79  
267.06  
267.33  
267.60  
267.86  
268.13  
268.40  
268.66  
268.93  
269.20  
269.46  
269.73  
270.00  
270.26  
270.53  
270.79  
271.06  
271.33  
271.60  
271.86  
272.13  
272.40  
272.66  
272.93  
273.20  
273.46  
273.73  
274.00  
274.26  
274.53  
274.79  
275.06  
275.33  
275.60  
275.86  
276.13  
276.40  
276.66  
276.93  
277.20  
277.46  
277.73  
278.00  
278.26  
278.53  
278.79  
279.06  
279.33  
279.60  
279.86  
280.13  
280.40  
280.66  
280.93  
281.20  
281.46  
281.73  
282.00  
282.26  
282.53  
282.79  
283.06  
283.33  
283.60  
283.86  
284.13  
284.40  
284.66  
284.93  
285.20  
285.46  
285.73  
286.00  
286.26  
286.53  
286.79  
287.06  
287.33  
287.60  
287.86  
288.13  
288.40  
288.66  
288.93  
289.20  
289.46  
289.73  
290.00  
290.26  
290.53  
290.79  
291.06  
291.33  
291.60  
291.86  
292.13  
292.40  
292.66  
292.93  
293.20  
293.46  
293.73  
294.00  
294.26  
294.53  
294.79  
295.06  
295.33  
295.60  
295.86  
296.13  
296.40  
296.66  
296.93  
297.20  
297.46  
297.73  
298.00  
298.26  
298.53  
298.79  
299.06  
299.33  
299.60  
299.86  
300.13  
300.40  
300.66  
300.93  
301.20  
301.46  
301.73  
302.00  
302.26  
302.53  
302.79  
303.06  
303.33  
303.60  
303.86  
304.13  
304.40  
304.66  
304.93  
305.20  
305.46  
305.73  
306.00  
306.26  
306.53  
306.79  
307.06  
307.33  
307.60  
307.86  
308.13  
308.40  
308.66  
308.93  
309.20  
309.46  
309.73  
310.00  
310.26  
310.53  
310.79  
311.06  
311.33  
311.60  
311.86  
312.13  
312.40  
312.66  
312.93  
313.20  
313.46  
313.73  
314.00  
314.26  
314.53  
314.79  
315.06  
315.33  
315.60  
315.86  
316.13  
316.40  
316.66  
316.93  
317.20  
317.46  
317.73  
318.00  
318.26  
318.53  
318.79  
319.06  
319.33  
319.60  
319.86  
320.13  
320.40  
320.66  
320.93  
321.20  
321.46  
321.73  
322.00  
322.26  
322.53  
322.79  
323.06  
323.33  
323.60  
323.86  
324.13  
324.40  
324.66  
324.93  
325.20  
325.46  
325.73  
326.00  
326.26  
326.53  
326.79  
327.06  
327.33  
327.60  
327.86  
328.13  
328.40  
328.66  
328.93  
329.20  
329.46  
329.73  
330.00  
330.26  
330.53  
330.79  
331.06  
331.33  
331.60  
331.86  
332.13  
332.40  
332.66  
332.93  
333.20  
333.46  
333.73  
334.00  
334.26  
334.53  
334.79  
335.06  
335.33  
335.60  
335.86  
336.13  
336.40  
336.66  
336.93  
337.20  
337.46  
337.73  
338.00  
338.26  
338.53  
338.79  
339.06  
339.33  
339.60  
339.86  
340.13  
340.40  
340.66  
340.93  
341.20  
341.46  
341.73  
342.00  
342.26  
342.53  
342.79  
343.06  
343.33  
343.60  
343.86  
344.13  
344.40  
344.66  
344.93  
345.20  
345.46  
345.73  
346.00  
346.26  
346.53  
346.79  
347.06  
347.33  
347.60  
347.86  
348.13  
348.40  
348.66  
348.93  
349.20  
349.46  
349.73  
350.00  
350.26  
350.53  
350.79  
351.06  
351.33  
351.60  
351.86  
352.13  
352.40  
352.66  
352.93  
353.20  
353.46  
353.73  
354.00  
354.26  
354.53  
354.79  
355.06  
355.33  
355.60  
355.86  
356.13  
356.40  
356.66  
356.93  
357.20  
357.46  
357.73  
358.00  
358.26  
358.53  
358.79  
359.06  
359.33  
359.60  
359.86  
360.13  
360.40  
360.66  
360.93  
361.20  
361.46  
361.73  
362.00  
362.26  
362.53  
362.79  
363.06  
363.33  
363.60  
363.86  
364.13  
364.40  
364.66  
364.93  
365.20  
365.46  
365.73  
366.00  
366.26  
366.53  
366.79  
367.06  
367.33  
367.60  
367.86  
368.13  
368.40  
368.66  
368.93  
369.20  
369.46  
369.73  
370.00  
370.26  
370.53  
370.79  
371.06  
371.33  
371.60  
371.86  
372.13  
372.40  
372.66  
372.93  
373.20  
373.46  
373.73  
374.00  
374.26  
374.53  
374.79  
375.06  
375.33  
375.60  
375.86  
376.13  
376.40  
376.66  
376.93  
377.20  
377.46  
377.73  
378.00  
378.26  
378.53  
378.79  
379.06  
379.33  
379.60  
379.86  
380.13  
380.40  
380.66  
380.93  
381.20  
381.46  
381.73  
382.00  
382.26  
382.53  
382.79  
383.06  
383.33  
383.60  
383.86  
384.13  
384.40  
384.66  
384.93  
385.20  
385.46  
385.73  
386.00  
386.26  
386.53  
386.79  
387.06  
387.33  
387.60  
387.86  
388.13  
388.40  
388.66  
388.93  
389.20  
389.46  
389.73  
390.00  
390.26  
390.53  
390.79  
391.06  
391.33  
391.60  
391.86  
392.13  
392.40  
392.66  
392.93  
393.20  
393.46  
393.73<br

**BRUKER**









## Current Data Parameters

NAME Shahroud\_U  
EXPNO 69  
PROCNO 1

## F2 - Acquisition Parameters

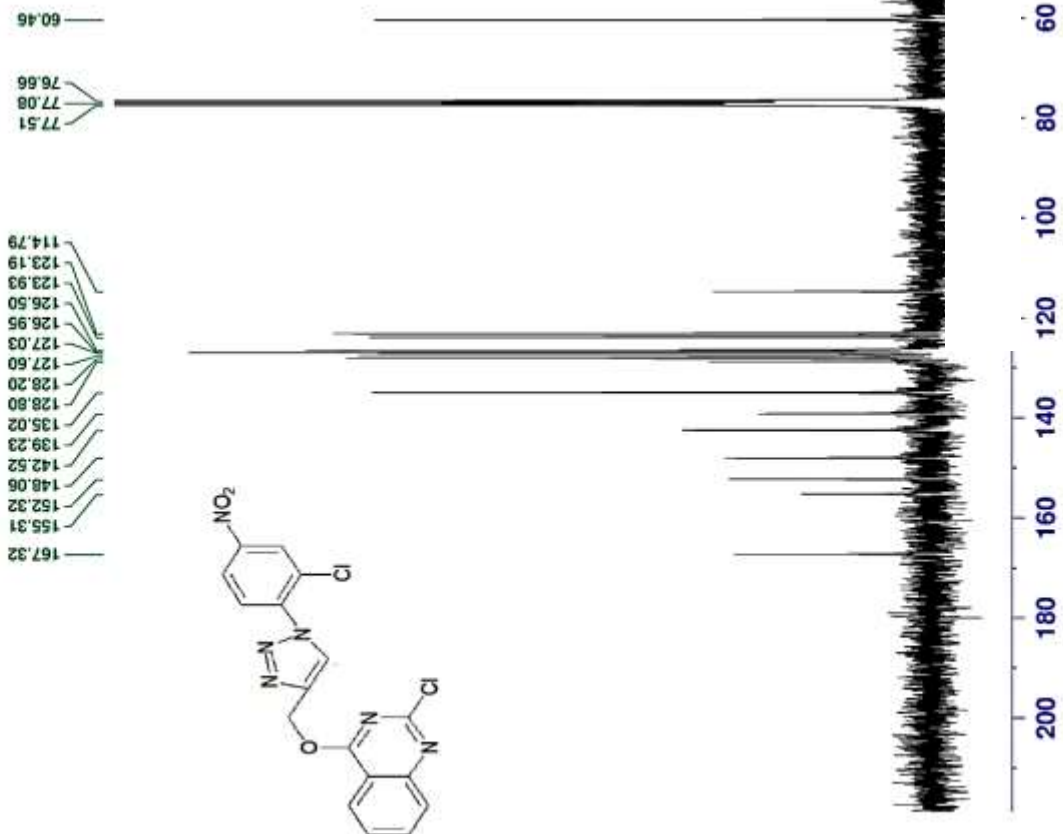
Date 20160512  
Time 13:11  
INSTRUM spect  
PROBHD 5 mm PABBO BB-  
PULPROG zgpp30  
TD 65536  
SOLVENT CDCl3  
NS 1456  
DS 4  
SWH 18115.941 Hz  
FIDRES 0.276427 Hz  
AQ 1.80037935 sec  
RG 202  
DW 27.600 usec  
DE 6.50 usec  
TE 295.8 K  
D1 2.00000000 sec  
D11 0.03000000 sec  
TDD 1

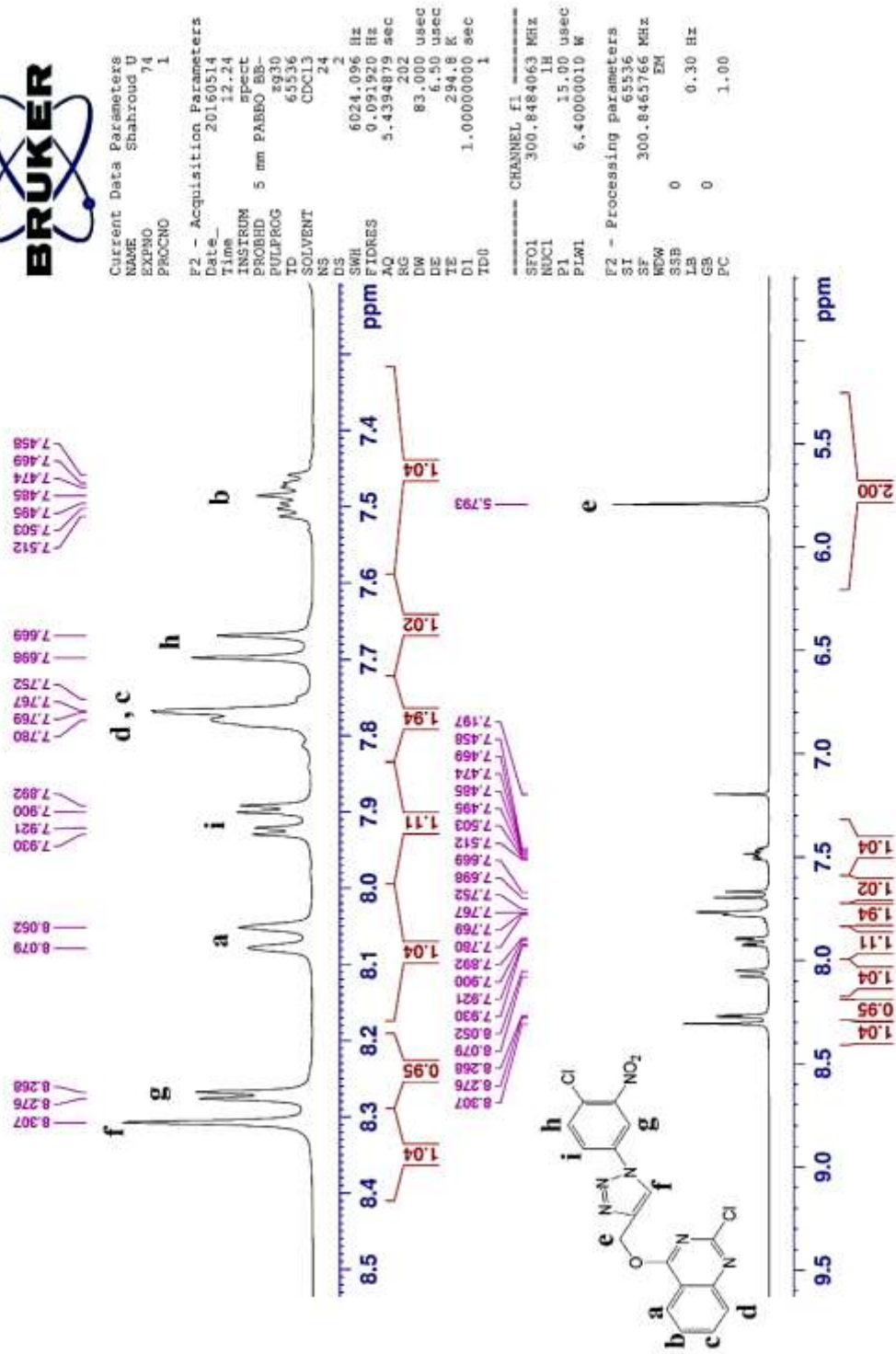
===== CHANNEL F1 =====  
SF01 75.6554892 MHz  
NUC1 13C  
P1 10.00 usec  
PLW1 30.0000000 W

===== CHANNEL F2 =====  
SF02 300.8477518 MHz  
NUC2 1H  
CPDPBG12 waltz16  
PCPD2 90.00 usec  
PLW2 6.40000010 W  
PLW12 0.17778000 W  
PLW13 0.14399999 W

## F2 - Processing parameters

SI 32768  
SF 75.6419250 MHz  
TE 10.00 ms  
AQ 0  
RG 0  
DW 1.00 Hz  
WDW 0  
JW 1.40



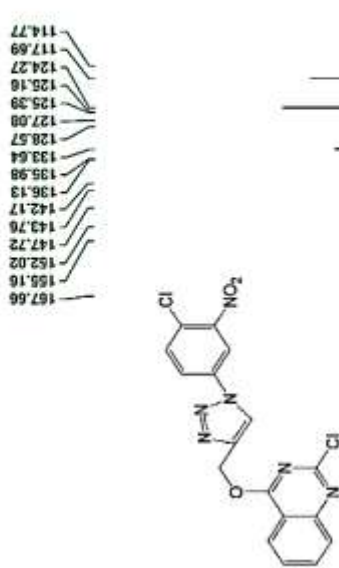
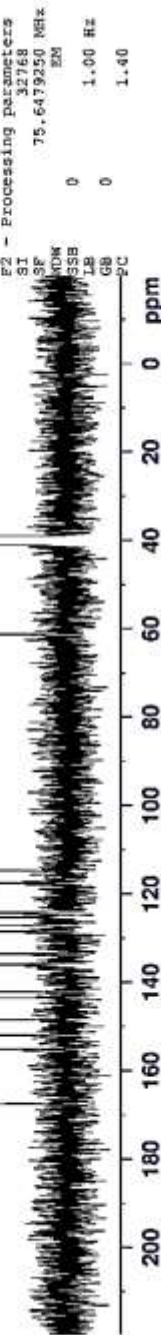


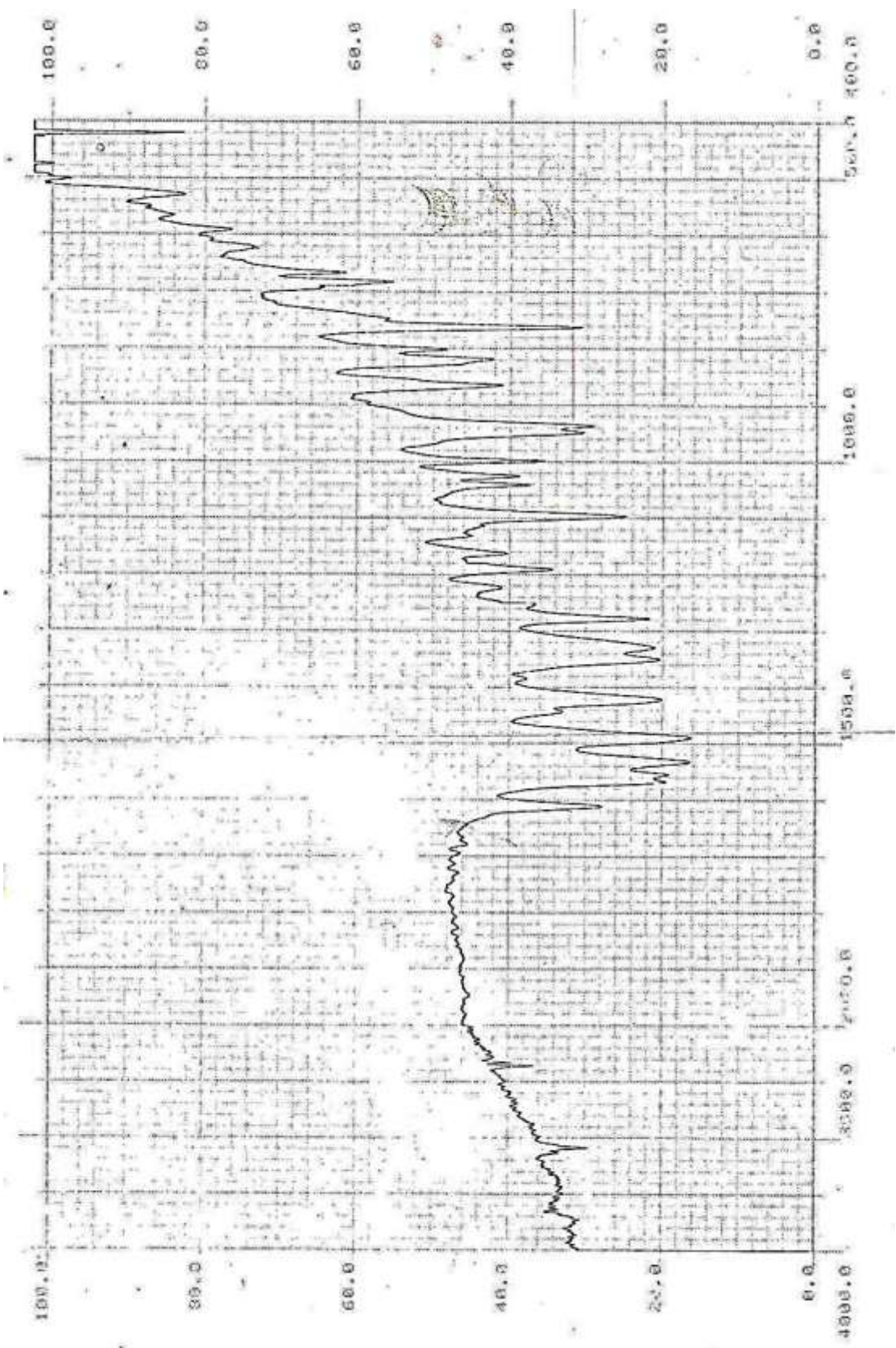


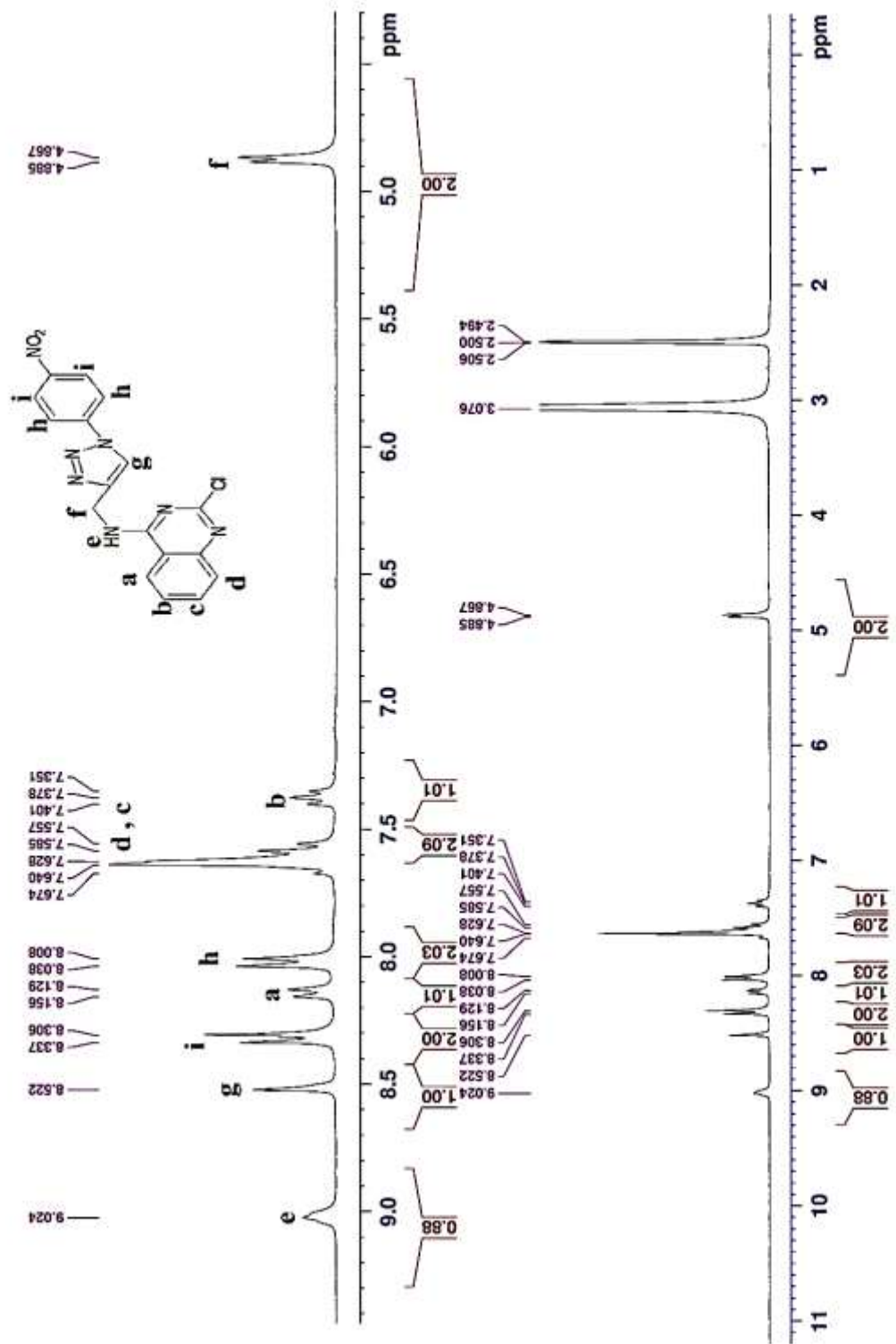
Current Data Parameters  
NAME Shahroudi  
EXPNO 164  
PROCNO 1

F2 - Acquisition Parameters  
Date\_ 20160904  
Time\_ 15:59  
INSTRUM spect  
PROBHD 5 mm PABBO BB-  
PULPROG zg30  
TD 65536  
SOLVENT DMSO  
NS 2048  
DS 4  
SWB 10415.241 Hz  
FIDRES 0.273427 Hz  
AQ 1.8087935 sec  
RG 202  
DW 27.600 us  
DE 6.50 us  
TE 307.8 K  
D1 2.0000000 sec  
D11 0.0300000 sec  
TD0 1

\*\*\*\*\* CHANNEL #1 \*\*\*\*\*  
SF01 75.654892 MHz  
NUC1 13C  
P1 10.00 us  
PL1 30.0000000 W  
\*\*\*\*\* CHANNEL #2 \*\*\*\*\*  
SF02 300.8477518 MHz  
NUC2 1H  
CPBPG12 Wait16  
PCPD2 90.00 us  
PL2 6.0000010 W  
PL12 0.1770000 W  
PL13 0.1439999 W

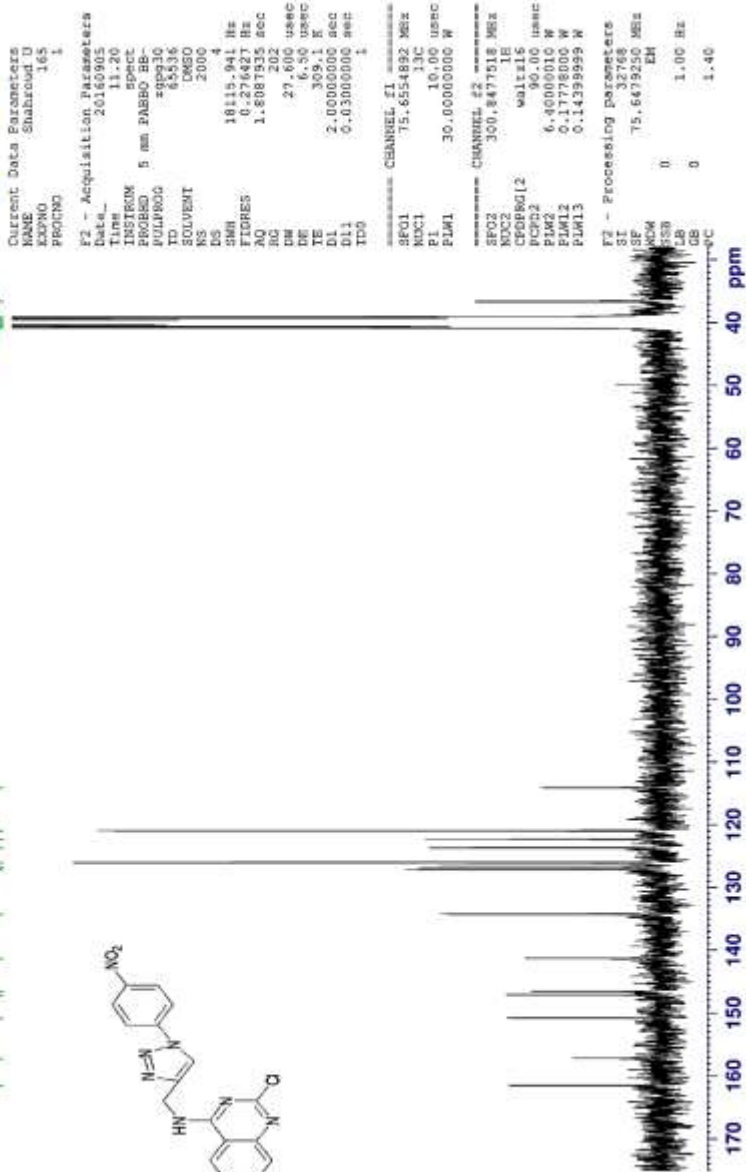
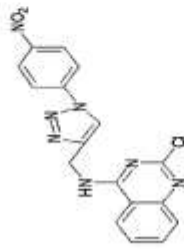


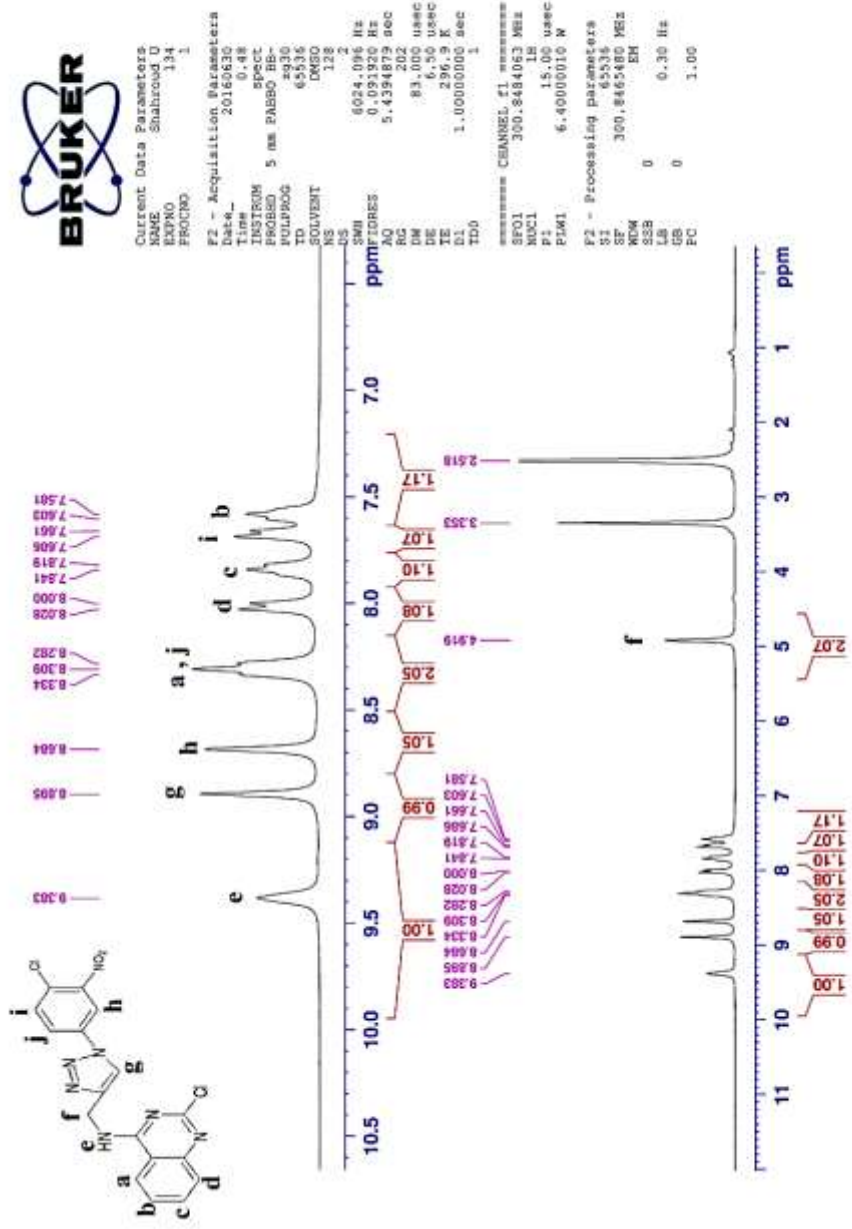




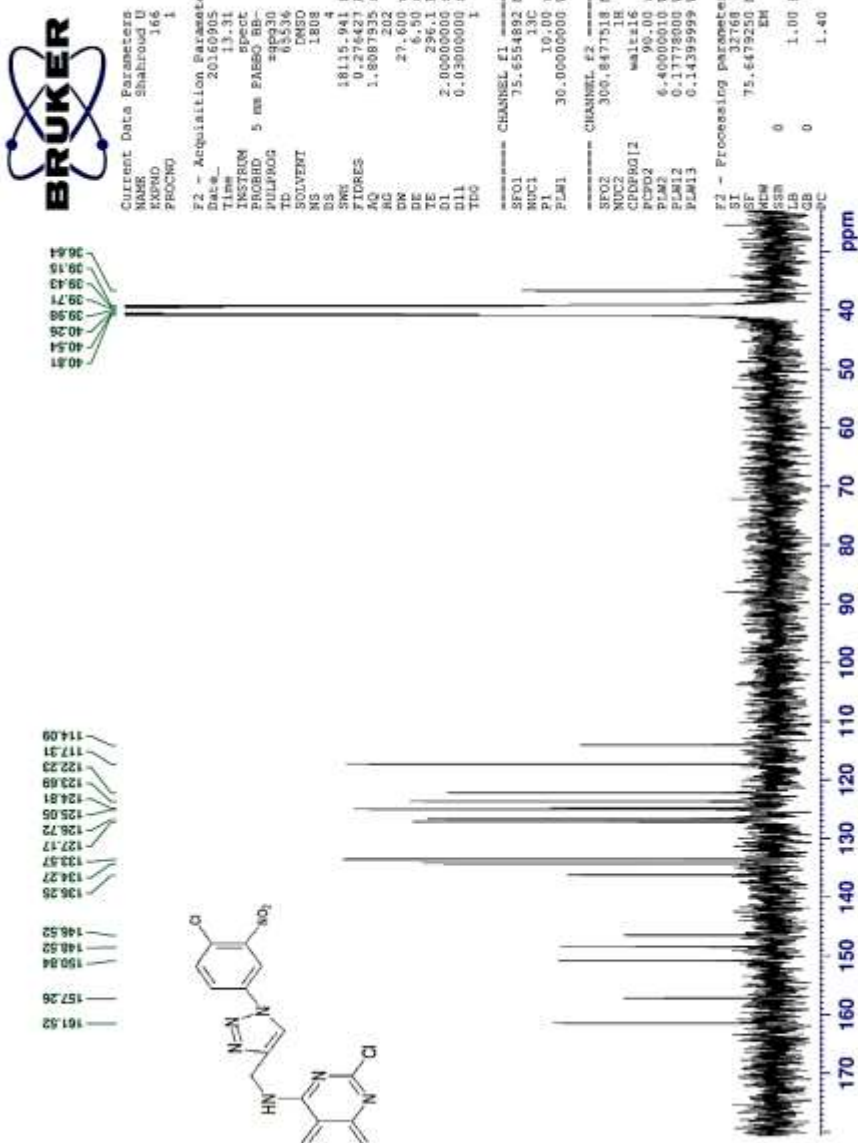
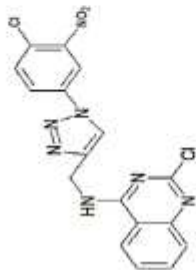


114.12  
1420.96  
1422.33  
1423.72  
1426.03  
1426.71  
1427.16  
1434.26  
1461.31  
1466.54  
1471.10  
1505.04  
1572.34  
1615.54





—157.26  
—161.53  
—169.84  
—146.52  
—133.57  
—127.17  
—126.72  
—125.05  
—124.81  
—123.69  
—117.31  
—114.09





# منابع

## منابع:

1. Gronowitz, S. P. BJörk, J. Malm, and A.-B. Hörnfeldt, **1993**, The effect of some additives on the Stille Pd<sup>0</sup>-catalyzed cross-coupling reaction, *J. Organomet. Chem.* 460, 127-129.
2. Stuart, D.R. and K. Fagnou, **2007**, The catalytic cross-coupling of unactivated arenes, *Science*. 316, 1172-1175.
3. Jiang, L. S. Buchwald, A. De Meijere, and F. Diederich, **2004**, Metal-Catalyzed Cross-Coupling Reactions, *For reviews, see:(2nd ed.) Wiley-VCH, Weinheim*. 2,
4. Negishi, E., **1980**, *Organometallics in organic synthesis*. Wiley.
5. Nair, V., S. Vellalath, and B.P. Babu, **2008**, Recent advances in carbon–carbon bond-forming reactions involving homoenolates generated by NHC catalysis, *Chem. Soc. Rev.* 37, 2691-2698.
6. Firouzabadi, H., N. Iranpoor, and M. GholineJad, **2010**, 2-Aminophenyl diphenylphosphinite as an easily accessible ligand for heterogeneous palladium-catalyzed Suzuki–Miyaura reaction in water in the absence of any organic co-solvent, *J. Organomet. Chem.* 695, 2093-2097.
7. Dupont, J. and M. Pfeffer, **2008**, *Palladacycles: Synthesis, Characterization and Applications*. John Wiley & Sons.
8. Cope, A.C. and R.W. Siekman, **1965**, Formation of covalent bonds from platinum or palladium to carbon by direct substitution, *J. Am. Chem. Soc.* 87, 3272-3273.
9. Lewis, L.N., **1986**, Enhancement of catalytic activity through orthometalation. Synthesis, structure, and catalytic activity of a new orthometalated ruthenium complex, *J. Am. Chem. Soc.* 108, 743-749.
10. Consorti, C.S., F.R. Flores, F. Rominger, and J. Dupont, **2006**, A Simple and Efficient Copper-Free Catalytic System Based on a Palladacycle for the Arylation of Alkynes, *Adv. Synth. Catal.* 348, 133-141.
11. Ullmann, F. and J. Bielecki, **1901**, Ueber synthesen in der biphenylreihe, *Ber. deu. chem. Ges.* 34, 2174-2185.

12. Sonogashira, K., Y. Tohda, and N. Hagihara, **1975**, A convenient synthesis of acetylenes: catalytic substitutions of acetylenic hydrogen with bromoalkenes, iodoarenes and bromopyridines, *Tetrahedron Lett.* 16, 4467-4470.
13. Negishi, E.-i. and L. Anastasia, **2003**, Palladium-catalyzed alkynylation, *Chem. Rev.* 103, 1979-2018.
14. Thorand, S. and N. Krause, **1998**, Improved procedures for the palladium-catalyzed coupling of terminal alkynes with aryl bromides (Sonogashira coupling), *J. Org. Chem.* 63, 8551-8553.
15. Novák, Z., P. Nemes, and A. Kotschy, **2004**, Tandem Sonogashira coupling: An efficient tool for the synthesis of diarylalkynes, *Org. Lett.* 6, 4917-4920.
16. Frigoli, S., C. Fuganti, L. Malpezzi, and S. Serra, **2005**, A practical and efficient process for the preparation of tazarotene, *Org Pro Res Dev.* 9, 646-650.
17. Wagner, F.F. and D.L. Comins, **2006**, Expedient five-step synthesis of SIB-1508Y from natural nicotine, *J. Org. Chem.* 71, 8673-8675.
18. Silvestri, R., A. Pifferi, G. De Martino, S. Massa, C. Saturnino, and M. Artico, **2000**, Reductive smiles rearrangement of 1-[(5-chloro-2-nitrophenyl) sulfonyl]-1H-pyrrole-2-carbohydrazide to 1-amino-6-chloro-2-(1H-pyrrol-2-yl) benzimidazole, *Heterocycles.* 53, 2163-2174.
19. Armengol, M. and J.A. Joule, **2001**, Synthesis of thieno [2, 3-b] quinoxalines and pyrrolo [1, 2-a] quinoxalines from 2-haloquinoxalines, *J. Chem. Soc., Perkin Trans. I.* 978-984.
20. Komatsu, M., Y. Kasano, S. Yamaoka, and S. Minakata, **2003**, Novel generation of pyridinium ylides from N-(silylmethyl) pyridone analogs via 1, 4-silatropy and their 1, 3-dipolar cycloadditions leading to N-heteropolycycles, *Synthesis.* 2003, 1398-1402.
21. Mamedov, V. and A. Kalinin, **2010**, Pyrrolo [1, 2-a] quinoxalines based on quinoxalines (Review), *Chem. Heterocycl. Compd.* 46, 641-664.
22. Harrak, Y., S. Weber, A. Gómez, G. Rosell, and M. PuJol, **2007**, Two alternatives for the synthesis of pyrrolo [1, 2-a] quinoxaline derivatives, *Arkivoc.* 4, 251-259.
23. Yuan, Q. and D. Ma, **2008**, A one-pot coupling/hydrolysis/condensation process to

- pyrrolo [1, 2-a] quinoxaline, *J. Org. Chem.* 73, 5159-5162.
24. Patil, N.T., R.D. Kavthe, V.S. Shinde, and B. Sridhar, **2010**, Pt (IV)-Catalyzed hydroamination triggered cyclization: a strategy to fused pyrrolo [1, 2-a] quinoxalines, indolo [1, 2-a] quinoxalines, and indolo [3, 2-c] quinolines, *J. Org. Chem.* 75, 3371-3380.
25. Huang, A., F. Liu, C. Zhan, Y. Liu, and C. Ma, **2011**, One-pot synthesis of pyrrolo [1, 2-a] quinoxalines, *Org. Biomol. Chem.* 9, 7351-7357.
26. Verma, A.K., R.R. Jha, V.K. Sankar, T. Aggarwal, R.P. Singh, and R. Chandra, **2011**, Lewis Acid-Catalyzed Selective Synthesis of Diversely Substituted Indolo-and Pyrrolo [1, 2-a] quinoxalines and Quinoxalinones by Modified Pictet–Spengler Reaction, *Eur. J. Org. Chem.* 2011, 6998-7010.
27. Patil, N.T., P.G. Lakshmi, and V. Singh, **2010**, AuI-Catalyzed Direct Hydroamination/Hydroarylation and Double Hydroamination of Terminal Alkynes, *Eur. J. Org. Chem.* 2010, 4719-4731.
28. Pereira, M.d.F. and V. Thiéry, **2012**, One-pot synthesis of pyrrolo [1, 2-a] quinoxaline derivatives via iron-promoted aryl nitro reduction and aerobic oxidation of alcohols, *Org. Lett.* 14, 4754-4757.
29. Ammermann, S., C. Hrib, P.G. Jones, W.-W. du Mont, W. Kowalsky, and H.-H. Johannes, **2012**, Pyrrolo [1, 2-a] quinoxalines: Novel Synthesis via Annulation of 2-Alkylquinoxalines, *Org. Lett.* 14, 5090-5093.
30. Nicolescu, A., C. Deleanu, E. Georgescu, F. Georgescu, A.-M. Iurascu, S. Shova, and P. Filip, **2013**, Unexpected formation of pyrrolo [1, 2-a] quinoxaline derivatives during the multicomponent synthesis of pyrrolo [1, 2-a] benzimidazoles, *Tetrahedron Lett.* 54, 1486-1488.
31. Piltan, M., **2014**, One-pot synthesis of pyrrolo [1, 2-a] quinoxaline and pyrrolo [1, 2-a] pyrazine derivatives via the three-component reaction of 1, 2-diamines, ethyl pyruvate and  $\alpha$ -bromo ketones, *Chin. Chem. Lett.* 25, 1507-1510.
32. Jiang, Z., J. Zhang, Y. Tong, X. Shi, D. Miao, and S. Han, **2014**, One-Pot Synthesis of Pyrrolo [1, 2-a] quinoxaline Derivatives through Copper-Catalyzed Cascade Reactions, *Chin. J. Org. Chem.* 9, 016.
33. Kamal, A., K.S. Babu, S.A. Hussaini, P. Srikanth, M. Balakrishna, and A. Alarifi,

- 2015**, Sulfamic acid: an efficient and recyclable solid acid catalyst for the synthesis of 4, 5-dihydropyrrolo [1, 2-a] quinoxalines, *Tetrahedron Lett.* 56, 4619-4622.
34. Liu, H., T. Duan, Z. Zhang, C. Xie, and C. Ma, **2015**, One-Pot Synthesis of Pyrrolo [1, 2-a] quinoxaline Derivatives via a Copper-Catalyzed Aerobic Oxidative Domino Reaction, *Org. Lett.* 17, 2932-2935.
35. Georgescu, E., A. Nicolescu, F. Georgescu, F. Teodorescu, D. Marinescu, A.-M. Macsim, and C. Deleanu, **2014**, New highlights of the syntheses of pyrrolo [1, 2-a] quinoxalin-4-ones, *Beil J Org Chem.* 10, 2377-2387.
36. Wang, M., C. Liu, and Y. Gu, **2016**, Expedient synthesis of pyrrolo [1, 2-a] quinoxalines through one-pot three-component reactions of o-phenylenediamines, 2-alkoxy-2, 3-dihydrofurans and ketones, *Tetrahedron.* 72, 6854-6865.
37. Wang, C., Y. Li, J. Zhao, B. Cheng, H. Wang, and H. Zhai, **2016**, An environmentally friendly approach to pyrrolo [1, 2-a] quinoxalines using oxygen as the oxidant, *Tetrahedron Lett.* 57, 3908-3911.
38. Guillou, J., P. Dallemagne, B. Pfeiffer, P. Renard, D. Manechez, A. Kervran, and S. Rault, **1998**, Synthesis of new pyrrolo [1, 2-a] quinoxalines: potential non-peptide glucagon receptor antagonists, *Eur. J. Med. Chem.* 33, 293-308.
39. Guillou, J., R.C. Reynolds, J.-M. Leger, M.-A. Guie, S. Massip, P. Dallemagne, and C. Jarry, **2004**, Synthesis and preliminary in vitro evaluation of antimycobacterial activity of new pyrrolo [1, 2-a] quinoxaline-carboxylic acid hydrazide derivatives, *J Enzyme Inhib Med Chem.* 19, 489-495.
40. Rault, S., J. Guillou, and P. Dallemagne, **1998**, Pfeiffer. B.; Renard, P.; Manechez, D.; Kervran, A, *Eur. J. Med. Chem.* 1998, 293-308.
41. Alleca, S., P. Corona, M. Loriga, G. Paglietti, R. Loddo, V. Mascia, B. Busonera, and P. La Colla, **2003**, Quinoxaline chemistry. Part 16. 4-substituted anilino and 4-substituted phenoxyethyl pyrrolo [1, 2-a] quinoxalines and N-[4-(pyrrolo [1, 2-a] quinoxalin-4-yl) amino and hydroxymethyl] benzoyl glutamates. Synthesis and evaluation of in vitro biological activity, *Il Farmaco.* 58, 639-650.
42. Maga, G., S. Gemma, C. Fattorusso, G.A. Locatelli, S. Butini, M. Persico, G. KukreJa, M.P. Romano, L. Chiasserini, and L. Savini, **2005**, Specific targeting of hepatitis C virus NS3 RNA helicase. Discovery of the potent and selective

- competitive nucleotide-mimicking inhibitor QU663, *Biochemistry*. 44, 9637-9644.
43. Guillon, J., P. Grellier, M. Labaied, P. Sonnet, J.-M. Léger, R. Déprez-Poulain, I. Forfar-Bares, P. Dallemande, N. Lemaître, and F. Péhourcq, **2004**, Synthesis, antimalarial activity, and molecular modeling of new pyrrolo [1, 2-a] quinoxalines, bispyrrolo [1, 2-a] quinoxalines, bispyrido [3, 2-e] pyrrolo [1, 2-a] pyrazines, and bispyrrolo [1, 2-a] thieno [3, 2-e] pyrazines, *J. Med. Chem.* 47, 1997-2009.
44. Desplat, V., A. Geneste, M.-A. Begorre, S.B. Fabre, S. BraJot, S. Massip, D. Thiolat, D. Mossalayi, C. Jarry, and J. Guillon, **2008**, Synthesis of new pyrrolo [1, 2-a] quinoxaline derivatives as potential inhibitors of Akt kinase, *J Enzyme Inhib Med Chem.* 23, 648-658.
45. Miyashiro, J., K.W. Woods, C.H. Park, X. Liu, Y. Shi, E.F. Johnson, J.J. Bouska, A.M. Olson, Y. Luo, and E.H. Fry, **2009**, Synthesis and SAR of novel tricyclic quinoxalinone inhibitors of poly (ADP-ribose) polymerase-1 (PARP-1), *Bioorg. Med. Chem. Lett.* 19, 4050-4054.
46. Hulcoop, D.G. and M. Lautens, **2007**, Palladium-Catalyzed Annulation of Aryl Heterocycles with Strained Alkenes, *Org. Lett.* 9, 1761-1764.
47. Liu, X.Y. and C.M. Che, **2008**, A Highly Efficient and Selective AuI-Catalyzed Tandem Synthesis of Diversely Substituted Pyrrolo [1, 2-a] quinolines in Aqueous Media, *Angew. Chem.* 120, 3865-3870.
48. Caira, M.R., E. Georgescu, F. Georgescu, M.M. Popa, and F. Dumitraşcu, **2009**, 7-Methoxypyrrrolo [1, 2-a] quinolines via quinolinium N-ylides, *Arkivoc.* 12, 242-253.
49. Chai, D.I. and M. Lautens, **2009**, Tandem Pd-Catalyzed Double C– C Bond Formation: Effect of Water, *J. Org. Chem.* 74, 3054-3061.
50. Kheder, N.A., E.S. Darwish, and K.M. Dawood, **2009**, Synthesis and Some New Indolizine and Pyrrolo (1, 2-a) quinoline Derivatives via Nitrogen Ylides, *Heterocycles.* 78, 177.
51. Verma, A.K., S.P. Shukla, J. Singh, and V. Rustagi, **2011**, Synthesis of 5-Iodopyrrolo [1, 2-a] quinolines and Indolo [1, 2-a] quinolines via Iodine-Mediated Electrophilic and Regioselective 6-endo-dig Ring Closure, *J. Org. Chem.* 76, 5670-5684.
52. Hazra, A., S. Mondal, A. Maity, S. Naskar, P. Saha, R. Paira, K.B. Sahu, P. Paira, S.

- Ghosh, and C. Sinha, **2011**, Amberlite–IRA-402 (OH) ion exchange resin mediated synthesis of indolizines, pyrrolo [1, 2-a] quinolines and isoquinolines: Antibacterial and antifungal evaluation of the products, *Eur. J. Med. Chem.* 46, 2132-2140.
53. Aggarwal, T., S. Kumar, D.K. Dhaked, R.K. Tiwari, P.V. Bharatam, and A.K. Verma, **2012**, Site-Selective Electrophilic Cyclization and Subsequent Ring-Opening: A Synthetic Route to Pyrrolo [1, 2-a] quinolines and Indolizines, *J. Org. Chem.* 77, 8562-8573.
54. Li, T.-J., H.-M. Yin, C.-S. Yao, X.-S. Wang, B. Jiang, S.-J. Tu, and G. Li, **2012**, A one-pot multicomponent strategy for stereospecific construction of tricyclic pyrrolo [1, 2-a] quinolines, *Chem. Commun.* 48, 11966-11968.
55. Shukla, S.P., R.K. Tiwari, and A.K. Verma, **2012**, Palladium-Catalyzed Sonogashira-Coupling ConJoined C–H Activation: A Regioselective Tandem Strategy to Access Indolo-and Pyrrolo [1, 2-a] quinolines, *J. Org. Chem.* 77, 10382-10392.
56. Ech-chahad, A., H. Farah, and A. Lamiri, 2013, An Expeditious Synthesis Some Pyrrolo [1, 2-a] Quinoline Derivatives, *Int. J. Pharm. Tech. Res.* 5, 1664-1669.
57. Sarkar, S., K. Bera, S. Jalal, and U. Jana, **2013**, Synthesis of Structurally Diverse Polyfunctional Pyrrolo [1, 2-a] quinolines by Sequential Iron-Catalyzed Three-Component Coupling and Gold-Catalyzed Hydroarylation Reactions, *Eur. J. Org. Chem.* 2013, 6055-6061.
58. Fan, X., Y. Wang, Y. He, S. Guo, and X. Zhang, **2014**, Synthesis of 1, 2, 3-Trisubstituted Indolizines, Pyrrolo [1, 2-a] quinolines, and Pyrrolo [2, 1-a] isoquinolines from 1, 2-Allenyl Ketones, *Eur. J. Org. Chem.* 2014, 713-717.
59. Nayak, M. and I. Kim, **2015**, Alkyne Carbonyl Metathesis As a Means to Make 4-Acyl Chromenes: Syntheses of ( $\pm$ )-Deguelin and ( $\pm$ )-Munduserone, *J. Org. Chem.* 80, 11460-11467.
60. Baumann, M. and I.R. Baxendale, **2015**, Batch and Flow Synthesis of Pyrrolo [1, 2-a]-quinolines via an Allene-based Reaction Cascade, *J. Org. Chem.* 80, 10806-10816.
61. Pearson, W.H. and W.-k. Fang, **2000**, Synthesis of Benzo-Fused 1-Azabicyclo [m. n. 0] alkanes via the Schmidt Reaction: A Formal Synthesis of Gephyrotoxin, *J.*

- Org. Chem.* 65, 7158-7174.
- 62. Souccar, C., W. Varanda, J. Daly, and E. Albuquerque, **1984**, Interactions of gephyrotoxin with the acetylcholine receptor-ionic channel complex. I. Blockade of the ionic channel, *Mol. Pharmacol.* 25, 384-394.
  - 63. Alqasoumi, S.I., A.M. Al-Taweel, A.M. Alafeefy, E. Noaman, and M.M. Ghorab, **2010**, Novel quinolines and pyrimido [4, 5-b] quinolines bearing biologically active sulfonamide moiety as a new class of antitumor agents, *Eur. J. Med. Chem.* 45, 738-744.
  - 64. Rise, F. and O.B. Ostby, **2003**, Antimycobacterial activity of 1-substituted indolizines, *Arch. Pharm. Pharm. Med. Chem.* 336, 191-195.
  - 65. Weide, T., L. Arve, H. Prinz, H. Waldmann, and H. Kessler, **2006**, 3-Substituted indolizine-1-carbonitrile derivatives as phosphatase inhibitors, *Bioorg. Med. Chem. Lett.* 16, 59-63.
  - 66. Joshi, A. and C. Viswanathan, **2006**, Recent developments in antimalarial drug discovery, *Anti-Infective Age Med Chem (Formerly Current Medicinal Chemistry-Anti-Infective Agents)*. 5, 105-122.
  - 67. Volovenko, Y.M., E. Resnyanskaya, and A. Tverdokhlebov, **2002**, Synthesis of 3-Hetaryl-1, 2, 4, 5-tetrahydropyrrolo [1, 2-a] quinazoline-2, 5-diones, *Chem. Heterocycl. Compd.* 38, 324-330.
  - 68. Volovenko, Y.M. and E.V. Resnyanskaya, **2002**, Regioselective heteroannelation in quinazolin-4-one derivatives. Synthesis of 2, 5-dioxo-1, 2, 4, 5-tetrahydropyrrolo [1, 2-a] quinazoline-3-carbonitriles, *Mendeleev Commun.* 12, 119-120.
  - 69. Eldin, A.M.S., **2003**, Pyridazine, oxazine, pyrrole, and pyrrolo [1, 2-a] quinazoline derivatives from malononitrile dimer, *Heteroat. Chem.* 14, 612-616.
  - 70. Vostrov, E., D. Gilev, and A. Maslivets, **2004**, Novel synthesis route for pyrrolo [1, 2-a] quinazolines, *Chem. Heterocycl. Compd.* 40, 532-533.
  - 71. Abdelrazek, F.M. and N.H. Metwally, **2006**, Synthesis of Some New N-Substituted Pyrroles, Pyrrolo [1, 2-a] quinazoline, and Diaza-as-indacene Derivatives, *Synth. Commun.* 36, 83-89.
  - 72. Fülöp, F., F. Miklós, and E. Forró, **2008**, Diexo-3-aminonorbornane-2-carboxylic acid as highly applicable chiral source for the enantioselective synthesis of

- heterocycles, *Synlett*. 2008, 1687-1689.
73. Iminov, R.T., A.V. Tverdokhlebov, A. A. Tolmachev, Y.M. Volovenko, S.V. Shishkina, and O.V. Shishkin, **2009**, Synthesis of structurally constrained 4-quinazolinone derivatives with a tetrahedral C-2 atom present in three rings, *Tetrahedron*. 65, 8582-8586.
74. Abdelrazek, F.M. and N.H. Metwally, **2009**, Novel Synthesis of N-Arylpyrrole, Pyrrolo [1, 2-a] quinazoline, and Pyrrolo [3, 4-d] pyridazine Derivatives, *Synth. Commun.* 39, 4088-4099.
75. Dumitrescu, F. and M.M. Popa, **2014**, Pyrrolo [1, 2-a] quinazolines. Synthesis and biological properties, *Arkivoc*. 1, 428-452.
76. Wang, M., G. Dou, and D. Shi, **2010**, Efficient and convenient synthesis of pyrrolo [1, 2-a] quinazoline derivatives with the aid of tin (II) chloride, *J. Comb. Chem.* 12, 582-586.
77. Soleiman, H., 2011, Some Fused/Isolated Heterocyclic of Pyrimidine,-Lactam, Thiazolidine and Triazine Derivatives, *The Open Catal. Journal*. 4, 18-26.
78. Zhao, X. and D.Q. Shi, **2011**, An efficient synthesis of pyrrolo [1, 2-a] quinazolin-5 (1H)-one derivatives with the aid of low-valent titanium reagent, *J. Heterocycl. Chem.* 48, 634-638.
79. Zicane, D., I. Ravina, Z. Tetere, and M. Turks, **2012**, Pyrrolo[1, 2-a]quinazolin atvasināJumu sintēze no N-acilantranilskābes hidrazīdiem un  $\alpha$ -ketoskābēm, *Mater.Sie & App. Chem.* 25, 22-25.
80. Zhang, M.-M., L. Lu, Y.-J. Zhou, and X.-S. Wang, **2013**, Iodine-catalyzed synthesis of pyrrolo [1, 2-a] quinazoline-3a-carboxylic acid derivatives in ionic liquids, *Res. Chem. Intermed.* 39, 3327-3335.
81. Patil, N.T., P.G. Lakshmi, B. Sridhar, S. Patra, M. Pal Bhadra, and C.R. Patra, **2012**, New Linearly and Angularly Fused Quinazolinones: Synthesis through Gold (I)-Catalyzed Cascade Reactions and Anticancer Activities, *Eur. J. Org. Chem.* 2012, 1790-1799.
82. Dumitrescu, D., P. Marcel Mirel, F. Georgescu, E. Georgescu, L. Barbu, and F. Dumitrescu, **2013**, New substituted pyrroles obtained in serching for pyrrolo[1, 2-a] quinoxaline framework, *Rev. Roum. Chim.* 58, 785-790.

83. Paleta, O., B. Dolenský, J. Paleček, and J. Kvíčala, **2014**, New nucleophilic rearrangement in the mechanism of the three-component domino cyclisation affording fluoroalkylated (pyrrolo) quinazolines, *J. Fluor. Chem.* 157, 1-11.
84. Gvozdev, V.D., K.N. Shavrin, M.P. Egorov, and O.M. Nefedov, **2015**, One-pot synthesis of 1-arylmethylidene-1, 2, 3, 3a-tetrahydro-5H-pyrrolo [1, 2-a]-[3, 1] benzoxazines and 1-arylmethylidene-1, 2, 3, 3a, 4, 5-hexahydropyrrolo [1, 2-a]-quinazolines from 5-arylalk-4-ynals and o-aminobenzylic alcohol/amine, *Mendeleev Commun.* 25, 329-331.
85. Dreyer, D.L. and R. Brenner, **1980**, Alkaloids of some Mexican Zanthoxylum species, *Phytochem.* 19, 935-939.
86. Malamas, M.S. and J. Millen, **1991**, Quinazolineacetic acids and related analogs as aldose reductase inhibitors, *J. Med. Chem.* 34, 1492-1503.
87. Tetere, Z., D. Zicane, I. Ravina, I. Mierina, and I. RiJkure, **2014**, Synthesis and Antioxidant Properties of Novel Quinazoline Derivatives, *Scie. J. of Riga Tech. Uni. com. pub.* 30,
88. Alagarsamy, V., R. Giridhar, M. Yadav, R. Revathi, K. Ruckmani, and E. De Clercq, **2006**, AntiHIV, antibacterial and antifungal activities of some novel 1, 4-disubstituted-1, 2, 4-triazolo [4, 3-a] quinazolin-5 (4 h)-ones, *Indian J Pharm Sci.*
89. Gupta, D., S. Ahmad, A. Kumar, and K. Shanker, Newer quinazolinone derivatives as anthelmintic agents, 1988, council scientific industrial research publ & info directorate, new delhi india.1060-1062.
90. Wang, H.J., C.X. Wei, X.Q. Deng, F.L. Li, and Z.S. Quan, **2009**, Synthesis and Evaluation on Anticonvulsant and Antidepressant Activities of 5-Alkoxy-tetrazolo [1, 5-a] quinazolines, *Arch. Pharm.* 342, 671-675.
91. ToJa, E., A. Depaoli, G. Tuan, and J. Kettenring, **1987**, Synthesis of 2-amino-3-ethoxycarbonylpyrroles, *Synthesis.* 1987, 272-274.
92. BarraJa, P., V. Spanò, P. Diana, A. Carbone, and G. Cirrincione, **2009**, Synthesis of the new ring system 6, 8-dihydro-5H-pyrrolo [3, 4-h] quinazoline, *Tetrahedron Lett.* 50, 5389-5391.
93. RioJa, I., M.C. Terencio, A. Ubeda, P. Molina, A. Tárraga, A. Gonzalez-TeJero, and M.J. Alcaraz, **2002**, A pyrroloquinazoline derivative with anti-inflammatory

- and analgesic activity by dual inhibition of cyclo-oxygenase-2 and 5-lipoxygenase, *Eur. J. Pharmacol.* 434, 177-185.
- 94. Zhou, J.X., L. Lu, T.J. Li, C.S. Yao, and X.S. Wang, **2014**, A Green Synthesis of Pyrrolo [1, 2-a] quinazolin-5 (1H)-one Derivatives in Ionic Liquids Catalyzed by Iodine, *J. Heterocycl. Chem.* 51, 1472-1475.
  - 95. Soleiman, H., **2011**, Some fused/isolated heterocyclic of pyrimidine,  $\beta$ -lactam, thiazolidine and triazine derivatives, *Open Catal J.* 4, 18-26.
  - 96. Kolb, H.C., M. Finn, and K.B. Sharpless, **2001**, Click chemistry: diverse chemical function from a few good reactions, *Angew. Chem. Int. Ed.* 40, 2004-2021.
  - 97. Liang, L. and D. Astruc, **2011**, The copper (I)-catalyzed alkyne-azide cycloaddition (CuAAC)“click” reaction and its applications. An overview, *Coord. Chem. Rev.* 255, 2933-2945.
  - 98. Huisgen, R., **1989**, Kinetics and reaction mechanisms: Selected examples from the experience of forty years, *Pure Appl. Chem.* 61, 613-628.
  - 99. Zhao, Y.-B., Z.-Y. Yan, and Y.-M. Liang, **2006**, Efficient synthesis of 1, 4-disubstituted 1, 2, 3-triazoles in ionic liquid/water system, *Tetrahedron Lett.* 47, 1545-1549.
  - 100. Potts, K., **1961**, The Chemistry of 1, 2, 4-Triazoles, *Chem. Rev.* 61, 87-127.
  - 101. Kumar, K.K., S.P. Seenivasan, V. Kumar, and T.M. Das, **2011**, Synthesis of quinoline coupled [1, 2, 3]-triazoles as a promising class of anti-tuberculosis agents, *Carbohydr. Res.* 346, 2084-2090.
  - 102. Boechat, N., M.d.L.G. Ferreira, L. Pinheiro, A.M. Jesus, M.M. Leite, C. Júnior, A.C. Aguiar, I.M. Andrade, and A.U. Krettli, **2014**, New Compounds Hybrids 1H-1, 2, 3-Triazole-Quinoline Against Plasmodium falciparum, *Chem. Biol Drug Des.* 84, 325-332.
  - 103. Harkala, K.J., L. Eppakayala, and T.C. Maringanti, **2014**, Synthesis and biological evaluation of benzimidazole-linked 1, 2, 3-triazole congeners as agents, *Org. Med. Chem. Lett.* 4, 1.
  - 104. Ouahrouch, A., M. Taourirte, J.W. Engels, S. BenJelloun, and H.B. Lazrek, **2014**, Synthesis of new 1, 2, 3-triazol-4-yl-quinazoline nucleoside and acyclonucleoside analogues, *Molecules.* 19, 3638-3653.

105. RaJ, R., J. Gut, P.J. Rosenthal, and V. Kumar, **2014**, 1H-1, 2, 3-Triazole-tethered isatin-7-chloroquinoline and 3-hydroxy-indole-7-chloroquinoline conjugates: Synthesis and antimalarial evaluation, *Bioorg. Med. Chem. Lett.* 24, 756-759.
106. Parthasaradhi, Y., S. Suresh, R. Kumar B, and S. Jyostna T, **2015**, Design and Synthesis of Some New Quinoline Based 1, 2, 3-Triazoles as Antimicrobial and Antimalarial Agents, *Electron. J. Chem.* 7, 264-269.
107. Praveena, K.S.S., E.V.V.S. Ramarao, N.Y.S. Murthy, S. Akkenapally, C.G. Kumar, R. Kapavarapu, and S. Pal, **2015**, Design of new hybrid template by linking quinoline, triazole and dihydroquinoline pharmacophoric groups: A greener approach to novel polyazaheterocycles as cytotoxic agents, *Bioorg. Med. Chem. Lett.* 25, 1057-1063.
108. Parvathy, S., P.T. LiJi, A. Kalaiyarasi, and B.R. Venkatraman, **2015**, Synthesis and characterization of heterocyclic cyanine dyes, *Der Chemi Sinica.* 6, 4.
109. Esmaeili-Marandi, F., M. Saeedi, I. Yavari, M. Mahdavi, and A. Shafiee, **2016**, Synthesis of Novel Isoindolo [2, 1-a] quinazolinedione Derivatives Containing a 1, 2, 3-Triazole Ring System, *Helv Chimi Acta.* 99, 37-40.
110. Mahdavi, M., M. Saeedi, M. Karimi, N. Foroughi, F. Hasanshahi, H. Alinezhad, A. Foroumadi, A. Shafiee, and T. Akbarzadeh, **2016**, Synthesis of novel 1, 2, 3-triazole derivatives of 2, 3-dihydroquinazolin-4 (1H)-one, *Monatsh. Chem.* 147, 2151-2157.
111. Pasquinelli, V., A.I. Rovetta, I.B. Alvarez, J.O. Jurado, R.M. Musella, D.J. Palmero, A. Malbrán, B. Samten, P.F. Barnes, and V.E. García, **2013**, Phosphorylation of mitogen-activated protein kinases contributes to interferon  $\gamma$  production in response to mycobacterium tuberculosis, *J. Infect Dis.* 207, 340-350.
112. Keivanloo, A., M. Bakherad, F. Abbasi, T. Besharati-Seidani, and A.H. Amin, **2016**, Efficient synthesis of novel 1, 2, 3-triazole-linked quinoxaline scaffold via copper-catalyzed click reactions, *RSC Adv.* 6, 105433-105441.
113. Hussaini, S.M.A., P. Yedla, K.S. Babu, T.B. Shaik, G.K. Chityal, and A. Kamal, **2016**, Synthesis and Biological Evaluation of 1, 2, 3-triazole tethered Pyrazoline and Chalcone Derivatives, *Chem. Biol. Drug Des.* 88, 97-109.
114. Nagesh, H.N., A. Suresh, M.N. Reddy, N. Suresh, J. Subbalakshmi, and K.V.G.C. Sekhar, **2016**, Multicomponent cascade reaction: dual role of copper in the synthesis

of 1, 2, 3-triazole tethered benzimidazo [1, 2-a] quinoline and their photophysical studies, *RSC Adv.* 6, 15884-15894.

115. Khan, I., A. Ibrar, N. Abbas, and A. Saeed, **2014**, Recent advances in the structural library of functionalized quinazoline and quinazolinone scaffolds: synthetic approaches and multifarious applications, *Eur. J. Med. Chem.* 76, 193-244.
116. Zhou, S., H. Liao, M. Liu, G. Feng, B. Fu, R. Li, M. Cheng, Y. Zhao, and P. Gong, **2014**, Discovery andw biological evaluation of novel 6, 7-disubstituted-4-(2-fluorophenoxy) quinoline derivatives possessing 1, 2, 3-triazole-4-carboxamide moiety as c-Met kinase inhibitors, *Bioorg. Med. Chem.* 22, 6438-6452.
117. Glaser, C., **1869**, Beiträge zur kenntniss des acetenylbenzols, *Ber deu chem Ges.* 2, 422-424.
118. Singh, B. and R.A. Sharma, **2013**, Anti-inflammatory and antimicrobial properties of pyrroloquinazoline alkaloids from Adhatoda vasica Nees, *Phytomedicine.* 20, 441-445.
119. Keivanloo, A., M. Bakherad, and A. Rahimi, **2010**, Synthesis of Unexpected Pyrrolo [2, 3-b] quinoxaline-2-carbaldehydes via Sonogashira Coupling Reaction, *Synthesis.* 2010, 1599-1602.
120. Brown, D.J., E.C. Taylor, and J.A. Ellman, **2004**, *The Chemistry of Heterocyclic Compounds, Quinoxalines: Supplement II.* Vol. 61, John Wiley & Sons.
121. Meth-Cohn, O., B. Narine, and B. Tarnowski, **1981**, A versatile new synthesis of quinolines and related fused pyridines, Part 5. The synthesis of 2-chloroquinoline-3-carbaldehydes, *J. Chem. Soc., Perkin Trans. 1.* 1520-1530.
122. Sharma, N., M. Asthana, D. Nandini, R. Singh, and R.M. Singh, **2013**, An economical nucleophilic route toward facile synthesis of pyrano [4, 3-b] quinolin-1-ones via 6-endo-dig cyclization of o-alkynylquinoline esters, *Tetrahedron.* 69, 1822-1829.
123. Odingo, J., T. O'Malley, E.A. Kesicki, T. Alling, M.A. Bailey, J. Early, J. Ollinger, S. Dalai, N. Kumar, and R.V. Singh, **2014**, Synthesis and evaluation of the 2, 4-diaminoquinazoline series as anti-tubercular agents, *Bioorg. Med. Chem.* 22, 6965-6979.

# Abstract

Heterocyclic compounds are one of the largest and most diverse family of organic compounds. Nitrogen heterocycles play a fundamental role in biological processes, pharmaceutical industry, materials science, and they are widespread in natural products. In this research work, some new nitrogen heterocycles were synthesized *via* carbon-carbon and carbon-nitrogen coupling reactions in the presence of the palladium and copper catalysts.

1. Multi-component synthesis of a new 1,4-disubstituted pyrrolo[1,2-*a*] quinoxalines from 3-substituted 2-chloroquinoxaline, propargyl alcohol, and secondary amines in water in the presence of the palladium catalyst.
2. One-pot synthesis of a new 1-amino-substituted pyrrolo[1,2-*a*]quinoline-4-carboxylate esters from copper-free Sonogashira coupling reaction of alkyl 2-chloroquinoline-3-carboxylates, propargyl alcohol, and secondary amines in the presence of triethylamine in CH<sub>3</sub>CN.
3. A novel pathway synthesis of 1,5-disubstituted pyrrolo[1,2-*a*] quinazolines using 2-chloro-4-substituted quinazolines, propargyl alcohol, and secondary amines in the presence of triethylamine in CH<sub>3</sub>CN through palladium-copper-catalyzed reactions.
4. Synthesis of a new derivatives of 1,2,3-triazole-linked quinazoline scaffold from 2-chloro-*N*-(prop-2-nyloxy)quinazoline-4-amine or 2-chloro-*N*-(prop-2-nyloxy)quinazoline-4-amine with aromatic azides using the copper-catalyzed click reaction in aqueous ethanol.

The structures of all the synthesized compounds were confirmed by the spectroscopic data. For some derivatives of the synthesized compounds, the pharmaceutical and biological properties such as the anti-oxidant and anti-bacterial activities were examined.

**Keywords:** Palladium catalyst, copper free, Sonogashira Coupling, pyrrolo[1,2-*a*]quinoxaline, pyrrolo[1,2-*a*]quinolone, pyrrolo[1,2-*a*]quinazoline, 1,2,3-triazole, anti-oxidant,anti-bacterial.



**Faculty of Chemistry**

Ph.D. Thesis in Organic Chemistry

**Synthesis of New Heterocyclic Derivatives Based on Diazines  
and Quinolone by Using of Palladium Catalyst**

By: Shaghayegh Sadat Kazemi

Supervisor(s):

Dr Ali Kievanloo

Dr Hossein Nasr-Isfahani

Advisor:

Dr Abdolhamid Bamoniri

February 2017